

T.C.
UŞAK ÜNİVERSİTESİ
FEN BİLİMLERİ ENSTİTÜSÜ

MAKİNA MÜHENDİSLİĞİ ANABİLİM DALI

**TAŞINABİLİR BİR EVAPORATİF SOĞUTUCUNUN ENERJİ VE EKSERJİ
ANALİZİ**

YÜKSEK LİSANS TEZİ

YÜKSEL KALIPCI

**2019
UŞAK**

T.C.
UŞAK ÜNİVERSİTESİ
FEN BİLİMLERİ ENSTİTÜSÜ

MAKİNA MÜHENDİSLİĞİ ANABİLİM DALI

**TAŞINABİLİR BİR EVAPORATİF SOĞUTUCUNUN ENERJİ VE EKSERJİ
ANALİZİ**



YÜKSEK LİSANS TEZİ

Yüksel KALIPCI

UŞAK 2019

Yüksel KALIPCI tarafından hazırlanan TAŞINABİLİR BİR EVAPORATİF SOĞUTUCUNUN ENERJİ VE EKSERJİ ANALİZİ

Adlı bu tezin Yüksek Lisans / Doktora tezi olarak uygun olduğunu onaylarım.

Doç. Dr. Abdullah YILDIZ

Tez Danışmanı, Makine Mühendisliği Anabilim Dalı

Bu çalışma, jürimiz tarafından oy birliği / oy çokluğu ile Anabilim Dalında Yüksek Lisans / Doktora tezi olarak kabul edilmiştir.

Doç. Dr. Abdullah YILDIZ (jüri başkanı)

Makine Mühendisliği, Uşak Üniversitesi

.....
Doç. Dr. Canan KANDİLLİ

Makine Mühendisliği, Uşak Üniversitesi

.....
Dr. Öğretim Üyesi Gökhan GÜRLEK

Makine Mühendisliği, Ege Üniversitesi

.....
Tarih:/...../.....

Bu tez ile U.Ü. Fen Bilimleri Enstitüsü Yönetim Kurulu Yüksek Lisans / Doktora derecesini onamıştır.

Doç. Dr. Murat Kemal KARACAN

Fen Bilimleri Enstitüsü Müdürü

.....

TEZ BİLDİRİMİ

Tez içindeki bütün bilgilerin etik davranış ve akademik kurallar çerçevesinde elde edilerek sunulduğunu, ayrıca tez yazım kurallarına uygun olarak hazırlanan bu çalışmada bana ait olmayan her türlü ifade ve bilginin kaynağını eksiksiz atıf yapıldığını bildiririm.

Yüksel KALIPCİ



**TAŞINABİLİR BİR EVAPORATİF SOĞUTUCUNUN ENERJİ VE EKSERJİ
ANALİZİ
(Yüksek Lisans Tezi)**

YÜKSEL KALIPCI

**UŞAK ÜNİVERSİTESİ
FEN BİLİMLERİ ENSTİTÜSÜ
Haziran 2019**

ÖZET

Evaporatif soğutma sistemleri, kuru iklime sahip olan bölgeler ve nem oranı düşük olan bölgelerde kullanımı olan iklimlendirme sistemleridir. Çevreye herhangi bir zararı olmadığı için çevreye zararı olmayan bir iklimlendirme sistemidir. Bu çalışmada, taşınabilir bir evaporatif soğutucunun değişik metot ve parametrelere göre verim analizi yapılmıştır. Deneyler, Uşak iklim koşulları altında Mayıs-Haziran aylarında yapılmıştır.

Evaporatif soğutucunun giriş ve çıkışında kuru termometre sıcaklığı ve bağıl nem değerleri ölçülmüş ve evaporatif soğutucu için nemlendirici verimi hesaplanmıştır. Ayrıca taşınabilir evaporatif soğutucunun giriş ve çıkış şartları psikrometrik diyagram üzerinde gösterilmiştir. Uşak'ta kuru iklim hakim olduğu için kuru sıcaklık yüksek bağıl nem oranı düşük çıkmıştır.

Dış ortam bağıl nem ve kuru termometre sıcaklığı ile soğutucu çıkışındaki kuru termometre sıcaklığı ve iç ortam bağıl nem farkının enerji , ekserji verimi üzerine etkisi incelenmiştir. Evaporatif soğutucunun, iç ortam kuru termometre sıcaklığını ortalama 6°C düşürdüğü tespit edilmiştir. Evaporatif soğutmanın sıcak ve kuru iklime sahip Uşak konfor şartlarını sağlayacak düzeyde olduğu ve düşük enerji tüketimleri ile yazın enerji sorununa olumlu katkı sağlayabilecekleri görülmüştür.

Bilim Kodu : 625.04.00

Anahtar Kelimeler : Evaporatif soğutucular, kuru termometreler , nemli hava verimi

Sayfa Adedi : 127

Tez Yöneticisi : Doç.Dr. Abdullah YILDIZ

**A PORTABLE EVAPORATIVE COOLER OF
ENERGY AND EXERGY ANALYSIS**
(M.Sc. Thesis)

YÜKSEL KALIPCI

**UNIVERSITY OF UŞAK
GRADUATE SCHOOL OF NATURAL AND APPLIED SCIENCES
HAZİRAN 2019**

ABSTRACT

Evaporative systems are air conditioning systems which are used in dry climate and low humidity . It is an environmentally friendly air conditioning system for any harm to the environment. In this city , efficiency analysis of a portable evaporative cooler has been made according to different methods and parameters . The experiments were conducted in May-June under climate change in Uşak.

Dry thermometer temperature and relative humidity values were measured at the inlet and outlet of the evaporative cooler and the humidifier efficiency was calculated for the evaporative cooler. In addition , the inlet and outlet conditions of the portable evaporative cooler are shown on the psychometric diagram. Since Uşak has a dry climate , the dry temperature is high and relative humidity is low.

The effect of outdoor relative humidity and dry thermometer temperature, dry thermometer temperature at the cooler outlet and indoor relative humidity difference on energy, exergy efficiency were investigated. It has been found that the evaporative cooler reduce the indoor dry thermometer temperature by an average of 6 °C. It was found that evaporative cooling sufficient to provide comfort conditions in the hot and dry climate butler and could contribute positively to the energy problem with low energy consumption.

Bilim Kodu : 625.04.00

Anahtar Kelimeler : Evaporatif soğutucular, kuru termometreler , nemli hava verimi

Sayfa Adedi : 127

Tez Yöneticisi : Doç.Dr. Abdullah YILDIZ

TEŞEKKÜR

Yüksek lisans sürecinin en başından, bu çalışmanın gerçekleşmesine kadar olan tüm süreçlerde desteğini hiçbir zaman esirgemeyen; üzerimde büyük emeği olan; öğrencisi olmaktan her zaman mutluluk duyduğum sayın hocam Doç. Dr. Abdullah Yıldız 'a teşekkür ederim.



İÇİNDEKİLER

| | <u>SAYFA</u> |
|---|--------------|
| ÖZET | iii |
| ABSTRACT | iv |
| TEŞEKKÜR | v |
| İÇİNDEKİLER | vi |
| ÇİZELGELER LİSTESİ | vii |
| ŞEKİLLER LİSTESİ | ix |
| KISALTMALAR LİSTESİ | xii |
| 1. GİRİŞ | 1 |
| 2. LİTERATÜR ARAŞTIRMASI | 2 |
| 3. EVAPORATİF SOĞUTMA | 12 |
| 3.1. Direkt evaporatif soğutma sistemi..... | 12 |
| 3.2. Endirekt evaporatif soğutma sistemi | 14 |
| 3.3. Evaporatif soğutma sistemlerinin diğer sistemlerle karşılaştırılması | 16 |
| 3.4. Evaporatif soğutma sistemlerinin uygulama alanları | 17 |
| 4. SİSTEM TASARIMI | 18 |
| 4.1. Taşınabilir Evaporatif Soğutma Sisteminin Tanıtımı | 18 |
| 4.1.1 Ped | 19 |
| 4.1.2 Aksiyal Fan | 20 |
| 4.1.3 Su pompası | 21 |
| 5.TERMODİNAMİK ANALİZ | 22 |
| 5.1. Enerji analizi | 24 |
| 5.2. Ekserji analizi | 26 |
| 6. ARAŞTIRMA SONUÇLARI | 29 |
| 7. SONUÇ VE ÖNERİLER | 121 |
| KAYNAKÇA | 123 |
| ÖZGEÇMİŞ | 127 |

ÇİZELGELER LİSTESİ

| <u>Cizelge No:</u> | <u>Sayfa</u> |
|--|--------------|
| Çizelge 4.1: Deney No 1, 100 mm , 1,5 m/s Ölçüm Sonuçları..... | 20 |
| Çizelge 6.1: Deney No 1, 100 mm , 1,5 m/s Ölçüm Sonuçları..... | 30 |
| Çizelge 6.2: Deney No 1, 100 mm , 1,5 m/s Ölçüm Sonuçları | 31 |
| Çizelge 6.3: Deney No 2, 100 mm , 1,5 m/s Ölçüm Sonuçları | 33 |
| Çizelge 6.4: Deney No 2, 100 mm , 1,5 m/s Ölçüm Sonuçları | 34 |
| Çizelge 6.5: Deney No 3, 100 mm , 1,5 m/s Ölçüm Sonuçları | 36 |
| Çizelge 6.6: Deney No 3, 100 mm , 1,5 m/s Ölçüm Sonuçları | 37 |
| Çizelge 6.7: Deney No 4, 100 mm , 1,2 m/s Ölçüm Sonuçları | 40 |
| Çizelge 6.8: Deney No 4, 100 mm , 1,2 m/s Ölçüm Sonuçları | 41 |
| Çizelge 6.9: Deney No 5, 100 mm , 1,2 m/s Ölçüm Sonuçları | 43 |
| Çizelge 6.10: Deney No 5, 100 mm , 1,2 m/s Ölçüm Sonuçları | 44 |
| Çizelge 6.11: Deney No 6, 100 mm , 1,2 m/s Ölçüm Sonuçları | 46 |
| Çizelge 6.12: Deney No 6, 100 mm , 1,2 m/s Ölçüm Sonuçları | 47 |
| Çizelge 6.13: Deney No 7, 100 mm , 1,7 m/s Ölçüm Sonuçları | 50 |
| Çizelge 6.14: Deney No 7, 100 mm , 1,7 m/s Ölçüm Sonuçları | 51 |
| Çizelge 6.15: Deney No 8, 100 mm , 1,7 m/s Ölçüm Sonuçları | 53 |
| Çizelge 6.16: Deney No 8, 100 mm , 1,7 m/s Ölçüm Sonuçları | 54 |
| Çizelge 6.17: Deney No 9, 100 mm , 1,7 m/s Ölçüm Sonuçları | 56 |
| Çizelge 6.18: Deney No 9, 100 mm ,1,7 m/s Ölçüm Sonuçları | 57 |
| Çizelge 6.19: Deney No 10, 90 mm , 1,7 m/s Ölçüm Sonuçları | 60 |
| Çizelge 6.20: Deney No 10, 90 mm , 1,7 m/s Ölçüm Sonuçları | 61 |
| Çizelge 6.21: Deney No 11, 90 mm , 1,7 m/s Ölçüm Sonuçları | 63 |
| Çizelge 6.22: Deney No 11, 90 mm , 1,7 m/s Ölçüm Sonuçları | 64 |
| Çizelge 6.23: Deney No 12, 90 mm , 1,7 m/s Ölçüm Sonuçları | 66 |
| Çizelge 6.24: Deney No 12, 90 mm , 1,7 m/s Ölçüm Sonuçları | 67 |
| Çizelge 6.25: Deney No 13, 90 mm , 1,5 m/s Ölçüm Sonuçları | 70 |
| Çizelge 6.26: Deney No 13, 90 mm , 1,5 m/s Ölçüm Sonuçları | 71 |
| Çizelge 6.27: Deney No 14, 90 mm , 1,5 m/s Ölçüm Sonuçları | 73 |
| Çizelge 6.28: Deney No 14, 90 mm , 1,5 m/s Ölçüm Sonuçları | 74 |
| Çizelge 6.29: Deney No 15, 90 mm , 1,5 m/s Ölçüm Sonuçları | 76 |

| | |
|--|-----|
| Çizelge 6.30: Deney No 15, 90 mm , 1,5 m/s Ölçüm Sonuçları | 77 |
| Çizelge 6.31: Deney No 16, 90 mm , 1,2 m/s Ölçüm Sonuçları | 80 |
| Çizelge 6.32: Deney No 16, 90 mm , 1,2 m/s Ölçüm Sonuçları | 81 |
| Çizelge 6.33: Deney No 17, 90 mm , 1,2 m/s Ölçüm Sonuçları | 83 |
| Çizelge 6.34: Deney No 17, 90 mm , 1,2 m/s Ölçüm Sonuçları | 84 |
| Çizelge 6.35: Deney No 18, 90 mm , 1,2 m/s Ölçüm Sonuçları | 86 |
| Çizelge 6.36: Deney No 18, 90 mm , 1,2 m/s Ölçüm Sonuçları | 87 |
| Çizelge 6.37: Deney No 19, 80 mm , 1,7 m/s Ölçüm Sonuçları | 90 |
| Çizelge 6.38: Deney No 19, 80 mm , 1,7 m/s Ölçüm Sonuçları | 91 |
| Çizelge 6.39: Deney No 20, 80 mm , 1,7 m/s Ölçüm Sonuçları | 93 |
| Çizelge 6.40: Deney No 20, 80 mm , 1,7 m/s Ölçüm Sonuçları | 94 |
| Çizelge 6.41: Deney No 21, 80 mm , 1,7 m/s Ölçüm Sonuçları | 96 |
| Çizelge 6.42: Deney No 21, 80 mm , 1,7 m/s Ölçüm Sonuçları | 97 |
| Çizelge 6.43: Deney No 22, 80 mm , 1,5 m/s Ölçüm Sonuçları | 100 |
| Çizelge 6.44: Deney No 22, 80 mm , 1,5 m/s Ölçüm Sonuçları | 101 |
| Çizelge 6.45: Deney No 23, 80 mm , 1,5 m/s Ölçüm Sonuçları | 103 |
| Çizelge 6.46: Deney No 23, 80 mm , 1,5 m/s Ölçüm Sonuçları | 104 |
| Çizelge 6.47: Deney No 24, 80 mm , 1,5 m/s Ölçüm Sonuçları | 106 |
| Çizelge 6.48: Deney No 24, 80 mm , 1,5 m/s Ölçüm Sonuçları | 107 |
| Çizelge 6.49: Deney No 25, 80 mm , 1,2 m/s Ölçüm Sonuçları | 110 |
| Çizelge 6.50: Deney No 25, 80 mm , 1,2 m/s Ölçüm Sonuçları | 111 |
| Çizelge 6.51: Deney No 26, 80 mm , 1,2 m/s Ölçüm Sonuçları | 113 |
| Çizelge 6.52: Deney No 26, 80 mm , 1,2 m/s Ölçüm Sonuçları | 114 |
| Çizelge 6.53: Deney No 27, 80 mm , 1,2 m/s Ölçüm Sonuçları | 116 |
| Çizelge 6.54: Deney No 27, 80 mm , 1,2 m/s Ölçüm Sonuçları | 117 |
| Çizelge 6.55: Ortalama deneysel ve teorik enerji değerleri..... | 119 |

ŞEKİLLER LİSTESİ

| <u>Sekil :</u> | <u>Sayfa</u> |
|--|--------------|
| Şekil 3.1 : Direkt evaporatif soğutma sistemi | 13 |
| Şekil 3.2 : Endirekt evaporatif soğutma sistemi | 14 |
| Şekil 3.3 : Rejeneretif endirekt evaporatif soğutma sistemi..... | 15 |
| Şekil 4.1 : Taşınabilir Evaporatif Soğutucu..... | 18 |
| Şekil 4.1.1 : Evaporatif ped..... | 19 |
| Şekil 4.1.2 : Aksiyal fan..... | 20 |
| Şekil 4.1.3 : Aquawing AQ904 Sump motoru | 21 |
| Şekil 5.1 (A) : Evaporatif soğutma sisteminin şematik diyagramı..... | 22 |
| Şekil 5.1.(B) : Evaporatif soğutma sisteminin işlem değişiminin psikometrik diyagramda izlediği yol..... | 23 |
| Şekil 6.1. : 100 mm , 1,5 m/s Zamana bağlı deneysel , teorik enerji verimi değerleri..... | 32 |
| Şekil 6.2 : 100 mm , 1,5 m/s zamana bağlı Ekserji verim değerleri | 32 |
| Şekil 6.3. : 100 mm , 1,5 m/s Zamana bağlı deneysel , teorik enerji verimi değerleri..... | 35 |
| Şekil 6.4 : 100 mm , 1,5 m/s zamana bağlı Ekserji verim değerleri | 35 |
| Şekil 6.5. : 100 mm , 1,5 m/s Zamana bağlı deneysel , teorik enerji verimi değerleri..... | 38 |
| Şekil 6.6 : 100 mm , 1,5 m/s zamana bağlı Ekserji verim değerleri | 38 |
| Şekil 6.7. : 100 mm , 1,2 m/s Zamana bağlı deneysel , teorik enerji verimi değerleri..... | 42 |
| Şekil 6.8 : 100 mm , 1,2 m/s zamana bağlı Ekserji verim değerleri | 42 |
| Şekil 6.9. : 100 mm , 1,2 m/s Zamana bağlı deneysel , teorik enerji verimi değerleri..... | 45 |
| Şekil 6.10 : 100 mm , 1,2 m/s zamana bağlı Ekserji verim değerleri | 45 |
| Şekil 6.11 : 100 mm , 1,2 m/s Zamana bağlı deneysel , teorik enerji verimi değerleri..... | 48 |
| Şekil 6.12 : 100 mm , 1,2 m/s zamana bağlı Ekserji verim değerleri | 48 |
| Şekil 6.13 : 100 mm , 1,7 m/s Zamana bağlı deneysel , teorik enerji verimi değerleri..... | 52 |
| Şekil 6.14 : 100 mm , 1,7 m/s zamana bağlı Ekserji verim değerleri | 52 |
| Şekil 6.15 : 100 mm , 1,7 m/s Zamana bağlı deneysel , teorik enerji verimi değerleri..... | 55 |
| Şekil 6.16 : 100 mm , 1,7 m/s zamana bağlı Ekserji verim değerleri | 55 |
| Şekil 6.17 : 100 mm , 1,7 m/s Zamana bağlı deneysel , teorik enerji verimi değerleri..... | 58 |
| Şekil 6.18 : 100 mm , 1,7 m/s zamana bağlı Ekserji verim değerleri | 58 |
| Şekil 6.19 : 90 mm , 1,7 m/s Zamana bağlı deneysel , teorik enerji verimi değerleri..... | 62 |

| | |
|--|-----|
| Şekil 6.20 : 90 mm , 1,7 m/s zamana bağlı Ekserji verim değerleri | 62 |
| Şekil 6.21 : 90 mm , 1,7 m/s Zamana bağlı deneysel , teorik enerji verimi değerleri..... | 65 |
| Şekil 6.22 : 90 mm , 1,7 m/s zamana bağlı Ekserji verim değerleri | 65 |
| Şekil 6.23 : 90 mm , 1,7 m/s Zamana bağlı deneysel , teorik enerji verimi değerleri..... | 68 |
| Şekil 6.24 : 90 mm , 1,7 m/s zamana bağlı Ekserji verim değerleri | 68 |
| Şekil 6.25 : 90 mm , 1,5 m/s Zamana bağlı deneysel , teorik enerji verimi değerleri..... | 72 |
| Şekil 6.26 : 90 mm , 1,5 m/s zamana bağlı Ekserji verim değerleri | 72 |
| Şekil 6.27 : 90 mm , 1,5 m/s Zamana bağlı deneysel , teorik enerji verimi değerleri..... | 75 |
| Şekil 6.28 : 90 mm , 1,5 m/s zamana bağlı Ekserji verim değerleri | 75 |
| Şekil 6.29 : 90 mm , 1,5 m/s Zamana bağlı deneysel , teorik enerji verimi değerleri..... | 78 |
| Şekil 6.30 : 90 mm , 1,5 m/s zamana bağlı Ekserji verim değerleri | 78 |
| Şekil 6.31 : 90 mm , 1,2 m/s Zamana bağlı deneysel , teorik enerji verimi değerleri..... | 82 |
| Şekil 6.32 : 90 mm ,1,2 m/s zamana bağlı Ekserji verim değerleri | 82 |
| Şekil 6.33 : 90 mm , 1,2 m/s Zamana bağlı deneysel , teorik enerji verimi değerleri..... | 85 |
| Şekil 6.34 : 90 mm ,1,2 m/s zamana bağlı Ekserji verim değerleri | 85 |
| Şekil 6.35 : 90 mm , 1,2 m/s Zamana bağlı deneysel , teorik enerji verimi değerleri..... | 88 |
| Şekil 6.36 : 90 mm , 1,2 m/s zamana bağlı Ekserji verim değerleri | 88 |
| Şekil 6.37 : 80 mm , 1,7 m/s zamana bağlı deneysel , teorik verim değerleri | 92 |
| Şekil 6.38 : 80 mm , 1,7 m/s Zamana bağlı Ekserji enerji verimi değerleri..... | 92 |
| Şekil 6.39 : 80 mm , 1,7 m/s zamana bağlı deneysel , teorik verim değerleri | 95 |
| Şekil 6.40 : 80 mm , 1,7 m/s Zamana bağlı Ekserji enerji verimi değerleri..... | 95 |
| Şekil 6.41 : 80 mm , 1,7 m/s zamana bağlı deneysel , teorik verim değerleri | 98 |
| Şekil 6.42 : 80 mm , 1,7 m/s Zamana bağlı Ekserji enerji verimi değerleri..... | 98 |
| Şekil 6.43 : 80 mm , 1,5 m/s zamana bağlı deneysel , teorik verim değerleri | 102 |
| Şekil 6.44 : 80 mm , 1,5 m/s Zamana bağlı Ekserji enerji verimi değerleri..... | 102 |
| Şekil 6.45 : 80 mm , 1,5 m/s zamana bağlı deneysel , teorik verim değerleri | 105 |
| Şekil 6.46 : 80 mm , 1,5 m/s Zamana bağlı Ekserji enerji verimi değerleri..... | 105 |
| Şekil 6.47 : 80 mm , 1,5 m/s zamana bağlı deneysel , teorik verim değerleri | 108 |
| Şekil 6.48 : 80 mm , 1,5 m/s Zamana bağlı Ekserji enerji verimi değerleri..... | 108 |
| Şekil 6.49 : 80 mm , 1,2 m/s zamana bağlı deneysel , teorik verim değerleri | 112 |
| Şekil 6.50 : 80 mm , 1,2 m/s Zamana bağlı Ekserji enerji verimi değerleri..... | 112 |
| Şekil 6.51 : 80 mm , 1,2 m/s zamana bağlı deneysel , teorik verim değerleri | 115 |
| Şekil 6.52 : 80 mm , 1,2 m/s Zamana bağlı Ekserji enerji verimi değerleri..... | 115 |
| Şekil 6.53 : 80 mm , 1,2 m/s zamana bağlı deneysel , teorik verim değerleri | 118 |

| | |
|--|-----|
| Şekil 6.54 : 80 mm , 1,2 m/s Zamana bağlı Ekserji enerji verimi değerleri..... | 118 |
| Şekil 6.55 : Ortalama teorik enerji verimi değerleri..... | 119 |
| Şekil 6.56 : Ortalama deneysel enerji verimi değerleri | 120 |



KISALTMALAR DİZİNİ

| Kısaltmalar | Açıklamalar |
|----------------------|--|
| A | Kesit Alan [m^2] |
| B | Pedin Genişliği [m] |
| C_p | Özgül Isı [kJ/kg K] |
| d | Değişim, Fark |
| g | Yerçekimi İvmesi[m/sn] |
| H | Pedin Yüksekliği [m] |
| h | Entalpi [kJ/kg] |
| h | Konvektif Isı Transfer Katsayısı [W/ $m^2 \cdot K$] |
| l_w | Suyun Buharlaşması |
| m | Kütle |
| k | Termal İletkenlik [W/m.K] |
| ṁ | Debi [kg/s] |
| Q | Isı Yükü [W] |
| R | İdeal Gaz Sabiti [kJ/kg.K] |
| s | Entropi [kJ/kg.K] |
| T | Sıcaklık[K] |
| V | Ön Hız [m/sn] |
| U | Özgül Hacim [m^3/kg] |
| d | Ped Kalınlığı (m) |
| ɛ | Soğutma Etkinliği [%] |
| μ | Dinamik Viskozite [kg/m.sn], [kJ/kg] |
| ρ | Havanın Yoğunluğu [kg/m^3] |
| Φ | Bağıl Nem [%] |
| ψ | Ekserji [kJ/kg] |
| w | Nem Oranı [kgw/kg] |
| 0 | Ölü Hal |
| a | Evaporatif Soğutucu Çıkış |
| b | Evaporatif Soğutucu Giriş |
| c | Soğutma |
| ch | Kimyasal |

| Kısaltmalar | Açıklamalar |
|-------------|-----------------------|
| db | Kuru Hava Sıcaklığı |
| evap | Evaporatif Soğutucu |
| lat | Gizli Oran |
| me | Mekanik |
| sen | Duyulur |
| th | Termal |
| u | Nemli Hava |
| w | Su |
| wb | Nemli Hazne Sıcaklığı |

1. GİRİŞ

Zamanla yaşam kalitesinin artmasıyla iklimlendirme sistemlerinin kullanımı yaygınlaşmıştır. Bu iklimlendirme sistemlerinde kullanılan enerjinin fazlalaşmasıyla birlikte alternatif iklimlendirme sistemlerine gidilmiştir. Toplam kullanılan enerjideki pay oranı da konfor şartlarının artmasıyla daha da çok yaygınlaşmıştır. Binalarda ve toplu kullanım ait olan yerlerde enerji tüketimini artırmak amacıyla kullanılan iklimlendirme sistemi yaklaşık toplam enerji tüketiminin %80'nu oluşturmaktadır. İklimlendirme sistemlerinin enerji tüketimindeki payının düşürülmesi için alternatif iklimlendirme sistemleri arayışı halen devam etmektedir. Evaporatif soğutma sistemi insanların ihtiyaçları doğrultusunda, yeni yeni gelişen ve literatürde kendine yer edinen bir iklimlendirme sistemidir. Birçok soğutma sistemleri bulunmaktadır. Bunlardan bir tanesi olan evaporatif soğutma sistemleri ise alternatif iklimlendirme sistemlerinden birisidir.

Evaporatif soğutma sistemleri içeriği bakımında geniş yelpazede kullanılabilen bir iklimlendirme sistemidir. Fakat ülkemizde yaygın olarak kullanıma sahip değildir. Çeşitli kullanım alanları mevcuttur. Örnek vermek gerekirse fabrikalar, tekstil atölyeleri, kafe, restaurant, Pazar yerleri ve gerekli görülen her türlü yerleşim yerlerinde kullanımını halen devam etmektedir. Yurtçi ve yurtdışında kullanılan evaporatif soğutma sistemleri üzerinde önemli çalışmalar halen devam etmektedir.

Enerji, iş yapabilme yeteneği olarak algılanırken ekserji ise çevreyide içine alarak yapılan iş üretebilme yeteneği olarak literatürde geçmektedir. Enerji madde ve iş akışına bağlıken ekserji ise madde ve iş akışı ile birlikte çevreyi de ele alır. Enerji kaynaklarının daha verimli olarak kullanımına ekserji de denmektedir.

2.LİTERATÜR ARAŞTIRMASI

Literatürde, evaporatif soğutma sistemlerinin enerji ve ekserji verimi ile ilgili birçok çalışma mevcuttur.

Benham ve Wiersma (1974), Ped malzemelerinin optimum verimi üzerinde çalışmalar yapmışlardır. Optimum verim için ped kalınlıklarını ve hava hızı değerlerini en uygun değerde seçmişlerdir. Hava hızı olarak 0,5-1,3 m/s ve ped kalınlığı olarak da 2,5 ila 12,5 cm kalınlığa göre çalışma yapmışlardır. Yapmış oldukları deneylere göre en uygun ped kalınlığını 7,5 cm ve hava hızını ise 1 m/sn olarak belirlemiştir [1].

Buffington ve diğerleri (1978), kavak talaşı, kauçuklaştırılmış domuz kılından ve çimento karıştırılmış şeker kamışı posasından üretilmiş üç ped ile 10 cm ve 15 cm kalınlığında selüloz esaslı oluklu malzemeden yapılmış iki ped olmak üzere toplam beş adet pedin sistem içindeki serinleştirme etkilerini çalışmada incelemiştir. En uygun pedin domuz kılından yapılan ped olduğu kanısına varmışlardır [2].

Timmos ve Baughman (1984), Kümes içerisindeki evaporatif soğutma sisteminden daha yararlı hale getirilmesi konusunda çalışmalarda bulunmuşlardır. Kümesin ölçüleri 7,9x24,4 m şeklindedir. Çalışmalarında kümesi uzun kenarından bölgelerin birisini yalıtip uzun kenarlarını kanallarla soğuk havayı iletmek için kullanmışlar ve kanalların dış tarafına pedler koyup havanın ped vasıtıyla kanala girmesini sağlamışlar. Kısa olan duvarlara ise 3 adet fan koymuşlardır. Soğutma verimliliği denemeleri tavukların iki döneminde gerçekleştirilmiş. Deneme neticesinde pedlere giren havanın hızı 3,1 m/s çıkış hızı ise 0,9 m/s olduğu zaman , % 80 soğutma verimliliği belirlenmiştir. [3].

Koca ve diğerleri. (1991), Evaporatif soğutma sisteminin su debisi ve hava hızının performansına olan etkilerini belirlemek için bir deney düzeni kurmuşlardır.

Çalışmada ped kalınlığı 10 ile 15 cm olan ped kullanıp 10 cm deki pedin oluk açısını $45^\circ/45^\circ$, 10 ve 15 cm deki pedlerin oluk açısı $30^\circ/30^\circ$ olan üç adet selülozik ped malzemesi kullanmışlardır.

Oluk açısı $45^\circ/45^\circ$ olan pedlerde 1,5 ve 2,5 m/s hava hızlarında ölçülen statik basınç düşümüyle $30^\circ/30^\circ$ olan pedlerde ölçülen statik basınç düşümü arasında yaklaşık 40-50 kPa değiştiği belirlenmiştir. $45^\circ/45^\circ$ oluk açısı bulunan pedlerde, 1,5-2,5 m/s hava hızlarında performans veriminin %73-90 arasında değiştiği, 15 cm kalınlıktaki pedlerde ve $45^\circ/45^\circ$ oluk açılı pedlerde performans faktörünün daha büyük olduğu belirlenmiştir [4].

Yılmaz ve Büyükalaca (1999), Evaporatif soğutma sistemlerinin Amerika ve Avrupa kıtalarında yaygın olarak kullanıldığını ve soğutma sisteminin gerek kurulum maliyeti olarak gerekse çevresel olarak uygunluğunu belirtmişlerdir. Evaporatif soğutma sistemlerinin verimli olarak kullanılmasında kuru iklim şartlarının etkili olduğunu söylemişler ve desisif evaporatif sistemlerinin kuru iklime en uygun sistem olduğu kanatine varıp ülkemizde evaporatif soğutucuların kullanılabileceğini belirtmişlerdir [5].

Uğurlu ve Kara (2000), çalışmalarında Temmuz-Ağustos aylarında, bazı performans özelliklerini belirlemek üzere bir pedli evaporatif soğutucu sistemini incelemiştir. Toplam 24 adet 120x 80x10 cm ölçülerinde selülozik ped ve 40 000 m³/h debili 4 adet fan kullanılmıştır. Çalışmalarının sonucunda 10,6 °C sıcaklık farkı sağlanmıştır ve soğutma performans etkiliğini % 77-92 arasında bulmuşlardır [6].

Liao ve Chiu (2002), gözenek çapı 2,5 mm olan Kaba kumaş ve gözenek çapı 7,5 mm olan ince kumatan yapılmış iki ped malzemesinin evaporatif soğutma prosesinde ısı ve kütle transfer katsayıları için kolerasyonlar geliştirmiştir. [7]

Öz (2007), Isparta ilindeki seralarda evaporatif soğutma sistemlerinin çalışması ve kullanımı irdelenmiştir. Serada yetişen bitkinin sıcaktan etkilenmesini önlemek için ortam soğutmaya ihtiyaç duyulmuştur. Bu durumun önlenmesi için Serada evaporatif soğutma sisteminin yaygın olarak kullanıldığını ifade etmiştir. Sıcaklık ölçümlerinde 40 °C 'yi bulan iç ortam sıcaklığında 10-12 °C 'ye kadar düşebileceğini bildirmiştir[8].

Kocatürk (2007), Çukurova bölgesinde Haziran-Temmuz-Ağustos-Eylül aylarında selülozik malzemeden yapılan pedlerle farklı hava hızlarında soğutma performansı incelenmiştir. Pedlerde üç farklı hava hızına göre sabit su debili çalışma yapılmıştır. Yaklaşık 6 °C sıcaklık farkını yakalayabilmişken % 77–83,7 soğutma performans etkinliği elde etmişlerdir[9].

Jain ve diğerleri (2007) , İki kademeli evaporatif soğutucu olarak adlandırılan bir soğutucu geliştirmiş ve yüksek bağıl nem ve düşük sıcak hava koşulları için evaporatif verimini artırmayı hedeflemiştir. İki kademeli evaporatif soğutucu ısı değiştirici ve iki evaporatif soğutma odasından meydana gelmektedir. Soğutucunun performansı sıcaklı düşüşüne bağlı olarak değerlendirilmiştir. Tek kademeli soğutucunun verimi %85 -90 aralığında bulunurken iki evaporatif soğutucunun verimi 1,1-1,2 kat olarak bulunmuştur [10].

El-Refaie ve Kaseb (2009), Bu çalışmada mahalin sıcaklık ve nem değerlerini sabit kalması koşuluyla soğutma performansını incelemiştir. Kademeli sistemler kullanarak farklı şartlar altında dış hava koşullarında mahalin konforunu etkileyebilecek eşitlikler ortaya konmuştur. Tek ve iki kademeli sistemlerle çalışma yapılmıştır. İki sistemde de farklı debilerde hava ile çalışılmıştır.

Yapılan çalışma sonucunda sistemlerin aynı anda eş zamanlı olarak mahal gürültü seviyeleri ve enerji verimliliği şartın sağlanması ile mümkün olabileceği belirtilmiştir [11].

Dağtekin ve diğerleri , (2009) , Türkiye Akdeniz bölgesi için evaporatif ped soğutma sisteminin performans karakteristiklerini araştırmıştır. Sistemin verimini %69,2 ile %72 arasında hesaplamıştır. Deneylerde ped çıkışındaki sıcaklık artışını 5 ile 7,3 arasında bulmuşlardır[12].

Fauda ve Melikyan (2011) , Direk evaporatif soğutucularda hava ve su arasındaki ısı ve kütle transferini göstermek için basit bir matematiksel model geliştirmiştir. Aynı evaporatif soğutucu için deneyel sonuçlarla matematiksel sonuçları karşılaştırmıştır. Giriş alın yüzey hızı , ped kalınlığı , giren kuru hava sıcaklığının soğutma verimine etkisini hesaplamış ve analiz etmiştir. Sonuç olarak

model ile deneylerin birbirine uyumlu olduğunu gözlemlemiştir. Optimum alın yüzey hızını 2,5 m/s olarak belirlemiştir[13].

Ahmed ve diğerleri (2011) , Sudan da yerel evaporatif soğutma pedlerinin üç farklı tipi (straw ped, celtek ped ve siliced wood ped) için performans değerlendirmesi yapmıştır. Straw ped için enerji verimini %79, celtek ped için %81, sliced wood ped içinse %85 yaklaşık olarak bulunmuştur[14].

Barzegar ve diğerleri (2012) , Kraft ve NSSC oluklu kağıttan yapılan 3 farklı oluk boyutuna sahip (2,5, 3,5 ve 4,5 mm) selülozik ped kullanan evaporatif bir soğutucuda 1,8, 2,25 ve 2,67 m/s olmak üzere 3 farklı hava hızının enerji performansı etkisini deneysel olarak araştırmıştır. En yüksek enerji performansını 1,8 m/s hava hızını 2,5 mm oluk boyutunda %92 olarak elde etmiştir.[15]

Irmak (2013), bu çalışmada Çukurova bölgesi iklim şartlarında Temmuz ayında selülozik bir evaporatif soğutucu pedinden geçen havanın hızının doyma düzeyi ile su miktarı arasındaki bağlantı incelenmiştir. Hava hızı olarak üç farklı değer kullanılmıştır. Bu değerler 0,5 m/s, 1,0m/s, 1,5 m/s olarak belirlenmiştir. Araştırma sonucunda havanın pedden geçiş hızının artışı kullanılan su miktarını da artttığı tespit edilmiştir. Havanın doyma düzeyi 0,5 m/s hızda gerçekleşmiştir [16].

Alklaibi (2015), İki kademeli evaporatif soğutucu direk evaporatif soğutucunun performansıyla deneysel olarak direk ve dış iki kademeli evaporatif soğutucu ile teorik olarak karşılaştırmıştır. İç iki kademeli soğutucunun verimini yüksek bağıl nemlerde direk evaporatif soğutucunun veriminden yüksek bulmuştur.[17]

Esen (2015), Bu çalışmada evaporatif soğutma sistemlerinin ortam havasının psikometrik diyagram özelliklerini üzerine etkisi incelenmiştir. Çalışma sonucunda; basıncın ortam havası sıcaklığını etkilediği belirlenmiştir. Su depolarının yalıtımı ve korunumu hakkında önerilerde bulunmuştur [18].

Liberati ve diğerleri , (2017) , Farklı çalışma koşullarında indirek evaporatif soğutma sisteminde fenomolojik bir model geliştirmiştir. Bu modeli kullanarak farklı parametrelerin etkisini analiz etmişlerdir[19].

Bishoyi ve sudhakar (2017) , Aspen (bodur ağacı) ve balpeteği soğutma pedlerinden yapılmış benzer kesit alanına sahip pedlerin enerji verimini deneysel olarak karşılaştırmıştır. Bal peteği soğutma pedinin aspen soğutma pedinden daha yüksek enerji verimine ve soğutma kapasitesine sahip olduğunu ortaya koymuştur.[20]

Baakeem ve diğerleri (2018) Arabistan gibi aşırı Sıcak iklim koşulları altında çalışan üç farklı sıcaklık ve bağıl nem koşulu için direk evaporatif bir soğutucunun enerji, ekserji analizini ve ekonomik analizini yapmıştır. Isı kütle transferi ekserji ve maliyet analizi kullanan teorik model geliştirmiştir. Bu modeli önceki çalışmalardan elde edilen deneysel ve teorik sonuçlar ile karşılaştırmışlardır. Soğutucunun enerji verimini %70 ile %90 arasında iken ekserji verimini % 0,16 ile %17,7 arasında hesaplamışlardır. Maksimum yatırım maliyetlerini 2789 ile 3611 USD/m² olarak belirlemiştir.

[21].

Martinez ve diğerleri (2018) , yüksek yoğunluklu polietilenden yapılmış yeni bir evaporatif pedin ısıl ve akışkan dinamik davranışlarını deneysel olarak araştırmıştır. Deneylerde 80,160 ve 200 mm olmak üzere 3 farklı ped kalınlığını test etmiş ve hava akış hızı su kütlesel debisi ve ped kalınlığının enerji ve ekserji verimine etkisini incelemiştir. Maksimum enerji verimini %80,5 olarak ve 250 mm ped kalınlığında elde etmiş ve toplam ekserji verimi için optimum çalışma koşullarının araştırılabileceğini ifade etmiştir.[22]

Dhamneya ve diğerleri (2018), Aspen fiber (bodur ağacı) yapılmış bir soğutma pedinin sistem performansına etkisini deneysel olarak araştırmıştır. Hava giriş sıcaklığı, nem ve kütle akış hızının soğutma ortamına etkisini 4 farklı şekilde sahip ped için araştırmıştır. En yüksek verimi %97 olarak üçgen şekilde sahip ped için elde etmiştir.[23]

Chen ve diğerleri (2018), polimer fiberden yapılmış bir pedin enerji verimliliğine etkisini deneysel olarak araştırmıştır. Deneysel olarak türetilen boyutsuz ısı ve kütle transfer kolerasyonları literatürdeki kolerasyonlar ile karşılaştırılmıştır.[24]

Nada ve diğerleri (2019) , arı kovanı şeklinde 35, 70, 105 ve 140 mm olmak üzere 4 farklı ped kalınlığına sahip selülozik kağıttan yapılmış yeni evaporatif bir soğutma pedinin enerji ve ekserji performansı üzerine etkisini deneysel olarak araştırmıştır. Bu çalışmada, hava hızı, hava giriş sıcaklığı, su debisi ve soğutma ped kalınlığının performans parametreleri üzerine etkilerini araştırmıştır. Ped kalınlığı ve su debisi arttıkça enerji ve ekserji veriminin arttığını gözlemlemiştir. Maksimum evaporatif soğutma verimini, ekserji verimini ve toplam ekserji verimini sırasıyla %84 , %92 ve %74 olarak hesaplamışlardır.[25]

Harby ve Al-amri (2019), 50, 100 ve 150 mm olmak üzere 3 farklı kalınlığa sahip ticari tip soğutma pedlerinin split iklimlendirme cihazlarındaki enerji tasarrufuna etkisini deneysel olarak araştırmış ve optimum ped kalınlığını 100 mm olarak belirlemiştir.[26]

Doğramacı ve diğerleri (2019), evaporatif soğutma prosesi için okalıptüs aacı liflerinden yapılmış yeni bir soğutma pedinin performansa etkisi deneysel olarak araştırmıştır. 0,1 0,3 m/s hava hızlarında en yüksek verimi sırasıyla %71 ve %57 olarak hesaplamıştır.[27]

Bu tez kapsamında, 80 mm, 90 mm ve 100 mm selülozik ped kalınlığına sahip direk evaporatif bir soğutucunun 1,2 m/s, 1,5 m/s ve 1,7 m/s hava giriş hızına bağlı olarak farklı çalışma koşullarındaki enerji ve ekserji performansları deneysel olarak araştırılmıştır. En uygun ped kalınlığı ve hava giriş hızı belirlenmiştir. Sonuç olarak, en uygun ped kalınlığı 100 mm ve hava giriş hızı 1,7 m/s olarak bulunmuştur.

| Yazar,Yıl | Kullanılan Malzeme | Çalışma Parametreleri | Enerji Analizi | Ekserji Analizi | Sonuçlar |
|----------------------------|--|---|----------------|-----------------|---|
| Benham ve Wiersma,1974 | Selüloz esaslı ped | Hava hızı 0,5-1,3 m/s Ped kalınlığı 2,5-12,5 cm | ✓ | - | <ul style="list-style-type: none"> En uygun ped kalınlığını 7,5 cm, En uygun hava hızını 1 m/s olarak belirlemişlerdir. |
| Buffington vd, 1978 | Kavak talaşı, Kauçuklaştırılmış domuz kılı, Karıştırılmış şeker kamışı posası, 10 ve 15 cm selüloz esaslı oluklu malzeme | 10 ve 15 cm ped kalınlığı | ✓ | - | <ul style="list-style-type: none"> En uygun pedin domuz kılından yapılan ped olduğunu belirlemişlerdir. |
| Timmos ve Baughman, 1984 | Selüloz esaslı ped | Kümes ölçülerİ 7,9 m x 24,4 m Giren hava hızı 2-5 m/s, Çıkan hava hızı 0,5-1,5 m/s | ✓ | - | <ul style="list-style-type: none"> Pedlere giren hava hızı 3,1 m/s ve çıkış hava hızı 0,9 m/s olduğu zaman, %80 soğutma verimliliği belirlenmiştir. |
| Koca vd, 1991 | Selüloz esashı ped | Kalınlığı 10 cm olan pedin oluk açıları 45°/45°, Kalınlığı 10-15 cm pedin oluk açıları 30°/30°, ped hızları 1,5-2,5 m/s | ✓ | - | <ul style="list-style-type: none"> 45°/45° oluk açısı bulunan pedlerde 1,5-2,5 m/s hava hızlarında performans veriminin %73-90 arasında değiştiği, 15 cm kalınlıktaki pedlerde ve 45°/45° oluk açılı pedlerde performans faktörünün daha büyük olduğu belirlenmiştir. |
| Yılmaz ve Büyükalaca, 1999 | Selüloz esashı ped Alüminyum folye Plastik folye | Al ₂ O ₃ , LiCl, Silikajel, Selüloz asestat, Moleküler elek | ✓ | - | <ul style="list-style-type: none"> Konvensyonel iklimlendirme sistemi, desisif kullanılmış hava nemlendirici sistemi, desisif hava nemlendirme sistemi, desisif taze ve kullanılmış hava nemlendirme sistemi, desisif çift kullanılmalı hava nemlendirme sistemi ve desisif kullanılmış hava nemlendirmeli konvensiyonel kullanılmış hava sistemini karşılaştırmışlardır. Desisif sistemlerin sıcaklığın ve nemin ayrı ayrı kontrolü bakımından konfor kliması için çok uygun olduğunu, ekonomik açıdan da bazı kombin sistemlerde konvensyonel sistemlerde üstün olduğunu ortaya koymuşlardır. |

| | | | | | |
|--------------------------|------------------------------------|---|---|---|--|
| Uğurlu ve Kara, 2000 | Selüloz esaslı ped | 24 adet 120x80x10 cm selülozik ped, 40 000 m ³ /h debili 4 adet fan | ✓ | - | <ul style="list-style-type: none"> • 10,6 °C sıcaklık farkı sağlanmıştır • Soğutma performans etkinliğini %77-92 arasında bulmuşlardır. |
| Liao ve Chiu, 2002 | Kaba ve ince kumaştan yapılmış ped | Gözenek çapı 2,5 cm kaba kumaş, Gözenek çapı 7,5 cm olan ince kumaş, Hava hızı 0,75-1,5 m/s | ✓ | - | <ul style="list-style-type: none"> • Kaba kumaşın performans etkinliği %81,75 - 84,48, • İnce kumaşın performans etkinliği %76,68 - 91,64 olarak bulunmuştur. |
| Öz, 2007 | Selüloz esaslı ped | 2,5 m x1,6 m boyutunda 3 adet ped | ✓ | - | <ul style="list-style-type: none"> • Sıcaklık ölçümlerinde 40°C'yi bulan iç ortam sıcaklıklarında 10-12 °C'ye kadar düşebileceğini belirlemiştir. |
| Kocatürk, 2007 | Selüloz esaslı ped | 1,2 m x1,2 m ped, 15 000 m ³ /h hava debisi | ✓ | - | <ul style="list-style-type: none"> • Sıcaklık ölçümlerinde 6 °C sıcaklık farkı, • Soğutma performans etkinliğini %77-83,7 olarak belirlemiştir. |
| Jain vd, 2007 | Selüloz esaslı ped, Isı eşanjörü | Isı eşanjörü plaka kalınlığı 0,5 mm, fan boyutu 450 mm, max. kanal hızı 3 m/s | ✓ | - | <ul style="list-style-type: none"> • Tek kademeli soğutucunun verimi %85-90 aralığında • İki kademeli evaporatif soğutucunun verimi 1,1-1,2 kat olarak bulmuşlardır. |
| El-Rafaie ve Kaseb, 2009 | Selüloz esaslı ped, Isı eşanjörü | Alan duyulur ısı faktörü 0,7-0,9 Direk ikincil hava soğutma ünitesinin performans faktörü 0,7-0,9 Dış hava yaşı termometre sıcaklığını 14-24 °C | ✓ | - | <ul style="list-style-type: none"> • Tek ve çift kademeli evaporatif sistemlerin enerji analizini yapmıştır. • Sistem performansı üzerine çeşitli parametrelerin etkisini araştırmıştır. |

| | | | | | |
|------------------------------|---|--|---|---|--|
| Dağtekin vd, 2009 | Selüloz esaslı ped | 2,6 m x1,9 m ebatında 100 mm kalınlığında ped | ✓ | - | <ul style="list-style-type: none"> Sistemin veriminin %69,2-72 arasında olduğunu, Ped çıkışındaki sıcaklık artışının 5-7,3 °C arasında olduğunu bulmuşlardır. |
| Fauda ve Melikyan, 2011 | Selüloz esashı ped | 100-150-200 mm kalınlıklı ped, 2-2,5- 3 m/s fan hızı | ✓ | - | <ul style="list-style-type: none"> Model ile deneylerin birbirlerine uyumlu olduğunu, Optimum alın yüzey hızını 2,5 m/s olarak belirlemişlerdir. |
| Ahmed vd, 2011 | Selüloz esashı ped (straw ped, celtek ped, siliced wood ped) | Ped kalınlığı 100mm, Ped boyutları 6m x 2m | ✓ | - | <ul style="list-style-type: none"> Straw ped, celtek ped ve siliced wood ped için enerji verimlerini sırasıyla yaklaşık olarak %79 , %81 ve %85 olarak bulmuşlardır. |
| Barzegar vd, 2012 | Kraft ve NSSC oluklu kağıt | Boyut 2,5-3,5-4,5 mm, fan hızı 1,8-2,25-2,67 m/s | ✓ | - | <ul style="list-style-type: none"> En yüksek enerji performansını 1,8 m/s hava hızı ve 2,5 mm oluk boyuttunda %92 olarak elde etmiştir. |
| Irmak, 2013 | Selüloz esashı ped | Hava hızı 0,5-1-1,5 m/s | ✓ | - | <ul style="list-style-type: none"> Havanın pedden geçiş hızının artışı ile kullanılan su miktarının da arttığını, Havanın doyma düzeyi 0,5 m/s hızda gerçekleştirmiştir. |
| Alklaibi, 2015 | Selüloz esashı ped | 680x680x112 mm ped, 0,68-0,46 m ³ /s fan hızı | ✓ | - | <ul style="list-style-type: none"> İç iki kademeli soğutucunun verimini yüksek bağıl nemlerde direk evaporatif soğutucunun veriminden yüksek bulmuştur. |
| Liberati vd, 2017 | Selüloz esashı ped | Hava debileri 1200-1800 m ³ /h | ✓ | - | <ul style="list-style-type: none"> Geliştirilen sistem modeli ile deney verileri karşılaştırılmıştır. Isı eşanjörüne püskürtülen su çok düşük debide bile sistem soğutma kapasitesini kuvvetli bir şekilde artırmaktadır. |
| Bishoyi ve Sudhakar, 2017 | Aspen (bodur ağacı), balpeteği pedleri | Aspen balpeteği ped 87x61x10 cm, fan hızı 1,5 m/s | ✓ | - | <ul style="list-style-type: none"> Bal peteği soğutma pedinin aspen soğutma pedinden daha yüksek enerji verimine ve soğutma kapasitesine sahip olduğunu ortaya koymışlardır. Enerji verim oranı aspen soğutma pedi içinyaklaşık olarak 8-30 arasında değişirken, bal peteği için yaklaşık olarak 10-43 arasında değişmektedir. |

| | | | | | |
|----------------------------|---|---|---|---|---|
| Baakeem vd, 2018 | Selüloz esaslı ped | Ped kalınlıkları 70-80-90 mm, fan hızı 4 m/s | ✓ | ✓ | <ul style="list-style-type: none"> Soğutucunun enerji verimini %70 - %90, ekserji verimini %16- %17,7 Maksimum yatırım maliyetlerini 2789-3611 USD/m² olarak belirlemiştir. |
| Martinez vd, 2018 | Polietilen evaporatif ped | Ped kalınlıkları 80-160-200 mm | ✓ | - | <ul style="list-style-type: none"> Maksimum enerji verimini %80.5 olarak 250 mm ped kalınlığında elde etmişlerdir, Toplam ekserji verimi için optimum çalışma koşullarının araştırılabilceğini ifade etmişlerdir. |
| Dhamneya vd, 2018 | Aspen fiber (bodur ağacı) | 0,15 m kalınlığında üçgen,besgen, altigen ve sekizgen evaporatif ped | ✓ | - | <ul style="list-style-type: none"> Hava giriş sıcaklığı, nem ve kütle akış hızının soğutma ortamına etkisini 4 farklı şekilde sahip ped için araştırmışlardır, En yüksek verimi %97 olarak üçgen şekilde sahip ped için elde etmişlerdir. |
| Chen vd, 2018 | Polimer fiber esaslı ped | - | ✓ | - | <ul style="list-style-type: none"> Deneysel olarak türetilen boyutsuz ısı ve kütle transfer kolerasyonları, literatürdeki kolerasyonlar ile karşılaştırılmıştır. |
| Nada vd, 2019 | Selüloz esaslı ped | Arı kovası şeklinde 35-70-105-140 mm selülozik ped | ✓ | ✓ | <ul style="list-style-type: none"> Ped kalınlığı ve su debisi arttıkça enerji ve ekserji veriminin arttığını, Maksimum evaporatif soğutma verimi ve toplam ekserji verimini sırasıyla %84, %92 ve %74 olarak hesaplanmıştır. |
| Harby ve Al- amri, 2019 | Selüloz esaslı ped | 50-100-150 mm ped kalınlığı | ✓ | - | <ul style="list-style-type: none"> Optimum ped kalınlığını 100 mm olarak belirlemiştir. |
| Doğramacı vd, 2019, | Okaliptüs ağacı liflerinden yapılmış ped | Hava hızı 0,1-0,3-0,6-0,9-1,2 m/s | ✓ | - | <ul style="list-style-type: none"> 0,1-0,3 m/s hava hızlarında en yüksek verimi sırasıyla %71 ve %57 olarak hesaplamışlardır. |
| Mevcut çalışma, 2019 | | | | | <ul style="list-style-type: none"> ffefewfewfwe |

3. EVAPARATÖR SOĞUTMA SİSTEMLERİ

Evaporatif soğutma sistemlerinin temeli evaporatif diğer bir deyişle buharlaştırarak soğutma teorisine dayanır. Buna göre adyabatik bir ortamda, doymamış hava, serbest su yüzeyiyle temas ettirilecek olursa hava ile serbest su yüzeyi arasında ısı ve kütte transferi gerçekleşecektir. Serbest su yüzeyinin sahip olduğu buhar basıncı, doymamış havanın sahip olduğu buhar basıncından daha yüksek olacağı için basınç farkı nedeniyle serbest su yüzeyinden havaya doğru nem transferi başlar. Bu nem transferi suyun sıvı fazdan buhar fazına geçmesi ile gerçekleşir. Bu değişim için gerekli olan ısıya da “buharlaşma gizli ısısı” denir. Buharlaşma gizli ısısı havadan, sudan veya her ikisinden de alınır. Bu bağlamda hava duyulur olarak ısı kaybederken su buharı transferinden ise gizli ısı kazanır. Böylelikle hava soğutumu yapılır [9].

3.1 Direkt evaporatif soğutma sistemi

Direkt evaporatif soğutma sistemi, diğer evaporatif soğutma sistemleri arasındaki en basit ve temel soğutma sistemi olanıdır. Genellikle belirli bir nem oranına ihtiyaç duyulan ortamlarda ve uygulamalarda sıkılıkla kullanılır. Sistem evaporatif soğutma teorisine çok benzemesine rağmen teoriden birkaç farkı vardır. Bu farklılıklara göre, diğer evaporatif soğutma sistemlerine göre adyabatik bir ortam oluşmaz ve bu sayede gerçek uygulamalarda adyabatik bir doyma işleminin gerçekleşmesi olmaz.

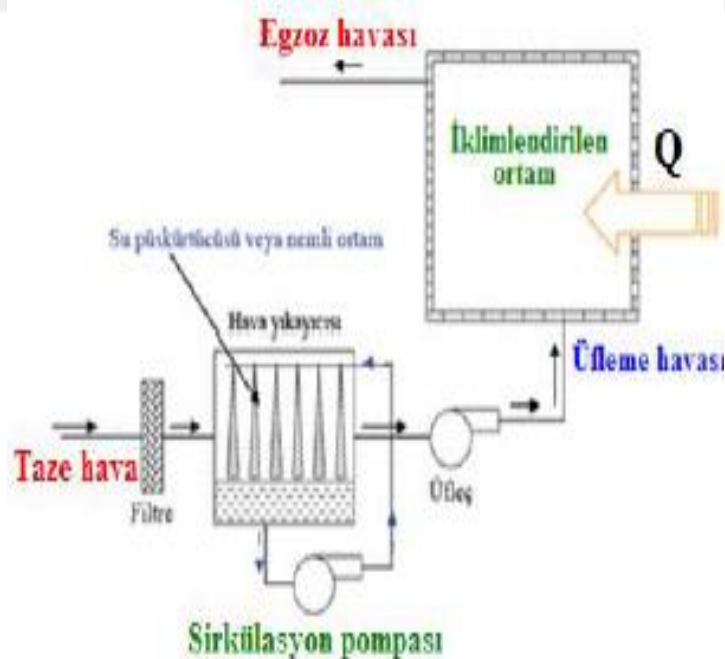
Direkt evaporatif soğutma sisteminde, giren hava ortama gönderilecek olan üfleme havasını oluşturup hava içerisindeki suyun direkt olarak buharlaştırılması ile ortam havasında soğutma sağlanır. Psikrometrik diyagram bakılacak olursa giren taze havanın yaşı termometre sıcaklığı yaklaşık aynı değerleri verirken hava ve su arasındaki eş zamanlı gizli ve duyulur ısı transferi dolayısıyla kuru termometre sıcaklığında bir düşüş meydana gelir. Sıcaklıktaki bu düşüş havanın nem oranını arttırdığından dolayı özgül nemde artış görülür [11].

Formülüze edilecek olursak eğer verimi giren sıcaklık ile çıkan sıcaklıklar arasındaki farkın, giren sıcaklık ile giren sıcaklığın yaşı termometre sıcaklığı arasındaki farka oranıdır. Aşağıda gösterilmiştir.

$$\varepsilon = \frac{T_a - T_b}{T_a - T_{ab}} * 100 \quad (3.1)$$

Verime etki eden etmenler şöyle sıralanabilir:

- 3.1 formülünde görüldüğü üzere giriş sıcaklık ve çıkış sıcaklığına bağlı olarak verim değişkenlik gösterektedir.
- Belirli bir direkt soğutucuda, yüzey alanı ve su akış debisine bağlı olarak hava hızı artışıyla doğru orantılı soğutulan hava debisi de artış gösterecektir. Bu durumda soğutma kapasitesinde ve verimde artışa yol açar.
- Suyla hava arasındaki temas süresi veya temas alanı arttığında paralel olarak hava/su debisel oranı da artacağından performans faktörü bu durumdan olumlu etkilenir [30].



Şekil 3.1 Direkt evaporatif soğutma sistemi[28].

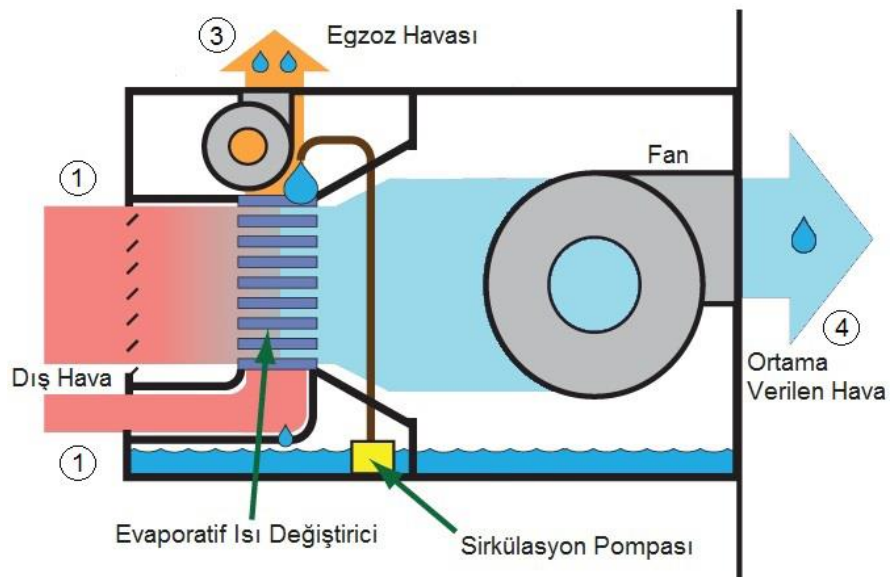
Şekil 3.1'de gösterilen sistemde dışarıdan alınan hava öncelikle pede girerek düzenek yardımıyla ped ıslatılıp hava nemlendirilir. Daha sonra bir fan veya üfleç

yardımıyla iklimlendirilecek ortamın duyuları ve gizli ısısını absorbe etmek için ortama gönderilir. Mahali soğutmak için ped, fan, pompa kullanılır. Mahalin soğutulmasının sürekliliği için ped içerisinde giren havanın devamlı nemlendirilmesi pedin ıslatılması sağlanır. Bu döngü halinde devam eder.

3.2. Endirekt evaporatif soğutma sistemi

Direk evaporatif soğutmadan farklı olarak iki tip hava kullanılır. Endirekt evaporatif soğutmada birinci hava adı verilen sisteme dış ortamdan dahil edilir ve ikinci hava olarak bilinen ve direkt üitede buharlaştırılarak soğutulan başka bir hava akımı tarafından, bir ısı eşanjörü vasıtasyyla duyuları bir şekilde hava nemlendirilmeksızın soğutulur.

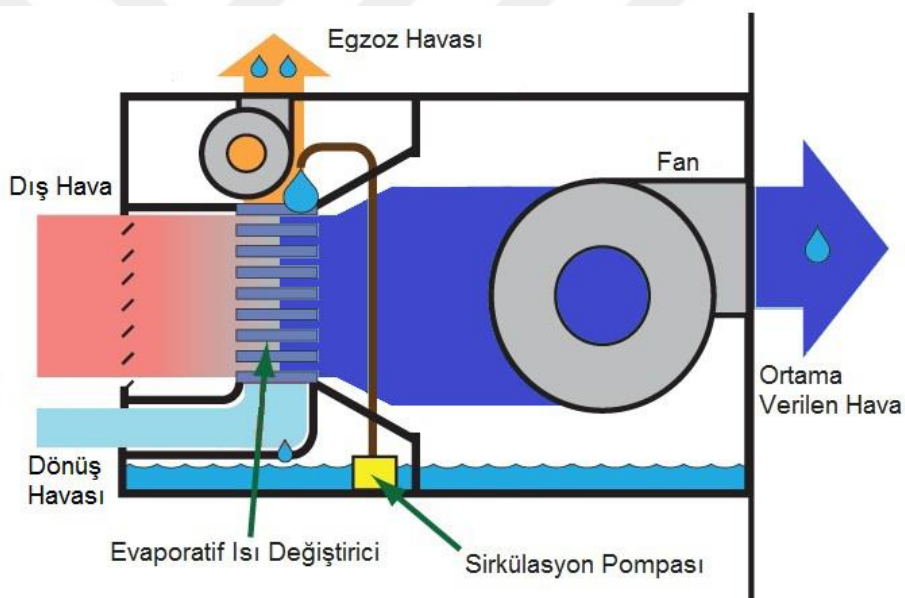
Endirekt evaporatif soğutma işleminde direkt evaporatif soğutma işleminden farklı olarak birincil havanın yaşı termometre sıcaklığında da düşme gözlenir. İkincil havanın yaşı termometre sıcaklığı ise sabit kalır. İkincil hava ya dış ortamdan alınır ya da mahalden dönen hava ikincil hava olarak kullanılır [11].



Şekil 3.2 Endirekt evaporatif soğutma sistemi[29].

Direkt ve endirekt evaporatif soğutucuların performans faktörleri soğutucuların düzenlemelerine (konfigürasyonlarına) bağlıdır. Verim değerleri direkt soğutucular için %70-90, endirekt soğutucular içinse %55-65 arasında değişmektedir [11].

Endirekt evaporatif soğutma işleminde temel prensip temel prensibi gereği dış havanın tamamının kullanıldığı için ek bir enerji harcanmasına gerek yoktur. Endirekt evaporatif soğutma sistemlerinde ikinci hava olarak her zaman taze hava kullanılamaz. İkinci hava olarak iklimlendirilecek mahalden dönen havadan faydalananır. Bu durum ancak dönen hava, düşük yaşı termometre sıcaklığına sahipse verim elde edilir. Bu sayede birinci havanın duyulur olarak daha fazla soğutulmasına imkan verilmiş olur. Bu tür sistemlere “rejeneratif sistemler” adı verilir. Büylesi bir örnek Şekil 3.3’de gösterilmiştir [11].



Şekil 3.3 Rejeneratif endirekt evaporatif soğutma işlemine ait şema ve psikrometrik diyagram [29]

Buradan anlaşılacağı üzere endirekt evaporatif soğutma işlemi ile direkt evaporatif soğutma işlemi arasındaki farklara söyle diyebiliriz;

- Direkt evaporatif soğutma işleminde sisteme sağlanan hava nemli halde çıkarken endirekt evaporatif soğutma sistemindeyse çıkışta kullanılan ısı eşanjörü sayesinde özgül nem miktarı daha düşük veya sabi kalmaktadır. Bu nedenle endirekt soğutucu

sistemi nem miktarının ayarlanması istenildiği zaman ve durumlarda kullanış sağlanır.

- Endirekt evaporatif soğutma işleminde iklimlendirilecek mahale gönderilen çıkış veya üfleme havasının hem kuru termometre sıcaklığının hem de yaşı termometre sıcaklığının düşmesidir [28].

3.3 Evaporatif soğutma sistemlerinin diğer sistemlerle olan karşılaştırılması

Evaporatif soğutma sistemlerinin, diğer soğutma sistemleri ve iklimlendirme sistemleri ile karşılaştırıldığında bazı avantajlara sahip olduğu, bunun yanında diğer her sistemde olduğu gibi bir takım sakıncalara sahip olduğu görülür.

- Diğer soğutma sistemlerine göre tüketilen gücün diğer soğutma sistemlerinde tüketilen güce oranla % 50'sine denk gelmesidir. Uygun iklimsel şartlarda ve optimum çalışma durumunda bu oran % 25'e kadar düşmektedir. Bu bakımından işletme giderlerini önemli ölçüde düşürür ve enerji tasarrufu sağlar. [28]
- İlk kurulum maliyeti yok denecek kadar azdır ve günlük kullanım bakımında kullanılan fan ve pompa harici güç tüketecek bileşenleri olmadığı için diğer soğutma sistemlerine göre günlük güç tüketimi daha düşüktür.
- Diğer soğutma sistemlerindeki gibi soğutucu akışkan yerine doğal su kullanır ve bu sayede doğanın yapısına aykırı madde salınımında bulunmaz.
- Evaporatif sistemlerin bakım maliyeti bileşen sayısının az olması dolayısıyla diğer soğutma sistemlerine göre çok düşüktür.
- Kurak iklimlerde belirli bir seviyede bağıl neme ihtiyaç duyulacağından üfleme havasının belirli bir nem seviyesinde muhafaza edilmesinde diğer soğutma sistemlerine göre daha başarılıdır.[28]
- Açık alanlarda diğer soğutma sistemleri verimli olmazken evaporatif soğutma sistemi ise bu alanlarda kullanımına daha uygundur.
- Evaporatif soğutma sistemleri genellikle küçük mahallerde etkili soğutma sağlayabılırken büyük mahallerde ana soğutma merkezli kanallar yardımıyla mahale soğuk hava girişi sağlayabilir. Bu da kurulum maliyetini arttırmır.
- Dış havanın bağıl neminin yüksek olduğu iklimlerde sistem etkili çalışmada bulunmaz.

3.4 Evaporatif soğutma sistemi uygulama alanları

Önemli kullanım alanı hayvan çiftlikleri, barınakları, kümesler ve seracılıktan oluşur. Başka kullanım alanları olarak da kafeteryalar ve umuma açık eğlence merkezlerinde aktif olarak kullanılmaya başlanılmıştır.



4. SİSTEM TASARIMI

4.1. Evaporatif Soğutma Sisteminin Tanıtımı

Bu çalışmada, Şekil 5.1'de görüldüğü gibi taşınabilir bir evaporatif soğutucu tasarlanmıştır. Soğutucu 1 mm kalınlığında galvenizli saç, ped, pompa ve fan kullanılarak taşınabilir evaporatif soğutucu imal edilip kullanılmıştır. Soğutucu fan hava debisi 780 m³/h olup, tek hız ayarına sahip olarak yapılmıştır. Fan motoru gücü ise 0.30 kW'tır. Sıcaklık ve nem ölçümlerinde 0-50 °C sıcaklık ve nem transmitteri kullanılmıştır.

Sıcaklık ve bağıl nem sensörü ölçüm aralığı sıcaklık için: -20 °C / +80°C aralığında hassasiyeti ise $\pm 1-0.4$ °C 'dir. Bağıl nem için ölçüm aralığı % 5 ile % 95 olup hassasiyeti ise $\pm 0,1$ 'dir.

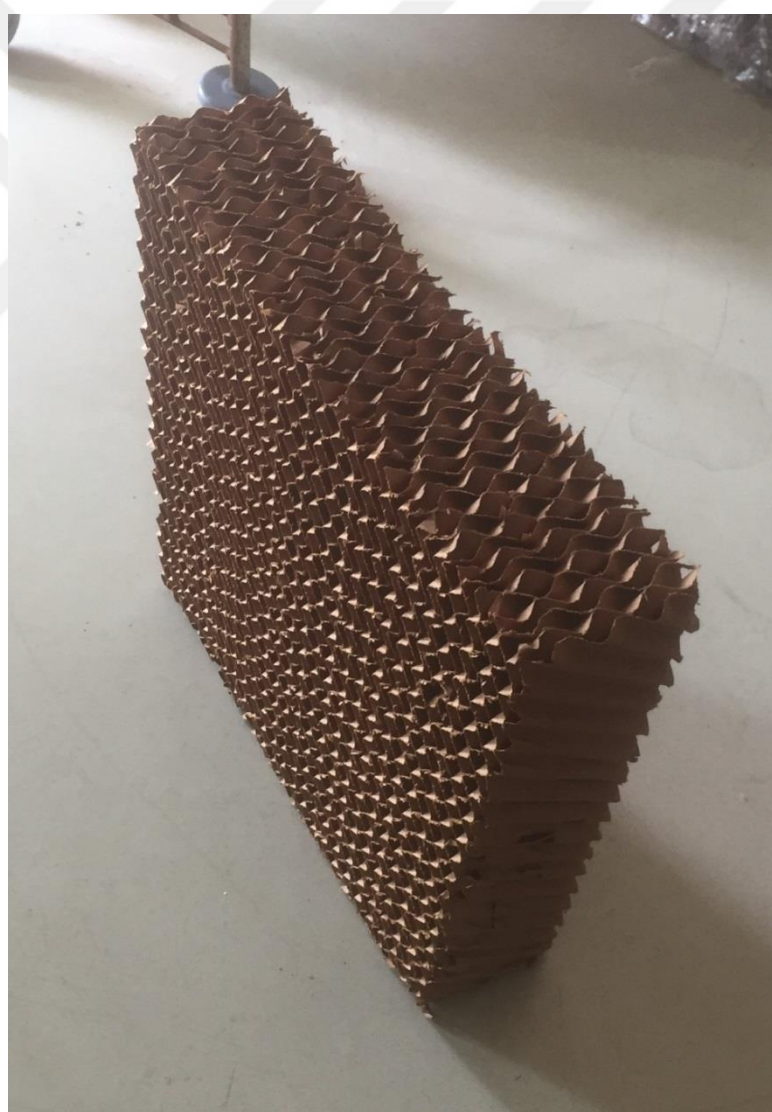


Şekil 4.1 Taşınabilir Evaporatif Soğutucu

4.1.1 Ped

Sistemde kullanılan ped buharlaşmalı hava soğutucunun içinde, buharlaşma ve soğutma işlemlerinin gerçekleştiği ısı değiştiricidir. Bu tip hava soğutucularda, ped olarak oluklu selülozik kâğıt bloğundan yapılan ısı değiştiriciler de kullanılabilir. Birbirine bağlı yatay ve dikey oluk açılarına bağlı kıvrımlı yaprakların birleştirilmesiyle oluşur. Kâğıtların açılarında değiştirme yapılarak pedden sağlanan verim arttırılabilir.

Bu tez kapsamında ilk olarak Şekil 4.2'de görülen 100 mm kalınlığındaki selülozik pedin testleri gerçekleştirılmıştır. Daha sonra bu ped kesilerek sırasıyla 90 ve 80 mm kalınlıklarındaki pedlerin deneyleri yapılmıştır.



Şekil 4.1.1 Evaporatif ped

4.1.1. Aksiyal Fan

Aksiyal fanların hava döngüsü eksenel yönindedir. Bunun sebebi ise basınç farkı oluşturmaktır. Bu tip fanlar havalandırma ve iklimlendirme sanayisinde kullanılır. Alçak ve yüksek basınçlıdır. Sistemimizde BB200 tipi aksiyal fan kullanıldı.

Tasarımı yapılan soğutucuda kullanılan Şekil 4.3'de görülen fanın teknik özellikleri Çizelge 4.1'de verilmiştir. gösterilmiştir.



Şekil 4.1.2 Aksiyal fan

Çizelge 4.1. Deneylerde kullanılan fanın teknik özellikleri

| Parametre | Değer |
|-------------------------------|-------|
| Voltaj (V) | 230 |
| Frekans (Hz) | 50 |
| Güç (W) | 35 |
| Amper (A) | 0,2 |
| Devir sayısı (d/dk) | 1250 |
| Hava hızı (m ³ /h) | 780 |

4.1.2. Su motoru

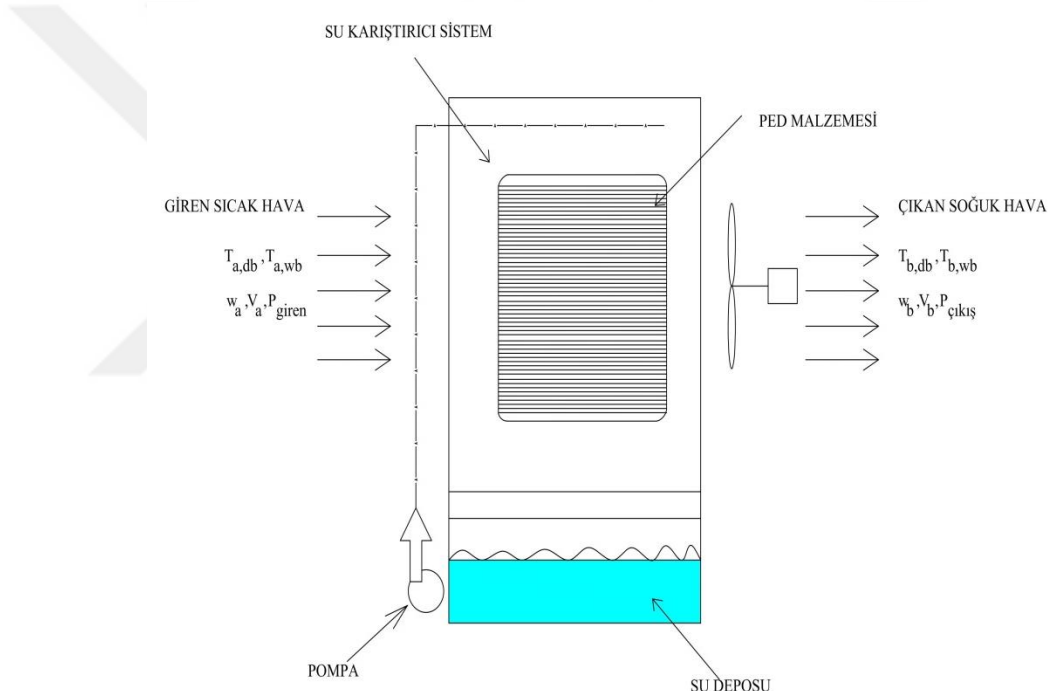
Deneyclerde kullanılan Şekil 4.4'de verilen, Aquawing AQ904 Sump motoru, büyük litrelere sahip akvaryumlar da ana tanka su basmak için kullanılır. Su içerisinde kullanılabilecek şekilde kapalı devre elektrik tertibatına sahiptir. 2 metre yüksekliğe kadar su basabilir. Saatte 2000 Litre su çevirebilen su motorudur. 9 W güçce sahiptir.



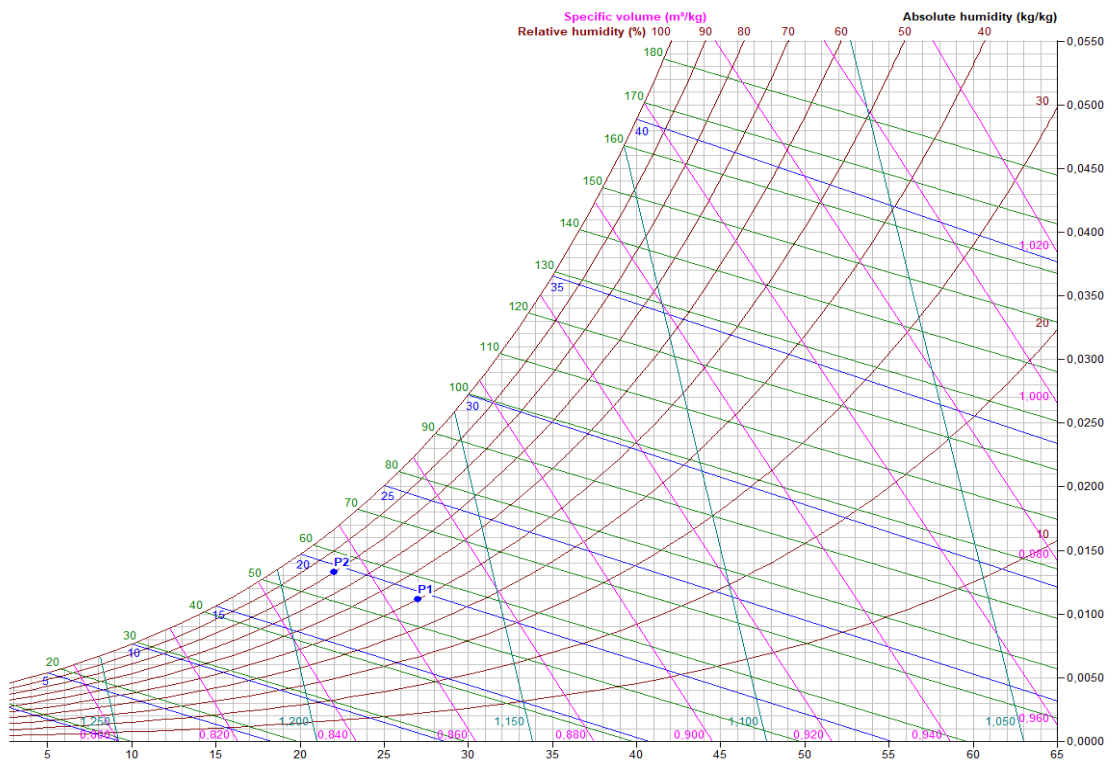
Şekil 4..1.3 Aquawing AQ904 Sump motoru

5. TERMODİNAMİK ANALİZ

Evaporatif soğutma prosesi adyabatik doyma prosesi olarak modellenir ve burada çevre hava bir ıslak yüzeyden suyun buharlaştırılması ile soğutulur. Teorik olarak evaporatif soğutucular %100 bağıl nemli (doymuş hava) havayı dağıtır. Şekil 5.1 de tipik bir evaporatif soğutucunun şematik diyagramı ve Şekil 5.2'de ilgili prosesin psikometrik diyagramda izlediği yol gösterilmiştir.



Şekil 5.1 (A) Evaporatif soğutucu sisteminin şematik diyagramı [29]



Şekil 5.1(B) Evaporatif soğutucu sisteminin işlem değişiminin psikometrik diyagramda izlediği yol

Direkt Evaporatif soğutucularda oluşan kütte , enerji ve ekserji dengeleri için temel denklemler aşağıdaki kabuller kullanılarak elde edilmiştir.

- Borulardaki hidrostatik basınçlar ihmal edilebilir;
- Buharlaşma yüzeyi üzerinde 0,1 mm film kalınlığı olan bir su tabakası olduğu ve buharlaşma yüzeyinin sürekli homojen bir şekilde ıslatıldığı kabul edilmiştir[10].
- Kararlı hal koşulları göz önünde alınmıştır.
- Kinetik ve potansiyel enerji değişimleri de ihmal edilmiştir.
- Kuru hava ve su buharından oluşan nemli havanın, ideal gaz olarak davranışının kabul edilmiştir.
- Evaporatif soğutucu içindeki basınç düşüşü ihmal edilmiştir.
- Çevre ile olan ısı kayipları ihmal edilmiştir.
- Pompaya giren besleme suyu sıcaklığı giren havanın adyabatik doyma sıcaklığıyla aynıdır.
- Ekserji analizinde ölü hal koşulları yaşam koşulları olarak değerlendirilmiştir.(25 C, 1 atm ,%50 bağıl nem)

5.1.Enerji Analizi

Evaporatif soğutma sistemi için enerji analizi iki farklı metot ile yazılabilir. İki metot yapılarak enerji verimi hesaplanmıştır. Birinci metot enerji verimidir. İkinci metot ise geleneksel verimdir. Birinci metot aşağıdaki gibi gerçekleştirilmektedir.

Ped malzemesi boyunca hava akımından elde edilen duyular ısı aşağıdaki gibi hesaplanabilir. [20]

$$dQ_{sen} = \dot{m}_a \cdot C_{pu} \cdot dT \quad (1)$$

Eş. (1) 'de C_{pu} nemli hava özgül ısısı, dT sıcaklık değişimi ve \dot{m}_a kuru hava kütlesel debisidir. Kuru hava kütlesel debisi ; [20]

$$\dot{m}_a = \dot{V}_a \rho_a = V_a \cdot \rho_a \cdot A = V_a \cdot \rho_a \cdot B \cdot H \quad (2)$$

Eş. (2)'de \dot{V}_a , Kuru hava hacimsel debisi , V_a kuru hava hızı ρ_a kuru hava yoğunluğu , A direk evaporatif soğutucunun yan alanı, B ve H sırasıyla ped genişliği ve yüksekliğidir. (Şekil 2)

Duyular ısı aşağıdaki şekilde ifade edilebilir.

$$dQ_{sen} = \dot{m}_a \cdot C_{pu} \cdot dT = h_e \cdot (T_s - T) \cdot dA_w \quad (3)$$

Eş. (3) 'de h_e taşınım ısı transfer katsayısı, T_s su yüzey sıcaklığı , T kuru termometre sıcaklığı , dA_w toplam ıslak yüzey alan değişimidir. Toplam yüzey alan değişimi; [20]

$$dA_w = \xi \cdot B \cdot H \cdot d_x \quad (4)$$

Eş.(4)'de ξ , birim ped hacmi başına gözenek yüzey katsayısidır ve aşağıdaki eşitlik ile belirlenir. [20]

$$l_e = \left(\frac{V_p}{A_w} \right) = \bar{z}^{-1} \quad (5)$$

Eş. (5)'de l_e karakteristik uzunluk , V_p evaporatif ped hacmi ve A_w toplam ıslak yüzey alanıdır (ısı transfer yüzey alanı) ve Eş. (6) ile hesaplanır. [20]

$$A_w = A_s \cdot V_p \quad (6)$$

Eş. (6)'da A_s ortamin birim m^3 hacmi başına evaporatif yüzey alanıdır ve $370 \text{ m}^2/\text{m}^3$ sabit değerine sahiptir. [30]

Su buharlaşması boyunca hava tarafından kazanılan ısı ;

$$dQ_{lat} = h_{lw} \cdot C_{pu} \cdot d\dot{m}_w \quad (7)$$

h_{lw} , su buharının duyulur ısısı, $d\dot{m}_w$ havaya geçen su buharının kütlesel debisidir ve aşağıdaki şekilde hesaplanabilir.

$$d\dot{m}_w = \dot{m}_a \cdot dw = \dot{m}_a \cdot (w_b - w_a) = h_m \cdot (w_s - w_a) \cdot dA_w \quad (8)$$

Eş.(8)'de h_m , kütle transfer katsayısı , w_s doymuş hava nem oranı , w_b ve w_a sırasıyla çıkan ve giriş havanın nem oranıdır. Dolayısıyla duyulur ısı ;

$$dQ_{lat} = h_{lw} \cdot h_m \cdot (w_s - w_a) \cdot dA_w \quad (9)$$

Eş. (3) integre edilirse ;

$$\dot{m}_a \cdot C_{pu} \cdot dT = h_c \cdot (T_s - T) \cdot dA_w \quad (10)$$

$$\int_{T_{db,a}}^{T_{db,b}} \frac{dT}{(T_s - T)} = \int_0^A \frac{h_c}{\dot{m}_a \cdot C_{pu}} \cdot dA_w \quad (11)$$

$$\frac{(T_s - T_{db,b})}{(T_s - T_{db,a})} = \exp \left(\frac{-A_w \cdot h_c}{\dot{m}_a \cdot C_{pu}} \right) \quad (12)$$

Soğutma etkinliği Eş.(13) ile hesaplanabilir.

$$\varepsilon = \frac{(T_{db,a} - T_{db,b})}{(T_{db,a} - T_{wb,a})} \quad (13)$$

Denklem Eş.(13) , Eş.(12)'de yerine konulursa;

$$\varepsilon = 1 - \exp\left(\frac{-A_w h_c}{\dot{m}_a C_{pu}}\right) \quad (14)$$

Turbülsüzlük akış için riyit bir selülozik kağıt evaporatif ortamındaki taşınım ısı transfer katsayısı aşağıdaki eşitlikten hesaplanabilir.

$$N_u = 0,1 \left(\frac{l_e}{\delta}\right)^{0,12} R_e^{0,8} P_r^{1/3} \quad (15)$$

Eş. (15)'de δ ped kalınlığıdır. Nu , Re , Pr sırasıyla Eş. (16) , Eş. (17) , Eş. (18) ile hesaplanır.

$$N_u = \left(\frac{h_c l_e}{k_u}\right)^{\cdot} \quad (16)$$

$$R_e = \left(\frac{\rho_u V_a l_e}{\mu_u}\right)^{\cdot} \quad (17)$$

$$P_r = \left(\frac{\mu_u C_{pu}}{k_u}\right)^{\cdot} \quad (18)$$

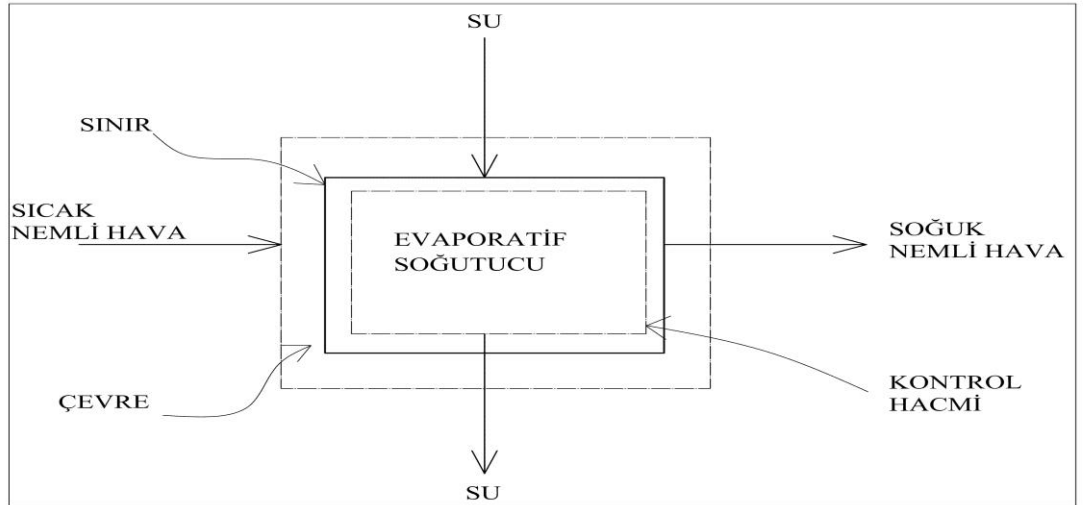
Eş. (16)-(18)'de h_c taşınım ısı transfer katsayısıdır ve Eş. (15) ve Eş. (16)'nın eşitlenmesiyle elde edilir. k_u , ρ_u , μ_u ve C_{pu} sırasıyla nemli havanın ısı iletim katsayısı ,yoğunluğu ,dinamik vızkositesi ve övgül ısısıdır.

Eş. (2),(3),(15) ve (16)'dan teorik soğutma etkinliği aşağıdaki şekilde elde edilir.

$$\varepsilon_t = 1 - \exp\left(\frac{-0,1 \cdot k_u \cdot \delta^{0,88} \cdot 3^{1,88} \cdot Re^{0,8} \cdot Pr^{1/3}}{\rho_a V_a C_{pu}}\right) \quad (19)$$

5.2.Ekserji Analizi

Şekil 5 te gösterilen kontrol hacmi için ekserji dengesi Eş. (20) ile verilmiştir.



Eş. (20) [26].

$$\sum_{in} X - \sum_{out} X - X_{destroyd} = 0 \quad (21)$$

$$\sum_{in} X = X_{h,u} + X_{w,in} \quad (22)$$

$$\sum_{out} X = X_{c,u} + X_{w,out} \quad (23)$$

Direk evaporatif soğutucunun kontrol hacmi için ekseji dengesi ;

$$X_{h,u} + X_{w,in} - X_{c,u} + X_{w,out} - X_{destroyd} = 0 \quad (24)$$

Burada $X_{h,u}$, X_w , $X_{c,u}$ sırasıyla giren sıcak nemli havanın ekserjisi , suyun ekserjisi ve çıkan soğuk nemli havanın ekserjisidir. Kinetik ve potansiyel etkileri ihmal edilirse kararlı koşullar altında özgül ekserji ;

$$\psi_i = \psi_{termal} + \psi_{mekanik} + \psi_{kimyasal} \quad (25)$$

Burada ψ_{termal} , $\psi_{mekanik}$ ve $\psi_{kimyasal}$ sırasıyla havanın ısıl , mekanik ve kimyasal ekserjilerdir ve sırasıyla Eş. (26) , (27) ve (28) ile hesaplanabilir. T_0 , w , C_{pa} ve C_{pv} sırasıyla ölü hal hava sıcaklığı , mutlak nem ve özgül ıslarıdır.

$$\psi_{termal} = (C_{pa} + w \cdot C_{pv}) \cdot T_0 \cdot \left[\frac{T}{T_0} - 1 - \ln \left(\frac{T}{T_0} \right) \right] \quad (26)$$

$$\psi_{mekanik} = \left(1 + 1,608 \cdot w \right) \cdot R_a \cdot T_0 \cdot \ln \left(\frac{P}{P_0} \right) \quad (27)$$

$$\psi_{kimyasal} = R_a \cdot T_0 \cdot \left[\left(1 + 1,608 \cdot w \right) \cdot \ln \left(\frac{(1+1,608 \cdot w_0)}{(1+1,608 \cdot w)} \right) + \left(1 + 1,608 \cdot w \right) \cdot \ln \left(\frac{w}{w_0} \right) \right] \quad (28)$$

Diğer taraftan suyun özgül ekserjisi Eş. (29) ile hesaplanır. \emptyset , h_w ve s_w , h_0 ve s_0 sırasıyla bağıl nem, suyun entalpi ve entropisi, sistemin ölü hal koşullarındaki entalpi ve entropisidir.

$$Exw = \dot{m}_w [(h_w - h_0) + T_0(s_w - s_0) - R_0 \cdot T_0 \cdot \ln(\emptyset)] \quad (29)$$

Evaporatif soğutucunun toplam soğutma ekserji verimi Eş. (30) ile hesaplanır.

$$\varepsilon_{ekserji} = \frac{\psi_{i,out}}{Exw + \psi_{i,in} + P_{fan} + P_{pompa}} \quad (30)$$

6. ARAŞTIRMA SONUÇLARI

Evaporatif soğutma sisteminde 3 farklı ped kalınlığında (80-90-100 mm) ve 3 farklı fan hızında (1,2 - 1,5 - 1,7 m/s) deneysel ve teorik enerji ve deneysel ekserji verimleri karşılaştırılmıştır. Her bir ped kalınlığı ve her bir hız için deneyler üçer defa tekrarlanmış ve toplam 27 adet deney yapılmıştır. Deneyler, saat 10.00 ile 15.00 arasında 15'er dakikalık aralıklarla yapılmış olup giriş ve çıkış havalarının sıcaklıkları, bağıl nemleri ve hava hızları ile giren suyun kütlesel debisi ölçülmüştür.

100 mm ped kalınlığı ve 1,5 m/s hava giriş hızı için yapılan birinci deneyin (Deney No 1) ölçüm sonuçları, termodinamik özelliklerini ve teorik ve deneysel olarak hesaplanan enerji verim değerleri ve ekserji analiz değerleri sırasıyla Çizelge 6.1 ve Çizelge 6.2'de verilmiştir. Aynı şekilde benzer ped kalınlığı ve hava giriş hızı için tekrarlanan ikinci (Deney No 2) ve üçüncü (Deney No 3) için enerji ve ekserji analizi ve ölçüm sonuçları sırasıyla Çizelge 6.3, 6.4, 6.5 ve 6.6'da verilmiştir. Her üç deneyde de $m_w=0,01344$, $m_a=0,004935$ $T_w=22,4^{\circ}\text{C}$, 1 atm sabit alınmıştır.

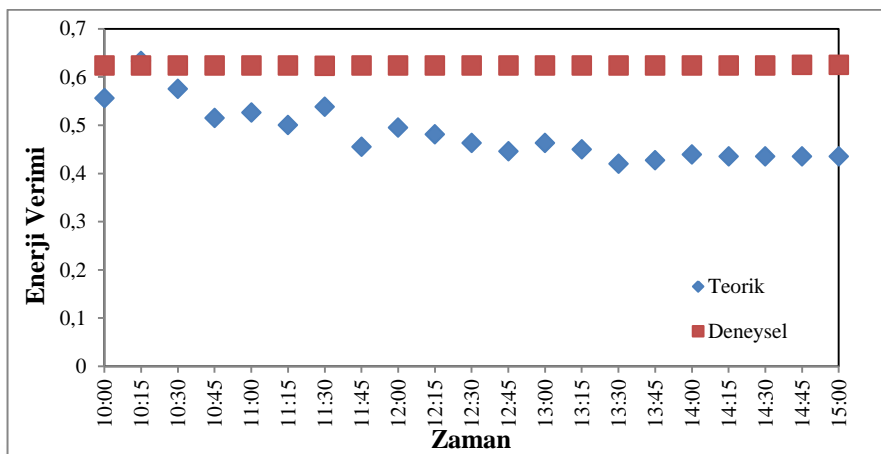
Çizelge 6.1. : Deney No 1 için, 100 mm ped kalınlığı ve 1,5 m/s hava giriş hızı ölçüm, termodinamik özellikler ve enerji analiz sonuçları ($m_w=0,01344$, $m_a=0,004935$, $T_w=22,4^{\circ}\text{C}$, 1 atm sabit alınmıştır.)

| Zaman | $T_{dh,a}$ (°C) | W_a (%) | h_a (kj/kg) | S_a (Kj/Kg·K) | $T_{wh,a}$ (°C) | $T_{dh,b}$ (°C) | W_b (%) | H_b (kj/kg) | S_b (Kj/Kg·K) | P_u (Kg/m³) | K_u (kJ/Kg·K) | μ_u (Kg/m.s) | Re | Pr | h_c (Kj/Kg·K) | Deneysel verim | Teorik verim | Verim farkı |
|-------|-----------------|-----------|---------------|-----------------|-----------------|-----------------|-----------|---------------|-----------------|---------------|-----------------|------------------|--------|--------|-----------------|----------------|--------------|-------------|
| 10,00 | 24,8 | 48,9 | 49,1 | 3,9034 | 15,6 | 19,8 | 88,9 | 54,5 | 3,8924 | 1,18512 | 0,02550 | 0,0000185 | 260,07 | 0,7296 | 47,09 | 0,624 | 0,556 | 0,109 |
| 10,15 | 24,9 | 49,1 | 49,5 | 3,8967 | 15,7 | 19,9 | 89,1 | 54,9 | 3,8857 | 1,18473 | 0,02550 | 0,0000185 | 259,92 | 0,7296 | 47,08 | 0,624 | 0,633 | -0,014 |
| 10,30 | 25 | 50,3 | 50,4 | 3,9067 | 15,7 | 20 | 90,3 | 55,8 | 3,8957 | 1,18433 | 0,02551 | 0,0000185 | 259,77 | 0,7295 | 47,07 | 0,624 | 0,575 | 0,079 |
| 10,45 | 25,1 | 52,1 | 51,7 | 3,6064 | 15,8 | 20,1 | 92,1 | 56,6 | 3,5954 | 1,18394 | 0,02552 | 0,0000185 | 259,61 | 0,7295 | 47,06 | 0,624 | 0,515 | 0,175 |
| 11,00 | 25,1 | 52,8 | 52 | 3,9087 | 15,9 | 20,1 | 92,8 | 56,9 | 3,8977 | 1,18394 | 0,02552 | 0,0000185 | 259,61 | 0,7295 | 47,06 | 0,624 | 0,526 | 0,157 |
| 11,15 | 24,6 | 52,9 | 50,7 | 3,9081 | 15,9 | 19,6 | 92,9 | 55,3 | 3,8971 | 1,18591 | 0,02548 | 0,0000185 | 260,37 | 0,7296 | 47,11 | 0,624 | 0,500 | 0,199 |
| 11,30 | 24,2 | 53,8 | 50,1 | 3,9116 | 16 | 19,2 | 93,8 | 54,4 | 3,905 | 1,18748 | 0,02545 | 0,0000184 | 260,98 | 0,7298 | 47,14 | 0,623 | 0,538 | 0,136 |
| 11,45 | 24,8 | 53,1 | 51,4 | 3,9117 | 16 | 19,8 | 93,1 | 56,1 | 3,9007 | 1,18512 | 0,02550 | 0,0000185 | 260,07 | 0,7296 | 47,09 | 0,624 | 0,455 | 0,271 |
| 12,00 | 25 | 52,1 | 51,4 | 3,9147 | 16 | 20 | 92,1 | 56,3 | 3,9037 | 1,18433 | 0,02551 | 0,0000185 | 259,77 | 0,7295 | 47,07 | 0,624 | 0,495 | 0,207 |
| 12,15 | 25,1 | 52,7 | 52 | 3,9163 | 16,4 | 20,1 | 92,7 | 56,9 | 3,9053 | 1,18394 | 0,02552 | 0,0000185 | 259,61 | 0,7295 | 47,06 | 0,624 | 0,481 | 0,229 |
| 12,30 | 25,2 | 51,6 | 51,6 | 3,9226 | 16,4 | 20,2 | 91,6 | 56,7 | 3,9116 | 1,18355 | 0,02552 | 0,0000185 | 259,46 | 0,7295 | 47,05 | 0,624 | 0,463 | 0,258 |
| 12,45 | 24,9 | 50,9 | 50,5 | 3,9232 | 16,5 | 19,9 | 90,9 | 55,7 | 3,9122 | 1,18473 | 0,02550 | 0,0000185 | 259,92 | 0,7296 | 47,08 | 0,624 | 0,446 | 0,285 |
| 13,00 | 24,8 | 50,6 | 50,2 | 3,9235 | 16,2 | 19,8 | 90,6 | 55 | 3,9125 | 1,18512 | 0,02550 | 0,0000185 | 260,07 | 0,7296 | 47,09 | 0,624 | 0,463 | 0,258 |
| 13,15 | 25,2 | 49,3 | 50,6 | 3,9229 | 16,2 | 20,2 | 89,3 | 56 | 3,9119 | 1,18355 | 0,02552 | 0,0000185 | 259,46 | 0,7295 | 47,05 | 0,624 | 0,450 | 0,279 |
| 13,30 | 25,4 | 50,6 | 51,5 | 3,919 | 16,1 | 20,4 | 90,6 | 56,9 | 3,908 | 1,18276 | 0,02554 | 0,0000185 | 259,16 | 0,7294 | 47,03 | 0,624 | 0,420 | 0,327 |
| 13,45 | 26 | 49,9 | 52,9 | 3,918 | 16 | 21 | 89,9 | 58,8 | 3,907 | 1,18040 | 0,02558 | 0,0000185 | 258,25 | 0,7293 | 46,98 | 0,624 | 0,427 | 0,109 |
| 14,00 | 26,2 | 49,6 | 53,1 | 3,918 | 16,2 | 21,2 | 89,6 | 59,3 | 3,907 | 1,17961 | 0,02560 | 0,0000185 | 257,95 | 0,7292 | 46,96 | 0,624 | 0,439 | -0,014 |
| 14,15 | 26,3 | 50,8 | 54,2 | 3,9193 | 16,2 | 21,3 | 90,8 | 60,2 | 3,9083 | 1,17922 | 0,02561 | 0,0000185 | 257,80 | 0,7292 | 46,95 | 0,624 | 0,435 | 0,079 |
| 14,30 | 26,4 | 48,8 | 53,3 | 3,9186 | 16,1 | 21,4 | 88,8 | 59,7 | 3,9076 | 1,17883 | 0,02561 | 0,0000185 | 257,65 | 0,7292 | 46,94 | 0,624 | 0,435 | 0,175 |
| 14,45 | 26,5 | 49,1 | 53,7 | 3,9176 | 15,9 | 21,5 | 89,1 | 60,1 | 3,9066 | 1,17843 | 0,02562 | 0,0000186 | 257,50 | 0,7291 | 46,94 | 0,625 | 0,435 | 0,157 |
| 15,00 | 26,6 | 48,9 | 53,8 | 3,9155 | 15,8 | 21,6 | 88,9 | 60,5 | 3,9045 | 1,17804 | 0,02563 | 0,0000186 | 257,35 | 0,7291 | 46,93 | 0,625 | 0,435 | 0,199 |

Çizelge 6.2. : Deney No 1 için, 100 mm ped kalınlığı ve 1,5 m/s hava giriş hızı ölçüm, termodinamik özellikler ve ekserji analiz sonuçları ($m_w=0,01344$, $m_a=0,004935$, $T_w=22,4^{\circ}\text{C}$, 1 atm sabit alınmıştır.)

| Zaman | $T_{db,a}$ ($^{\circ}\text{C}$) | W_a (%) | h_a (kj/kg) | S_a (Kj/Kg-K) | W_a | $T_{db,b}$ ($^{\circ}\text{C}$) | W_b (%) | H_b (kj/kg) | S_b (Kj/Kg-K) | W_b | $\Psi_{water,a}$ | $\Psi_{termal,a}$ | $\Psi_{mekanik,a}$ | $\Psi_{kinyasla,a}$ | $\Psi_{toplam,a}$ | $\Psi_{termal,b}$ | $\Psi_{mekanik,b}$ | $\Psi_{kinyasla,b}$ | $\Psi_{toplam,b}$ | Eksjerji verim |
|-------|-----------------------------------|-----------|---------------|-----------------|--------|-----------------------------------|-----------|---------------|-----------------|--------|------------------|-------------------|--------------------|---------------------|-------------------|-------------------|--------------------|---------------------|-------------------|----------------|
| 10,00 | 24,8 | 48,9 | 49,1 | 3,9034 | 0,0095 | 19,8 | 88,9 | 54,5 | 3,8924 | 0,0134 | 11,058 | 0,000000 | 0,00032 | 0,00001 | 11,05848 | 0,00088 | 0,001245 | 0,007158 | 0,0093 | 0,00084 |
| 10,15 | 24,9 | 49,1 | 49,5 | 3,8967 | 0,0096 | 19,9 | 89,1 | 54,9 | 3,8857 | 0,0135 | 11,058 | 0,000000 | 0,00032 | 0,00000 | 11,05847 | 0,00085 | 0,001245 | 0,007158 | 0,0093 | 0,00083 |
| 10,30 | 25 | 50,3 | 50,4 | 3,9067 | 0,0099 | 20 | 90,3 | 55,8 | 3,8957 | 0,0138 | 11,058 | 0,000000 | 0,00032 | 0,00000 | 11,05847 | 0,00082 | 0,001245 | 0,007158 | 0,0092 | 0,00083 |
| 10,45 | 25,1 | 52,1 | 51,7 | 3,6064 | 0,0104 | 20,1 | 92,1 | 56,6 | 3,5954 | 0,0141 | 11,058 | 0,000000 | 0,00032 | 0,00001 | 11,05848 | 0,00078 | 0,001245 | 0,007158 | 0,0092 | 0,00083 |
| 11,00 | 25,1 | 52,8 | 52 | 3,9087 | 0,0105 | 20,1 | 92,8 | 56,9 | 3,8977 | 0,0142 | 11,058 | 0,000000 | 0,00032 | 0,00001 | 11,05848 | 0,00079 | 0,001245 | 0,007158 | 0,0092 | 0,00083 |
| 11,15 | 24,6 | 52,9 | 50,7 | 3,9081 | 0,0102 | 19,6 | 92,9 | 55,3 | 3,8971 | 0,0138 | 11,058 | 0,000001 | 0,00032 | 0,00000 | 11,05848 | 0,00095 | 0,001245 | 0,007158 | 0,0094 | 0,00084 |
| 11,30 | 24,2 | 53,8 | 50,1 | 3,916 | 0,0101 | 19,2 | 93,8 | 54,4 | 3,905 | 0,0136 | 11,058 | 0,000006 | 0,00032 | 0,00000 | 11,05848 | 0,00110 | 0,001245 | 0,007158 | 0,0095 | 0,00086 |
| 11,45 | 24,8 | 53,1 | 51,4 | 3,9117 | 0,0104 | 19,8 | 93,1 | 56,1 | 3,9007 | 0,014 | 11,058 | 0,000000 | 0,00032 | 0,00001 | 11,05848 | 0,00088 | 0,001245 | 0,007158 | 0,0093 | 0,00084 |
| 12,00 | 25 | 52,1 | 51,4 | 3,9147 | 0,0103 | 20 | 92,1 | 56,3 | 3,9037 | 0,014 | 11,058 | 0,000000 | 0,00032 | 0,00001 | 11,05848 | 0,00082 | 0,001245 | 0,007158 | 0,0092 | 0,00083 |
| 12,15 | 25,1 | 52,7 | 52 | 3,9163 | 0,0105 | 20,1 | 92,7 | 56,9 | 3,9053 | 0,0142 | 11,058 | 0,000000 | 0,00032 | 0,00001 | 11,05848 | 0,00079 | 0,001245 | 0,007158 | 0,0092 | 0,00083 |
| 12,30 | 25,2 | 51,6 | 51,6 | 3,9226 | 0,0103 | 20,2 | 91,6 | 56,7 | 3,9116 | 0,0141 | 11,058 | 0,000000 | 0,00032 | 0,00001 | 11,05848 | 0,00075 | 0,001245 | 0,007158 | 0,0092 | 0,00083 |
| 12,45 | 24,9 | 50,9 | 50,5 | 3,9232 | 0,01 | 19,9 | 90,9 | 55,7 | 3,9122 | 0,0138 | 11,058 | 0,000000 | 0,00032 | 0,00000 | 11,05847 | 0,00085 | 0,001245 | 0,007158 | 0,0093 | 0,00083 |
| 13,00 | 24,8 | 50,6 | 50,2 | 3,9235 | 0,0099 | 19,8 | 90,6 | 55 | 3,9125 | 0,0136 | 11,058 | 0,000000 | 0,00032 | 0,00000 | 11,05847 | 0,00088 | 0,001245 | 0,007158 | 0,0093 | 0,00084 |
| 13,15 | 25,2 | 49,3 | 50,6 | 3,9229 | 0,0099 | 20,2 | 89,3 | 56 | 3,9119 | 0,0138 | 11,058 | 0,000000 | 0,00032 | 0,00000 | 11,05847 | 0,00075 | 0,001245 | 0,007158 | 0,0092 | 0,00083 |
| 13,30 | 25,4 | 50,6 | 51,5 | 3,919 | 0,0102 | 20,4 | 90,6 | 56,9 | 3,908 | 0,0141 | 11,058 | 0,000001 | 0,00032 | 0,00000 | 11,05848 | 0,00069 | 0,001245 | 0,007158 | 0,0091 | 0,00082 |
| 13,45 | 26 | 49,9 | 52,9 | 3,918 | 0,0105 | 21 | 89,9 | 58,8 | 3,907 | 0,0146 | 11,058 | 0,000009 | 0,00032 | 0,00001 | 11,05849 | 0,00052 | 0,001245 | 0,007158 | 0,0089 | 0,00080 |
| 14,00 | 26,2 | 49,6 | 53,1 | 3,918 | 0,0105 | 21,2 | 89,6 | 59,3 | 3,907 | 0,0147 | 11,058 | 0,000012 | 0,00032 | 0,00001 | 11,05850 | 0,00047 | 0,001245 | 0,007158 | 0,0089 | 0,00080 |
| 14,15 | 26,3 | 50,8 | 54,2 | 3,9193 | 0,0109 | 21,3 | 90,8 | 60,2 | 3,9083 | 0,015 | 11,058 | 0,000015 | 0,00032 | 0,00003 | 11,05852 | 0,00045 | 0,001245 | 0,007158 | 0,0089 | 0,00080 |
| 14,30 | 26,4 | 48,8 | 53,3 | 3,9186 | 0,0105 | 21,4 | 88,8 | 59,7 | 3,9076 | 0,0148 | 11,058 | 0,000017 | 0,00032 | 0,00001 | 11,05850 | 0,00042 | 0,001245 | 0,007158 | 0,0088 | 0,00080 |
| 14,45 | 26,5 | 49,1 | 53,7 | 3,9176 | 0,0106 | 21,5 | 89,1 | 60,1 | 3,9066 | 0,0149 | 11,058 | 0,000019 | 0,00032 | 0,00002 | 11,05851 | 0,00040 | 0,001245 | 0,007158 | 0,0088 | 0,00079 |
| 15,00 | 26,6 | 48,9 | 53,8 | 3,9155 | 0,0106 | 21,6 | 88,9 | 60,5 | 3,9045 | 0,015 | 11,058 | 0,000022 | 0,00032 | 0,00002 | 11,05851 | 0,00038 | 0,001245 | 0,007158 | 0,0088 | 0,00079 |

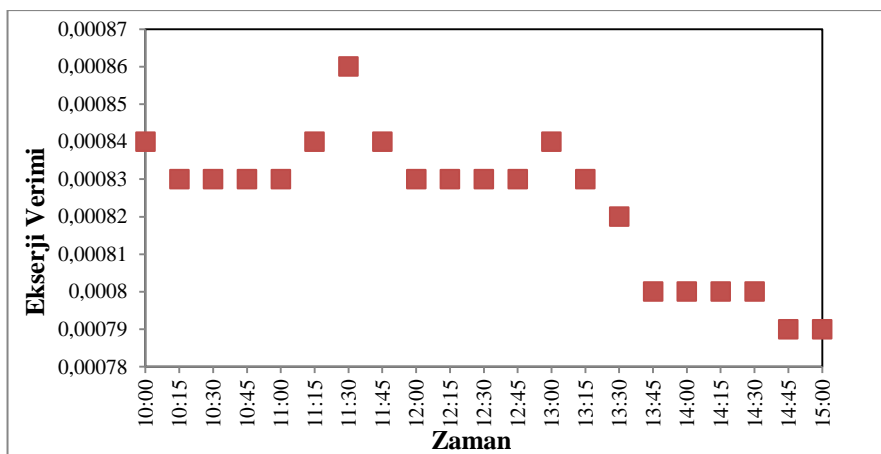
Şekil 6.1'de 100 mm ped kalınlığı ve 1,5 m/s hava giriş hızı için zamana bağlı olarak birinci deney için teorik ve deneysel enerji verimi değişimi verilmiştir.



Şekil 6.1. 100 mm ped kalınlığı ve 1,5 m/s hava giriş hızı için deneysel ve teorik enerji verimi (Deney No 1)

Şekil 6.1'de görüldüğü gibi, teorik enerji verimi 0,42 ile 0,633 arasında değişirken deneysel enerji verimi 0,624 ile 0,625 arasında çok az değişmektedir.

Şekil 6.2'de 100 mm ped kalınlığı ve 1,5 m/s hava giriş hızı için zamana bağlı olarak deneysel olarak hesaplanan ekserji verimi değişimi verilmiştir.



Şekil 6.2. 100 mm ped kalınlığı ve 1,5 m/s hava giriş hızı için deneysel ekserji verimi (Deney No 1)

Şekil 6.2'den görüldüğü gibi, ekserji verimi değeri 0.00079 ile 0.00084 arasında değişmektedir.

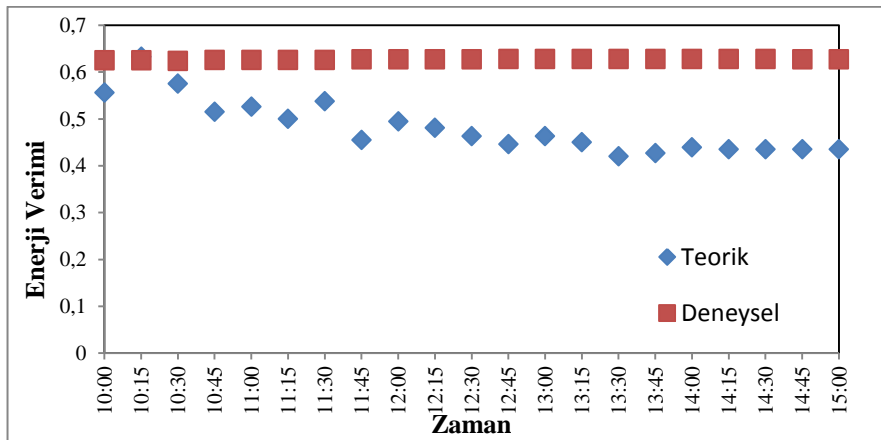
Çizelge 6.3. : Deney No 2, 100 mm , 1,5 m/s Ölçüm Sonuçları ($m_w=0,01344$, $m_a=0,004935$ $T_w=22,4$ °C ,1 atm sabit alınmıştır.)

| Zaman | $T_{db,a}$ (°C) | W_a (%) | h_a (kJ/kg) | S_a (KJ/Kg-K) | $T_{wh,a}$ (°C) | $T_{db,b}$ (°C) | W_b (%) | H_b (kJ/kg) | S_b (KJ/Kg-K) | P_u (Kg/m³) | K_u (kJ/Kg.K) | μ_u (Kg/m.s) | Re | Pr | h_c (KJ/Kg.K) | Deneysel verim | Teorik verim | Verim farkı |
|-------|-----------------|-----------|---------------|-----------------|-----------------|-----------------|-----------|---------------|-----------------|---------------|-----------------|------------------|--------|--------|-----------------|----------------|--------------|-------------|
| 10,00 | 28 | 42,2 | 53,7 | 3,8924 | 19 | 23 | 87,2 | 62,3 | 3,8867 | 1,1725 | 0,02573 | 0,0000186 | 255,25 | 0,7287 | 46,80 | 0,625 | 0,556 | 0,110 |
| 10,15 | 26,7 | 47,3 | 53,1 | 3,8857 | 18,8 | 21,7 | 92,3 | 60,2 | 3,8881 | 1,1776 | 0,02564 | 0,0000186 | 257,20 | 0,7291 | 46,92 | 0,625 | 0,633 | -0,013 |
| 10,30 | 26 | 41,6 | 48,3 | 3,8957 | 17,3 | 21 | 86,6 | 55,4 | 3,8796 | 1,1804 | 0,02558 | 0,0000185 | 258,25 | 0,7293 | 46,98 | 0,624 | 0,575 | 0,079 |
| 10,45 | 29 | 40,1 | 54,7 | 3,5954 | 19,3 | 24 | 85,1 | 64,9 | 3,8759 | 1,1686 | 0,02581 | 0,0000187 | 253,75 | 0,7284 | 46,71 | 0,626 | 0,515 | 0,177 |
| 11,00 | 28,9 | 41,2 | 55,1 | 3,8977 | 19,4 | 23,9 | 86,2 | 65 | 3,8834 | 1,1689 | 0,02580 | 0,0000187 | 253,90 | 0,7285 | 46,72 | 0,626 | 0,526 | 0,160 |
| 11,15 | 29,6 | 39,3 | 55,8 | 3,8971 | 19,6 | 24,6 | 84,3 | 66,5 | 3,8766 | 1,1662 | 0,02585 | 0,0000187 | 252,86 | 0,7283 | 46,65 | 0,626 | 0,500 | 0,201 |
| 11,30 | 29,4 | 42,6 | 57,4 | 3,905 | 20,1 | 24,4 | 87,6 | 67,6 | 3,8807 | 1,1670 | 0,02584 | 0,0000187 | 253,16 | 0,7283 | 46,67 | 0,626 | 0,538 | 0,141 |
| 11,45 | 31,8 | 37,1 | 59,9 | 3,9007 | 20,8 | 26,8 | 82,1 | 73,6 | 3,8783 | 1,1575 | 0,02601 | 0,0000188 | 249,61 | 0,7277 | 46,45 | 0,627 | 0,455 | 0,274 |
| 12,00 | 30,5 | 40,1 | 58,6 | 3,9037 | 20,4 | 25,5 | 85,1 | 70,2 | 3,881 | 1,1627 | 0,02592 | 0,0000187 | 251,53 | 0,7280 | 46,57 | 0,627 | 0,495 | 0,211 |
| 12,15 | 31,4 | 39,2 | 60,5 | 3,9053 | 21 | 26,4 | 84,2 | 73,2 | 3,882 | 1,1591 | 0,02598 | 0,0000188 | 250,20 | 0,7278 | 46,49 | 0,627 | 0,481 | 0,233 |
| 12,30 | 31,9 | 37,8 | 60,8 | 3,9116 | 21,1 | 26,9 | 82,8 | 74,5 | 3,88 | 1,1571 | 0,02602 | 0,0000188 | 249,47 | 0,7276 | 46,44 | 0,627 | 0,463 | 0,262 |
| 12,45 | 33,8 | 38,3 | 66,3 | 3,9122 | 22,6 | 28,8 | 83,3 | 82,4 | 3,8823 | 1,1497 | 0,02616 | 0,0000189 | 246,69 | 0,7271 | 46,27 | 0,628 | 0,446 | 0,290 |
| 13,00 | 33 | 39,4 | 65 | 3,9125 | 22,2 | 28 | 84,4 | 79,7 | 3,8834 | 1,1528 | 0,02610 | 0,0000189 | 247,86 | 0,7273 | 46,34 | 0,628 | 0,463 | 0,263 |
| 13,15 | 34 | 38,8 | 67,3 | 3,9119 | 22,9 | 29 | 83,8 | 83,6 | 3,884 | 1,1489 | 0,02618 | 0,0000189 | 246,40 | 0,7271 | 46,25 | 0,628 | 0,450 | 0,283 |
| 13,30 | 34,1 | 35,6 | 64,8 | 3,908 | 22,2 | 29,1 | 80,6 | 81,9 | 3,8817 | 1,1485 | 0,02618 | 0,0000189 | 246,26 | 0,7270 | 46,24 | 0,628 | 0,420 | 0,331 |
| 13,45 | 33,9 | 36,3 | 64,9 | 3,907 | 22,2 | 28,9 | 81,3 | 81,4 | 3,8807 | 1,1493 | 0,02617 | 0,0000189 | 246,55 | 0,7271 | 46,26 | 0,628 | 0,427 | 0,110 |
| 14,00 | 32,7 | 36,2 | 61,6 | 3,907 | 21,3 | 27,7 | 81,2 | 76,6 | 3,8844 | 1,1540 | 0,02608 | 0,0000188 | 248,30 | 0,7274 | 46,37 | 0,628 | 0,439 | -0,013 |
| 14,15 | 32,4 | 35,3 | 60 | 3,9083 | 20,9 | 27,4 | 80,3 | 74,8 | 3,8834 | 1,1552 | 0,02606 | 0,0000188 | 248,74 | 0,7275 | 46,40 | 0,628 | 0,435 | 0,079 |
| 14,30 | 32,3 | 35 | 59,6 | 3,9076 | 20,8 | 27,3 | 80 | 74,4 | 3,8827 | 1,1556 | 0,02605 | 0,0000188 | 248,88 | 0,7275 | 46,41 | 0,628 | 0,435 | 0,177 |
| 14,45 | 32 | 34,8 | 58,6 | 3,9066 | 20,5 | 27 | 79,8 | 73,1 | 3,8847 | 1,1568 | 0,02603 | 0,0000188 | 249,32 | 0,7276 | 46,43 | 0,627 | 0,435 | 0,160 |
| 15,00 | 32,1 | 34,9 | 58,9 | 3,9045 | 20,6 | 27,1 | 79,9 | 73,4 | 3,8808 | 1,1564 | 0,02604 | 0,0000188 | 249,17 | 0,7276 | 46,42 | 0,627 | 0,435 | 0,201 |

Çizelge 6.4. : Deney No 2, 100 mm , 1,5 m/s Ölçüm Sonuçları ($m_w=0,01344$, $m_a=0,004935$ $T_w=22,4$ °C ,1 atm sabit alınmıştır.)

| Zaman | $T_{db,a}$ (°C) | $T_{db,b}$ (°C) | W_a (%) | h_a (kj/kg) | S_a (Kj/Kg-K) | W_a | $T_{db,b}$ (°C) | W_b (%) | H_b (kj/kg) | S_b (Kj/Kg-K) | W_b | $\Psi_{water,a}$ | $\Psi_{termal,a}$ | $\Psi_{mekanik,a}$ | $\Psi_{kimyasal,a}$ | $\Psi_{toplam,a}$ | $\Psi_{termal,b}$ | $\Psi_{mekanik,b}$ | $\Psi_{kimyasal,b}$ | $\Psi_{toplam,b}$ | Ekseriј verim |
|-------|-----------------|-----------------|-----------|---------------|-----------------|-------|-----------------|-----------|---------------|-----------------|--------|------------------|-------------------|--------------------|---------------------|-------------------|-------------------|--------------------|---------------------|-------------------|---------------|
| 10.00 | 28 | 42,2 | 53,7 | 3,8924 | 0,01 | 23 | 87,2 | 62,3 | 3,8867 | 0,0154 | 11,057 | 0,000077 | 0,00032 | 0,00000 | 11,05769 | 0,00013 | 0,001245 | 0,007158 | 0,0085 | 0,00077 | |
| 10.15 | 26,7 | 47,3 | 53,1 | 3,8857 | 0,103 | 21,7 | 92,3 | 60,2 | 3,881 | 0,0151 | 11,057 | 0,000034 | 0,00036 | 0,09610 | 11,15379 | 0,00049 | 0,001245 | 0,007158 | 0,0088 | 0,00079 | |
| 10.30 | 26 | 41,6 | 48,3 | 3,8957 | 0,0087 | 21 | 86,6 | 55,4 | 3,8796 | 0,0135 | 11,057 | 0,000009 | 0,00032 | 0,00005 | 11,05767 | 0,00052 | 0,001245 | 0,007158 | 0,0089 | 0,00080 | |
| 10.45 | 29 | 40,1 | 54,7 | 3,5954 | 0,01 | 24 | 85,1 | 64,9 | 3,8759 | 0,016 | 11,057 | 0,000137 | 0,00032 | 0,00000 | 11,05775 | 0,00003 | 0,001245 | 0,007158 | 0,0084 | 0,00076 | |
| 11.00 | 28,9 | 41,2 | 55,1 | 3,8977 | 0,0102 | 23,9 | 86,2 | 65 | 3,8834 | 0,0161 | 11,057 | 0,000131 | 0,00032 | 0,00000 | 11,05774 | 0,00004 | 0,001245 | 0,007158 | 0,0084 | 0,00076 | |
| 11.15 | 29,6 | 39,3 | 55,8 | 3,8971 | 0,0102 | 24,6 | 84,3 | 66,5 | 3,8766 | 0,0164 | 11,057 | 0,000182 | 0,00032 | 0,00000 | 11,05779 | 0,00001 | 0,001245 | 0,007158 | 0,0084 | 0,00076 | |
| 11.30 | 29,4 | 42,6 | 57,4 | 3,905 | 0,0109 | 24,4 | 87,6 | 67,6 | 3,8807 | 0,0169 | 11,057 | 0,000167 | 0,00032 | 0,00003 | 11,05781 | 0,00001 | 0,001245 | 0,007158 | 0,0084 | 0,00076 | |
| 11.45 | 31,8 | 37,1 | 59,9 | 3,9007 | 0,0109 | 26,8 | 82,1 | 73,6 | 3,8783 | 0,0183 | 11,057 | 0,000396 | 0,00032 | 0,00003 | 11,05804 | 0,00010 | 0,001245 | 0,007158 | 0,0085 | 0,00077 | |
| 12.00 | 30,5 | 40,1 | 58,6 | 3,9037 | 0,0109 | 25,5 | 85,1 | 70,2 | 3,881 | 0,0175 | 11,057 | 0,000260 | 0,00032 | 0,00003 | 11,05790 | 0,00001 | 0,001245 | 0,007158 | 0,0084 | 0,00076 | |
| 12.15 | 31,4 | 39,2 | 60,5 | 3,9053 | 0,0113 | 26,4 | 84,2 | 73,2 | 3,882 | 0,0183 | 11,057 | 0,000352 | 0,00032 | 0,00006 | 11,05802 | 0,00006 | 0,001245 | 0,007158 | 0,0084 | 0,00076 | |
| 12.30 | 31,9 | 37,8 | 60,8 | 3,9116 | 0,0112 | 26,9 | 82,8 | 74,5 | 3,88 | 0,0186 | 11,057 | 0,000408 | 0,00032 | 0,00005 | 11,05807 | 0,00012 | 0,001245 | 0,007158 | 0,0085 | 0,00077 | |
| 12.45 | 33,8 | 38,3 | 66,3 | 3,9122 | 0,0126 | 28,8 | 83,3 | 82,4 | 3,8823 | 0,0209 | 11,057 | 0,000665 | 0,00032 | 0,00023 | 11,05850 | 0,00047 | 0,001245 | 0,007158 | 0,0088 | 0,00080 | |
| 13.00 | 33 | 39,4 | 65 | 3,9125 | 0,0124 | 28 | 84,4 | 79,7 | 3,8834 | 0,0202 | 11,057 | 0,000550 | 0,00032 | 0,00019 | 11,05835 | 0,00029 | 0,001245 | 0,007158 | 0,0086 | 0,00078 | |
| 13.15 | 34 | 38,8 | 67,3 | 3,9119 | 0,0129 | 29 | 83,8 | 83,6 | 3,884 | 0,0213 | 11,057 | 0,000696 | 0,00032 | 0,00028 | 11,05858 | 0,00052 | 0,001245 | 0,007158 | 0,0089 | 0,00080 | |
| 13.30 | 34,1 | 35,6 | 64,8 | 3,908 | 0,0119 | 29,1 | 80,6 | 81,9 | 3,8817 | 0,0206 | 11,057 | 0,000709 | 0,00032 | 0,00013 | 11,05844 | 0,00054 | 0,001245 | 0,007158 | 0,0089 | 0,00081 | |
| 13.45 | 33,9 | 36,3 | 64,9 | 3,907 | 0,012 | 28,9 | 81,3 | 81,4 | 3,8807 | 0,0205 | 11,057 | 0,000679 | 0,00032 | 0,00014 | 11,05843 | 0,00049 | 0,001245 | 0,007158 | 0,0088 | 0,00080 | |
| 14.00 | 32,7 | 36,2 | 61,6 | 3,907 | 0,0112 | 27,7 | 81,2 | 76,6 | 3,8844 | 0,0191 | 11,057 | 0,000508 | 0,00032 | 0,00005 | 11,05817 | 0,00023 | 0,001245 | 0,007158 | 0,0086 | 0,00078 | |
| 14.15 | 32,4 | 35,3 | 60 | 3,9083 | 0,0107 | 27,4 | 80,3 | 74,8 | 3,8834 | 0,0185 | 11,057 | 0,000468 | 0,00032 | 0,00002 | 11,05810 | 0,00019 | 0,001245 | 0,007158 | 0,0085 | 0,00077 | |
| 14.30 | 32,3 | 35 | 59,6 | 3,9076 | 0,0106 | 27,3 | 80 | 74,4 | 3,8827 | 0,0184 | 11,057 | 0,000456 | 0,00032 | 0,00002 | 11,05808 | 0,00017 | 0,001245 | 0,007158 | 0,0085 | 0,00077 | |
| 14.45 | 32 | 34,8 | 58,6 | 3,9066 | 0,0103 | 27 | 79,8 | 73,1 | 3,8847 | 0,018 | 11,057 | 0,000419 | 0,00032 | 0,00001 | 11,05803 | 0,00013 | 0,001245 | 0,007158 | 0,0085 | 0,00077 | |
| 15.00 | 32,1 | 34,9 | 58,9 | 3,9045 | 0,0104 | 27,1 | 79,9 | 73,4 | 3,8808 | 0,0181 | 11,057 | 0,000431 | 0,00032 | 0,00001 | 11,05805 | 0,00014 | 0,001245 | 0,007158 | 0,0085 | 0,00077 | |

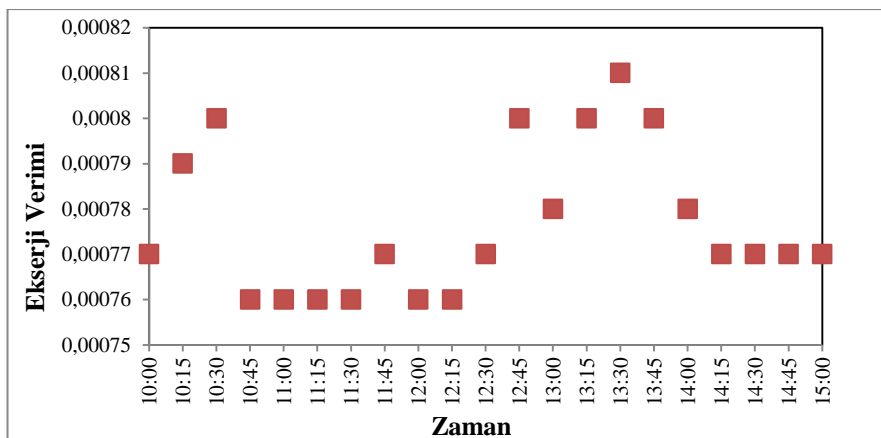
Şekil 6.3'de 100 mm ped kalınlığı ve 1,5 m/s hava giriş hızı için zamana bağlı olarak ikinci deney için teorik ve deneysel enerji verimi değişimi verilmiştir.



Şekil 6.3: 100 mm ped kalınlığı ve 1,5 m/s hava giriş hızı için deneysel ve teorik enerji verimi (Deney No 2)

Şekil 6.3'de görüldüğü gibi, teorik enerji verimi 0,42 ile 0,633 arasında değişirken deneysel enerji verimi 0,63 ile 0,64 arasında çok az değişmektedir.

Şekil 6.4'de 100 mm ped kalınlığı ve 1,5 m/s hava giriş hızı için zamana bağlı olarak deneysel olarak hesaplanan ekserji verimi değişimi verilmiştir.



Şekil 6.4: 100 mm ped kalınlığı ve 1,5 m/s hava giriş hızı için deneysel ve teorik enerji verimi (Deney No 2)

Şekil 6.4'den görüldüğü gibi ekserji verimi ise 0,00076 ile 0,00081 arasında değişmektedir.

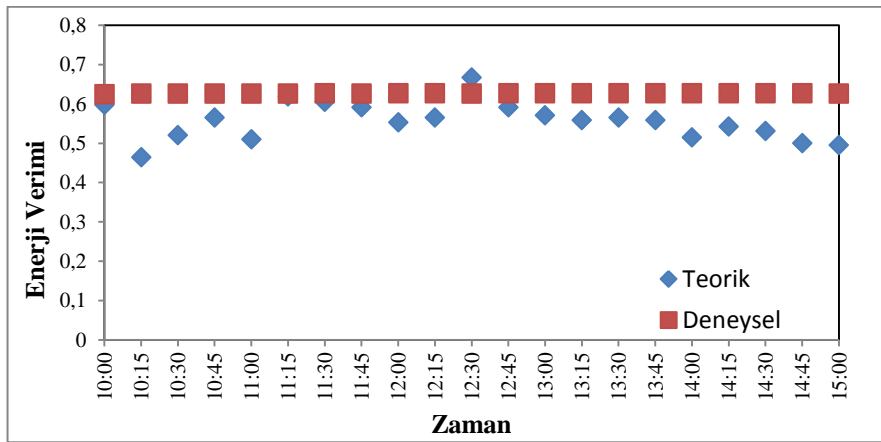
Çizelge 6.5. : Deney No 3, 100 mm, 1,5 m/s Ölçüm Sonuçları ($m_w=0,01344$, $m_a=0,004935$ $T_w=23,3$ °C, 1 atm sabit alınmıştır.

| Zaman | $T_{dh,a}$ (°C) | W_a (%) | h_a (kj/kg) | S_a (Kj/Kg.K) | $T_{wh,a}$ (°C) | $T_{dh,b}$ (°C) | W_b (%) | H_b (kj/kg) | S_b (Kj/Kg.K) | P_u (Kg/m³) | K_u (kJ/Kg.K) | μ_u (Kg/m.s) | Re | Pr | h_e (Kj/Kg.K) | Deneysel verim | Teorik verim | Verim farkı |
|-------|-----------------|-----------|---------------|-----------------|-----------------|-----------------|-----------|---------------|-----------------|---------------|-----------------|------------------|--------|--------|-----------------|----------------|--------------|-------------|
| 10,00 | 28,2 | 42,2 | 55,4 | 3,8924 | 13,9 | 23 | 71,4 | 68 | 3,8867 | 1,17175 | 0,02575 | 0,0000186 | 254,95 | 0,7287 | 46,78 | 0,625 | 0,598 | 0,043 |
| 10,15 | 29,7 | 48,1 | 53,1 | 3,8857 | 15,1 | 24,5 | 77,3 | 65,4 | 3,881 | 1,16585 | 0,02586 | 0,0000187 | 252,71 | 0,7282 | 46,64 | 0,626 | 0,464 | 0,259 |
| 10,30 | 30,1 | 47,9 | 57,5 | 3,8957 | 14,7 | 24,9 | 77,1 | 64 | 3,8796 | 1,16427 | 0,02589 | 0,0000187 | 252,12 | 0,7281 | 46,61 | 0,626 | 0,520 | 0,169 |
| 10,45 | 29 | 52,2 | 56,4 | 3,5954 | 15,4 | 23,8 | 81,4 | 62,4 | 3,8759 | 1,16860 | 0,02581 | 0,0000187 | 253,75 | 0,7284 | 46,71 | 0,626 | 0,565 | 0,097 |
| 11,00 | 30,2 | 43,1 | 57,1 | 3,8977 | 14,9 | 25 | 72,3 | 65,2 | 3,8834 | 1,16388 | 0,02589 | 0,0000187 | 251,97 | 0,7281 | 46,60 | 0,626 | 0,510 | 0,185 |
| 11,15 | 29,2 | 49,3 | 59,9 | 3,8971 | 15,8 | 24 | 78,5 | 61,6 | 3,8766 | 1,16781 | 0,02582 | 0,0000187 | 253,46 | 0,7284 | 46,69 | 0,626 | 0,619 | 0,011 |
| 11,30 | 30,4 | 46,1 | 61,1 | 3,905 | 16 | 25,2 | 75,3 | 64,1 | 3,8807 | 1,16309 | 0,02591 | 0,0000187 | 251,68 | 0,7281 | 46,58 | 0,627 | 0,605 | 0,035 |
| 11,45 | 29,7 | 51,4 | 60 | 3,9007 | 16,5 | 24,5 | 80,6 | 64,4 | 3,8783 | 1,16585 | 0,02586 | 0,0000187 | 252,71 | 0,7282 | 46,64 | 0,626 | 0,591 | 0,056 |
| 12,00 | 30,5 | 49,2 | 61 | 3,9037 | 16,6 | 25,3 | 78,4 | 66 | 3,881 | 1,16270 | 0,02592 | 0,0000187 | 251,53 | 0,7280 | 46,57 | 0,627 | 0,553 | 0,118 |
| 12,15 | 30,8 | 48 | 62,8 | 3,9053 | 15,7 | 25,6 | 77,2 | 66,5 | 3,882 | 1,16152 | 0,02594 | 0,0000188 | 251,09 | 0,7279 | 46,54 | 0,627 | 0,565 | 0,099 |
| 12,30 | 30,2 | 52,1 | 65,5 | 3,9116 | 15,9 | 25 | 81,3 | 66,4 | 3,88 | 1,16388 | 0,02589 | 0,0000187 | 251,97 | 0,7281 | 46,60 | 0,626 | 0,667 | -0,065 |
| 12,45 | 30,9 | 50,9 | 64,4 | 3,9122 | 17,5 | 25,7 | 80,1 | 68,4 | 3,8823 | 1,16113 | 0,02595 | 0,0000188 | 250,94 | 0,7279 | 46,54 | 0,627 | 0,591 | 0,057 |
| 13,00 | 31,2 | 53,7 | 64,5 | 3,9125 | 17,5 | 26 | 82,9 | 71 | 3,8834 | 1,15995 | 0,02597 | 0,0000188 | 250,50 | 0,7278 | 46,51 | 0,627 | 0,571 | 0,089 |
| 13,15 | 31,4 | 49,4 | 64,3 | 3,9119 | 17,9 | 26,2 | 78,6 | 69,4 | 3,884 | 1,15916 | 0,02598 | 0,0000188 | 250,20 | 0,7278 | 46,49 | 0,627 | 0,559 | 0,108 |
| 13,30 | 30,7 | 47,2 | 62,3 | 3,908 | 18,1 | 25,5 | 76,4 | 65,7 | 3,8817 | 1,16191 | 0,02593 | 0,0000187 | 251,23 | 0,7280 | 46,55 | 0,627 | 0,565 | 0,099 |
| 13,45 | 30,4 | 46,5 | 61 | 3,907 | 18,3 | 25,2 | 75,7 | 64,3 | 3,8807 | 1,16309 | 0,02591 | 0,0000187 | 251,68 | 0,7281 | 46,58 | 0,627 | 0,559 | 0,043 |
| 14,00 | 31,5 | 47,1 | 61,7 | 3,907 | 18,5 | 26,3 | 76,3 | 68,5 | 3,8844 | 1,15877 | 0,02599 | 0,0000188 | 250,06 | 0,7278 | 46,48 | 0,627 | 0,515 | 0,259 |
| 14,15 | 31,2 | 46,6 | 62,4 | 3,9083 | 18,3 | 26 | 75,8 | 67,2 | 3,8834 | 1,15995 | 0,02597 | 0,0000188 | 250,50 | 0,7278 | 46,51 | 0,627 | 0,542 | 0,169 |
| 14,30 | 31 | 48,4 | 61,2 | 3,9076 | 17,7 | 25,8 | 77,6 | 67,2 | 3,8827 | 1,16073 | 0,02595 | 0,0000188 | 250,79 | 0,7279 | 46,53 | 0,627 | 0,531 | 0,097 |
| 14,45 | 31,6 | 45,9 | 61,1 | 3,9066 | 17,3 | 26,4 | 75,1 | 68,1 | 3,8847 | 1,15837 | 0,02600 | 0,0000188 | 249,91 | 0,7277 | 46,47 | 0,627 | 0,500 | 0,185 |
| 15,00 | 30,3 | 49 | 56,5 | 3,9045 | 17 | 25,1 | 78,2 | 65,2 | 3,8808 | 1,16349 | 0,02590 | 0,0000187 | 251,82 | 0,7281 | 46,59 | 0,626 | 0,495 | 0,011 |

Çizelge 6.6. : Deney No 3, 100 mm , 1,5 m/s Ölçüm Sonuçları ($m_w=0,01344$, $m_a=0,004935$ $T_w=23,3$ $^{\circ}\text{C}$,1 atm sabit alınmıştır.)

| Zaman | ($^{\circ}\text{C}$) | (σC_1) | W_a (%) | h_a (kJ/kg) | S_a ($\text{Kj}/\text{Kg} \cdot K$) | W_a | $T_{db,b}$ ($^{\circ}\text{C}$) | W_b (%) | H_b (kJ/kg) | S_b ($\text{Kj}/\text{Kg} \cdot K$) | W_b | $\Psi_{water,a}$ | $\Psi_{termal,a}$ | $\Psi_{mekanik,a}$ | $\Psi_{kiniyasal,a}$ | $\Psi_{toplama,a}$ | $\Psi_{termal,b}$ | $\Psi_{mekanik,b}$ | $\Psi_{kiniyasal,b}$ | $\Psi_{toplama,b}$ | Ekseri Verim |
|-------|------------------------|------------------|-----------|---------------------------------|---|-------|-----------------------------------|-----------|---------------------------------|---|--------|------------------|-------------------|--------------------|----------------------|--------------------|-------------------|--------------------|----------------------|--------------------|--------------|
| 10,00 | 28,2 | 42,2 | 55,4 | 3,8924 | 0,0104 | 23 | 71,4 | 68 | 3,8867 | 0,016 | 11,057 | 0,000088 | 0,00032 | 0,00001 | 11,05735 | 0,00013 | 0,001209 | 0,024248 | 0,0256 | 0,00084 | |
| 10,15 | 29,7 | 48,1 | 53,1 | 3,8857 | 0,0103 | 24,5 | 77,3 | 65,4 | 3,881 | 0,0157 | 11,057 | 0,000190 | 0,00032 | 0,00001 | 11,05745 | 0,00001 | 0,001209 | 0,024248 | 0,0255 | 0,00083 | |
| 10,30 | 30,1 | 47,9 | 57,5 | 3,8957 | 0,0108 | 24,9 | 77,1 | 64 | 3,8796 | 0,0153 | 11,057 | 0,000224 | 0,00032 | 0,00003 | 11,05750 | 0,00000 | 0,001209 | 0,024248 | 0,0255 | 0,00084 | |
| 10,45 | 29 | 52,2 | 56,4 | 3,5954 | 0,0104 | 23,8 | 81,4 | 62,4 | 3,8759 | 0,0151 | 11,057 | 0,000138 | 0,00032 | 0,00001 | 11,05740 | 0,00005 | 0,001209 | 0,024248 | 0,0255 | 0,00084 | |
| 11,00 | 30,2 | 43,1 | 57,1 | 3,8977 | 0,0104 | 25 | 72,3 | 65,2 | 3,8834 | 0,0153 | 11,057 | 0,000232 | 0,00032 | 0,00001 | 11,05749 | 0,00000 | 0,001209 | 0,024248 | 0,0255 | 0,00084 | |
| 11,15 | 29,2 | 49,3 | 59,9 | 3,8971 | 0,0116 | 24 | 78,5 | 61,6 | 3,8766 | 0,0147 | 11,057 | 0,000152 | 0,00032 | 0,00009 | 11,05750 | 0,00003 | 0,001209 | 0,024248 | 0,0255 | 0,00084 | |
| 11,30 | 30,4 | 46,1 | 61,1 | 3,905 | 0,0111 | 25,2 | 75,3 | 64,1 | 3,8807 | 0,0152 | 11,057 | 0,000251 | 0,00032 | 0,00005 | 11,05755 | 0,00000 | 0,001209 | 0,024248 | 0,0255 | 0,00085 | |
| 11,45 | 29,7 | 51,4 | 60 | 3,9007 | 0,0112 | 24,5 | 80,6 | 64,4 | 3,8783 | 0,0156 | 11,057 | 0,000190 | 0,00032 | 0,00005 | 11,05750 | 0,00001 | 0,001209 | 0,024248 | 0,0255 | 0,00085 | |
| 12,00 | 30,5 | 49,2 | 61 | 3,9037 | 0,0112 | 25,3 | 78,4 | 66 | 3,881 | 0,0159 | 11,057 | 0,000260 | 0,00032 | 0,00005 | 11,05757 | 0,00000 | 0,001209 | 0,024248 | 0,0255 | 0,00084 | |
| 12,15 | 30,8 | 48 | 62,8 | 3,9053 | 0,0117 | 25,6 | 77,2 | 66,5 | 3,882 | 0,016 | 11,057 | 0,000290 | 0,00032 | 0,00010 | 11,05764 | 0,00001 | 0,001209 | 0,024248 | 0,0255 | 0,00084 | |
| 12,30 | 30,2 | 52,1 | 65,5 | 3,9116 | 0,012 | 25 | 81,3 | 66,4 | 3,88 | 0,0162 | 11,057 | 0,000234 | 0,00032 | 0,00014 | 11,05762 | 0,00000 | 0,001209 | 0,024248 | 0,0255 | 0,00084 | |
| 12,45 | 30,9 | 50,9 | 64,4 | 3,9122 | 0,0115 | 25,7 | 80,1 | 68,4 | 3,8823 | 0,0167 | 11,057 | 0,000300 | 0,00032 | 0,00008 | 11,05763 | 0,00002 | 0,001209 | 0,024248 | 0,0255 | 0,00084 | |
| 13,00 | 31,2 | 53,7 | 64,5 | 3,9125 | 0,0115 | 26 | 82,9 | 71 | 3,8834 | 0,0176 | 11,057 | 0,000331 | 0,00032 | 0,00008 | 11,05766 | 0,00003 | 0,001209 | 0,024248 | 0,0255 | 0,00085 | |
| 13,15 | 31,4 | 49,4 | 64,3 | 3,9119 | 0,0115 | 26,2 | 78,6 | 69,4 | 3,884 | 0,0169 | 11,057 | 0,000352 | 0,00032 | 0,00008 | 11,05769 | 0,00005 | 0,001209 | 0,024248 | 0,0255 | 0,00085 | |
| 13,30 | 30,7 | 47,2 | 62,3 | 3,908 | 0,0112 | 25,5 | 76,4 | 65,7 | 3,8817 | 0,0157 | 11,057 | 0,000279 | 0,00032 | 0,00005 | 11,05759 | 0,00001 | 0,001209 | 0,024248 | 0,0255 | 0,00085 | |
| 13,45 | 30,4 | 46,5 | 61 | 3,907 | 0,0108 | 25,2 | 75,7 | 64,3 | 3,8807 | 0,0153 | 11,057 | 0,000251 | 0,00032 | 0,00003 | 11,05753 | 0,00000 | 0,001209 | 0,024248 | 0,0255 | 0,00085 | |
| 14,00 | 31,5 | 47,1 | 61,7 | 3,907 | 0,0111 | 26,3 | 76,3 | 68,5 | 3,8844 | 0,0165 | 11,057 | 0,000363 | 0,00032 | 0,00005 | 11,05766 | 0,00005 | 0,001209 | 0,024248 | 0,0255 | 0,00084 | |
| 14,15 | 31,2 | 46,6 | 62,4 | 3,9083 | 0,0112 | 26 | 75,8 | 67,2 | 3,8834 | 0,0161 | 11,057 | 0,000330 | 0,00032 | 0,00005 | 11,05764 | 0,00003 | 0,001209 | 0,024248 | 0,0255 | 0,00085 | |
| 14,30 | 31 | 48,4 | 61,2 | 3,9076 | 0,0108 | 25,8 | 77,6 | 67,2 | 3,8827 | 0,0162 | 11,057 | 0,000309 | 0,00032 | 0,00003 | 11,05759 | 0,00002 | 0,001209 | 0,024248 | 0,0255 | 0,00084 | |
| 14,45 | 31,6 | 45,9 | 61,1 | 3,9066 | 0,0109 | 26,4 | 75,1 | 68,1 | 3,8847 | 0,0163 | 11,057 | 0,000373 | 0,00032 | 0,00003 | 11,05766 | 0,00006 | 0,001209 | 0,024248 | 0,0255 | 0,00084 | |
| 15,00 | 30,3 | 49 | 56,5 | 3,9045 | 0,0094 | 25,1 | 78,2 | 65,2 | 3,8808 | 0,0157 | 11,059 | 0,000240 | 0,00032 | 0,00001 | 11,05923 | 0,00000 | 0,001245 | 0,007158 | 0,0084 | 0,00076 | |

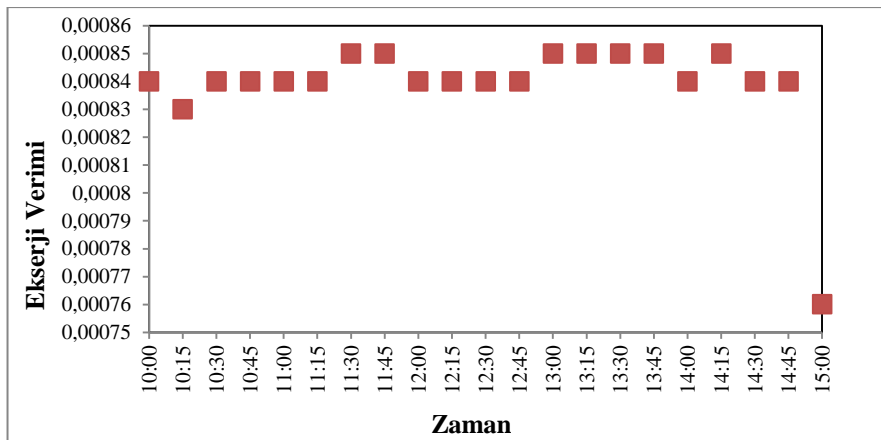
Şekil 6.5'de 100 mm ped kalınlığı ve 1,5 m/s hava giriş hızı için zamana bağlı olarak üçüncü deney için teorik ve deneysel enerji verimi değişimi verilmiştir.



Şekil 6.5: 100 mm ped kalınlığı ve 1,5 m/s hava giriş hızı için deneysel ve teorik enerji verimi (Deney No 3)

Şekil 6.5'te görüldüğü gibi, teorik enerji verimi 0,495 ile 0,591 arasında değişirken deneysel enerji verimi 0,625 ile 0,627 arasında çok az değişmektedir.

Şekil 6.6'da 100 mm ped kalınlığı ve 1,5 m/s hava giriş hızı için zamana bağlı olarak deneysel olarak hesaplana ekserji verimi değişimi verilmiştir.



Şekil 6.6: 100 mm ped kalınlığı ve 1,5 m/s hava giriş hızı için deneysel ve teorik enerji verimi (Deney No 3)

Şekil 6.6'den görüldüğü gibi, ekserji verimi ise 0,00076 ile 0,00086 arasında değişmektedir.

100 mm ped kalınlığı ve 1,2 m/s hava giriş hızı için yapılan birinci deneyin (Deney No 4) ölçüm sonuçları, termodinamik özelliklerini ve teorik ve deneysel olarak hesaplanan enerji verim değerleri ve ekserji analiz değerleri sırasıyla Çizelge 6.7 ve Çizelge 6.8'de verilmiştir. Aynı şekilde benzer ped kalınlığı ve hava giriş hızı için tekrarlanan ikinci (Deney No 5) ve üçüncü (Deney No 6) için enerji ve ekserji analizi ve ölçüm sonuçları sırasıyla Çizelge 6.9, 6.10, 6.11 ve 6.12'de verilmiştir. Her üç deneyde de $\dot{m}_w=0,01344$, $\dot{m}_a=0,004935$ $T_w=22,4$ °C, 1 atm sabit alınmıştır.



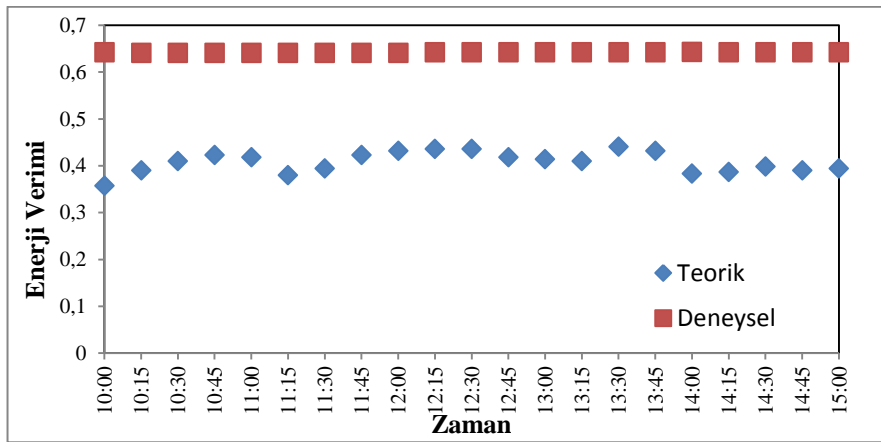
Çizelge 6.7. : Deney No 4 , 100 mm , 1,2 m/s Ölçüm Sonuçları ($m_w=0,01344$, $m_a=0,001532$ $T_w=20,4^{\circ}\text{C}$,1 atm sabit alınmıştır.)

| Zaman | $T_{dh,a}$ (°C) | W_a (%) | h_a (kj/kg) | S_a (Kj/Kg·K) | $T_{wh,a}$ (°C) | $T_{dh,b}$ (°C) | W_b (%) | H_b (kj/kg) | S_b (Kj/Kg·K) | P_u (Kg/m³) | K_u (kJ/Kg·K) | μ_u (Kg/m.s) | Re | Pr | h_c (Kj/Kg·K) | Deneysel verim | Teorik verim | Verim farkı |
|-------|-----------------|-----------|---------------|-----------------|-----------------|-----------------|-----------|---------------|-----------------|---------------|-----------------|------------------|--------|--------|-----------------|----------------|--------------|-------------|
| 10,00 | 27,8 | 35 | 48,4 | 3,8892 | 16,3 | 23,7 | 76 | 59,5 | 3,8761 | 1,17332 | 0,02572 | 0,0000186 | 204,44 | 0,7288 | 39,16 | 0,642 | 0,357 | 0,444 |
| 10,15 | 27,2 | 34,8 | 49,2 | 2,8909 | 16,7 | 23,1 | 75,8 | 57,3 | 3,8741 | 1,17568 | 0,02567 | 0,0000186 | 205,16 | 0,7289 | 39,21 | 0,641 | 0,390 | 0,392 |
| 10,30 | 26,7 | 33,3 | 49,6 | 3,8922 | 16,7 | 22,6 | 74,3 | 55,3 | 3,8724 | 1,17765 | 0,02564 | 0,0000186 | 205,76 | 0,7291 | 39,25 | 0,641 | 0,410 | 0,360 |
| 10,45 | 26,5 | 37,6 | 49,9 | 3,8939 | 16,8 | 22,4 | 78,6 | 56,6 | 3,8717 | 1,17843 | 0,02562 | 0,0000186 | 206,00 | 0,7291 | 39,26 | 0,641 | 0,423 | 0,340 |
| 11,00 | 26,6 | 39,7 | 49,9 | 3,8949 | 16,8 | 22,5 | 80,7 | 57,7 | 3,872 | 1,17804 | 0,02563 | 0,0000186 | 205,88 | 0,7291 | 39,25 | 0,641 | 0,418 | 0,348 |
| 11,15 | 27,3 | 36,3 | 49 | 3,8952 | 16,5 | 23,2 | 77,3 | 58,4 | 3,8744 | 1,17529 | 0,02568 | 0,0000186 | 205,04 | 0,7289 | 39,20 | 0,641 | 0,380 | 0,407 |
| 11,30 | 27,1 | 35,7 | 49,6 | 3,8963 | 16,7 | 23 | 76,7 | 57,5 | 3,8737 | 1,17607 | 0,02567 | 0,0000186 | 205,28 | 0,7290 | 39,22 | 0,641 | 0,394 | 0,385 |
| 11,45 | 27,3 | 34,6 | 52,3 | 3,8992 | 17,6 | 23,2 | 75,6 | 57,7 | 3,8744 | 1,17529 | 0,02568 | 0,0000186 | 205,04 | 0,7289 | 39,20 | 0,641 | 0,423 | 0,340 |
| 12,00 | 27,5 | 36,7 | 53,6 | 3,9012 | 18 | 23,4 | 77,7 | 59,2 | 3,8751 | 1,17450 | 0,02570 | 0,0000186 | 204,80 | 0,7289 | 39,19 | 0,641 | 0,432 | 0,326 |
| 12,15 | 27,7 | 36,8 | 54,7 | 3,9038 | 18,3 | 23,6 | 77,8 | 59,9 | 3,8758 | 1,17371 | 0,02571 | 0,0000186 | 204,56 | 0,7288 | 39,17 | 0,642 | 0,436 | 0,321 |
| 12,30 | 28 | 38,5 | 55,7 | 3,9055 | 18,6 | 23,9 | 79,5 | 61,7 | 3,8768 | 1,17253 | 0,02573 | 0,0000186 | 204,20 | 0,7287 | 39,15 | 0,642 | 0,436 | 0,321 |
| 12,45 | 28,5 | 35,8 | 56,1 | 3,9058 | 18,7 | 24,4 | 76,8 | 62,2 | 3,8785 | 1,17057 | 0,02577 | 0,0000186 | 203,60 | 0,7286 | 39,11 | 0,642 | 0,418 | 0,349 |
| 13,00 | 28,7 | 34,8 | 55,9 | 3,9052 | 18,8 | 24,6 | 75,8 | 62,2 | 3,8791 | 1,16978 | 0,02578 | 0,0000187 | 203,36 | 0,7285 | 39,10 | 0,642 | 0,414 | 0,355 |
| 13,15 | 28,6 | 36,4 | 55,7 | 3,9055 | 18,6 | 24,5 | 77,4 | 62,8 | 3,8788 | 1,17017 | 0,02578 | 0,0000187 | 203,48 | 0,7285 | 39,10 | 0,642 | 0,410 | 0,361 |
| 13,30 | 27,9 | 35,1 | 55,6 | 3,9058 | 18,6 | 23,8 | 76,1 | 59,8 | 3,8764 | 1,17293 | 0,02572 | 0,0000186 | 204,32 | 0,7287 | 39,16 | 0,642 | 0,441 | 0,313 |
| 13,45 | 28,5 | 34,3 | 56,8 | 3,9065 | 19 | 24,4 | 75,3 | 61,5 | 3,8785 | 1,17057 | 0,02577 | 0,0000186 | 203,60 | 0,7286 | 39,11 | 0,642 | 0,432 | 0,444 |
| 14,00 | 29,7 | 36,3 | 57 | 3,9071 | 19 | 25,6 | 77,3 | 66,5 | 3,8825 | 1,16585 | 0,02586 | 0,0000187 | 202,17 | 0,7282 | 39,02 | 0,643 | 0,383 | 0,392 |
| 14,15 | 29,1 | 37,6 | 55,3 | 3,9048 | 18,5 | 25 | 78,6 | 65,1 | 3,8805 | 1,16821 | 0,02581 | 0,0000187 | 202,88 | 0,7284 | 39,06 | 0,642 | 0,387 | 0,360 |
| 14,30 | 28,4 | 35,3 | 53,9 | 3,9029 | 18,1 | 24,3 | 76,3 | 61,6 | 3,8781 | 1,17096 | 0,02576 | 0,0000186 | 203,72 | 0,7286 | 39,12 | 0,642 | 0,398 | 0,340 |
| 14,45 | 28,9 | 36,4 | 55,1 | 3,9042 | 18,4 | 24,8 | 77,4 | 63,7 | 3,8798 | 1,16899 | 0,02580 | 0,0000187 | 203,12 | 0,7285 | 39,08 | 0,642 | 0,390 | 0,348 |
| 15,00 | 29,2 | 37,2 | 56,5 | 3,9045 | 18,8 | 25,1 | 78,2 | 65,2 | 3,8808 | 1,16781 | 0,02582 | 0,0000187 | 202,76 | 0,7284 | 39,06 | 0,642 | 0,394 | 0,407 |

Çizelge 6.8. : Deney No 4 , 100 mm , 1,2 m/s Ölçüm Sonuçları ($m_w=0,01344$, $m_a=0,001532$ $T_w=20,4^{\circ}\text{C}$,1 atm sabit alınmıştır.)

| Zaman | $T_{dh,a}(\text{°C})$ ($^{\circ}\text{C}$) | $W_a(%)$ | h_a (kJ/kg) | S_a (KJ/Kg-K) | W_a | $T_{dh,b}(\text{°C})$ | $W_b(%)$ | H_b (kJ/kg) | S_b (KJ/Kg-K) | W_b | $\Psi_{water,a}$ | $\Psi_{normal,a}$ | $\Psi_{mekanik,a}$ | $\Psi_{kinyasat,a}$ | $\Psi_{toplama,a}$ | $\Psi_{normal,b}$ | $\Psi_{mekanik,b}$ | $\Psi_{kinyasat,b}$ | $\Psi_{toplama,b}$ | $\Psi_{normal,b}$ | $\Psi_{mekanik,b}$ | $\Psi_{kinyasat,b}$ | $\Psi_{toplama,b}$ | Eksjerji verim |
|-------|---|----------|-----------------------------|-------------------------------|--------|-----------------------|----------|-----------------------------|-------------------------------|--------|------------------|-------------------|--------------------|---------------------|--------------------|-------------------|--------------------|---------------------|--------------------|-------------------|--------------------|---------------------|--------------------|----------------|
| 10,00 | 27,8 | 35 | 48,3 | 3,8892 | 0,0081 | 23,7 | 76 | 59,5 | 3,8761 | 0,014 | 11,059 | 0,000021 | 0,00010 | 0,00004 | 11,05882 | 0,00004 | 0,001009 | 0,002267 | 0,0033 | 0,00030 | | | | |
| 10,15 | 27,2 | 34,8 | 49,1 | 2,8909 | 0,0082 | 23,1 | 75,8 | 57,3 | 3,8741 | 0,0134 | 11,059 | 0,000013 | 0,00010 | 0,00003 | 11,05881 | 0,00009 | 0,001009 | 0,002267 | 0,0034 | 0,00030 | | | | |
| 10,30 | 26,7 | 33,3 | 49,6 | 3,8922 | 0,0082 | 22,6 | 74,3 | 55,3 | 3,8724 | 0,0128 | 11,059 | 0,000008 | 0,00010 | 0,00003 | 11,05880 | 0,00015 | 0,001009 | 0,002267 | 0,0034 | 0,00031 | | | | |
| 10,45 | 26,5 | 37,6 | 49,8 | 3,8939 | 0,0081 | 22,4 | 78,6 | 56,6 | 3,8717 | 0,0134 | 11,059 | 0,000006 | 0,00010 | 0,00004 | 11,05880 | 0,00018 | 0,001009 | 0,002267 | 0,0035 | 0,00031 | | | | |
| 11,00 | 26,6 | 39,7 | 49,8 | 3,8949 | 0,008 | 22,5 | 80,7 | 57,7 | 3,872 | 0,0138 | 11,059 | 0,000007 | 0,00010 | 0,00004 | 11,05881 | 0,00016 | 0,001009 | 0,002267 | 0,0034 | 0,00031 | | | | |
| 11,15 | 27,3 | 36,3 | 48,9 | 3,8952 | 0,0076 | 23,2 | 77,3 | 58,4 | 3,8744 | 0,0138 | 11,059 | 0,000014 | 0,00010 | 0,00006 | 11,05884 | 0,00008 | 0,001009 | 0,002267 | 0,0034 | 0,00030 | | | | |
| 11,30 | 27,1 | 35,7 | 49,5 | 3,8963 | 0,0077 | 23 | 76,7 | 57,5 | 3,8737 | 0,0135 | 11,059 | 0,000012 | 0,00010 | 0,00006 | 11,05883 | 0,00010 | 0,001009 | 0,002267 | 0,0034 | 0,00030 | | | | |
| 11,45 | 27,3 | 34,6 | 51,3 | 3,8992 | 0,0084 | 23,2 | 75,6 | 57,7 | 3,8744 | 0,0135 | 11,059 | 0,000014 | 0,00010 | 0,00002 | 11,05880 | 0,00008 | 0,001009 | 0,002267 | 0,0034 | 0,00030 | | | | |
| 12,00 | 27,5 | 36,7 | 52,6 | 3,9012 | 0,0087 | 23,4 | 77,7 | 59,2 | 3,8751 | 0,014 | 11,059 | 0,000017 | 0,00010 | 0,00002 | 11,05879 | 0,00007 | 0,001009 | 0,002267 | 0,0033 | 0,00030 | | | | |
| 12,15 | 27,7 | 36,8 | 53,7 | 3,9038 | 0,0088 | 23,6 | 77,8 | 59,9 | 3,8758 | 0,0142 | 11,059 | 0,000019 | 0,00010 | 0,00001 | 11,05879 | 0,00005 | 0,001009 | 0,002267 | 0,0033 | 0,00030 | | | | |
| 12,30 | 28 | 38,5 | 54,7 | 3,9055 | 0,009 | 23,9 | 79,5 | 61,7 | 3,8768 | 0,0148 | 11,059 | 0,000024 | 0,00010 | 0,00001 | 11,05879 | 0,00003 | 0,001009 | 0,002267 | 0,0033 | 0,00030 | | | | |
| 12,45 | 28,5 | 35,8 | 55,1 | 3,9058 | 0,0091 | 24,4 | 76,8 | 62,2 | 3,8785 | 0,0148 | 11,059 | 0,000033 | 0,00010 | 0,00001 | 11,05880 | 0,00001 | 0,001009 | 0,002267 | 0,0033 | 0,00030 | | | | |
| 13,00 | 28,7 | 34,8 | 54,9 | 3,9052 | 0,0091 | 24,6 | 75,8 | 62,2 | 3,8791 | 0,0147 | 11,059 | 0,000036 | 0,00010 | 0,00001 | 11,05881 | 0,00000 | 0,001009 | 0,002267 | 0,0033 | 0,00030 | | | | |
| 13,15 | 28,6 | 36,4 | 54,7 | 3,9055 | 0,009 | 24,5 | 77,4 | 62,8 | 3,8788 | 0,015 | 11,059 | 0,000034 | 0,00010 | 0,00001 | 11,05881 | 0,00001 | 0,001009 | 0,002267 | 0,0033 | 0,00030 | | | | |
| 13,30 | 27,9 | 35,1 | 54,6 | 3,9058 | 0,0089 | 23,8 | 76,1 | 59,8 | 3,8764 | 0,0141 | 11,059 | 0,000022 | 0,00010 | 0,00001 | 11,05880 | 0,00004 | 0,001009 | 0,002267 | 0,0033 | 0,00030 | | | | |
| 13,45 | 28,5 | 34,3 | 55,8 | 3,9065 | 0,0093 | 24,4 | 75,3 | 61,5 | 3,8785 | 0,0145 | 11,059 | 0,000033 | 0,00010 | 0,00000 | 11,05880 | 0,00001 | 0,001009 | 0,002267 | 0,0033 | 0,00030 | | | | |
| 14,00 | 29,7 | 36,3 | 56,9 | 3,9071 | 0,0093 | 25,6 | 77,3 | 66,5 | 3,8825 | 0,016 | 11,059 | 0,000059 | 0,00010 | 0,00000 | 11,05882 | 0,00001 | 0,001009 | 0,002267 | 0,0033 | 0,00030 | | | | |
| 14,15 | 29,1 | 37,6 | 55,2 | 3,9048 | 0,0089 | 25 | 78,6 | 65,1 | 3,8805 | 0,0157 | 11,059 | 0,000045 | 0,00010 | 0,00001 | 11,05882 | 0,00000 | 0,001009 | 0,002267 | 0,0033 | 0,00030 | | | | |
| 14,30 | 28,4 | 35,3 | 53,8 | 3,9029 | 0,0086 | 24,3 | 76,3 | 61,6 | 3,8781 | 0,0146 | 11,059 | 0,000031 | 0,00010 | 0,00002 | 11,05881 | 0,00001 | 0,001009 | 0,002267 | 0,0033 | 0,00030 | | | | |
| 14,45 | 28,9 | 36,4 | 55 | 3,9042 | 0,0089 | 24,8 | 77,4 | 63,7 | 3,8798 | 0,0152 | 11,059 | 0,000040 | 0,00010 | 0,00001 | 11,05881 | 0,00000 | 0,001009 | 0,002267 | 0,0033 | 0,00030 | | | | |
| 15,00 | 29,2 | 37,2 | 56,4 | 3,9045 | 0,0094 | 25,1 | 78,2 | 65,2 | 3,8808 | 0,0157 | 11,059 | 0,000047 | 0,00010 | 0,00000 | 11,05881 | 0,00000 | 0,001009 | 0,002267 | 0,0033 | 0,00030 | | | | |

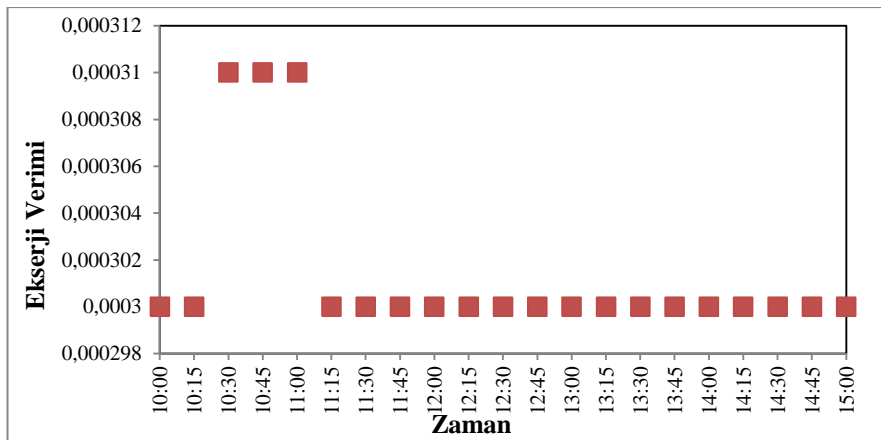
Şekil 6.7'de 100 mm ped kalınlığı ve 1,2 m/s hava giriş hızı için zamana bağlı olarak dördüncü deney için teorik ve deneysel enerji verimi değişimi verilmiştir.



Şekil 6.7: 100 mm ped kalınlığı ve 1,2 m/s hava giriş hızı için deneysel ve teorik enerji verimi (Deney No 4)

Şekil 6.7'de görüldüğü gibi, teorik enerji verimi 0,357 ile 0,436 arasında değişirken deneysel enerji verimi 0,641 ile 0,643 arasında çok az değişmektedir.

Şekil 6.8'de 100 mm ped kalınlığı ve 1,2 m/s hava giriş hızı için zamana bağlı olarak deneysel olarak hesaplana ekserji verimi değişimi verilmiştir.



Şekil 6.8: 100 mm ped kalınlığı ve 1,5 m/s hava giriş hızı için deneysel ve teorik enerji verimi (Deney No 4)

Şekil 6.8'den görüldüğü gibi, ekserji verimi ise 0,0003 ile 0,00031 arasında değişmektedir.

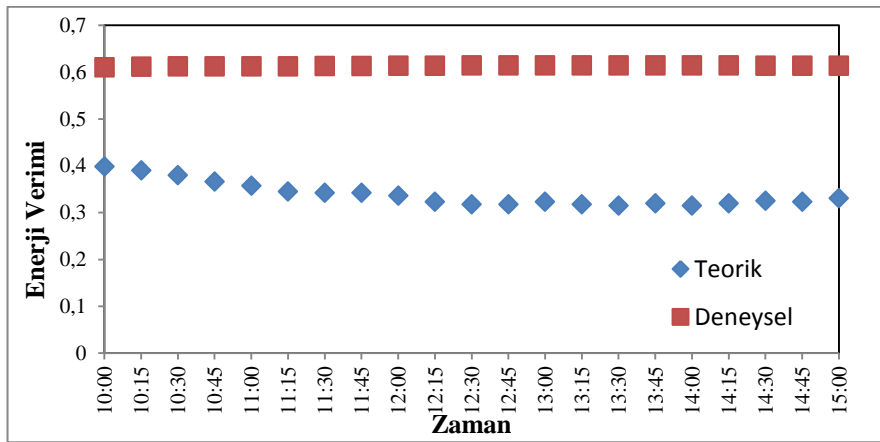
Çizelge 6.9. : Deney No 5 , 100 mm , 1,2 m/s Ölçüm Sonuçları ($m_w=0,01344$, $m_a=0,001532$ $T_w=20,8^{\circ}\text{C}$,1 atm sabit alınmıştır.)

| Zaman | $T_{th,a}$ (°C) | W_a (%) | h_a (kj/kg) | S_a (Kj/Kg.K) | T_{wba} (°C) | $T_{db,b}$ (°C) | Wb (%) | H_b (kj/kg) | S_b (Kj/Kg.K) | P_u (Kg/m³) | K_u (kJ/Kg.K) | μ_u (Kg/m.s) | Re | Pr | h_c (Kj/Kg.K) | Deneysel verim | Teorik verim | Vерим farkı |
|-------|-----------------|-----------|---------------|-----------------|----------------|-----------------|----------|---------------|-----------------|---------------|-----------------|------------------|--------|--------|-----------------|----------------|--------------|----------------|
| 10,00 | 27,6 | 35,4 | 48,4 | 3,8892 | 17,3 | 23,5 | 76,4 | 59 | 3,8777 | 1,17411 | 0,02570 | 0,0000186 | 204,68 | 0,7288 | 39,18 | 0,61000 | 0,398 | 0,348 |
| 10,15 | 28,1 | 34,8 | 49,2 | 2,8909 | 17,6 | 24 | 75,8 | 60,3 | 2,8794 | 1,17214 | 0,02574 | 0,0000186 | 204,08 | 0,7287 | 39,14 | 0,61175 | 0,390 | 0,362 |
| 10,30 | 28,5 | 33,7 | 49,6 | 3,8922 | 17,7 | 24,4 | 74,7 | 61 | 3,8807 | 1,17057 | 0,02577 | 0,0000186 | 203,60 | 0,7286 | 39,11 | 0,61196 | 0,380 | 0,379 |
| 10,45 | 29 | 32,6 | 49,9 | 3,8939 | 17,8 | 24,9 | 73,6 | 62,2 | 3,8824 | 1,16860 | 0,02581 | 0,0000187 | 203,00 | 0,7284 | 39,07 | 0,61222 | 0,366 | 0,402 |
| 11,00 | 29,3 | 31,7 | 49,9 | 3,8949 | 17,8 | 25,2 | 72,7 | 62,5 | 3,8834 | 1,16742 | 0,02583 | 0,0000187 | 202,65 | 0,7284 | 39,05 | 0,61238 | 0,357 | 0,417 |
| 11,15 | 29,4 | 30,5 | 49 | 3,8952 | 17,5 | 25,3 | 71,5 | 62,4 | 3,8837 | 1,16703 | 0,02584 | 0,0000187 | 202,53 | 0,7283 | 39,04 | 0,61243 | 0,345 | 0,437 |
| 11,30 | 29,7 | 29,8 | 49,6 | 3,8963 | 17,7 | 25,6 | 70,8 | 63 | 3,8848 | 1,16585 | 0,02586 | 0,0000187 | 202,17 | 0,7282 | 39,02 | 0,61258 | 0,342 | 0,442 |
| 11,45 | 30,6 | 30,6 | 52,3 | 3,8992 | 18,6 | 26,5 | 71,6 | 66,4 | 3,8877 | 1,16231 | 0,02592 | 0,0000187 | 201,10 | 0,7280 | 38,95 | 0,61305 | 0,342 | 0,442 |
| 12,00 | 31,2 | 30,6 | 53,6 | 3,9012 | 19 | 27,1 | 71,6 | 68,6 | 3,8897 | 1,15995 | 0,02597 | 0,0000188 | 200,40 | 0,7278 | 38,90 | 0,61336 | 0,336 | 0,452 |
| 12,15 | 32 | 29,8 | 54,7 | 3,9038 | 19,3 | 27,9 | 70,8 | 70,9 | 3,8923 | 1,15680 | 0,02603 | 0,0000188 | 199,46 | 0,7276 | 38,84 | 0,61378 | 0,323 | 0,474 |
| 12,30 | 32,5 | 29,5 | 55,7 | 3,9055 | 19,6 | 28,4 | 70,5 | 72,5 | 3,894 | 1,15483 | 0,02607 | 0,0000188 | 198,87 | 0,7275 | 38,80 | 0,61404 | 0,318 | 0,482 |
| 12,45 | 32,6 | 29,7 | 56,1 | 3,9058 | 19,7 | 28,5 | 70,7 | 73,1 | 3,8943 | 1,15444 | 0,02607 | 0,0000188 | 198,75 | 0,7275 | 38,80 | 0,61409 | 0,318 | 0,482 |
| 13,00 | 32,4 | 30 | 55,9 | 3,9052 | 19,7 | 28,3 | 71 | 72,4 | 3,8937 | 1,15523 | 0,02606 | 0,0000188 | 198,99 | 0,7275 | 38,81 | 0,61399 | 0,323 | 0,474 |
| 13,15 | 32,5 | 29,6 | 55,7 | 3,9055 | 19,6 | 28,4 | 70,6 | 72,5 | 3,894 | 1,15483 | 0,02607 | 0,0000188 | 198,87 | 0,7275 | 38,80 | 0,61404 | 0,318 | 0,482 |
| 13,30 | 32,6 | 28,9 | 55,6 | 3,9058 | 19,6 | 28,5 | 69,9 | 72,6 | 3,8943 | 1,15444 | 0,02607 | 0,0000188 | 198,75 | 0,7275 | 38,80 | 0,61409 | 0,315 | 0,487 |
| 13,45 | 32,8 | 29,9 | 56,8 | 3,9065 | 20 | 28,7 | 70,9 | 73,8 | 3,895 | 1,15365 | 0,02609 | 0,0000188 | 198,52 | 0,7274 | 38,78 | 0,61410 | 0,320 | 0,348 |
| 14,00 | 33 | 29,5 | 57 | 3,9071 | 20 | 28,9 | 70,5 | 74,3 | 3,8956 | 1,15287 | 0,02610 | 0,0000189 | 198,29 | 0,7273 | 38,77 | 0,61430 | 0,315 | 0,362 |
| 14,15 | 32,3 | 29,4 | 55,3 | 3,9048 | 19,5 | 28,2 | 70,4 | 71,8 | 3,8933 | 1,15562 | 0,02605 | 0,0000188 | 199,11 | 0,7275 | 38,82 | 0,61394 | 0,320 | 0,379 |
| 14,30 | 31,7 | 29,6 | 53,9 | 3,9029 | 19,1 | 27,6 | 70,6 | 69,6 | 3,8914 | 1,15798 | 0,02601 | 0,0000188 | 199,81 | 0,7277 | 38,87 | 0,61362 | 0,325 | 0,402 |
| 14,45 | 32,1 | 29,8 | 55,1 | 3,9042 | 19,4 | 28 | 70,8 | 71,3 | 3,8927 | 1,15641 | 0,02604 | 0,0000188 | 199,34 | 0,7276 | 38,83 | 0,61382 | 0,323 | 0,417 |
| 15,00 | 32,2 | 31,2 | 56,5 | 3,9045 | 19,8 | 28,1 | 72,2 | 72,4 | 3,893 | 1,15601 | 0,02604 | 0,0000188 | 199,22 | 0,7276 | 38,83 | 0,61380 | 0,331 | 0,437 |

Çizelge 6.10. : Deney No 5, 100 mm, 1,2 m/s Ölçüm Sonuçları ($m_w=0,01344$, $m_a=0,001532$ $T_w=20,8^{\circ}\text{C}$, 1 atm sabit alınmıştır.)

| Zaman | $T_{db,a}$ (°C) | W_a (%) | h_a (kj/kg) | S_a (Kj/Kg·K) | W_b | $T_{db,b}$ (°C) | W_b (%) | H_b (kj/kg) | S_b (Kj/Kg·K) | W_b | $\Psi_{water,a}$ | $\Psi_{termal,a}$ | $\Psi_{mekanik,a}$ | $\Psi_{kimyasal,a}$ | $\Psi_{toplum,a}$ | $\Psi_{termal,b}$ | $\Psi_{mekanik,b}$ | $\Psi_{kimyasal,b}$ | $\Psi_{toplum,b}$ | Eksjeri verim |
|-------|-----------------|-----------|---------------|-----------------|--------|-----------------|-----------|---------------|-----------------|--------|------------------|-------------------|--------------------|---------------------|-------------------|-------------------|--------------------|---------------------|-------------------|---------------|
| 10,00 | 27,6 | 35,4 | 48,4 | 3,8892 | 0,0081 | 23,5 | 76,4 | 59 | 3,8777 | 0,0139 | 11,058 | 0,000018 | 0,00010 | 0,00004 | 11,05849 | 0,00006 | 0,00109 | 0,002267 | 0,00333 | 0,00030 |
| 10,15 | 28,1 | 34,8 | 49,2 | 2,8909 | 0,0082 | 24 | 75,8 | 60,3 | 2,8794 | 0,0142 | 11,058 | 0,000025 | 0,00010 | 0,00003 | 11,05849 | 0,00003 | 0,00109 | 0,002267 | 0,00330 | 0,00030 |
| 10,30 | 28,5 | 33,7 | 49,6 | 3,8922 | 0,0082 | 24,4 | 74,7 | 61 | 3,8807 | 0,0143 | 11,058 | 0,000032 | 0,00010 | 0,00003 | 11,05850 | 0,00001 | 0,00109 | 0,002267 | 0,00329 | 0,00030 |
| 10,45 | 29 | 32,6 | 49,9 | 3,8939 | 0,0081 | 24,9 | 73,6 | 62,2 | 3,8824 | 0,0146 | 11,058 | 0,000042 | 0,00010 | 0,00004 | 11,05851 | 0,00000 | 0,00109 | 0,002267 | 0,00328 | 0,00030 |
| 11,00 | 29,3 | 31,7 | 49,9 | 3,8949 | 0,008 | 25,2 | 72,7 | 62,5 | 3,8834 | 0,0146 | 11,058 | 0,000049 | 0,00010 | 0,00004 | 11,05852 | 0,00000 | 0,00109 | 0,002267 | 0,00328 | 0,00030 |
| 11,15 | 29,4 | 30,5 | 49 | 3,8952 | 0,0076 | 25,3 | 71,5 | 62,4 | 3,8837 | 0,0145 | 11,058 | 0,000051 | 0,00010 | 0,00006 | 11,05854 | 0,00000 | 0,00109 | 0,002267 | 0,00328 | 0,00030 |
| 11,30 | 29,7 | 29,8 | 49,6 | 3,8963 | 0,0077 | 25,6 | 70,8 | 63 | 3,8848 | 0,0146 | 11,058 | 0,000058 | 0,00010 | 0,00006 | 11,05854 | 0,00001 | 0,00109 | 0,002267 | 0,00329 | 0,00030 |
| 11,45 | 30,6 | 30,6 | 52,3 | 3,8992 | 0,0084 | 26,5 | 71,6 | 66,4 | 3,8877 | 0,0156 | 11,058 | 0,000083 | 0,00010 | 0,00002 | 11,05854 | 0,00006 | 0,00109 | 0,002267 | 0,00333 | 0,00030 |
| 12,00 | 31,2 | 30,6 | 53,6 | 3,9012 | 0,0087 | 27,1 | 71,6 | 68,6 | 3,8897 | 0,0162 | 11,058 | 0,000102 | 0,00010 | 0,00002 | 11,05855 | 0,00011 | 0,00109 | 0,002267 | 0,00339 | 0,00031 |
| 12,15 | 32 | 29,8 | 54,7 | 3,9038 | 0,0088 | 27,9 | 70,8 | 70,9 | 3,8923 | 0,0168 | 11,058 | 0,000129 | 0,00010 | 0,00001 | 11,05857 | 0,00022 | 0,00109 | 0,002267 | 0,00349 | 0,00032 |
| 12,30 | 32,5 | 29,5 | 55,7 | 3,9055 | 0,009 | 28,4 | 70,5 | 72,5 | 3,894 | 0,0172 | 11,058 | 0,000148 | 0,00010 | 0,00001 | 11,05859 | 0,00030 | 0,00109 | 0,002267 | 0,00358 | 0,00032 |
| 12,45 | 32,6 | 29,7 | 56,1 | 3,9058 | 0,0091 | 28,5 | 70,7 | 73,1 | 3,8943 | 0,0174 | 11,058 | 0,000152 | 0,00010 | 0,00001 | 11,05859 | 0,00032 | 0,00109 | 0,002267 | 0,00359 | 0,00032 |
| 13,00 | 32,4 | 30 | 55,9 | 3,9052 | 0,0091 | 28,3 | 71 | 72,4 | 3,8937 | 0,0172 | 11,058 | 0,000144 | 0,00010 | 0,00001 | 11,05858 | 0,00028 | 0,00109 | 0,002267 | 0,00356 | 0,00032 |
| 13,15 | 32,5 | 29,6 | 55,7 | 3,9055 | 0,009 | 28,4 | 70,6 | 72,5 | 3,894 | 0,0172 | 11,058 | 0,000148 | 0,00010 | 0,00001 | 11,05859 | 0,00030 | 0,00109 | 0,002267 | 0,00358 | 0,00032 |
| 13,30 | 32,6 | 28,9 | 55,6 | 3,9058 | 0,0089 | 28,5 | 69,9 | 72,6 | 3,8943 | 0,0172 | 11,058 | 0,000152 | 0,00010 | 0,00001 | 11,05859 | 0,00032 | 0,00109 | 0,002267 | 0,00359 | 0,00032 |
| 13,45 | 32,8 | 29,9 | 56,8 | 3,9065 | 0,0093 | 28,7 | 70,9 | 73,8 | 3,895 | 0,0176 | 11,058 | 0,000160 | 0,00010 | 0,00000 | 11,05860 | 0,00036 | 0,00109 | 0,002267 | 0,00363 | 0,00033 |
| 14,00 | 33 | 29,5 | 57 | 3,9071 | 0,0093 | 28,9 | 70,5 | 74,3 | 3,8956 | 0,0177 | 11,058 | 0,000169 | 0,00010 | 0,00000 | 11,05860 | 0,00040 | 0,00109 | 0,002267 | 0,00367 | 0,00033 |
| 14,15 | 32,3 | 29,4 | 55,3 | 3,9048 | 0,0089 | 28,2 | 70,4 | 71,8 | 3,8933 | 0,017 | 11,058 | 0,000140 | 0,00010 | 0,00001 | 11,05858 | 0,00027 | 0,00109 | 0,002267 | 0,00354 | 0,00032 |
| 14,30 | 31,7 | 29,6 | 53,9 | 3,9029 | 0,0086 | 27,6 | 70,6 | 69,6 | 3,8914 | 0,0164 | 11,058 | 0,000118 | 0,00010 | 0,00002 | 11,05857 | 0,00018 | 0,00109 | 0,002267 | 0,00345 | 0,00031 |
| 14,45 | 26,5 | 49,1 | 53,7 | 3,9176 | 0,0106 | 22,1 | 89,1 | 60,1 | 3,9066 | 0,0149 | 11,058 | 0,000133 | 0,00010 | 0,00001 | 11,05858 | 0,00023 | 0,00109 | 0,002267 | 0,00351 | 0,00032 |
| 15,00 | 26,6 | 48,9 | 53,8 | 3,9155 | 0,0106 | 22,2 | 88,9 | 60,5 | 3,9045 | 0,015 | 11,058 | 0,000137 | 0,00010 | 0,00000 | 11,05857 | 0,00025 | 0,00109 | 0,002267 | 0,00353 | 0,00032 |

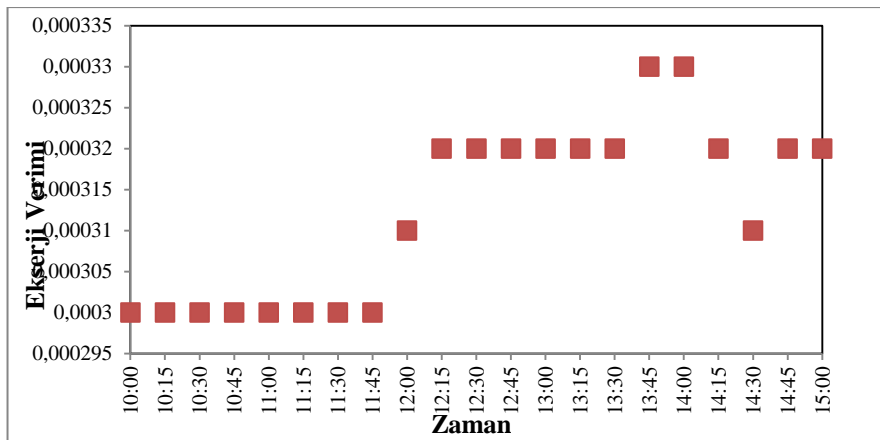
Şekil 6.9'de 100 mm ped kalınlığı ve 1,2 m/s hava giriş hızı için zamana bağlı olarak beşinci deney için teorik ve deneysel enerji verimi değişimi verilmiştir.



Şekil 6.9: 100 mm ped kalınlığı ve 1,2 m/s hava giriş hızı için deneysel ve teorik enerji verimi (Deney No 5)

Şekil 6.9'da görüldüğü gibi, teorik enerji verimi 0,315 ile 0,398 arasında değişirken deneysel enerji verimi 0,614 ile 0,6142 arasında çok az değişmektedir.

Şekil 6.10'de 100 mm ped kalınlığı ve 1,2 m/s hava giriş hızı için zamana bağlı olarak deneysel olarak hesaplanan ekserji verimi değişimi verilmiştir.



Şekil 6.10: 100 mm ped kalınlığı ve 1,2 m/s hava giriş hızı için deneysel ve teorik enerji verimi (Deney No 5)

Şekil 6.10'dan görüldüğü gibi, ekserji verimi 0,00030 ile 0,00033 arasında değişmektedir.

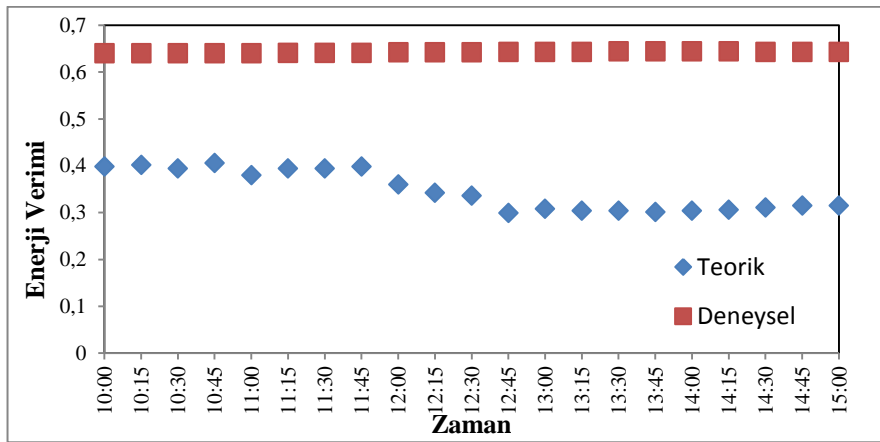
Çizelge 6.11. : Deney No 6 , 100 mm , 1,2 m/s Ölçüm Sonuçları ($m_w=0,01344$, $m_a=0,001532$ $T_w=21,2^{\circ}\text{C}$, 1 atm sabit alınmıştır.)

| Zaman | $T_{db,a}({}^{\circ}\text{C})$ | $W_a(\%)$ | h_a (kJ/kg) | S_a (KJ/Kg-K) | $T_{wb,a}$ (${}^{\circ}\text{C}$) | $T_{db,b}$ (${}^{\circ}\text{C}$) | Wb (%) | H_b (kJ/kg) | S_b (KJ/Kg-K) | P_u (Kg/m ³) | K_u (kJ/Kg.K) | μ_u (Kg/m.s) | Re | Pr | h_c (KJ/Kg.K) | Deneysel verim | Teorik verim | Verim farkı |
|-------|--------------------------------|-----------|------------------|--------------------|--|--|-------------|------------------|--------------------|-------------------------------|--------------------|---------------------|--------|--------|--------------------|----------------|--------------|-------------|
| 10,00 | 24,2 | 30,4 | 38,9 | 3,8773 | 13,9 | 20,1 | 71,4 | 46,9 | 3,8658 | 1,18748 | 0,02545 | 0,0000184 | 208,79 | 0,7298 | 39,43 | 0,640 | 0,398 | 0,378 |
| 10,15 | 25,3 | 32,3 | 42 | 3,881 | 15,1 | 21,2 | 73,3 | 50,5 | 3,8695 | 1,18315 | 0,02553 | 0,0000185 | 207,45 | 0,7295 | 39,35 | 0,640 | 0,402 | 0,372 |
| 10,30 | 25,1 | 31,4 | 41 | 3,8803 | 14,7 | 21 | 72,4 | 49,8 | 3,8688 | 1,18394 | 0,02552 | 0,0000185 | 207,69 | 0,7295 | 39,37 | 0,640 | 0,394 | 0,384 |
| 10,45 | 25,5 | 33,6 | 43 | 3,8817 | 15,4 | 21,4 | 74,6 | 51,8 | 3,8702 | 1,18237 | 0,02555 | 0,0000185 | 207,21 | 0,7294 | 39,34 | 0,640 | 0,406 | 0,366 |
| 11,00 | 25,7 | 29,8 | 41,4 | 3,8823 | 14,9 | 21,6 | 70,8 | 50,7 | 3,8708 | 1,18158 | 0,02556 | 0,0000185 | 206,96 | 0,7293 | 39,32 | 0,640 | 0,380 | 0,406 |
| 11,15 | 26,2 | 32,5 | 43,9 | 3,884 | 15,8 | 22,1 | 73,5 | 53,2 | 3,8725 | 1,17961 | 0,02560 | 0,0000185 | 206,36 | 0,7292 | 39,28 | 0,641 | 0,394 | 0,385 |
| 11,30 | 26,4 | 33 | 44,7 | 3,8847 | 16 | 22,3 | 74 | 54,2 | 3,8732 | 1,17883 | 0,02561 | 0,0000185 | 206,12 | 0,7292 | 39,27 | 0,641 | 0,394 | 0,385 |
| 11,45 | 26,8 | 34,4 | 46,1 | 3,886 | 16,5 | 22,7 | 75,4 | 55,9 | 3,8745 | 1,17725 | 0,02564 | 0,0000186 | 205,64 | 0,7290 | 39,24 | 0,641 | 0,398 | 0,379 |
| 12,00 | 28 | 30,1 | 46,3 | 3,8901 | 16,6 | 23,9 | 71,1 | 57,6 | 3,8786 | 1,17253 | 0,02573 | 0,0000186 | 204,20 | 0,7287 | 39,15 | 0,642 | 0,360 | 0,439 |
| 12,15 | 27,7 | 27 | 43,7 | 3,8891 | 15,7 | 23,6 | 68 | 55,3 | 3,8776 | 1,17371 | 0,02571 | 0,0000186 | 204,56 | 0,7288 | 39,17 | 0,642 | 0,342 | 0,467 |
| 12,30 | 28,1 | 26,3 | 44,1 | 3,8904 | 15,9 | 24 | 67,3 | 56,2 | 3,8789 | 1,17214 | 0,02574 | 0,0000186 | 204,08 | 0,7287 | 39,14 | 0,642 | 0,336 | 0,477 |
| 12,45 | 31,2 | 24 | 48,8 | 3,9007 | 17,5 | 27,1 | 65 | 64,8 | 3,8892 | 1,15995 | 0,02597 | 0,0000188 | 200,40 | 0,7278 | 38,90 | 0,643 | 0,299 | 0,535 |
| 13,00 | 30,8 | 25,4 | 48,9 | 3,8994 | 17,5 | 26,7 | 66,4 | 64,1 | 3,8879 | 1,16152 | 0,02594 | 0,0000188 | 200,87 | 0,7279 | 38,93 | 0,643 | 0,308 | 0,521 |
| 13,15 | 31,4 | 25,6 | 50,3 | 3,9014 | 17,9 | 27,3 | 66,6 | 66,2 | 3,8899 | 1,15916 | 0,02598 | 0,0000188 | 200,16 | 0,7278 | 38,89 | 0,643 | 0,304 | 0,527 |
| 13,30 | 31,6 | 25,5 | 50,7 | 3,902 | 18,1 | 27,5 | 66,5 | 67 | 3,8905 | 1,15837 | 0,02600 | 0,0000188 | 199,93 | 0,7277 | 38,87 | 0,644 | 0,304 | 0,528 |
| 13,45 | 31,9 | 25,7 | 51,5 | 3,903 | 18,3 | 27,8 | 66,7 | 68 | 3,8915 | 1,15719 | 0,02602 | 0,0000188 | 199,57 | 0,7276 | 38,85 | 0,644 | 0,301 | 0,378 |
| 14,00 | 32 | 26 | 51,9 | 3,9033 | 18,5 | 27,9 | 67 | 68,6 | 3,8918 | 1,15680 | 0,02603 | 0,0000188 | 199,46 | 0,7276 | 38,84 | 0,644 | 0,304 | 0,372 |
| 14,15 | 31,7 | 26,2 | 51,3 | 3,9024 | 18,3 | 27,6 | 67,2 | 677, 6 | 3,8909 | 1,15798 | 0,02601 | 0,0000188 | 199,81 | 0,7277 | 38,87 | 0,644 | 0,306 | 0,384 |
| 14,30 | 30,9 | 25,9 | 49,5 | 3,8997 | 17,7 | 26,8 | 66,9 | 64,7 | 3,8882 | 1,16113 | 0,02595 | 0,0000188 | 200,75 | 0,7279 | 38,93 | 0,643 | 0,311 | 0,366 |
| 14,45 | 30,3 | 26,1 | 48,4 | 3,8977 | 17,3 | 26,2 | 67,1 | 62,8 | 3,8862 | 1,16349 | 0,02590 | 0,0000187 | 201,46 | 0,7281 | 38,97 | 0,643 | 0,315 | 0,406 |
| 15,00 | 30 | 25,4 | 47,3 | 3,8967 | 17 | 25,9 | 66,4 | 61,5 | 3,8852 | 1,16467 | 0,02588 | 0,0000187 | 201,81 | 0,7282 | 39,00 | 0,643 | 0,315 | 0,385 |

Çizelge 6.12. : Deney No 6, 100 mm, 1,2 m/s Ölçüm Sonuçları ($m_w=0,01344$, $m_a=0,001532$ $T_w=21,2$ °C, 1 atm sabit alınmıştır.

| Zaman | $T_{db,a}$ (°C) | W_a (%) | h_a (kJ/kg) | S_a ($Kj/Kg\cdot K$) | W_a | $T_{db,b}$ (°C) | W_b (%) | H_b (kJ/kg) | S_b ($Kj/Kg\cdot K$) | W_b | $\Psi_{water,a}$ | $\Psi_{termal,a}$ | $\Psi_{mekanik,a}$ | $\Psi_{kimyasal,a}$ | $\Psi_{toplama,a}$ | $\Psi_{termal,b}$ | $\Psi_{mekanik,b}$ | $\Psi_{kimyasal,b}$ | $\Psi_{toplama,b}$ | $\Psi_{mekanik,b}$ | $\Psi_{toplama,b}$ | $\Psi_{toplama,b}$ | Eksjerji verim |
|-------|-----------------|-----------|-------------------|--------------------------|--------|-----------------|-----------|-------------------|--------------------------|--------|------------------|-------------------|--------------------|---------------------|--------------------|-------------------|--------------------|---------------------|--------------------|--------------------|--------------------|--------------------|----------------|
| 10,00 | 24,2 | 30,4 | 38,9 | 3,8773 | 0,0057 | 20,1 | 71,4 | 46,9 | 3,8658 | 0,0105 | 11,058 | 0,000002 | 0,00010 | 0,00022 | 11,05835 | 0,00063 | 0,00109 | 0,002267 | 0,00390 | 0,00035 | | | |
| 10,15 | 25,3 | 32,3 | 42 | 3,881 | 0,0065 | 21,2 | 73,3 | 50,5 | 3,8695 | 0,0115 | 11,058 | 0,000000 | 0,00010 | 0,00014 | 11,05827 | 0,00038 | 0,00109 | 0,002267 | 0,00365 | 0,00033 | | | |
| 10,30 | 25,1 | 31,4 | 41 | 3,8803 | 0,0062 | 21 | 72,4 | 49,8 | 3,8688 | 0,0113 | 11,058 | 0,000000 | 0,00010 | 0,00017 | 11,05829 | 0,00042 | 0,00109 | 0,002267 | 0,00369 | 0,00033 | | | |
| 10,45 | 25,5 | 33,6 | 43 | 3,8817 | 0,0068 | 21,4 | 74,6 | 51,8 | 3,8702 | 0,0119 | 11,058 | 0,000001 | 0,00010 | 0,00011 | 11,05824 | 0,00034 | 0,00109 | 0,002267 | 0,00362 | 0,00033 | | | |
| 11,00 | 25,7 | 29,8 | 41,4 | 3,8823 | 0,0061 | 21,6 | 70,8 | 50,7 | 3,8708 | 0,0114 | 11,058 | 0,000001 | 0,00010 | 0,00018 | 11,05830 | 0,00030 | 0,00109 | 0,002267 | 0,00358 | 0,00032 | | | |
| 11,15 | 26,2 | 32,5 | 43,9 | 3,884 | 0,0069 | 22,1 | 73,5 | 53,2 | 3,8725 | 0,0122 | 11,058 | 0,000004 | 0,00010 | 0,00011 | 11,05824 | 0,00022 | 0,00109 | 0,002267 | 0,00350 | 0,00032 | | | |
| 11,30 | 26,4 | 33 | 44,7 | 3,8847 | 0,0071 | 22,3 | 74 | 54,2 | 3,8732 | 0,0125 | 11,058 | 0,000005 | 0,00010 | 0,00009 | 11,05822 | 0,00019 | 0,00109 | 0,002267 | 0,00347 | 0,00031 | | | |
| 11,45 | 26,8 | 34,4 | 46,1 | 3,886 | 0,0075 | 22,7 | 75,4 | 55,9 | 3,8745 | 0,013 | 11,058 | 0,000009 | 0,00010 | 0,00007 | 11,05820 | 0,00014 | 0,00109 | 0,002267 | 0,00341 | 0,00031 | | | |
| 12,00 | 28 | 30,1 | 46,3 | 3,8901 | 0,0071 | 23,9 | 71,1 | 57,6 | 3,8786 | 0,0132 | 11,058 | 0,000024 | 0,00010 | 0,00009 | 11,05824 | 0,00003 | 0,00109 | 0,002267 | 0,00331 | 0,00030 | | | |
| 12,15 | 27,7 | 27 | 43,7 | 3,8891 | 0,0062 | 23,6 | 68 | 55,3 | 3,8776 | 0,0124 | 11,058 | 0,000019 | 0,00010 | 0,00017 | 11,05831 | 0,00005 | 0,00109 | 0,002267 | 0,00333 | 0,00030 | | | |
| 12,30 | 28,1 | 26,3 | 44,1 | 3,8904 | 0,0062 | 24 | 67,3 | 56,2 | 3,8789 | 0,0126 | 11,058 | 0,000025 | 0,00010 | 0,00017 | 11,05832 | 0,00003 | 0,00109 | 0,002267 | 0,00330 | 0,00030 | | | |
| 12,45 | 31,2 | 24 | 48,8 | 3,9007 | 0,0068 | 27,1 | 65 | 64,8 | 3,8892 | 0,0147 | 11,058 | 0,000101 | 0,00010 | 0,00011 | 11,05834 | 0,00011 | 0,00109 | 0,002267 | 0,00339 | 0,00031 | | | |
| 13,00 | 30,8 | 25,4 | 48,9 | 3,8994 | 0,007 | 26,7 | 66,4 | 64,1 | 3,8879 | 0,0146 | 11,058 | 0,000088 | 0,00010 | 0,00010 | 11,05831 | 0,00007 | 0,00109 | 0,002267 | 0,00335 | 0,00030 | | | |
| 13,15 | 31,4 | 25,6 | 50,3 | 3,9014 | 0,0073 | 27,3 | 66,6 | 66,2 | 3,8899 | 0,0152 | 11,058 | 0,000108 | 0,00010 | 0,00008 | 11,05831 | 0,00014 | 0,00109 | 0,002267 | 0,00341 | 0,00031 | | | |
| 13,30 | 31,6 | 25,5 | 50,7 | 3,902 | 0,0074 | 27,5 | 66,5 | 67 | 3,8905 | 0,0154 | 11,058 | 0,000114 | 0,00010 | 0,00007 | 11,05831 | 0,00016 | 0,00109 | 0,002267 | 0,00344 | 0,00031 | | | |
| 13,45 | 31,9 | 25,7 | 51,5 | 3,903 | 0,0076 | 27,8 | 66,7 | 68 | 3,8915 | 0,0157 | 11,058 | 0,000125 | 0,00010 | 0,00006 | 11,05831 | 0,00020 | 0,00109 | 0,002267 | 0,00348 | 0,00031 | | | |
| 14,00 | 32 | 26 | 51,9 | 3,9033 | 0,0077 | 27,9 | 67 | 68,6 | 3,8918 | 0,0159 | 11,058 | 0,000129 | 0,00010 | 0,00006 | 11,05831 | 0,00022 | 0,00109 | 0,002267 | 0,00349 | 0,00032 | | | |
| 14,15 | 31,7 | 26,2 | 51,3 | 3,9024 | 0,0076 | 27,6 | 67,2 | 677,6 | 3,8909 | 0,0156 | 11,058 | 0,000118 | 0,00010 | 0,00006 | 11,05831 | 0,00018 | 0,00109 | 0,002267 | 0,00345 | 0,00031 | | | |
| 14,30 | 30,9 | 25,9 | 49,5 | 3,8997 | 0,0072 | 26,8 | 66,9 | 64,7 | 3,8882 | 0,0148 | 11,058 | 0,000091 | 0,00010 | 0,00008 | 11,05830 | 0,00008 | 0,00109 | 0,002267 | 0,00336 | 0,00030 | | | |
| 14,45 | 30,3 | 26,1 | 48,4 | 3,8977 | 0,007 | 26,2 | 67,1 | 62,8 | 3,8862 | 0,0143 | 11,058 | 0,000074 | 0,00010 | 0,00010 | 11,05830 | 0,00004 | 0,00109 | 0,002267 | 0,00331 | 0,00030 | | | |
| 15,00 | 30 | 25,4 | 47,3 | 3,8967 | 0,0067 | 25,9 | 66,4 | 61,5 | 3,8852 | 0,0139 | 11,058 | 0,000066 | 0,00010 | 0,00012 | 11,05831 | 0,00002 | 0,00109 | 0,002267 | 0,00330 | 0,00030 | | | |

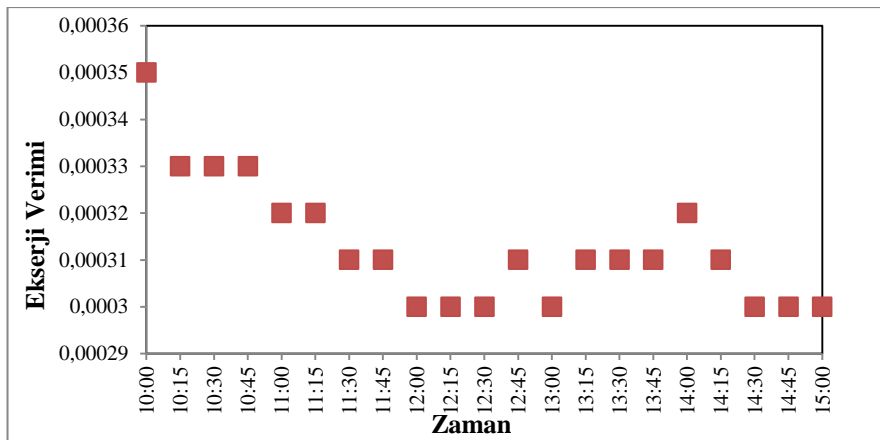
Şekil 6.11'de 100 mm ped kalınlığı ve 1,2 m/s hava giriş hızı için zamana bağlı olarak altıncı deney için teorik ve deneysel enerji verimi değişimi verilmiştir.



Şekil 6.11: 100 mm ped kalınlığı ve 1,2 m/s hava giriş hızı için deneysel ve teorik enerji verimi (Deney No 6)

Şekil 6.11'de görüldüğü gibi, teorik enerji verimi 0,306 ile 0,402 arasında değişirken deneysel enerji verimi 0,640 ile 0,644 arasında çok az değişmektedir.

Şekil 6.12'de 100 mm ped kalınlığı ve 1,2 m/s hava giriş hızı için zamana bağlı olarak deneysel olarak hesaplanan ekserji verimi değişimi verilmiştir.



Şekil 6.12: 100 mm ped kalınlığı ve 1,2 m/s hava giriş hızı için deneysel ve teorik enerji verimi (Deney No 6)

Şekil 6.12'den görüldüğü gibi, ekserji verimi 0,00030 ile 0,00033 arasında değişmektedir.

100 mm ped kalınlığı ve 1,7 m/s hava giriş hızı için yapılan birinci deneyin (Deney No 7) ölçüm sonuçları, termodinamik özelliklerini ve teorik ve deneyel olarak hesaplanan enerji verim değerleri ve ekserji analiz değerleri sırasıyla Çizelge 6.13 ve Çizelge 6.14'de verilmiştir. Aynı şekilde benzer ped kalınlığı ve hava giriş hızı için tekrarlanan ikinci (Deney No 8) ve üçüncü (Deney No 9) için enerji ve ekserji analizi ve ölçüm sonuçları sırasıyla Çizelge 6.15, 6.16, 6.17 ve 6.18'de verilmiştir. Her üç deneyde de $\dot{m}_w=0,01344$, $\dot{m}_a=0,007998$, $T_w=21,3$ °C, 1 atm sabit alınmıştır.



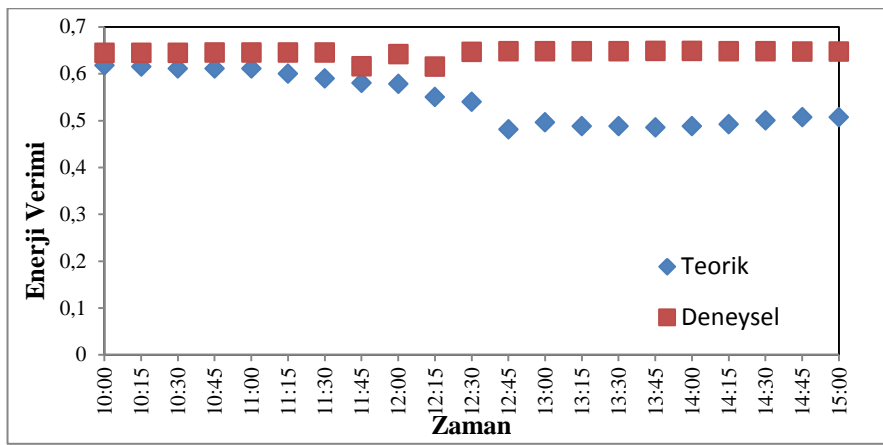
Çizelge 6.13. : Deney No 7, 100 mm, 1,7 m/s Ölçüm Sonuçları ($m_w=0,01344$ kg, $m_a=0,007998$ kg $T_w=21,3$ °C, 1 atm sabit alınmıştır.)

| Zaman | $T_{db,a}$ (°C) | W_a (%) | h_a (kJ/kg) | S_a (KJ/Kg·K) | $T_{wb,a}$ (°C) | $T_{db,b}$ (°C) | Wb (%) | H_b (kJ/kg) | S_b (KJ/Kg·K) | P_u (Kg/m³) | K_u (kJ/Kg·K) | μ_u (Kg/m.s) | Re | Pr | h_c (KJ/Kg·K) | <i>Deneysel verim</i> | <i>Teorik verim</i> | Verim farkı |
|-------|-----------------|-----------|---------------|-----------------|-----------------|-----------------|----------|---------------|-----------------|---------------|-----------------|------------------|--------|--------|-----------------|-----------------------|---------------------|-------------|
| 10,00 | 24,2 | 30,4 | 38,9 | 3,8773 | 13,9 | 17,6 | 80,4 | 43,3 | 3,8641 | 1,18748 | 0,02545 | 0,0000184 | 295,78 | 0,7298 | 52,11 | 0,64420 | 0,618 | 0,041 |
| 10,15 | 25,3 | 32,3 | 42 | 3,881 | 15,1 | 18,7 | 82,3 | 47 | 3,8678 | 1,18315 | 0,02553 | 0,0000185 | 293,89 | 0,7295 | 52,00 | 0,64467 | 0,615 | 0,046 |
| 10,30 | 25,1 | 31,4 | 41 | 3,8803 | 14,7 | 18,5 | 81,4 | 46 | 3,8671 | 1,18394 | 0,02552 | 0,0000185 | 294,23 | 0,7295 | 52,02 | 0,64457 | 0,611 | 0,052 |
| 10,45 | 25,5 | 33,6 | 43 | 3,8817 | 15,4 | 18,9 | 83,6 | 47,9 | 3,8685 | 1,18237 | 0,02555 | 0,0000185 | 293,54 | 0,7294 | 51,98 | 0,64477 | 0,611 | 0,052 |
| 11,00 | 25,7 | 29,8 | 41,4 | 3,8823 | 14,9 | 19,1 | 79,8 | 47,1 | 3,8691 | 1,18158 | 0,02556 | 0,0000185 | 293,20 | 0,7293 | 51,96 | 0,64488 | 0,611 | 0,053 |
| 11,15 | 26,2 | 32,5 | 43,9 | 3,884 | 15,8 | 19,6 | 82,5 | 49,7 | 3,8708 | 1,17961 | 0,02560 | 0,0000185 | 292,34 | 0,7292 | 51,91 | 0,64514 | 0,600 | 0,070 |
| 11,30 | 26,4 | 33 | 44,7 | 3,8847 | 16 | 19,8 | 83 | 50,4 | 3,8715 | 1,17883 | 0,02561 | 0,0000185 | 292,00 | 0,7292 | 51,89 | 0,64524 | 0,590 | 0,086 |
| 11,45 | 26,8 | 34,4 | 46,1 | 3,886 | 16,5 | 20,2 | 84,4 | 52 | 3,8728 | 1,17725 | 0,02564 | 0,0000186 | 291,32 | 0,7290 | 51,85 | 0,61545 | 0,580 | 0,058 |
| 12,00 | 28 | 30,1 | 46,3 | 3,8901 | 16,6 | 21,4 | 80,1 | 54 | 3,8769 | 1,17253 | 0,02573 | 0,0000186 | 289,28 | 0,7287 | 51,73 | 0,64168 | 0,578 | 0,099 |
| 12,15 | 27,7 | 27 | 43,7 | 3,8891 | 15,7 | 21,1 | 77 | 52 | 3,8759 | 1,17371 | 0,02571 | 0,0000186 | 289,79 | 0,7288 | 51,76 | 0,61492 | 0,550 | 0,106 |
| 12,30 | 28,1 | 26,3 | 44,1 | 3,8904 | 15,9 | 21,5 | 76,3 | 52,9 | 3,8772 | 1,17214 | 0,02574 | 0,0000186 | 289,11 | 0,7287 | 51,72 | 0,64613 | 0,540 | 0,164 |
| 12,45 | 31,2 | 24 | 48,8 | 3,9007 | 17,5 | 24,6 | 74 | 61,4 | 3,8875 | 1,15995 | 0,02597 | 0,0000188 | 283,90 | 0,7278 | 51,41 | 0,64774 | 0,481 | 0,257 |
| 13,00 | 30,8 | 25,4 | 48,9 | 3,8994 | 17,5 | 24,2 | 75,4 | 60,7 | 3,8862 | 1,16152 | 0,02594 | 0,0000188 | 284,56 | 0,7279 | 51,45 | 0,64753 | 0,496 | 0,234 |
| 13,15 | 31,4 | 25,6 | 50,3 | 3,9014 | 17,9 | 24,8 | 75,6 | 62,9 | 3,8882 | 1,15916 | 0,02598 | 0,0000188 | 283,56 | 0,7278 | 51,39 | 0,64785 | 0,488 | 0,247 |
| 13,30 | 31,6 | 25,5 | 50,7 | 3,902 | 18,1 | 25 | 75,5 | 63,4 | 3,8888 | 1,15837 | 0,02600 | 0,0000188 | 283,23 | 0,7277 | 51,36 | 0,64795 | 0,488 | 0,247 |
| 13,45 | 31,9 | 25,7 | 51,5 | 3,903 | 18,3 | 25,3 | 75,7 | 64,7 | 3,8898 | 1,15719 | 0,02602 | 0,0000188 | 282,73 | 0,7276 | 51,33 | 0,64811 | 0,485 | 0,041 |
| 14,00 | 32 | 26 | 51,9 | 3,9033 | 18,5 | 25,4 | 76 | 65 | 3,8901 | 1,15680 | 0,02603 | 0,0000188 | 282,56 | 0,7276 | 51,32 | 0,64816 | 0,488 | 0,046 |
| 14,15 | 31,7 | 26,2 | 51,3 | 3,9024 | 18,3 | 25,1 | 76,2 | 64,2 | 3,8892 | 1,15798 | 0,02601 | 0,0000188 | 283,06 | 0,7277 | 51,35 | 0,64800 | 0,492 | 0,052 |
| 14,30 | 30,9 | 25,9 | 49,5 | 3,8997 | 17,7 | 24,3 | 75,9 | 61,4 | 3,8865 | 1,16113 | 0,02595 | 0,0000188 | 284,40 | 0,7279 | 51,44 | 0,64759 | 0,500 | 0,052 |
| 14,45 | 30,3 | 26,1 | 48,4 | 3,8977 | 17,3 | 23,7 | 76,1 | 59,5 | 3,8845 | 1,16349 | 0,02590 | 0,0000187 | 285,40 | 0,7281 | 51,50 | 0,64727 | 0,507 | 0,053 |
| 15,00 | 30 | 25,4 | 47,3 | 3,8967 | 17 | 23,4 | 75,4 | 58,1 | 3,8835 | 1,16400 | 0,02588 | 0,0000187 | 285,74 | 0,7282 | 51,50 | 0,64716 | 0,507 | 0,070 |

Çizelge 6.14. : Deney No 7, 100 mm, 1,7 m/s Ölçüm Sonuçları ($m_w=0,01344$ kg , $m_a=0,007998$ kg $T_w=21,3$ °C , 1 atm sabit alınmıştır.)

| Zaman | $T_{db,a}$ (°C) | W_a (%) | h_a (kj/kg) | S_a (Kj/Kg-K) | W_a | $T_{db,b}$ (°C) | W_b (%) | H_b (kj/kg) | S_b (Kj/Kg-K) | W_b | $\Psi_{water,a}$ | $\Psi_{termal,a}$ | $\Psi_{mekanik,a}$ | $\Psi_{kimyasal,a}$ | $\Psi_{toplam,a}$ | $\Psi_{termal,b}$ | $\Psi_{mekanik,b}$ | $\Psi_{kimyasal,b}$ | $\Psi_{toplam,b}$ | $Ekseri$ $verim$ |
|-------|-----------------|-----------|------------------|--------------------|--------|-----------------|-----------|------------------|--------------------|--------|------------------|-------------------|--------------------|---------------------|-------------------|-------------------|--------------------|---------------------|-------------------|---------------------|
| 10,00 | 24,2 | 30,4 | 38,9 | 3,8773 | 0,0057 | 17,6 | 80,4 | 43,3 | 3,8641 | 0,0101 | 11,058 | 0,000008 | 0,00051 | 0,00114 | 11,05964 | 0,00206 | 0,001459 | 0,014507 | 0,01803 | 0,00163 |
| 10,15 | 25,3 | 32,3 | 42 | 3,881 | 0,0065 | 18,7 | 82,3 | 47 | 3,8678 | 0,0111 | 11,058 | 0,000001 | 0,00051 | 0,00072 | 11,05921 | 0,00149 | 0,001459 | 0,014507 | 0,01746 | 0,00157 |
| 10,30 | 25,1 | 31,4 | 41 | 3,8803 | 0,0062 | 18,5 | 81,4 | 46 | 3,8671 | 0,0108 | 11,058 | 0,000001 | 0,00051 | 0,00087 | 11,05935 | 0,00159 | 0,001459 | 0,014507 | 0,01756 | 0,00158 |
| 10,45 | 25,5 | 33,6 | 43 | 3,8817 | 0,0068 | 18,9 | 83,6 | 47,9 | 3,8685 | 0,0114 | 11,058 | 0,000003 | 0,00051 | 0,00059 | 11,05908 | 0,00140 | 0,001459 | 0,014507 | 0,01737 | 0,00157 |
| 11,00 | 25,7 | 29,8 | 41,4 | 3,8823 | 0,0061 | 19,1 | 79,8 | 47,1 | 3,8691 | 0,011 | 11,058 | 0,000006 | 0,00051 | 0,00092 | 11,05941 | 0,00131 | 0,001459 | 0,014507 | 0,01727 | 0,00156 |
| 11,15 | 26,2 | 32,5 | 43,9 | 3,884 | 0,0069 | 19,6 | 82,5 | 49,7 | 3,8708 | 0,0118 | 11,058 | 0,000019 | 0,00051 | 0,00055 | 11,05906 | 0,00110 | 0,001459 | 0,014507 | 0,01706 | 0,00154 |
| 11,30 | 26,4 | 33 | 44,7 | 3,8847 | 0,0071 | 19,8 | 83 | 50,4 | 3,8715 | 0,012 | 11,058 | 0,000027 | 0,00051 | 0,00048 | 11,05899 | 0,00102 | 0,001459 | 0,014507 | 0,01698 | 0,00153 |
| 11,45 | 26,8 | 34,4 | 46,1 | 3,886 | 0,0075 | 20,2 | 84,4 | 52 | 3,8728 | 0,0125 | 11,058 | 0,000044 | 0,00051 | 0,00034 | 11,05887 | 0,00087 | 0,001459 | 0,014507 | 0,01683 | 0,00152 |
| 12,00 | 28 | 30,1 | 46,3 | 3,8901 | 0,0071 | 21,4 | 80,1 | 54 | 3,8769 | 0,0128 | 11,058 | 0,000124 | 0,00051 | 0,00048 | 11,05909 | 0,00049 | 0,001459 | 0,014507 | 0,01645 | 0,00148 |
| 12,15 | 27,7 | 27 | 43,7 | 3,8891 | 0,0062 | 21,1 | 77 | 52 | 3,8759 | 0,0121 | 11,058 | 0,000100 | 0,00051 | 0,00087 | 11,05945 | 0,00057 | 0,001459 | 0,014507 | 0,01654 | 0,00149 |
| 12,30 | 28,1 | 26,3 | 44,1 | 3,8904 | 0,0062 | 21,5 | 76,3 | 52,9 | 3,8772 | 0,0123 | 11,058 | 0,000132 | 0,00051 | 0,00087 | 11,05948 | 0,00046 | 0,001459 | 0,014507 | 0,01642 | 0,00148 |
| 12,45 | 31,2 | 24 | 48,8 | 3,9007 | 0,0068 | 24,6 | 74 | 61,4 | 3,8875 | 0,0144 | 11,058 | 0,000525 | 0,00051 | 0,00059 | 11,05960 | 0,00001 | 0,001459 | 0,014507 | 0,01597 | 0,00144 |
| 13,00 | 30,8 | 25,4 | 48,9 | 3,8994 | 0,007 | 24,2 | 75,4 | 60,7 | 3,8862 | 0,0143 | 11,058 | 0,000460 | 0,00051 | 0,00051 | 11,05946 | 0,00002 | 0,001459 | 0,014507 | 0,01599 | 0,00144 |
| 13,15 | 31,4 | 25,6 | 50,3 | 3,9014 | 0,0073 | 24,8 | 75,6 | 62,9 | 3,8882 | 0,0149 | 11,058 | 0,000561 | 0,00051 | 0,00041 | 11,05945 | 0,00000 | 0,001459 | 0,014507 | 0,01597 | 0,00144 |
| 13,30 | 31,6 | 25,5 | 50,7 | 3,902 | 0,0074 | 25 | 75,5 | 63,4 | 3,8888 | 0,015 | 11,058 | 0,000596 | 0,00051 | 0,00038 | 11,05946 | 0,00000 | 0,001459 | 0,014507 | 0,01597 | 0,00144 |
| 13,45 | 31,9 | 25,7 | 51,5 | 3,903 | 0,0076 | 25,3 | 75,7 | 64,7 | 3,8898 | 0,0154 | 11,058 | 0,000652 | 0,00051 | 0,00032 | 11,05945 | 0,00000 | 0,001459 | 0,014507 | 0,01597 | 0,00144 |
| 14,00 | 32 | 26 | 51,9 | 3,9033 | 0,0077 | 25,4 | 76 | 65 | 3,8901 | 0,0155 | 11,058 | 0,000671 | 0,00051 | 0,00029 | 11,05944 | 0,00001 | 0,001459 | 0,014507 | 0,01597 | 0,00144 |
| 14,15 | 31,7 | 26,2 | 51,3 | 3,9024 | 0,0076 | 25,1 | 76,2 | 64,2 | 3,8892 | 0,0153 | 11,058 | 0,000615 | 0,00051 | 0,00032 | 11,05942 | 0,00000 | 0,001459 | 0,014507 | 0,01597 | 0,00144 |
| 14,30 | 30,9 | 25,9 | 49,5 | 3,8997 | 0,0072 | 24,3 | 75,9 | 61,4 | 3,8865 | 0,0145 | 11,058 | 0,000477 | 0,00051 | 0,00044 | 11,05940 | 0,00002 | 0,001459 | 0,014507 | 0,01598 | 0,00144 |
| 14,45 | 30,3 | 26,1 | 48,4 | 3,8977 | 0,007 | 23,7 | 76,1 | 59,5 | 3,8845 | 0,014 | 11,058 | 0,000385 | 0,00051 | 0,00051 | 11,05938 | 0,00006 | 0,001459 | 0,014507 | 0,01603 | 0,00145 |
| 15,00 | 30 | 25,4 | 47,3 | 3,8967 | 0,0067 | 23,4 | 75,4 | 58,1 | 3,8835 | 0,0136 | 11,058 | 0,000342 | 0,00051 | 0,00063 | 11,05946 | 0,00010 | 0,001459 | 0,014507 | 0,01606 | 0,00145 |

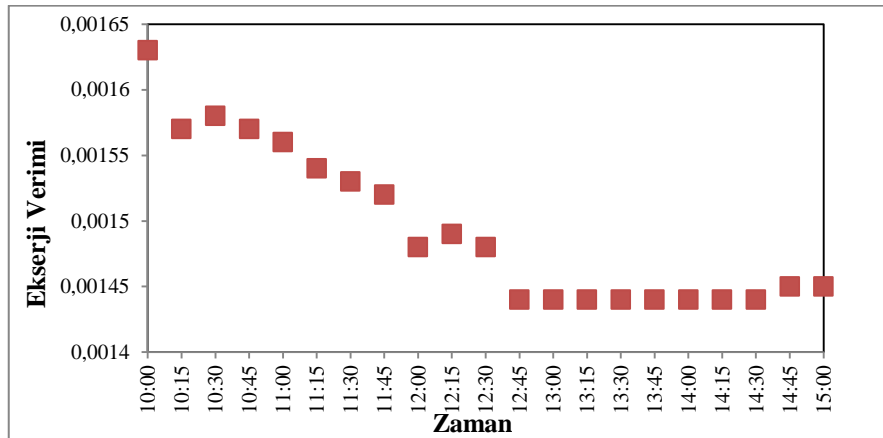
Şekil 6.13'de 100 mm ped kalınlığı ve 1,7 m/s hava giriş hızı için zamana bağlı olarak yedinci deney için teorik ve deneysel enerji verimi değişimi verilmiştir.



Şekil 6.13: 100 mm ped kalınlığı ve 1,7 m/s hava giriş hızı için deneysel ve teorik enerji verimi (Deney No 7)

Şekil 6.13'de görüldüğü gibi, teorik enerji verimi 0,48 ile 0,62 arasında değişirken deneysel enerji verimi 0,644 ile 0,648 arasında çok az değişmektedir.

Şekil 6.14'de 100 mm ped kalınlığı ve 1,7 m/s hava giriş hızı için zamana bağlı olarak deneysel olarak hesaplanan ekserji verimi değişimi verilmiştir.



Şekil 6.14: 100 mm ped kalınlığı ve 1,7 m/s hava giriş hızı için deneysel ve teorik enerji verimi (Deney No 7)

Şekil 6.14'den görüldüğü gibi, ekserji verimi 0,000144 ile 0,000163 arasında değişmektedir.

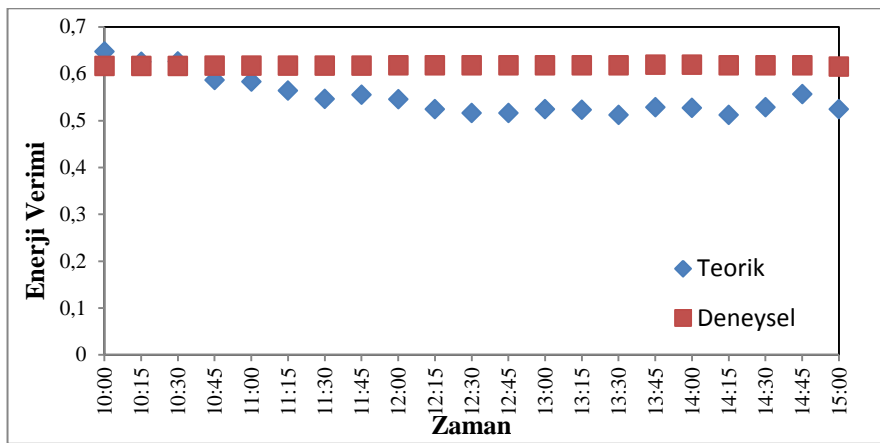
Çizelge 6.15. : Deney No 8, 100 mm, 1,7 m/s Ölçüm Sonuçları ($m_w=0,01344$ kg, $m_a=0,007998$ kg $T_w=21,3$ °C ,1 atm sabit alınmıştır.)

| Zaman | $T_{dh,a}$ (°C) | W_a (%) | h_a (kJ/kg) | S_a (Kj/Kg·K) | $T_{wb,a}$ (°C) | $T_{wb,b}$ (°C) | Wb (%) | H_b (kJ/kg) | S_b (Kj/Kg·K) | P_a (Kg/m³) | K_u (kJ/Kg·K) | μ_u (Kg/m.s) | Re | Pr | h_e (Kj/Kg·K) | Deneysel verim | Teorik verim | Verim farkı |
|-------|-----------------|-----------|---------------|-----------------|-----------------|-----------------|----------|---------------|-----------------|---------------|-----------------|-----------------------|--------|--------|-----------------|----------------|--------------|-------------|
| 10,00 | 27,5 | 35,3 | 48,4 | 3,8892 | 17,3 | 20,9 | 80,3 | 56,6 | 3,8718 | 1,17450 | 0,02570 | 0,000018 | 290,13 | 0,7289 | 51,78 | 0,616 | 0,647 | -0,050 |
| 10,15 | 28 | 34,7 | 49,2 | 2,8909 | 17,6 | 21,5 | 79,7 | 50,7 | 3,8667 | 1,17253 | 0,02573 | 0,000018 | 289,28 | 0,7287 | 51,73 | 0,616 | 0,625 | -0,015 |
| 10,30 | 28,4 | 33,6 | 49,6 | 3,8922 | 17,7 | 21,7 | 78,6 | 52,8 | 3,866 | 1,17096 | 0,02576 | 0,000018 | 288,60 | 0,7286 | 51,69 | 0,616 | 0,626 | -0,016 |
| 10,45 | 28,9 | 32,5 | 49,9 | 3,8939 | 17,8 | 22,4 | 77,5 | 53,9 | 3,8681 | 1,16899 | 0,02580 | 0,000018 | 287,76 | 0,7285 | 51,64 | 0,617 | 0,586 | 0,050 |
| 11,00 | 29,3 | 31,6 | 49,9 | 3,8949 | 17,8 | 22,6 | 76,6 | 51,1 | 3,8657 | 1,16742 | 0,02583 | 0,000018 | 287,08 | 0,7284 | 51,60 | 0,617 | 0,583 | 0,055 |
| 11,15 | 29,2 | 30,4 | 49 | 3,8952 | 17,5 | 22,6 | 75,4 | 54,5 | 3,8684 | 1,16781 | 0,02582 | 0,000018 | 287,25 | 0,7284 | 51,61 | 0,617 | 0,564 | 0,086 |
| 11,30 | 29,6 | 29,7 | 49,6 | 3,8963 | 17,7 | 23,1 | 74,7 | 56,3 | 3,8701 | 1,16624 | 0,02585 | 0,000018 | 286,58 | 0,7283 | 51,57 | 0,617 | 0,546 | 0,115 |
| 11,45 | 30,5 | 30,5 | 52,3 | 3,8992 | 18,6 | 23,9 | 75,5 | 57,1 | 3,8746 | 1,16270 | 0,02592 | 0,000018 | 285,07 | 0,7280 | 51,48 | 0,617 | 0,555 | 0,100 |
| 12,00 | 31,1 | 30,5 | 53,6 | 3,9012 | 19 | 24,5 | 75,5 | 55 | 3,8725 | 1,16034 | 0,02596 | 0,000018 | 284,06 | 0,7279 | 51,42 | 0,618 | 0,545 | 0,118 |
| 12,15 | 31,9 | 29,7 | 54,7 | 3,9038 | 19,3 | 25,3 | 74,7 | 52,3 | 3,8671 | 1,15719 | 0,02602 | 0,000018 | 282,73 | 0,7276 | 51,33 | 0,618 | 0,524 | 0,152 |
| 12,30 | 32,4 | 29,4 | 55,7 | 3,9055 | 19,6 | 25,8 | 74,4 | 51,1 | 3,8674 | 1,15523 | 0,02606 | 0,000018 | 281,90 | 0,7275 | 51,28 | 0,618 | 0,516 | 0,165 |
| 12,45 | 32,5 | 29,6 | 56,1 | 3,9058 | 19,7 | 25,9 | 74,6 | 52,6 | 3,8688 | 1,15483 | 0,02607 | 0,000018 | 281,73 | 0,7275 | 51,27 | 0,618 | 0,516 | 0,165 |
| 13,00 | 32,3 | 29,9 | 55,9 | 3,9052 | 19,7 | 25,7 | 74,9 | 52,9 | 3,8691 | 1,15562 | 0,02605 | 0,000018 | 282,07 | 0,7275 | 51,29 | 0,618 | 0,524 | 0,152 |
| 13,15 | 32,4 | 29,5 | 55,7 | 3,9055 | 19,6 | 25,7 | 74,5 | 52,8 | 3,8688 | 1,15523 | 0,02606 | 0,000018 | 281,90 | 0,7275 | 51,28 | 0,618 | 0,523 | 0,154 |
| 13,30 | 32,5 | 28,8 | 55,6 | 3,9058 | 19,6 | 25,9 | 73,8 | 53,6 | 3,8705 | 1,15483 | 0,02607 | 0,000018 | 281,73 | 0,7275 | 51,27 | 0,618 | 0,512 | 0,172 |
| 13,45 | 32,7 | 29,8 | 56,8 | 3,9065 | 20 | 26 | 74,8 | 54,7 | 3,8708 | 1,15405 | 0,02608 | 0,000018 | 281,40 | 0,7274 | 51,25 | 0,619 | 0,528 | -0,050 |
| 14,00 | 32,9 | 29,5 | 57 | 3,9071 | 20 | 26,1 | 74,5 | 63,7 | 3,8786 | 1,15326 | 0,02609 | 0,000018 | 281,07 | 0,7274 | 51,23 | 0,619 | 0,527 | -0,015 |
| 14,15 | 32,2 | 29,3 | 55,3 | 3,9048 | 19,5 | 25,7 | 74,3 | 61 | 3,878 | 1,15601 | 0,02604 | 0,000018 | 282,23 | 0,7276 | 51,30 | 0,618 | 0,512 | -0,016 |
| 14,30 | 31,6 | 29,5 | 53,9 | 3,9029 | 19,1 | 25 | 74,5 | 56,9 | 3,8746 | 1,15837 | 0,02600 | 0,000018 | 283,23 | 0,7277 | 51,36 | 0,618 | 0,528 | 0,050 |
| 14,45 | 31,1 | 29,7 | 55,1 | 3,9042 | 19,4 | 24,6 | 74,7 | 60,1 | 3,8752 | 1,16034 | 0,02596 | 0,000018 ₈ | 284,06 | 0,7279 | 51,42 | 0,618 | 0,556 | 0,055 |
| 15,00 | 32,2 | 31,1 | 56,5 | 3,9045 | 19,8 | 25,7 | 76,1 | 59,7 | 3,8756 | 1,16400 | 0,02588 | 0,000018 | 284,18 | 0,7276 | 51,26 | 0,615 | 0,524 | 0,086 |

Çizelge 6.16. : Deney No 8, 100 mm, 1,7 m/s Ölçüm Sonuçları ($m_w=0,01344$ kg , $m_a=0,007998$ kg $T_w=21,3$ °C ,1 atm sabit alınmıştır.)

| Zaman | $T_{db,a}$ (°C) | W_a (%) | h_a (kj/kg) | S_a (Kj/Kg-K) | W_a | $T_{db,b}$ (°C) | W_b (%) | H_b (kj/kg) | S_b (Kj/Kg-K) | W_b | $\Psi_{water,a}$ | $\Psi_{termal,a}$ | $\Psi_{mekanik,a}$ | $\Psi_{kimyasal,a}$ | $\Psi_{toplama,a}$ | $\Psi_{termal,b}$ | $\Psi_{mekanik,b}$ | $\Psi_{kimyasal,b}$ | $\Psi_{toplama,b}$ | $\Psi_{mekanik,b}$ | $\Psi_{toplama,b}$ | Ekserī verim |
|-------|-----------------|-----------|---------------|-----------------|--------|-----------------|-----------|---------------|-----------------|--------|------------------|-------------------|--------------------|---------------------|--------------------|-------------------|--------------------|---------------------|--------------------|--------------------|--------------------|---------------|
| 10.00 | 27,5 | 35,3 | 48,4 | 3,8892 | 0,0081 | 20,9 | 80,3 | 56,6 | 3,8718 | 0,0133 | 11,058 | 0,000087 | 0,00051 | 0,00019 | 11,05876 | 0,00063 | 0,001459 | 0,014507 | 0,0166 | 0,00150 | | |
| 10.15 | 28 | 34,7 | 49,2 | 2,8909 | 0,0082 | 21,5 | 79,7 | 50,7 | 3,8667 | 0,0116 | 11,058 | 0,000125 | 0,00051 | 0,00017 | 11,05878 | 0,00046 | 0,001459 | 0,014507 | 0,0164 | 0,00148 | | |
| 10.30 | 28,4 | 33,6 | 49,6 | 3,8922 | 0,0082 | 21,7 | 78,6 | 52,8 | 3,866 | 0,0125 | 11,058 | 0,000160 | 0,00051 | 0,00017 | 11,05881 | 0,00041 | 0,001459 | 0,014507 | 0,0164 | 0,00148 | | |
| 10.45 | 28,9 | 32,5 | 49,9 | 3,8939 | 0,0081 | 22,4 | 77,5 | 53,9 | 3,8681 | 0,0127 | 11,058 | 0,000210 | 0,00051 | 0,00019 | 11,05889 | 0,00025 | 0,001459 | 0,014507 | 0,0162 | 0,00146 | | |
| 11.00 | 29,3 | 31,6 | 49,9 | 3,8949 | 0,008 | 22,6 | 76,6 | 51,1 | 3,8657 | 0,0119 | 11,058 | 0,000255 | 0,00051 | 0,00021 | 11,05895 | 0,00022 | 0,001459 | 0,014507 | 0,0162 | 0,00146 | | |
| 11.15 | 29,2 | 30,4 | 49 | 3,8952 | 0,0076 | 22,6 | 75,4 | 54,5 | 3,8684 | 0,0129 | 11,058 | 0,000243 | 0,00051 | 0,00032 | 11,05904 | 0,00022 | 0,001459 | 0,014507 | 0,0162 | 0,00146 | | |
| 11.30 | 29,6 | 29,7 | 49,6 | 3,8963 | 0,0077 | 23,1 | 74,7 | 56,3 | 3,8701 | 0,0134 | 11,058 | 0,000292 | 0,00051 | 0,00029 | 11,05906 | 0,00014 | 0,001459 | 0,014507 | 0,0161 | 0,00145 | | |
| 11.45 | 30,5 | 30,5 | 52,3 | 3,8992 | 0,0084 | 23,9 | 75,5 | 57,1 | 3,8746 | 0,0132 | 11,058 | 0,000417 | 0,00051 | 0,00013 | 11,05903 | 0,00005 | 0,001459 | 0,014507 | 0,0160 | 0,00144 | | |
| 12.00 | 31,1 | 30,5 | 53,6 | 3,9012 | 0,0087 | 24,5 | 75,5 | 55 | 3,8725 | 0,0126 | 11,058 | 0,000513 | 0,00051 | 0,00008 | 11,05908 | 0,00001 | 0,001459 | 0,014507 | 0,0160 | 0,00144 | | |
| 12.15 | 31,9 | 29,7 | 54,7 | 3,9038 | 0,0088 | 25,3 | 74,7 | 52,3 | 3,8671 | 0,0122 | 11,058 | 0,000655 | 0,00051 | 0,00007 | 11,05921 | 0,00000 | 0,001459 | 0,014507 | 0,0160 | 0,00144 | | |
| 12.30 | 32,4 | 29,4 | 55,7 | 3,9055 | 0,009 | 25,8 | 74,4 | 51,1 | 3,8674 | 0,0117 | 11,058 | 0,000754 | 0,00051 | 0,00005 | 11,05929 | 0,00002 | 0,001459 | 0,014507 | 0,0160 | 0,00144 | | |
| 12.45 | 32,5 | 29,6 | 56,1 | 3,9058 | 0,0091 | 25,9 | 74,6 | 52,6 | 3,8688 | 0,0121 | 11,058 | 0,000774 | 0,00051 | 0,00004 | 11,05930 | 0,00003 | 0,001459 | 0,014507 | 0,0160 | 0,00144 | | |
| 13.00 | 32,3 | 29,9 | 55,9 | 3,9052 | 0,0091 | 25,7 | 74,9 | 52,9 | 3,8691 | 0,0122 | 11,058 | 0,000734 | 0,00051 | 0,00004 | 11,05926 | 0,00002 | 0,001459 | 0,014507 | 0,0160 | 0,00144 | | |
| 13.15 | 32,4 | 29,5 | 55,7 | 3,9055 | 0,009 | 25,7 | 74,5 | 52,8 | 3,8688 | 0,0122 | 11,058 | 0,000754 | 0,00051 | 0,00005 | 11,05929 | 0,00002 | 0,001459 | 0,014507 | 0,0160 | 0,00144 | | |
| 13.30 | 32,5 | 28,8 | 55,6 | 3,9058 | 0,0089 | 25,9 | 73,8 | 53,6 | 3,8705 | 0,0123 | 11,058 | 0,000774 | 0,00051 | 0,00006 | 11,05932 | 0,00003 | 0,001459 | 0,014507 | 0,0160 | 0,00144 | | |
| 13.45 | 32,7 | 29,8 | 56,8 | 3,9065 | 0,0093 | 26 | 74,8 | 54,7 | 3,8708 | 0,0127 | 11,058 | 0,000816 | 0,00051 | 0,00002 | 11,05932 | 0,00004 | 0,001459 | 0,014507 | 0,0160 | 0,00144 | | |
| 14.00 | 32,9 | 29,5 | 57 | 3,9071 | 0,0093 | 26,1 | 74,5 | 63,7 | 3,8786 | 0,0153 | 11,058 | 0,000859 | 0,00051 | 0,00002 | 11,05937 | 0,00005 | 0,001459 | 0,014507 | 0,0160 | 0,00144 | | |
| 14.15 | 32,2 | 29,3 | 55,3 | 3,9048 | 0,0089 | 25,7 | 74,3 | 61 | 3,878 | 0,0143 | 11,058 | 0,000714 | 0,00051 | 0,00006 | 11,05926 | 0,00002 | 0,001459 | 0,014507 | 0,0160 | 0,00144 | | |
| 14.30 | 31,6 | 29,5 | 53,9 | 3,9029 | 0,0086 | 25 | 74,5 | 56,9 | 3,8746 | 0,0131 | 11,058 | 0,000600 | 0,00051 | 0,00010 | 11,05918 | 0,00000 | 0,001459 | 0,014507 | 0,0160 | 0,00144 | | |
| 14.45 | 31,1 | 29,7 | 55,1 | 3,9042 | 0,0089 | 24,6 | 74,7 | 60,1 | 3,8752 | 0,0143 | 11,058 | 0,000513 | 0,00051 | 0,00006 | 11,05906 | 0,00001 | 0,001459 | 0,014507 | 0,0160 | 0,00144 | | |
| 15.00 | 32,2 | 31,1 | 56,5 | 3,9045 | 0,0094 | 25,7 | 76,1 | 59,7 | 3,8756 | 0,0141 | 11,058 | 0,000715 | 0,00051 | 0,00001 | 11,05922 | 0,00002 | 0,001459 | 0,014507 | 0,0160 | 0,00144 | | |

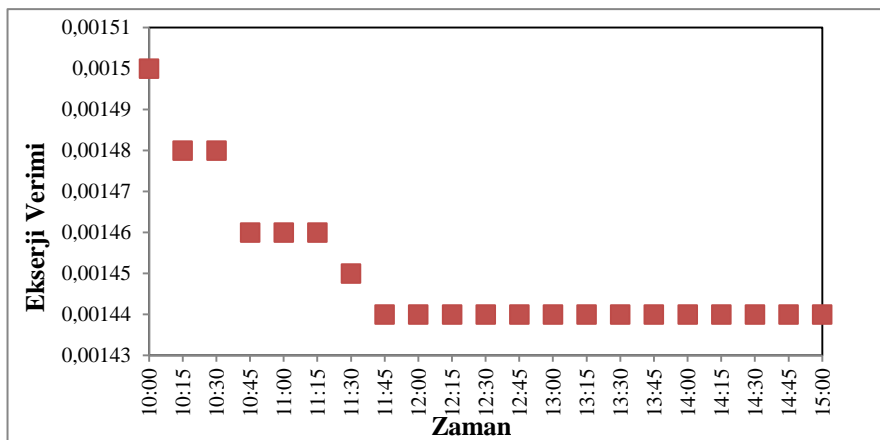
Şekil 6.15'de 100 mm ped kalınlığı ve 1,7 m/s hava giriş hızı için zamana bağlı olarak sekizinci deney için teorik ve deneysel enerji verimi değişimi verilmiştir.



Şekil 6.15: 100 mm ped kalınlığı ve 1,7 m/s hava giriş hızı için deneysel ve teorik enerji verimi (Deney No 8)

Şekil 6.15'te görüldüğü gibi, teorik enerji verimi 0,51 ile 0,64 arasında değişirken deneysel enerji verimi 0,615 ile 0,618 arasında çok az değişmektedir.

Şekil 6.16'da 100 mm ped kalınlığı ve 1,7 m/s hava giriş hızı için zamana bağlı olarak deneysel olarak hesaplanan ekserji verimi değişimi verilmiştir.



Şekil 6.16: 100 mm ped kalınlığı ve 1,7 m/s hava giriş hızı için deneysel ve teorik enerji verimi (Deney No 8)

Şekil 6.16'dan görüldüğü gibi, ekserji verimi 0,000144 ile 0,00015 arasında değişmektedir.

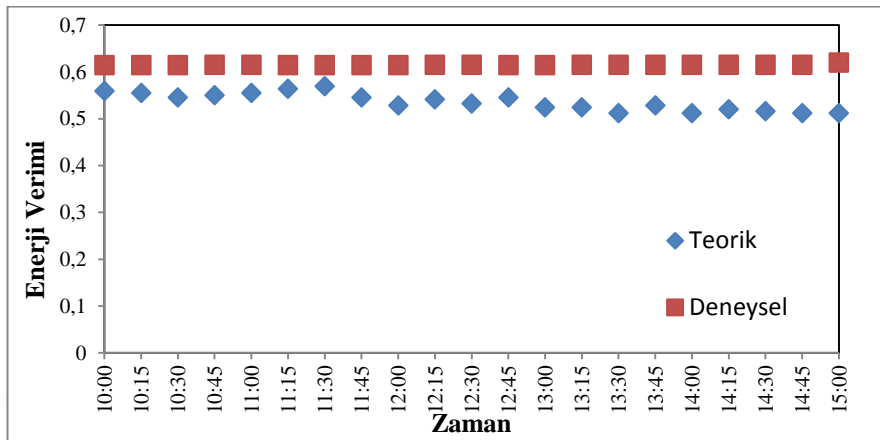
Çizelge 6.17. : Deney No 9, 100 mm, 1,7 m/s Ölçüm Sonuçları ($m_w=0,01344$ kg, $m_a=0,007998$ kg $T_w=20,9$ °C, 1 atm sabit alınmıştır.)

| Zaman | $T_{db,a}$ (°C) | W_a (%) | h_a (kJ/kg) | S_a (KJ/Kg-K) | $T_{wh,a}$ (°C) | $T_{db,b}$ (°C) | Wb (%) | H_b (kJ/kg) | S_b (KJ/Kg-K) | P_u (Kg/m³) | K_u (kJ/Kg.K) | μ_u (Kg/m.s) | Re | Pr | h_c (kJ/Kg.K) | Deneysel verim | Teorik verim | Verim farkı |
|-------|-----------------|-----------|---------------|-----------------|-----------------|-----------------|----------|---------------|-----------------|---------------|-----------------|------------------|--------|--------|-----------------|----------------|--------------|-------------|
| 10,00 | 24,7 | 48,8 | 49,1 | 3,9056 | 12,9 | 18,1 | 90,8 | 48,5 | 3,8924 | 1,18551 | 0,02549 | 0,0000185 | 294,92 | 0,7296 | 52,06 | 0,614 | 0,559 | 0,090 |
| 10,15 | 24,8 | 49 | 49,5 | 3,8989 | 12,9 | 18,2 | 91 | 48,8 | 3,8857 | 1,18512 | 0,02550 | 0,0000185 | 294,75 | 0,7296 | 52,05 | 0,614 | 0,555 | 0,096 |
| 10,30 | 24,9 | 50,2 | 50,4 | 3,9089 | 12,8 | 18,3 | 92,2 | 49,4 | 3,8957 | 1,18473 | 0,02550 | 0,0000185 | 294,57 | 0,7296 | 52,04 | 0,614 | 0,545 | 0,112 |
| 10,45 | 25 | 52 | 51,7 | 3,6086 | 13 | 18,4 | 94 | 50,6 | 3,5954 | 1,18433 | 0,02551 | 0,0000185 | 294,40 | 0,7295 | 52,03 | 0,615 | 0,550 | 0,106 |
| 11,00 | 25 | 52,7 | 52 | 3,9109 | 13,1 | 18,4 | 94,7 | 50,6 | 3,8977 | 1,18433 | 0,02551 | 0,0000185 | 294,40 | 0,7295 | 52,03 | 0,615 | 0,555 | 0,098 |
| 11,15 | 24,5 | 52,8 | 50,7 | 3,9103 | 12,8 | 17,9 | 94,8 | 49,3 | 3,8971 | 1,18630 | 0,02547 | 0,0000185 | 295,26 | 0,7297 | 52,08 | 0,614 | 0,564 | 0,081 |
| 11,30 | 24,1 | 53,7 | 50,1 | 3,9182 | 12,5 | 17,5 | 95,7 | 48,4 | 3,905 | 1,18787 | 0,02544 | 0,0000184 | 295,95 | 0,7298 | 52,12 | 0,614 | 0,569 | 0,073 |
| 11,45 | 24,7 | 53 | 51,4 | 3,9139 | 12,6 | 18,1 | 95 | 49,7 | 3,9007 | 1,18551 | 0,02549 | 0,0000185 | 294,92 | 0,7296 | 52,06 | 0,614 | 0,545 | 0,112 |
| 12,00 | 24,9 | 52 | 51,4 | 3,9169 | 12,4 | 18,3 | 94 | 50,2 | 3,9037 | 1,18473 | 0,02550 | 0,0000185 | 294,57 | 0,7296 | 52,04 | 0,614 | 0,528 | 0,140 |
| 12,15 | 25 | 52,6 | 52 | 3,9185 | 12,8 | 18,4 | 94,6 | 50,6 | 3,9053 | 1,18433 | 0,02551 | 0,0000185 | 294,40 | 0,7295 | 52,03 | 0,615 | 0,541 | 0,120 |
| 12,30 | 25,1 | 51,5 | 51,6 | 3,9248 | 12,7 | 18,5 | 93,5 | 50,7 | 3,9116 | 1,18394 | 0,02552 | 0,0000185 | 294,23 | 0,7295 | 52,02 | 0,615 | 0,532 | 0,135 |
| 12,45 | 24,8 | 50,8 | 50,5 | 3,9254 | 12,7 | 18,2 | 92,8 | 49,3 | 3,9122 | 1,18512 | 0,02550 | 0,0000185 | 294,75 | 0,7296 | 52,05 | 0,614 | 0,545 | 0,112 |
| 13,00 | 24,7 | 50,5 | 50,2 | 3,9257 | 12,1 | 18,1 | 92,5 | 49 | 3,9125 | 1,18551 | 0,02549 | 0,0000185 | 294,92 | 0,7296 | 52,06 | 0,614 | 0,524 | 0,147 |
| 13,15 | 25,1 | 49,2 | 50,6 | 3,9251 | 12,5 | 18,5 | 91,2 | 49,6 | 3,9119 | 1,18394 | 0,02552 | 0,0000185 | 294,23 | 0,7295 | 52,02 | 0,615 | 0,524 | 0,148 |
| 13,30 | 25,3 | 50,5 | 51,5 | 3,9212 | 12,4 | 18,7 | 92,5 | 50,9 | 3,908 | 1,18315 | 0,02553 | 0,0000185 | 293,89 | 0,7295 | 52,00 | 0,615 | 0,512 | 0,167 |
| 13,45 | 25,9 | 49,8 | 52,9 | 3,9202 | 13,4 | 19,3 | 91,8 | 52,5 | 3,907 | 1,18079 | 0,02558 | 0,0000185 | 292,86 | 0,7293 | 51,94 | 0,615 | 0,528 | 0,090 |
| 14,00 | 26,1 | 49,5 | 53,1 | 3,9202 | 13,2 | 19,5 | 91,5 | 53 | 3,907 | 1,18001 | 0,02559 | 0,0000185 | 292,51 | 0,7292 | 51,92 | 0,615 | 0,512 | 0,096 |
| 14,15 | 26,2 | 50,7 | 54,2 | 3,9215 | 13,5 | 19,6 | 92,7 | 53,8 | 3,9083 | 1,17961 | 0,02560 | 0,0000185 | 292,34 | 0,7292 | 51,91 | 0,615 | 0,520 | 0,112 |
| 14,30 | 26,3 | 48,7 | 53,3 | 3,9208 | 13,5 | 19,7 | 90,7 | 53,2 | 3,9076 | 1,17922 | 0,02561 | 0,0000185 | 292,17 | 0,7292 | 51,90 | 0,615 | 0,516 | 0,106 |
| 14,45 | 26,4 | 49 | 53,7 | 3,9198 | 13,5 | 19,8 | 91 | 53,8 | 3,9066 | 1,17883 | 0,02561 | 0,0000185 | 292,00 | 0,7292 | 51,89 | 0,615 | 0,512 | 0,098 |
| 15,00 | 26,5 | 48,8 | 53,8 | 3,9177 | 13,6 | 19,9 | 90,8 | 53,9 | 3,9045 | 1,16400 | 0,02588 | 0,0000186 | 288,26 | 0,7291 | 51,89 | 0,620 | 0,512 | 0,081 |

Çizelge 6.18. : Deney No 9, 100 mm, 1,7 m/s Ölçüm Sonuçları ($m_w=0,01344$ kg , $m_a=0,007998$ kg $T_w=20,9$ °C , 1 atm sabit alınmıştır.)

| Zaman | $T_{db,a}$ (°C) | W_a (%) | h_a (kj/kg) | S_a (Kj/Kg-K) | W_a | $T_{db,b}$ (°C) | W_b (%) | H_b (kj/kg) | S_b (Kj/Kg-K) | W_b | $\Psi_{water,a}$ | $\Psi_{termal,a}$ | $\Psi_{mekanik,a}$ | $\Psi_{kimyasal,a}$ | $\Psi_{toplama,a}$ | $\Psi_{termal,b}$ | $\Psi_{mekanik,b}$ | $\Psi_{kimyasal,b}$ | $\Psi_{toplama,b}$ | Ekserīj verim |
|-------|-----------------|-----------|------------------|--------------------|--------|-----------------|-----------|------------------|--------------------|--------|------------------|-------------------|--------------------|---------------------|--------------------|-------------------|--------------------|---------------------|--------------------|----------------|
| 10,00 | 24,7 | 48,8 | 49,1 | 3,9056 | 0,0095 | 18,1 | 90,8 | 48,5 | 3,8924 | 0,0119 | 11,058 | 0,000001 | 0,00051 | 0,00001 | 11,05879 | 0,00182 | 0,001459 | 0,014507 | 0,0178 | 0,00160 |
| 10,15 | 24,8 | 49 | 49,5 | 3,8989 | 0,0096 | 18,2 | 91 | 48,8 | 3,8857 | 0,012 | 11,058 | 0,000001 | 0,00051 | 0,00000 | 11,05878 | 0,00177 | 0,001459 | 0,014507 | 0,0177 | 0,00160 |
| 10,30 | 24,9 | 50,2 | 50,4 | 3,9089 | 0,0099 | 18,3 | 92,2 | 49,4 | 3,8957 | 0,0122 | 11,058 | 0,000000 | 0,00051 | 0,00000 | 11,05878 | 0,00172 | 0,001459 | 0,014507 | 0,0177 | 0,00159 |
| 10,45 | 25 | 52 | 51,7 | 3,6086 | 0,0104 | 18,4 | 94 | 50,6 | 3,5954 | 0,0126 | 11,058 | 0,000000 | 0,00051 | 0,00001 | 11,05879 | 0,00167 | 0,001459 | 0,014507 | 0,0176 | 0,00159 |
| 11,00 | 25 | 52,7 | 52 | 3,9109 | 0,0105 | 18,4 | 94,7 | 50,6 | 3,8977 | 0,0126 | 11,058 | 0,000000 | 0,00051 | 0,00002 | 11,05880 | 0,00167 | 0,001459 | 0,014507 | 0,0176 | 0,00159 |
| 11,15 | 24,5 | 52,8 | 50,7 | 3,9103 | 0,0102 | 17,9 | 94,8 | 49,3 | 3,8971 | 0,0123 | 11,058 | 0,000004 | 0,00051 | 0,00000 | 11,05879 | 0,00193 | 0,001459 | 0,014507 | 0,0179 | 0,00161 |
| 11,30 | 24,1 | 53,7 | 50,1 | 3,9182 | 0,0101 | 17,5 | 95,7 | 48,4 | 3,905 | 0,0121 | 11,058 | 0,000011 | 0,00051 | 0,00000 | 11,05879 | 0,00216 | 0,001459 | 0,014507 | 0,0181 | 0,00163 |
| 11,45 | 24,7 | 53 | 51,4 | 3,9139 | 0,0104 | 18,1 | 95 | 49,7 | 3,9007 | 0,0124 | 11,058 | 0,000001 | 0,00051 | 0,00001 | 11,05879 | 0,00182 | 0,001459 | 0,014507 | 0,0178 | 0,00160 |
| 12,00 | 24,9 | 52 | 51,4 | 3,9169 | 0,0103 | 18,3 | 94 | 50,2 | 3,9037 | 0,0125 | 11,058 | 0,000000 | 0,00051 | 0,00001 | 11,05879 | 0,00172 | 0,001459 | 0,014507 | 0,0177 | 0,00159 |
| 12,15 | 25 | 52,6 | 52 | 3,9185 | 0,0105 | 18,4 | 94,6 | 50,6 | 3,9053 | 0,0126 | 11,058 | 0,000000 | 0,00051 | 0,00002 | 11,05880 | 0,00167 | 0,001459 | 0,014507 | 0,0176 | 0,00159 |
| 12,30 | 25,1 | 51,5 | 51,6 | 3,9248 | 0,0103 | 18,5 | 93,5 | 50,7 | 3,9116 | 0,0126 | 11,058 | 0,000000 | 0,00051 | 0,00001 | 11,05879 | 0,00162 | 0,001459 | 0,014507 | 0,0176 | 0,00159 |
| 12,45 | 24,8 | 50,8 | 50,5 | 3,9254 | 0,01 | 18,2 | 92,8 | 49,3 | 3,9122 | 0,0122 | 11,058 | 0,000001 | 0,00051 | 0,00000 | 11,05878 | 0,00177 | 0,001459 | 0,014507 | 0,0177 | 0,00160 |
| 13,00 | 24,7 | 50,5 | 50,2 | 3,9257 | 0,0099 | 18,1 | 92,5 | 49 | 3,9125 | 0,0121 | 11,058 | 0,000001 | 0,00051 | 0,00000 | 11,05878 | 0,00182 | 0,001459 | 0,014507 | 0,0178 | 0,00160 |
| 13,15 | 25,1 | 49,2 | 50,6 | 3,9251 | 0,0099 | 18,5 | 91,2 | 49,6 | 3,9119 | 0,0122 | 11,058 | 0,000000 | 0,00051 | 0,00000 | 11,05878 | 0,00161 | 0,001459 | 0,014507 | 0,0176 | 0,00159 |
| 13,30 | 25,3 | 50,5 | 51,5 | 3,9212 | 0,0102 | 18,7 | 92,5 | 50,9 | 3,908 | 0,0126 | 11,058 | 0,000001 | 0,00051 | 0,00000 | 11,05878 | 0,00152 | 0,001459 | 0,014507 | 0,0175 | 0,00158 |
| 13,45 | 25,9 | 49,8 | 52,9 | 3,9202 | 0,0105 | 19,3 | 91,8 | 52,5 | 3,907 | 0,013 | 11,058 | 0,000011 | 0,00051 | 0,00002 | 11,05881 | 0,00124 | 0,001459 | 0,014507 | 0,0172 | 0,00155 |
| 14,00 | 26,1 | 49,5 | 53,1 | 3,9202 | 0,0105 | 19,5 | 91,5 | 53 | 3,907 | 0,0131 | 11,058 | 0,000017 | 0,00051 | 0,00002 | 11,05881 | 0,00116 | 0,001459 | 0,014507 | 0,0171 | 0,00154 |
| 14,15 | 26,2 | 50,7 | 54,2 | 3,9215 | 0,0109 | 19,6 | 92,7 | 53,8 | 3,9083 | 0,0134 | 11,058 | 0,000020 | 0,00051 | 0,00005 | 11,05885 | 0,00112 | 0,001459 | 0,014507 | 0,0171 | 0,00154 |
| 14,30 | 26,3 | 48,7 | 53,3 | 3,9208 | 0,0105 | 19,7 | 90,7 | 53,2 | 3,9076 | 0,0131 | 11,058 | 0,000024 | 0,00051 | 0,00002 | 11,05882 | 0,00107 | 0,001459 | 0,014507 | 0,0170 | 0,00154 |
| 14,45 | 26,4 | 49 | 53,7 | 3,9198 | 0,0106 | 19,8 | 91 | 53,8 | 3,9066 | 0,0133 | 11,058 | 0,000028 | 0,00051 | 0,00003 | 11,05883 | 0,00103 | 0,001459 | 0,014507 | 0,0170 | 0,00153 |
| 15,00 | 26,5 | 48,8 | 53,8 | 3,9177 | 0,0106 | 19,9 | 90,8 | 53,9 | 3,9045 | 0,0133 | 11,058 | 0,000032 | 0,00051 | 0,00003 | 11,05884 | 0,00099 | 0,001459 | 0,014507 | 0,0170 | 0,00153 |

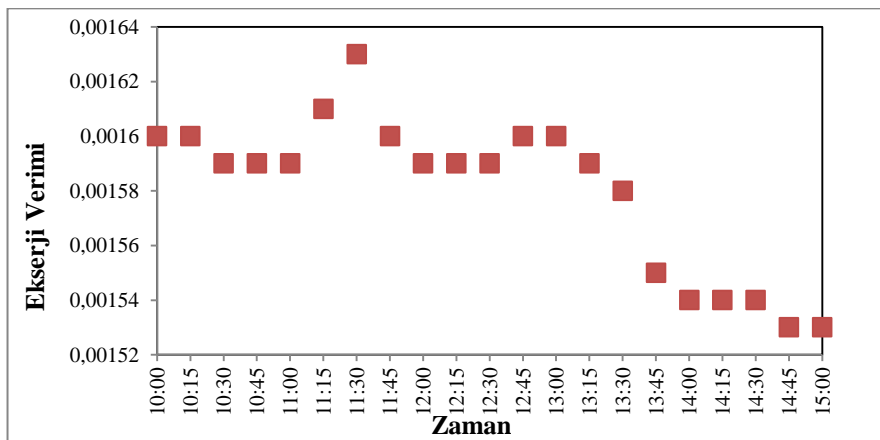
Şekil 6.17'de 100 mm ped kalınlığı ve 1,7 m/s hava giriş hızı için zamana bağlı olarak dokuzuncu deney için teorik ve deneysel enerji verimi değişimi verilmiştir.



Şekil 6.17: 100 mm ped kalınlığı ve 1,7 m/s hava giriş hızı için deneysel ve teorik enerji verimi (Deney No 9)

Şekil 6.17'te görüldüğü gibi, teorik enerji verimi 0,512 ile 0,569 arasında değişirken deneysel enerji verimi 0,614 ile 0,620 arasında çok az değişmektedir.

Şekil 6.18'de 100 mm ped kalınlığı ve 1,7 m/s hava giriş hızı için zamana bağlı olarak deneysel olarak hesaplanan ekserji verimi değişimi verilmiştir.



Şekil 6.18: 100 mm ped kalınlığı ve 1,7 m/s hava giriş hızı için deneysel ve teorik enerji verimi (Deney No 9)

Şekil 6.18'den görüldüğü gibi, ekserji verimi 0,000153 ile 0,00016 arasında değişmektedir.

90 mm ped kalınlığı ve 1,7 m/s hava giriş hızı için yapılan birinci deneyin (Deney No 10) ölçüm sonuçları, termodinamik özelliklerini ve teorik ve deneysel olarak hesaplanan enerji verim değerleri ve ekserji analiz değerleri sırasıyla Çizelge 6.19 ve Çizelge 6.20'de verilmiştir. Aynı şekilde benzer ped kalınlığı ve hava giriş hızı için tekrarlanan ikinci (Deney No 11) ve üçüncü (Deney No 12) için enerji ve ekserji analizi ve ölçüm sonuçları sırasıyla Çizelge 6.21, 6.22, 6.23 ve 6.24'de verilmiştir.

Her üç deneyde de $\dot{m}_w=0,01344$, $\dot{m}_a=0,007998$, $T_w=21,4$ °C, 1 atm sabit alınmıştır.

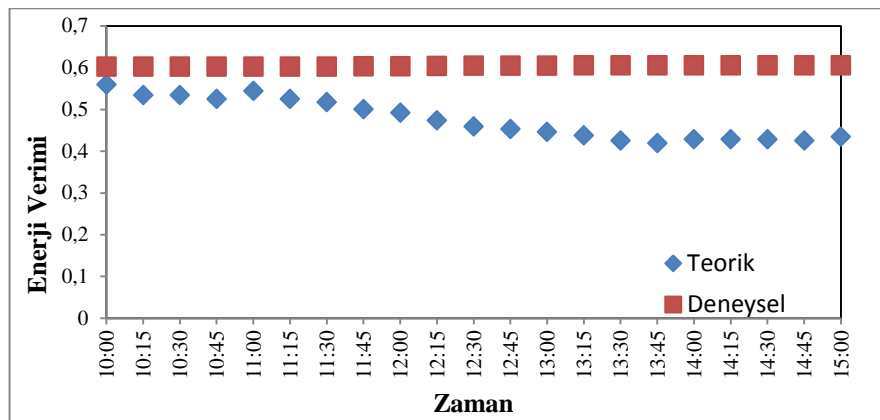
Çizelge 6.19. : Deney No 10, 90 mm, 1,7 m/s Ölçüm Sonuçları ($m_w=0,01344$ kg , $m_a=0,007998$ kg $T_w=21,4$ °C , 1 atm sabit alınmıştır.)

| Zaman | $T_{db,a}$ (°C) | W_a (%) | h_a (kJ/kg) | S_a (KJ/Kg·K) | $T_{wb,a}$ | $T_{db,b}$ (°C) | W_b (%) | H_b (kJ/kg) | S_b (KJ/Kg·K) | P_u (Kg/m³) | K_u (kJ/Kg·K) | μ_u (Kg/m.s) | Re | Pr | h_c (KJ/Kg.K) | Deneysel verim | Teorik verim | Verim farkı |
|-------|-----------------|-----------|---------------|-----------------|------------|-----------------|-----------|---------------|-----------------|---------------|-----------------|------------------|--------|--------|-----------------|----------------|--------------|-------------|
| 10,00 | 27,6 | 31 | 45,9 | 3,8868 | 16,5 | 21,4 | 74 | 50 | 3,8747 | 1,17411 | 0,02570 | 0,0000186 | 289,96 | 0,7288 | 52,43 | 0,60191 | 0,559 | 0,071 |
| 10,15 | 28 | 29,4 | 45,8 | 3,8828 | 16,4 | 21,8 | 72,4 | 51,4 | 3,8707 | 1,17411 | 0,02573 | 0,0000186 | 289,67 | 0,7287 | 52,44 | 0,60202 | 0,534 | 0,113 |
| 10,30 | 28,1 | 29,4 | 45,9 | 3,8838 | 16,5 | 21,9 | 72,4 | 51,8 | 3,8717 | 1,17214 | 0,02574 | 0,0000186 | 289,11 | 0,7287 | 52,38 | 0,60217 | 0,534 | 0,113 |
| 10,45 | 28,5 | 29,1 | 46,5 | 3,8851 | 16,7 | 22,3 | 72,1 | 53,2 | 3,873 | 1,17057 | 0,02577 | 0,0000186 | 288,43 | 0,7286 | 52,34 | 0,60237 | 0,525 | 0,128 |
| 11,00 | 27,9 | 28 | 44,7 | 3,881 | 16,5 | 21,7 | 71 | 51,1 | 3,8689 | 1,17293 | 0,02572 | 0,0000186 | 289,45 | 0,7287 | 52,40 | 0,60206 | 0,544 | 0,096 |
| 11,15 | 28,1 | 28,4 | 45,4 | 3,8838 | 16,3 | 21,9 | 71,4 | 51,8 | 3,8717 | 1,17214 | 0,02574 | 0,0000186 | 289,11 | 0,7287 | 52,38 | 0,60217 | 0,525 | 0,128 |
| 11,30 | 28,8 | 28,3 | 46,9 | 3,8851 | 16,8 | 22,6 | 71,3 | 54 | 3,873 | 1,16939 | 0,02579 | 0,0000187 | 287,92 | 0,7285 | 52,31 | 0,60253 | 0,517 | 0,142 |
| 11,45 | 29,3 | 27,1 | 47,1 | 3,8845 | 16,9 | 23,1 | 70,1 | 55,8 | 3,8724 | 1,16742 | 0,02583 | 0,0000187 | 287,08 | 0,7284 | 52,25 | 0,60279 | 0,500 | 0,171 |
| 12,00 | 30,4 | 27,9 | 49,8 | 3,8828 | 17,8 | 24,2 | 70,9 | 59,7 | 3,8707 | 1,16309 | 0,02591 | 0,0000187 | 285,23 | 0,7281 | 52,14 | 0,60335 | 0,492 | 0,185 |
| 12,15 | 31,5 | 27,2 | 51,6 | 3,8834 | 18,4 | 25,3 | 70,2 | 63,9 | 3,8713 | 1,15877 | 0,02599 | 0,0000188 | 283,40 | 0,7278 | 52,03 | 0,60392 | 0,473 | 0,217 |
| 12,30 | 32 | 26,4 | 52,2 | 3,8845 | 18,5 | 25,8 | 69,4 | 66 | 3,8724 | 1,15680 | 0,02603 | 0,0000188 | 282,56 | 0,7276 | 51,98 | 0,60418 | 0,459 | 0,240 |
| 12,45 | 32,4 | 26 | 52,8 | 3,8875 | 18,7 | 26,2 | 69 | 67,7 | 3,8754 | 1,15523 | 0,02606 | 0,0000188 | 281,90 | 0,7275 | 51,94 | 0,60438 | 0,453 | 0,250 |
| 13,00 | 33,4 | 26,1 | 55,1 | 3,8872 | 19,5 | 27,2 | 69,1 | 71,8 | 3,8751 | 1,15129 | 0,02613 | 0,0000189 | 280,25 | 0,7272 | 51,83 | 0,60490 | 0,446 | 0,263 |
| 13,15 | 33,6 | 25,2 | 54,8 | 3,8895 | 19,4 | 27,4 | 68,2 | 72,7 | 3,8774 | 1,15051 | 0,02615 | 0,0000189 | 279,92 | 0,7272 | 51,81 | 0,60500 | 0,437 | 0,278 |
| 13,30 | 33,7 | 23,9 | 53,9 | 3,8902 | 19,1 | 27,5 | 66,9 | 73,1 | 3,8781 | 1,15011 | 0,02615 | 0,0000189 | 279,75 | 0,7272 | 51,80 | 0,60505 | 0,425 | 0,298 |
| 13,45 | 34,5 | 24 | 55,7 | 3,8882 | 19,7 | 28,3 | 67 | 76,7 | 3,8761 | 1,14697 | 0,02621 | 0,0000189 | 278,44 | 0,7269 | 51,72 | 0,60547 | 0,419 | 0,071 |
| 14,00 | 33,4 | 24,2 | 53,3 | 3,8885 | 18,9 | 27,2 | 67,2 | 71,8 | 3,8764 | 1,15129 | 0,02613 | 0,0000189 | 280,25 | 0,7272 | 51,83 | 0,60515 | 0,428 | 0,113 |
| 14,15 | 33,8 | 24,4 | 54,5 | 3,8892 | 19,3 | 27,6 | 67,4 | 73,4 | 3,8771 | 1,14972 | 0,02616 | 0,0000189 | 279,59 | 0,7271 | 51,79 | 0,60511 | 0,428 | 0,113 |
| 14,30 | 33,9 | 24,6 | 54,9 | 3,8902 | 19,4 | 27,7 | 67,6 | 74,1 | 3,8781 | 1,14933 | 0,02617 | 0,0000189 | 279,42 | 0,7271 | 51,78 | 0,60516 | 0,428 | 0,128 |
| 14,45 | 34 | 24,6 | 55 | 3,8916 | 19,4 | 27,8 | 67,6 | 74,4 | 3,8795 | 1,14893 | 0,02618 | 0,0000189 | 279,26 | 0,7271 | 51,77 | 0,60518 | 0,425 | 0,096 |
| 15,00 | 33,8 | 24,8 | 55,1 | 3,8933 | 19,5 | 27,6 | 67,8 | 73,4 | 3,8812 | 1,14972 | 0,02616 | 0,0000189 | 279,59 | 0,7271 | 51,79 | 0,60511 | 0,434 | 0,128 |

Çizelge 6.20. : Deney No 10, 90 mm, 1,7 m/s Ölçüm Sonuçları ($m_w=0,01344 \text{ kg}$, $m_a=0,007998 \text{ kg}$ $T_w=21,4 \text{ }^{\circ}\text{C}$, 1 atm sabit alınmıştır.)

| Zaman | $T_{db,a} (\text{ }^{\circ}\text{C})$ | $W_a (\%)$ | h_a (kJ/kg) | S_a (Kj/Kg-K) | W_a | $T_{db,b} (\text{ }^{\circ}\text{C})$ | $W_b (\%)$ | H_b (kJ/kg) | S_b (Kj/Kg-K) | W_b | $\Psi_{water,a}$ | $\Psi_{termal,a}$ | $\Psi_{mekanik,a}$ | $\Psi_{kimyasal,a}$ | $\Psi_{toplum,a}$ | $\Psi_{termal,b}$ | $\Psi_{mekanik,b}$ | $\Psi_{kimyasal,b}$ | $\Psi_{toplum,b}$ | Ekerji verim |
|-------|---------------------------------------|------------|-----------------------------|-------------------------------|--------|---------------------------------------|------------|-----------------------------|-------------------------------|--------|------------------|-------------------|--------------------|---------------------|-------------------|-------------------|--------------------|---------------------|-------------------|--------------|
| 10,00 | 27,6 | 31 | 45,9 | 3,8868 | 0,0064 | 21,8 | 70,6 | 50 | 3,8747 | 0,0112 | 11,057 | 0,000093 | 0,00051 | 0,00076 | 11,05927 | 0,00048 | 0,001495 | 0,014506 | 0,0164 | 0,00148 |
| 10,15 | 28 | 29,4 | 45,8 | 3,8828 | 0,0066 | 21,8 | 71 | 51,4 | 3,8707 | 0,0116 | 11,057 | 0,000123 | 0,00051 | 0,00067 | 11,05921 | 0,00038 | 0,001495 | 0,014506 | 0,0163 | 0,00147 |
| 10,30 | 28,1 | 29,4 | 45,9 | 3,8838 | 0,0068 | 21,9 | 71,1 | 51,8 | 3,8717 | 0,0117 | 11,057 | 0,000132 | 0,00051 | 0,00059 | 11,05913 | 0,00035 | 0,001495 | 0,014506 | 0,0163 | 0,00147 |
| 10,45 | 28,5 | 29,1 | 46,5 | 3,8851 | 0,0067 | 22,3 | 71,5 | 53,2 | 3,873 | 0,0121 | 11,057 | 0,000168 | 0,00051 | 0,00063 | 11,05921 | 0,00027 | 0,001495 | 0,014506 | 0,0162 | 0,00146 |
| 11,00 | 27,9 | 28 | 44,7 | 3,881 | 0,0069 | 21,7 | 70,9 | 51,1 | 3,8689 | 0,0115 | 11,057 | 0,000115 | 0,00051 | 0,00055 | 11,05908 | 0,00040 | 0,001495 | 0,014506 | 0,0163 | 0,00147 |
| 11,15 | 28,1 | 28,4 | 45,4 | 3,8838 | 0,0063 | 21,9 | 71,1 | 51,8 | 3,8717 | 0,0117 | 11,057 | 0,000132 | 0,00051 | 0,00082 | 11,05936 | 0,00036 | 0,001495 | 0,014506 | 0,0163 | 0,00147 |
| 11,30 | 28,8 | 28,3 | 46,9 | 3,8851 | 0,0068 | 22,6 | 71,8 | 54 | 3,873 | 0,0123 | 11,057 | 0,000198 | 0,00051 | 0,00059 | 11,05921 | 0,00022 | 0,001495 | 0,014506 | 0,0162 | 0,00146 |
| 11,45 | 29,3 | 27,1 | 47,1 | 3,8845 | 0,0068 | 23,1 | 72,3 | 55,8 | 3,8724 | 0,0128 | 11,057 | 0,000254 | 0,00051 | 0,00059 | 11,05926 | 0,00013 | 0,001495 | 0,014506 | 0,0161 | 0,00145 |
| 12,00 | 30,4 | 27,9 | 49,8 | 3,8828 | 0,0068 | 24,2 | 73,4 | 59,7 | 3,8707 | 0,0139 | 11,057 | 0,000399 | 0,00051 | 0,00059 | 11,05941 | 0,00002 | 0,001495 | 0,014506 | 0,0160 | 0,00144 |
| 12,15 | 31,5 | 27,2 | 51,6 | 3,8834 | 0,0064 | 25,3 | 74,5 | 63,9 | 3,8713 | 0,0151 | 11,057 | 0,000576 | 0,00051 | 0,00077 | 11,05976 | 0,00000 | 0,001495 | 0,014506 | 0,0160 | 0,00144 |
| 12,30 | 32 | 26,4 | 52,2 | 3,8845 | 0,0067 | 25,8 | 75 | 66 | 3,8724 | 0,0157 | 11,057 | 0,000668 | 0,00051 | 0,00063 | 11,05972 | 0,00002 | 0,001495 | 0,014506 | 0,0160 | 0,00144 |
| 12,45 | 32,4 | 26 | 52,8 | 3,8875 | 0,007 | 26,2 | 75,4 | 67,7 | 3,8754 | 0,0162 | 11,057 | 0,000747 | 0,00051 | 0,00051 | 11,05968 | 0,00005 | 0,001495 | 0,014506 | 0,0160 | 0,00144 |
| 13,00 | 33,4 | 26,1 | 55,1 | 3,8872 | 0,0073 | 27,2 | 76,4 | 71,8 | 3,8751 | 0,0174 | 11,057 | 0,000962 | 0,00051 | 0,00041 | 11,05979 | 0,00018 | 0,001495 | 0,014506 | 0,0161 | 0,00146 |
| 13,15 | 33,6 | 25,2 | 54,8 | 3,8895 | 0,0065 | 27,4 | 76,6 | 72,7 | 3,8774 | 0,0177 | 11,057 | 0,001005 | 0,00051 | 0,00072 | 11,06014 | 0,00021 | 0,001495 | 0,014506 | 0,0162 | 0,00146 |
| 13,30 | 33,7 | 28,3 | 53,9 | 3,8902 | 0,0064 | 27,5 | 76,7 | 73,1 | 3,8781 | 0,0178 | 11,057 | 0,001027 | 0,00051 | 0,00077 | 11,06021 | 0,00023 | 0,001495 | 0,014506 | 0,0162 | 0,00146 |
| 13,45 | 34,5 | 27,1 | 55,7 | 3,8882 | 0,0067 | 28,3 | 77,5 | 76,7 | 3,8761 | 0,0189 | 11,057 | 0,001225 | 0,00051 | 0,00063 | 11,06027 | 0,00040 | 0,001495 | 0,014506 | 0,0164 | 0,00148 |
| 14,00 | 33,4 | 27,9 | 53,3 | 3,8885 | 0,0069 | 27,2 | 76,4 | 71,8 | 3,8764 | 0,0174 | 11,057 | 0,000960 | 0,00051 | 0,00055 | 11,05993 | 0,00018 | 0,001495 | 0,014506 | 0,0161 | 0,00146 |
| 14,15 | 33,8 | 27,2 | 54,5 | 3,8892 | 0,0069 | 27,6 | 76,8 | 73,4 | 3,8771 | 0,0179 | 11,057 | 0,001053 | 0,00051 | 0,00055 | 11,06002 | 0,00025 | 0,001495 | 0,014506 | 0,0162 | 0,00146 |
| 14,30 | 33,9 | 26,4 | 54,9 | 3,8902 | 0,0067 | 27,7 | 76,9 | 74,1 | 3,8781 | 0,0181 | 11,057 | 0,001076 | 0,00051 | 0,00063 | 11,06013 | 0,00027 | 0,001495 | 0,014506 | 0,0162 | 0,00146 |
| 14,45 | 34 | 26 | 55 | 3,8916 | 0,0073 | 27,8 | 77 | 74,4 | 3,8795 | 0,0182 | 11,057 | 0,001103 | 0,00051 | 0,00041 | 11,05993 | 0,00029 | 0,001495 | 0,014506 | 0,0163 | 0,00147 |
| 15,00 | 33,8 | 26,1 | 55,1 | 3,8933 | 0,0077 | 27,6 | 76,8 | 73,4 | 3,8812 | 0,0179 | 11,057 | 0,001057 | 0,00051 | 0,00029 | 11,05976 | 0,00025 | 0,001495 | 0,014506 | 0,0162 | 0,00146 |

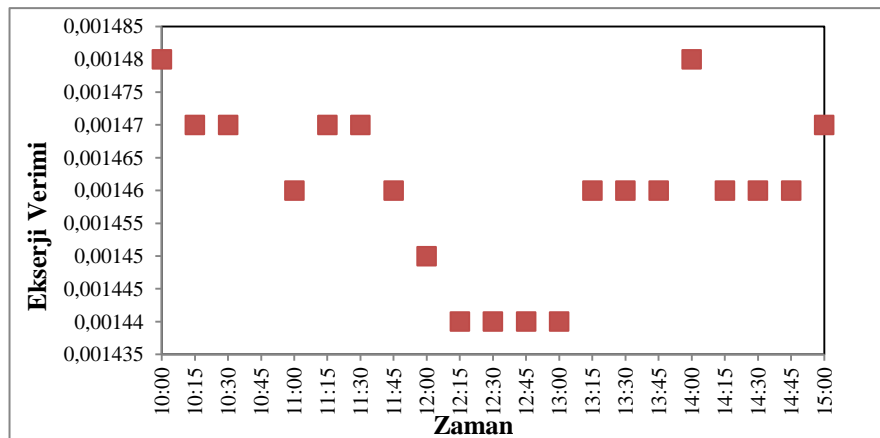
Şekil 6.19'da 90 mm ped kalınlığı ve 1,7 m/s hava giriş hızı için zamana bağlı olarak onuncu deney için teorik ve deneysel enerji verimi değişimi verilmiştir.



Şekil 6.19: 90 mm ped kalınlığı ve 1,7 m/s hava giriş hızı için deneysel ve teorik enerji verimi (Deney No 10)

Şekil 6.19'da görüldüğü gibi, teorik enerji verimi 0,419 ile 0,559 arasında değişirken deneysel enerji verimi 0,601 ile 0,605 arasında çok az değişmektedir.

Şekil 6.20'de 100 mm ped kalınlığı ve 1,7 m/s hava giriş hızı için zamana bağlı olarak deneysel olarak hesaplanan ekserji verimi değişimi verilmiştir.



Şekil 6.20. 90 mm ped kalınlığı ve 1,7 m/s hava giriş hızı için deneysel ve teorik enerji verimi (Deney No 10)

Şekil 6.20'den görüldüğü gibi, ekserji verimi ise 0,000144 ile 0,000148 arasında değişmektedir.

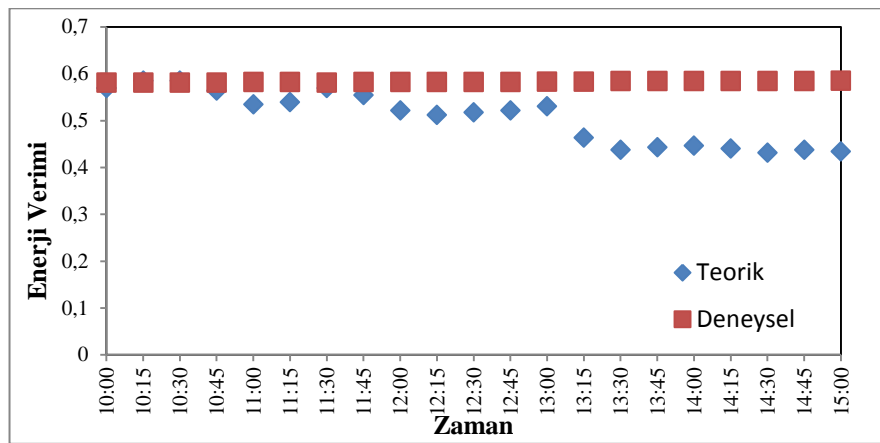
Çizelge 6.21. : Deney No 11, 90 mm, 1,7 m/s Ölçüm Sonuçları ($m_w=0,01344$ kg, $m_a=0,007998$ kg $T_w=21,6^{\circ}\text{C}$, 1 atm sabit alınmıştır.)

| Zaman | $T_{db,a}$ (°C) | W_a (%) | h_a (kJ/kg) | S_a (Kj/Kg·K) | $T_{w,b,a}$ (°C) | $T_{db,b}$ (°C) | Wb (%) | H_b (kJ/kg) | S_b (Kj/Kg·K) | P_u (Kg/m ³) | K_u (kJ/Kg·K) | μ_u (Kg/m.s) | Re | p_r | h_c (Kj/Kg·K) | Deneysel verim | Teorik verim | Verim farkı |
|-------|-----------------|-----------|---------------|-----------------|------------------|-----------------|----------|---------------|-----------------|----------------------------|-----------------|------------------|--------|--------|-----------------|----------------|--------------|-------------|
| 10,00 | 26,2 | 30,3 | 42,7 | 3,8845 | 15,3 | 20 | 73,3 | 47,3 | 3,8733 | 1,17961 | 0,02560 | 0,0000185 | 292,34 | 0,7292 | 52,57 | 0,581 | 0,569 | 0,021 |
| 10,15 | 26 | 31,4 | 43 | 3,8839 | 15,4 | 19,8 | 74,4 | 47,1 | 3,8727 | 1,17450 | 0,02558 | 0,0000185 | 291,22 | 0,7293 | 52,38 | 0,581 | 0,585 | -0,007 |
| 10,30 | 26,4 | 31,6 | 43,9 | 3,8852 | 15,8 | 20,2 | 74,6 | 48,2 | 3,874 | 1,17883 | 0,02561 | 0,0000185 | 292,00 | 0,7292 | 52,55 | 0,581 | 0,585 | -0,007 |
| 10,45 | 26,8 | 30,8 | 44 | 3,8865 | 15,8 | 20,6 | 73,8 | 49,2 | 3,8753 | 1,17725 | 0,02564 | 0,0000186 | 291,32 | 0,7290 | 52,51 | 0,581 | 0,564 | 0,029 |
| 11,00 | 28 | 29,3 | 45,8 | 3,8906 | 16,4 | 21,8 | 72,3 | 51,9 | 3,8794 | 1,17253 | 0,02573 | 0,0000186 | 289,28 | 0,7287 | 52,39 | 0,582 | 0,534 | 0,082 |
| 11,15 | 27,1 | 28,4 | 43,3 | 3,8876 | 15,6 | 20,9 | 71,4 | 49 | 3,8764 | 1,17607 | 0,02567 | 0,0000186 | 290,81 | 0,7290 | 52,48 | 0,582 | 0,539 | 0,074 |
| 11,30 | 26,8 | 31,2 | 44,3 | 3,8865 | 15,9 | 20,6 | 74,2 | 49,4 | 3,8753 | 1,17725 | 0,02564 | 0,0000186 | 291,32 | 0,7290 | 52,51 | 0,581 | 0,569 | 0,021 |
| 11,45 | 27,3 | 30,4 | 44,8 | 3,8882 | 16,1 | 21,1 | 73,4 | 50,4 | 3,877 | 1,17529 | 0,02568 | 0,0000186 | 290,47 | 0,7289 | 52,46 | 0,582 | 0,554 | 0,048 |
| 12,00 | 28,4 | 28,3 | 45,9 | 3,8919 | 16,5 | 22,2 | 71,3 | 52,6 | 3,8807 | 1,17096 | 0,02576 | 0,0000186 | 288,60 | 0,7286 | 52,35 | 0,582 | 0,521 | 0,105 |
| 12,15 | 28,1 | 27,2 | 44,6 | 3,8909 | 16 | 21,9 | 70,2 | 51,3 | 3,8797 | 1,17214 | 0,02574 | 0,0000186 | 289,11 | 0,7287 | 52,38 | 0,582 | 0,512 | 0,120 |
| 12,30 | 28,4 | 27,8 | 45,7 | 3,8919 | 16,4 | 22,2 | 70,8 | 52,6 | 3,8807 | 1,17096 | 0,02576 | 0,0000186 | 288,60 | 0,7286 | 52,35 | 0,582 | 0,517 | 0,112 |
| 12,45 | 28,6 | 28,6 | 46,6 | 3,8926 | 16,7 | 22,4 | 71,6 | 53,3 | 3,8814 | 1,17017 | 0,02578 | 0,0000187 | 288,26 | 0,7285 | 52,33 | 0,582 | 0,521 | 0,105 |
| 13,00 | 28,8 | 29,7 | 47,6 | 3,8932 | 17,1 | 22,6 | 72,7 | 54,5 | 3,882 | 1,16939 | 0,02579 | 0,0000187 | 287,92 | 0,7285 | 52,31 | 0,583 | 0,530 | 0,091 |
| 13,15 | 30,3 | 24,2 | 47,1 | 3,8982 | 16,9 | 24,1 | 67,2 | 56,3 | 3,887 | 1,16349 | 0,02590 | 0,0000187 | 285,40 | 0,7281 | 52,15 | 0,583 | 0,463 | 0,206 |
| 13,30 | 31,4 | 22,3 | 48 | 3,9019 | 17,2 | 25,2 | 65,3 | 58,7 | 3,8907 | 1,15916 | 0,02598 | 0,0000188 | 283,56 | 0,7278 | 52,04 | 0,584 | 0,437 | 0,252 |
| 13,45 | 31,5 | 23,4 | 48,8 | 3,9022 | 17,5 | 25,3 | 66,4 | 59,6 | 3,891 | 1,15877 | 0,02599 | 0,0000188 | 283,40 | 0,7278 | 52,03 | 0,584 | 0,443 | 0,021 |
| 14,00 | 31,6 | 23,8 | 49,4 | 3,9025 | 17,7 | 25,4 | 66,8 | 60,2 | 3,8913 | 1,15837 | 0,02600 | 0,0000188 | 283,23 | 0,7277 | 52,02 | 0,584 | 0,446 | -0,007 |
| 14,15 | 31,8 | 23,6 | 49,7 | 3,9032 | 17,7 | 25,6 | 66,6 | 60,7 | 3,892 | 1,15759 | 0,02601 | 0,0000188 | 282,90 | 0,7277 | 52,00 | 0,584 | 0,440 | -0,007 |
| 14,30 | 32,1 | 22,6 | 49,4 | 3,9042 | 17,7 | 25,9 | 65,6 | 61,2 | 3,893 | 1,15641 | 0,02604 | 0,0000188 | 282,40 | 0,7276 | 51,97 | 0,584 | 0,431 | 0,029 |
| 14,45 | 32,5 | 24,1 | 51,4 | 3,9055 | 18,3 | 26,3 | 67,1 | 63,2 | 3,8943 | 1,15483 | 0,02607 | 0,0000188 | 281,73 | 0,7275 | 51,93 | 0,584 | 0,437 | 0,082 |
| 15,00 | 33,1 | 24,5 | 53 | 3,9075 | 18,8 | 26,9 | 67,5 | 65,3 | 3,8963 | 1,15247 | 0,02611 | 0,0000189 | 280,74 | 0,7273 | 51,86 | 0,585 | 0,434 | 0,074 |

Çizelge 6.22. : Deney No 11, 90 mm, 1,7 m/s Ölçüm Sonuçları ($m_w=0,01344$ kg , $m_a=0,007998$ kg $T_w=21,6$ °C ,1 atm sabit alınmıştır.)

| Zaman | $T_{db,a}$ (°C) | W_a (%) | h_a (kj/kg) | S_a ($Kj/Kg\cdot K$) | W_a | $T_{db,b}$ (°C) | W_b (%) | H_b (kj/kg) | S_b ($Kj/Kg\cdot K$) | W_b | $\Psi_{water,a}$ | $\Psi_{termal,a}$ | $\Psi_{mekanik,a}$ | $\Psi_{kimyasal,a}$ | $\Psi_{toplama,a}$ | $\Psi_{termal,b}$ | $\Psi_{mekanik,b}$ | $\Psi_{kimyasal,b}$ | $\Psi_{toplama,b}$ | Ekserji verim |
|-------|-----------------|-----------|---------------|--------------------------|--------|-----------------|-----------|---------------|--------------------------|--------|------------------|-------------------|--------------------|---------------------|--------------------|-------------------|--------------------|---------------------|--------------------|---------------|
| 10,00 | 26,2 | 30,3 | 42,7 | 3,8845 | 0,0064 | 20 | 73,3 | 47,3 | 3,8733 | 0,0107 | 11,058 | 0,00002 | 0,00051 | 0,00077 | 11,05906 | 0,00094 | 0,001459 | 0,014507 | 0,0169 | 0,00152 |
| 10,15 | 26 | 31,4 | 43 | 3,8839 | 0,0066 | 19,8 | 74,4 | 47,1 | 3,8727 | 0,0107 | 11,058 | 0,00001 | 0,00051 | 0,00068 | 11,05897 | 0,00102 | 0,001459 | 0,014507 | 0,0170 | 0,00153 |
| 10,30 | 26,4 | 31,6 | 43,9 | 3,8852 | 0,0068 | 20,2 | 74,6 | 48,2 | 3,874 | 0,011 | 11,058 | 0,00003 | 0,00051 | 0,00059 | 11,05890 | 0,00087 | 0,001459 | 0,014507 | 0,0168 | 0,00152 |
| 10,45 | 26,8 | 30,8 | 44 | 3,8865 | 0,0067 | 20,6 | 73,8 | 49,2 | 3,8753 | 0,0112 | 11,058 | 0,00004 | 0,00051 | 0,00063 | 11,05895 | 0,00073 | 0,001459 | 0,014507 | 0,0167 | 0,00151 |
| 11,00 | 28 | 29,3 | 45,8 | 3,8906 | 0,0069 | 21,8 | 72,3 | 51,9 | 3,8794 | 0,0118 | 11,058 | 0,00012 | 0,00051 | 0,00055 | 11,05895 | 0,00038 | 0,001459 | 0,014507 | 0,0163 | 0,00147 |
| 11,15 | 27,1 | 28,4 | 43,3 | 3,8876 | 0,0063 | 20,9 | 71,4 | 49 | 3,8764 | 0,011 | 11,058 | 0,00006 | 0,00051 | 0,00082 | 11,05915 | 0,00063 | 0,001459 | 0,014507 | 0,0166 | 0,00150 |
| 11,30 | 26,8 | 31,2 | 44,3 | 3,8865 | 0,0068 | 20,6 | 74,2 | 49,4 | 3,8753 | 0,0113 | 11,058 | 0,00004 | 0,00051 | 0,00059 | 11,05891 | 0,00073 | 0,001459 | 0,014507 | 0,0167 | 0,00151 |
| 11,45 | 27,3 | 30,4 | 44,8 | 3,8882 | 0,0068 | 21,1 | 73,4 | 50,4 | 3,877 | 0,0115 | 11,058 | 0,00007 | 0,00051 | 0,00059 | 11,05894 | 0,00057 | 0,001459 | 0,014507 | 0,0165 | 0,00149 |
| 12,00 | 28,4 | 28,3 | 45,9 | 3,8919 | 0,0068 | 22,2 | 71,3 | 52,6 | 3,8807 | 0,0119 | 11,058 | 0,00016 | 0,00051 | 0,00059 | 11,05903 | 0,00029 | 0,001459 | 0,014507 | 0,0163 | 0,00147 |
| 12,15 | 28,1 | 27,2 | 44,6 | 3,8909 | 0,0064 | 21,9 | 70,2 | 51,3 | 3,8797 | 0,0115 | 11,058 | 0,00013 | 0,00051 | 0,00077 | 11,05918 | 0,00036 | 0,001459 | 0,014507 | 0,0163 | 0,00147 |
| 12,30 | 28,4 | 27,8 | 45,7 | 3,8919 | 0,0067 | 22,2 | 70,8 | 52,6 | 3,8807 | 0,0119 | 11,058 | 0,00016 | 0,00051 | 0,00063 | 11,05907 | 0,00029 | 0,001459 | 0,014507 | 0,0163 | 0,00147 |
| 12,45 | 28,6 | 28,6 | 46,6 | 3,8926 | 0,007 | 22,4 | 71,6 | 53,3 | 3,8814 | 0,0121 | 11,058 | 0,00018 | 0,00051 | 0,00051 | 11,05897 | 0,00025 | 0,001459 | 0,014507 | 0,0162 | 0,00146 |
| 13,00 | 28,8 | 29,7 | 47,6 | 3,8932 | 0,0073 | 22,6 | 72,7 | 54,5 | 3,882 | 0,0125 | 11,058 | 0,00020 | 0,00051 | 0,00041 | 11,05888 | 0,00022 | 0,001459 | 0,014507 | 0,0162 | 0,00146 |
| 13,15 | 30,3 | 24,2 | 47,1 | 3,8982 | 0,0065 | 24,1 | 67,2 | 56,3 | 3,887 | 0,0126 | 11,058 | 0,00038 | 0,00051 | 0,00072 | 11,05938 | 0,00003 | 0,001459 | 0,014507 | 0,0160 | 0,00144 |
| 13,30 | 31,4 | 22,3 | 48 | 3,9019 | 0,0064 | 25,2 | 65,3 | 58,7 | 3,8907 | 0,0131 | 11,058 | 0,00056 | 0,00051 | 0,00077 | 11,05960 | 0,00000 | 0,001459 | 0,014507 | 0,0160 | 0,00144 |
| 13,45 | 31,5 | 23,4 | 48,8 | 3,9022 | 0,0067 | 25,3 | 66,4 | 59,6 | 3,891 | 0,0134 | 11,058 | 0,00058 | 0,00051 | 0,00063 | 11,05949 | 0,00000 | 0,001459 | 0,014507 | 0,0160 | 0,00144 |
| 14,00 | 31,6 | 23,8 | 49,4 | 3,9025 | 0,0069 | 25,4 | 66,8 | 60,2 | 3,8913 | 0,0136 | 11,058 | 0,00060 | 0,00051 | 0,00055 | 11,05942 | 0,00001 | 0,001459 | 0,014507 | 0,0160 | 0,00144 |
| 14,15 | 31,8 | 23,6 | 49,7 | 3,9032 | 0,0069 | 25,6 | 66,6 | 60,7 | 3,892 | 0,0137 | 11,058 | 0,00063 | 0,00051 | 0,00055 | 11,05946 | 0,00001 | 0,001459 | 0,014507 | 0,0160 | 0,00144 |
| 14,30 | 32,1 | 22,6 | 49,4 | 3,9042 | 0,0067 | 25,9 | 65,6 | 61,2 | 3,893 | 0,0138 | 11,058 | 0,00069 | 0,00051 | 0,00063 | 11,05960 | 0,00003 | 0,001459 | 0,014507 | 0,0160 | 0,00144 |
| 14,45 | 32,5 | 24,1 | 51,4 | 3,9055 | 0,0073 | 26,3 | 67,1 | 63,2 | 3,8943 | 0,0144 | 11,058 | 0,00077 | 0,00051 | 0,00041 | 11,05945 | 0,00006 | 0,001459 | 0,014507 | 0,0160 | 0,00145 |
| 15,00 | 33,1 | 24,5 | 53 | 3,9075 | 0,0077 | 26,9 | 67,5 | 65,3 | 3,8963 | 0,015 | 11,058 | 0,00090 | 0,00051 | 0,00029 | 11,05946 | 0,00013 | 0,001459 | 0,014507 | 0,0161 | 0,00145 |

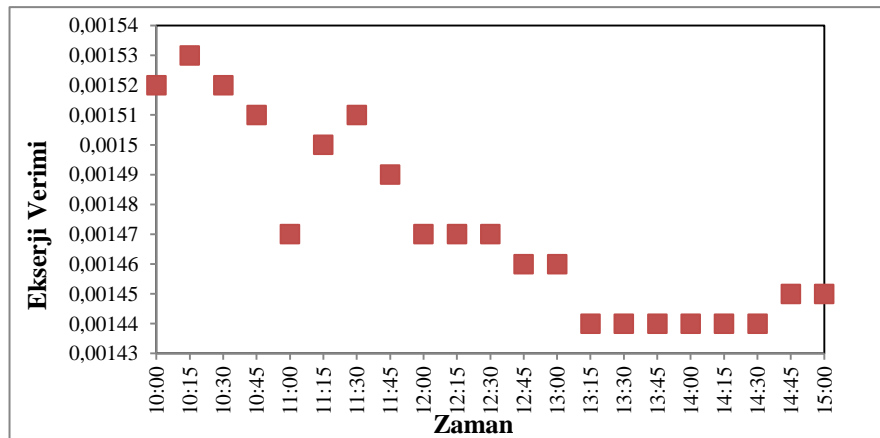
Şekil 6.21'de 90 mm ped kalınlığı ve 1,7 m/s hava giriş hızı için zamana bağlı olarak onbirinci deney için teorik ve deneysel enerji verimi değişimi verilmiştir.



Şekil 6.21: 90 mm ped kalınlığı ve 1,7 m/s hava giriş hızı için deneysel ve teorik enerji verimi (Deney No 11)

Şekil 6.21'de görüldüğü gibi, teorik enerji verimi 0,43 ile 0,56 arasında değişirken deneysel enerji verimi 0,581 ile 0,585 arasında çok az değişmektedir.

Şekil 6.22'de 90 mm ped kalınlığı ve 1,7 m/s hava giriş hızı için zamana bağlı olarak deneysel olarak hesaplanan ekserji verimi değişimi verilmiştir.



Şekil 6.22. 90 mm ped kalınlığı ve 1,7 m/s hava giriş hızı için deneysel ve teorik enerji verimi (Deney No 11)

Şekil 6.22'den görüldüğü gibi, ekserji verimi ise 0,000144 ile 0,000153 arasında değişmektedir.

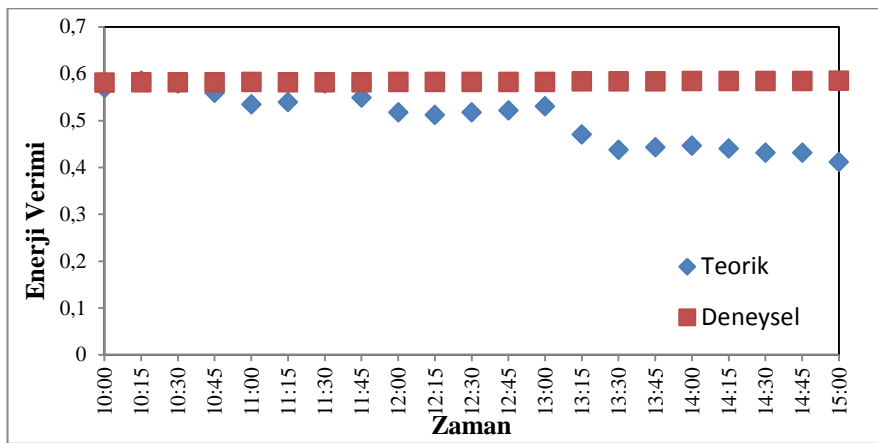
Çizelge 6.23. : Deney No 12, 90 mm, 1,7 m/s Ölçüm Sonuçları ($m_w=0,01344$ kg, $m_a=0,007998$ kg $T_w=21,6$ °C ,1 atm sabit alınmıştır.)

| Zaman | $T_{dh,a}$ (°C) | W_a (%) | h_a (kj/kg) | S_a (Kj/Kg·K) | $T_{wb,a}$ (°C) | $T_{dh,b}$ (°C) | W_b (%) | H_b (kj/kg) | S_b (Kj/Kg·K) | P_u (Kg/m³) | K_u (kJ/Kg·K) | μ_u (Kg/m.s) | Re | p_r | h_c (Kj/Kg·K) | Deneysel verim | Teorik verim | Verim faktı |
|-------|-----------------|-----------|------------------|--------------------|-----------------|--------------------|-----------|------------------|--------------------|---------------|-----------------|------------------|------------|----------|-----------------|-------------------|--------------|-------------|
| 10,00 | 26 | 27,6 | 48,4 | 3,8892 | 15,1 | 19,8 | 70,6 | 47,2 | 3,878 | 1,1804 | 0,025584 | 0,00001853 | 292,685345 | 0,72926 | 52,58862 | 0,58108 | 0,569 | 0,021 |
| 10,15 | 25,8 | 28,1 | 49,2 | 2,8909 | 15,2 | 19,6 | 71,1 | 47 | 2,8797 | 1,1745 | 0,02556 | 1,85207E-05 | 291,369174 | 0,729314 | 52,37034 | 0,58139 | 0,585 | -0,006 |
| 10,30 | 26,2 | 28,5 | 49,6 | 3,8922 | 15,5 | 20 | 71,5 | 48,1 | 3,881 | 1,179613 | 0,025598 | 1,85393E-05 | 292,343038 | 0,729205 | 52,56849 | 0,58118 | 0,579 | 0,004 |
| 10,45 | 26,6 | 29 | 49,9 | 3,8939 | 15,5 | 20,4 | 72 | 49,1 | 3,8827 | 1,17804 | 0,025628 | 0,000018558 | 291,659457 | 0,729096 | 52,52818 | 0,58139 | 0,559 | 0,039 |
| 11,00 | 27,8 | 29,3 | 49,9 | 3,8949 | 16,2 | 21,6 | 72,3 | 51,8 | 3,8837 | 1,17332 | 0,025717 | 0,000018614 | 289,616940 | 0,728768 | 52,40681 | 0,58201 | 0,534 | 0,082 |
| 11,15 | 26,9 | 29,4 | 49 | 3,8952 | 15,4 | 20,7 | 72,4 | 48,9 | 3,884 | 1,17686 | 0,025650 | 0,000018572 | 291,147673 | 0,729014 | 52,49790 | 0,58155 | 0,539 | 0,073 |
| 11,30 | 26,4 | 29,7 | 49,6 | 3,8963 | 15,7 | 20,2 | 72,7 | 49,3 | 3,8851 | 1,178826 | 0,025613 | 1,85487E-05 | 292,001076 | 0,729150 | 52,54834 | 0,58129 | 0,579 | 0,004 |
| 11,45 | 27,2 | 30,6 | 52,3 | 3,8992 | 15,9 | 21 | 73,6 | 50,3 | 3,888 | 1,17568 | 0,025672 | 0,000018586 | 290,636660 | 0,728932 | 52,46757 | 0,58170 | 0,549 | 0,056 |
| 12,00 | 28,2 | 31,2 | 53,6 | 3,9012 | 16,2 | 22 | 74,2 | 52,5 | 3,89 | 1,171746 | 0,025746 | 1,86327E-05 | 288,938829 | 0,728658 | 52,36621 | 0,58222 | 0,517 | 0,112 |
| 12,15 | 27,9 | 32 | 54,7 | 3,9038 | 15,8 | 21,7 | 75 | 51,2 | 3,8926 | 1,172926 | 0,025724 | 1,86187E-05 | 289,447285 | 0,728740 | 52,39666 | 0,58206 | 0,512 | 0,120 |
| 12,30 | 28,2 | 32,5 | 55,7 | 3,9055 | 16,2 | 22 | 75,5 | 52,5 | 3,8943 | 1,171746 | 0,025468 | 1,86327E-05 | 288,938829 | 0,728658 | 52,36621 | 0,58222 | 0,517 | 0,112 |
| 12,45 | 28,4 | 32,6 | 56,1 | 3,9058 | 16,5 | 22,2 | 75,6 | 53,2 | 3,8946 | 1,17096 | 0,025761 | 0,000018642 | 288,600283 | 0,728604 | 52,34588 | 0,58232 | 0,521 | 0,105 |
| 13,00 | 28,6 | 32,4 | 55,9 | 3,9052 | 16,9 | 22,4 | 75,4 | 54,4 | 3,894 | 1,170173 | 0,025776 | 1,86513E-05 | 288,262076 | 0,72854 | 52,32553 | 0,58242 | 0,530 | 0,090 |
| 13,15 | 30,1 | 32,5 | 55,7 | 3,9055 | 16,9 | 23,9 | 75,5 | 56,2 | 3,8943 | 1,164273 | 0,025887 | 1,87213E-05 | 285,736270 | 0,728139 | 52,17238 | 0,58320 | 0,470 | 0,194 |
| 13,30 | 31,2 | 32,6 | 55,6 | 3,9058 | 17 | 25 | 75,6 | 58,6 | 3,8946 | 1,159946 | 0,025968 | 1,87727E-05 | 283,895984 | 0,727838 | 52,05943 | 0,58377 | 0,437 | 0,251 |
| 13,45 | 31,3 | 32,8 | 56,8 | 3,9065 | 17,3 | 25,1 | 75,8 | 59,5 | 3,8953 | 1,159553 | 0,025976 | 1,87773E-05 | 283,729184 | 0,727811 | 52,04913 | 0,58382 | 0,443 | 0,021 |
| 14,00 | 31,4 | 33 | 57 | 3,9071 | 17,5 | 25,2 | 76 | 60,1 | 3,8959 | 1,15916 | 0,025983 | 0,000018782 | 283,562467 | 0,727784 | 52,03884 | 0,58387 | 0,446 | -0,006 |
| 14,15 | 31,6 | 32,3 | 55,3 | 3,9048 | 17,5 | 25,4 | 75,3 | 60,6 | 3,8936 | 1,158373 | 0,025998 | 1,87913E-05 | 283,229282 | 0,727729 | 52,01822 | 0,58397 | 0,440 | 0,004 |
| 14,30 | 31,9 | 31,7 | 53,9 | 3,9029 | 17,5 | 25,7 | 74,7 | 61,1 | 3,8917 | 1,157193 | 0,026020 | 1,88053E-05 | 282,730124 | 0,727647 | 51,98727 | 0,58413 | 0,431 | 0,039 |
| 14,45 | 32,3 | 32,1 | 55,1 | 3,9042 | 17,9 | 26,1 | 75,1 | 63,1 | 3,893 | 1,15562 | 0,026050 | 0,000018824 | 282,065735 | 0,727538 | 51,94594 | 0,58433 | 0,431 | 0,082 |
| 15,00 | 32,9 | 32,2 | 56,5 | 3,9045 | 17,8 | 26,7 | 75,2 | 65,2 | 3,8933 | 1,15326 | 0,026094 | 0,000018852 | 281,071619 | 0,727374 | 51,88382 | 0,58464 | 0,411 | 0,073 |

Çizelge 6.24. : Deney No 12 , 90 mm , 1,7 m/s Ölçüm Sonuçları ($m_w=0,01344$ kg , $m_a=0,007998$ kg $T_w=21,6$ °C ,1 atm sabit alındıktır.)

| Zaman | $T_{db,a}$ (°C) | W_a (%) | h_a (kj/kg) | S_a (Kj/Kg-K) | W_a | $T_{db,b}$ (°C) | W_b (%) | H_b (kj/kg) | S_b (Kj/Kg-K) | W_b | $\Psi_{water,a}$ | $\Psi_{termal,a}$ | $\Psi_{mekanik,a}$ | $\Psi_{kinyasal,a}$ | $\Psi_{toplam,a}$ | $\Psi_{termal,b}$ | $\Psi_{mekanik,b}$ | $\Psi_{kinyasal,b}$ | $\Psi_{toplam,b}$ | Eksiyü verim |
|-------|-----------------|-----------|------------------|--------------------|--------|-----------------|-----------|------------------|--------------------|--------|------------------|-------------------|--------------------|---------------------|-------------------|-------------------|--------------------|---------------------|-------------------|--------------|
| 10,00 | 26 | 27,6 | 48,4 | 3,8892 | 0,0064 | 19,8 | 70,6 | 47,2 | 3,878 | 0,0107 | 11,058 | 0,00001 | 0,00051 | 0,00077 | 11,05906 | 0,00102 | 0,001459 | 0,014507 | 0,0170 | 0,00153 |
| 10,15 | 25,8 | 28,1 | 49,2 | 2,8909 | 0,0066 | 19,6 | 71,1 | 47 | 2,8797 | 0,0107 | 11,058 | 0,00001 | 0,00051 | 0,00068 | 11,05896 | 0,00110 | 0,001459 | 0,014507 | 0,0171 | 0,00154 |
| 10,30 | 26,2 | 28,5 | 49,6 | 3,8922 | 0,0068 | 20 | 71,5 | 48,1 | 3,881 | 0,011 | 11,058 | 0,00002 | 0,00051 | 0,00059 | 11,05889 | 0,00094 | 0,001459 | 0,014507 | 0,0169 | 0,00152 |
| 10,45 | 26,6 | 29 | 49,9 | 3,8939 | 0,0067 | 20,4 | 72 | 49,1 | 3,8827 | 0,0112 | 11,058 | 0,00004 | 0,00051 | 0,00063 | 11,05895 | 0,00079 | 0,001459 | 0,014507 | 0,0168 | 0,00151 |
| 11,00 | 27,8 | 29,3 | 49,9 | 3,8949 | 0,0069 | 21,6 | 72,3 | 51,8 | 3,8837 | 0,0118 | 11,058 | 0,00011 | 0,00051 | 0,00055 | 11,05894 | 0,00043 | 0,001459 | 0,014507 | 0,0164 | 0,00148 |
| 11,15 | 26,9 | 29,4 | 49 | 3,8952 | 0,0063 | 20,7 | 72,4 | 48,9 | 3,884 | 0,011 | 11,058 | 0,00005 | 0,00051 | 0,00082 | 11,05914 | 0,00069 | 0,001459 | 0,014507 | 0,0167 | 0,00150 |
| 11,30 | 26,4 | 29,7 | 49,6 | 3,8963 | 0,0068 | 20,2 | 72,7 | 49,3 | 3,8851 | 0,0113 | 11,058 | 0,00003 | 0,00051 | 0,00059 | 11,05890 | 0,00087 | 0,001459 | 0,014507 | 0,0168 | 0,00152 |
| 11,45 | 27,2 | 30,6 | 52,3 | 3,8992 | 0,0068 | 21 | 73,6 | 50,3 | 3,888 | 0,0115 | 11,058 | 0,00007 | 0,00051 | 0,00059 | 11,05894 | 0,00060 | 0,001459 | 0,014507 | 0,0166 | 0,00149 |
| 12,00 | 28,2 | 31,2 | 53,6 | 3,9012 | 0,0068 | 22 | 74,2 | 52,5 | 3,89 | 0,0119 | 11,058 | 0,00014 | 0,00051 | 0,00059 | 11,05901 | 0,00034 | 0,001459 | 0,014507 | 0,0163 | 0,00147 |
| 12,15 | 27,9 | 32 | 54,7 | 3,9038 | 0,0064 | 21,7 | 75 | 51,2 | 3,8926 | 0,0115 | 11,058 | 0,00012 | 0,00051 | 0,00077 | 11,05916 | 0,00041 | 0,001459 | 0,014507 | 0,0164 | 0,00148 |
| 12,30 | 28,2 | 32,5 | 55,7 | 3,9055 | 0,0067 | 22 | 75,5 | 52,5 | 3,8943 | 0,0119 | 11,058 | 0,00014 | 0,00051 | 0,00063 | 11,05905 | 0,00034 | 0,001459 | 0,014507 | 0,0163 | 0,00147 |
| 12,45 | 28,4 | 32,6 | 56,1 | 3,9058 | 0,007 | 22,2 | 75,6 | 53,2 | 3,8946 | 0,0121 | 11,058 | 0,00016 | 0,00051 | 0,00051 | 11,05895 | 0,00029 | 0,001459 | 0,014507 | 0,0163 | 0,00147 |
| 13,00 | 28,6 | 32,4 | 55,9 | 3,9052 | 0,0073 | 22,4 | 75,4 | 54,4 | 3,894 | 0,0125 | 11,058 | 0,00018 | 0,00051 | 0,00041 | 11,05886 | 0,00025 | 0,001459 | 0,014507 | 0,0162 | 0,00146 |
| 13,15 | 30,1 | 32,5 | 55,7 | 3,9055 | 0,0065 | 23,9 | 75,5 | 56,2 | 3,8943 | 0,0126 | 11,058 | 0,00036 | 0,00051 | 0,00072 | 11,05935 | 0,00005 | 0,001459 | 0,014507 | 0,0160 | 0,00144 |
| 13,30 | 31,2 | 32,6 | 55,6 | 3,9058 | 0,0064 | 25 | 75,6 | 58,6 | 3,8946 | 0,0131 | 11,058 | 0,00052 | 0,00051 | 0,00077 | 11,05957 | 0,00000 | 0,001459 | 0,014507 | 0,0160 | 0,00144 |
| 13,45 | 31,3 | 32,8 | 56,8 | 3,9065 | 0,0067 | 25,1 | 75,8 | 59,5 | 3,8953 | 0,0134 | 11,058 | 0,00054 | 0,00051 | 0,00063 | 11,05945 | 0,00000 | 0,001459 | 0,014507 | 0,0160 | 0,00144 |
| 14,00 | 31,4 | 33 | 57 | 3,9071 | 0,0069 | 25,2 | 76 | 60,1 | 3,8959 | 0,0136 | 11,058 | 0,00056 | 0,00051 | 0,00055 | 11,05939 | 0,00000 | 0,001459 | 0,014507 | 0,0160 | 0,00144 |
| 14,15 | 31,6 | 32,3 | 55,3 | 3,9048 | 0,0069 | 25,4 | 75,3 | 60,6 | 3,8936 | 0,0137 | 11,058 | 0,00060 | 0,00051 | 0,00055 | 11,05942 | 0,00001 | 0,001459 | 0,014507 | 0,0160 | 0,00144 |
| 14,30 | 31,9 | 31,7 | 53,9 | 3,9029 | 0,0067 | 25,7 | 74,7 | 61,1 | 3,8917 | 0,0138 | 11,058 | 0,00065 | 0,00051 | 0,00063 | 11,05956 | 0,00002 | 0,001459 | 0,014507 | 0,0160 | 0,00144 |
| 14,45 | 32,3 | 32,1 | 55,1 | 3,9042 | 0,0073 | 26,1 | 75,1 | 63,1 | 3,893 | 0,0144 | 11,058 | 0,00073 | 0,00051 | 0,00041 | 11,05941 | 0,00004 | 0,001459 | 0,014507 | 0,0160 | 0,00144 |
| 15,00 | 32,9 | 32,2 | 56,5 | 3,9045 | 0,0077 | 26,7 | 75,2 | 65,2 | 3,8933 | 0,015 | 11,058 | 0,00085 | 0,00051 | 0,00029 | 11,05942 | 0,00011 | 0,001459 | 0,014507 | 0,0161 | 0,00145 |

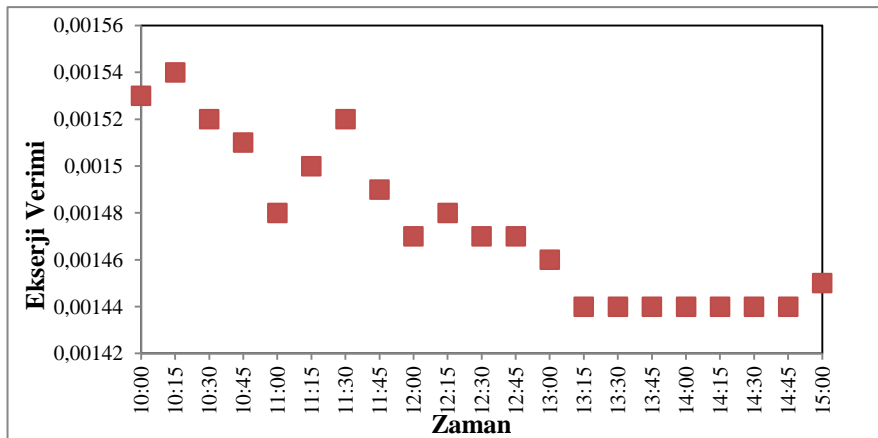
Şekil 6.23'de 90 mm ped kalınlığı ve 1,7 m/s hava giriş hızı için zamana bağlı olarak onikinci deney için teorik ve deneysel enerji verimi değişimi verilmiştir.



Şekil 6.23: 90 mm ped kalınlığı ve 1,7 m/s hava giriş hızı için deneysel ve teorik enerji verimi (Deney No 12)

Şekil 6.23'de görüldüğü gibi, teorik enerji verimi 0,41 ile 0,57 arasında değişirken deneysel enerji verimi 0,581 ile 0,584 arasında çok az değişmektedir.

Şekil 6.24'de 90 mm ped kalınlığı ve 1,7 m/s hava giriş hızı için zamana bağlı olarak deneysel olarak hesaplanan ekserji verimi değişimi verilmiştir.



Şekil 6.24. 90 mm ped kalınlığı ve 1,7 m/s hava giriş hızı için deneysel ve teorik enerji verimi (Deney No 12)

Şekil 6.24'den görüldüğü gibi, ekserji verimi ise 0,000144 ile 0,000154 arasında değişmektedir.

90 mm ped kalınlığı ve 1,5 m/s hava giriş hızı için yapılan birinci deneyin (Deney No 13) ölçüm sonuçları, termodinamik özelliklerini ve teorik ve deneysel olarak hesaplanan enerji verim değerleri ve ekserji analiz değerleri sırasıyla Çizelge 6.25 ve Çizelge 6.26'da verilmiştir. Aynı şekilde benzer ped kalınlığı ve hava giriş hızı için tekrarlanan ikinci (Deney No 14) ve üçüncü (Deney No 15) için enerji ve ekserji analizi ve ölçüm sonuçları sırasıyla Çizelge 6.27, 6.28, 6.29 ve 6.30'da verilmiştir.

Her üç deneyde de $\dot{m}_w=0,01344$, $\dot{m}_a=0,004935$, $T_w=20,4$ °C, 1 atm sabit alınmıştır.

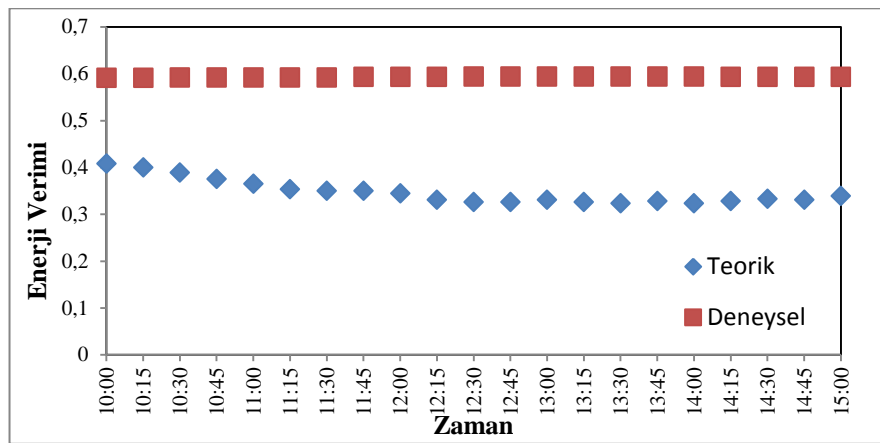
Çizelge 6.25. : Deney No 13, 90 mm , 1,5 m/s Ölçüm Sonuçları ($m_w=0,01344$ kg , $m_a=0,004935$ kg $T_w=20,4$ °C , 1 atm sabit alımmıştır.)

| Zaman | $T_{dh,a}$ (°C) | W_a (%) | h_a (kj/kg) | S_a (Kj/Kg·K) | $T_{wh,a}$ (°C) | $T_{dh,b}$ (°C) | Wb (%) | H_b (kj/kg) | S_b (Kj/Kg·K) | P_u (Kg/m³) | K_u (kJ/Kg·K) | μ_u (Kg/m.s) | Re | Pr | h_c (Kj/Kg·K) | Deneysel verim | Teorik verim | Verim faktı |
|-------|-----------------|-----------|------------------|--------------------|-----------------|--------------------|----------|------------------|--------------------|------------------|-----------------|------------------|--------|--------|-----------------|----------------|--------------|-------------|
| 10,00 | 27,6 | 35,4 | 48,4 | 3,8892 | 17,3 | 23,4 | 77,4 | 59,5 | 3,8761 | 1,17411 | 0,02570 | 0,0000186 | 255,84 | 0,7288 | 47,43 | 0,591 | 0,408 | 0,310 |
| 10,15 | 28,1 | 34,8 | 49,2 | 2,8909 | 17,6 | 23,9 | 76,8 | 57,3 | 3,8741 | 1,17214 | 0,02574 | 0,0000186 | 255,10 | 0,7287 | 47,39 | 0,591 | 0,400 | 0,323 |
| 10,30 | 28,5 | 33,7 | 49,6 | 3,8922 | 17,7 | 24,3 | 75,7 | 55,3 | 3,8724 | 1,17057 | 0,02577 | 0,0000186 | 254,50 | 0,7286 | 47,35 | 0,592 | 0,389 | 0,343 |
| 10,45 | 29 | 32,6 | 49,9 | 3,8939 | 17,8 | 24,8 | 74,6 | 56,6 | 3,8717 | 1,16860 | 0,02581 | 0,0000187 | 253,75 | 0,7284 | 47,30 | 0,592 | 0,375 | 0,367 |
| 11,00 | 29,3 | 31,7 | 49,9 | 3,8949 | 17,8 | 25,1 | 73,7 | 57,7 | 3,872 | 1,16742 | 0,02583 | 0,0000187 | 253,31 | 0,7284 | 47,28 | 0,592 | 0,365 | 0,383 |
| 11,15 | 29,4 | 30,5 | 49 | 3,8952 | 17,5 | 25,2 | 72,5 | 58,4 | 3,8744 | 1,16703 | 0,02584 | 0,0000187 | 253,16 | 0,7283 | 47,27 | 0,592 | 0,353 | 0,404 |
| 11,30 | 29,7 | 29,8 | 49,6 | 3,8963 | 17,7 | 25,5 | 71,8 | 57,5 | 3,8737 | 1,16585 | 0,02586 | 0,0000187 | 252,71 | 0,7282 | 47,24 | 0,592 | 0,350 | 0,409 |
| 11,45 | 30,6 | 30,6 | 52,3 | 3,8992 | 18,6 | 26,4 | 72,6 | 57,7 | 3,8744 | 1,16231 | 0,02592 | 0,0000187 | 251,38 | 0,7280 | 47,15 | 0,593 | 0,350 | 0,410 |
| 12,00 | 31,2 | 30,6 | 53,6 | 3,9012 | 19 | 27 | 72,6 | 59,2 | 3,8751 | 1,15995 | 0,02597 | 0,0000188 | 250,50 | 0,7278 | 47,10 | 0,593 | 0,344 | 0,420 |
| 12,15 | 32 | 29,8 | 54,7 | 3,9038 | 19,3 | 27,8 | 71,8 | 59,9 | 3,8758 | 1,15680 | 0,02603 | 0,0000188 | 249,32 | 0,7276 | 47,02 | 0,593 | 0,331 | 0,442 |
| 12,30 | 32,5 | 29,5 | 55,7 | 3,9055 | 19,6 | 28,3 | 71,5 | 61,7 | 3,8768 | 1,15483 | 0,02607 | 0,0000188 | 248,59 | 0,7275 | 46,98 | 0,594 | 0,326 | 0,451 |
| 12,45 | 32,6 | 29,7 | 56,1 | 3,9058 | 19,7 | 28,4 | 71,7 | 62,2 | 3,8785 | 1,15444 | 0,02607 | 0,0000188 | 248,44 | 0,7275 | 46,97 | 0,594 | 0,326 | 0,451 |
| 13,00 | 32,4 | 30 | 55,9 | 3,9052 | 19,7 | 28,2 | 72 | 62,2 | 3,8791 | 1,15523 | 0,02606 | 0,0000188 | 248,74 | 0,7275 | 46,99 | 0,594 | 0,331 | 0,443 |
| 13,15 | 32,5 | 29,6 | 55,7 | 3,9055 | 19,6 | 28,3 | 71,6 | 62,8 | 3,8788 | 1,15483 | 0,02607 | 0,0000188 | 248,59 | 0,7275 | 46,98 | 0,594 | 0,326 | 0,451 |
| 13,30 | 32,6 | 28,9 | 55,6 | 3,9058 | 19,6 | 28,4 | 70,9 | 59,8 | 3,8764 | 1,15444 | 0,02607 | 0,0000188 | 248,44 | 0,7275 | 46,97 | 0,594 | 0,323 | 0,456 |
| 13,45 | 32,8 | 29,9 | 56,8 | 3,9065 | 20 | 28,6 | 71,9 | 61,5 | 3,8785 | 1,15365 | 0,02609 | 0,0000188 | 248,15 | 0,7274 | 46,95 | 0,594 | 0,328 | 0,310 |
| 14,00 | 33 | 29,5 | 57 | 3,9071 | 20 | 28,8 | 71,5 | 66,5 | 3,8825 | 1,15287 | 0,02610 | 0,0000189 | 247,86 | 0,7273 | 46,93 | 0,594 | 0,323 | 0,323 |
| 14,15 | 32,3 | 29,4 | 55,3 | 3,9048 | 19,5 | 28,1 | 71,4 | 65,1 | 3,8805 | 1,15562 | 0,02605 | 0,0000188 | 248,88 | 0,7275 | 47,00 | 0,593 | 0,328 | 0,343 |
| 14,30 | 31,7 | 29,6 | 53,9 | 3,9029 | 19,1 | 27,5 | 71,6 | 61,6 | 3,8781 | 1,15798 | 0,02601 | 0,0000188 | 249,76 | 0,7277 | 47,05 | 0,593 | 0,333 | 0,367 |
| 14,45 | 32,1 | 29,8 | 55,1 | 3,9042 | 19,4 | 27,9 | 71,8 | 63,7 | 3,8798 | 1,15641 | 0,02604 | 0,0000188 | 249,17 | 0,7276 | 47,02 | 0,593 | 0,331 | 0,383 |
| 15,00 | 32,2 | 31,2 | 56,5 | 3,9045 | 19,8 | 28 | 73,2 | 65,2 | 3,8808 | 1,15601 | 0,02604 | 0,0000188 | 249,03 | 0,7276 | 47,01 | 0,593 | 0,339 | 0,404 |

Çizelge 6.26. : Deney No 13, 90 mm, 1,5 m/s Ölçüm Sonuçları ($m_w=0,01344$ kg , $m_a=0,004935$ kg $T_w=20,4^{\circ}\text{C}$, 1 atm sabit alınmıştır.

| Zaman | $T_{db,a}$ (°C) | W_a (%) | h_a (kj/kg) | S_a ($K_j/K_g\cdot K$) | W_a | $T_{db,b}$ (°C) | W_b (%) | H_b (kj/kg) | S_b ($K_j/K_g\cdot K$) | W_b | $\Psi_{water,a}$ | $\Psi_{termal,a}$ | $\Psi_{mekanik,a}$ | $\Psi_{kimyasal,a}$ | $\Psi_{toplama,a}$ | $\Psi_{termal,b}$ | $\Psi_{mekanik,b}$ | $\Psi_{kimyasal,b}$ | $\Psi_{toplama,b}$ | Eksjeri verim |
|-------|-----------------|-----------|---------------|----------------------------|--------|-----------------|-----------|---------------|----------------------------|--------|------------------|-------------------|--------------------|---------------------|--------------------|-------------------|--------------------|---------------------|--------------------|---------------|
| 10.00 | 27,6 | 35,4 | 48,4 | 3,8892 | 0,0081 | 23,4 | 77,4 | 59,5 | 3,8761 | 0,014 | 11,059 | 0,00006 | 0,00032 | 0,00012 | 11,05915 | 0,00008 | 0,001245 | 0,007158 | 0,0085 | 0,00077 |
| 10.15 | 28,1 | 34,8 | 49,2 | 2,8909 | 0,0082 | 23,9 | 76,8 | 57,3 | 3,8741 | 0,0134 | 11,059 | 0,00008 | 0,00032 | 0,00010 | 11,05917 | 0,00004 | 0,001245 | 0,007158 | 0,0084 | 0,00076 |
| 10.30 | 28,5 | 33,7 | 49,6 | 3,8922 | 0,0082 | 24,3 | 75,7 | 55,3 | 3,8724 | 0,0128 | 11,059 | 0,00010 | 0,00032 | 0,00010 | 11,05919 | 0,00002 | 0,001245 | 0,007158 | 0,0084 | 0,00076 |
| 10.45 | 29 | 32,6 | 49,9 | 3,8939 | 0,0081 | 24,8 | 74,6 | 56,6 | 3,8717 | 0,0134 | 11,059 | 0,00014 | 0,00032 | 0,00012 | 11,05923 | 0,00000 | 0,001245 | 0,007158 | 0,0084 | 0,00076 |
| 11.00 | 29,3 | 31,7 | 49,9 | 3,8949 | 0,008 | 25,1 | 73,7 | 57,7 | 3,872 | 0,0138 | 11,059 | 0,00016 | 0,00032 | 0,00013 | 11,05927 | 0,00000 | 0,001245 | 0,007158 | 0,0084 | 0,00076 |
| 11.15 | 29,4 | 30,5 | 49 | 3,8952 | 0,0076 | 25,2 | 72,5 | 58,4 | 3,8744 | 0,0138 | 11,059 | 0,00016 | 0,00032 | 0,00019 | 11,05934 | 0,00000 | 0,001245 | 0,007158 | 0,0084 | 0,00076 |
| 11.30 | 29,7 | 29,8 | 49,6 | 3,8963 | 0,0077 | 25,5 | 71,8 | 57,5 | 3,8737 | 0,0135 | 11,059 | 0,00019 | 0,00032 | 0,00018 | 11,05934 | 0,00001 | 0,001245 | 0,007158 | 0,0084 | 0,00076 |
| 11.45 | 30,6 | 30,6 | 52,3 | 3,8992 | 0,0084 | 26,4 | 72,6 | 57,7 | 3,8744 | 0,0135 | 11,059 | 0,00027 | 0,00032 | 0,00008 | 11,05933 | 0,00006 | 0,001245 | 0,007158 | 0,0085 | 0,00076 |
| 12.00 | 31,2 | 30,6 | 53,6 | 3,9012 | 0,0087 | 27 | 72,6 | 59,2 | 3,8751 | 0,014 | 11,059 | 0,00033 | 0,00032 | 0,00005 | 11,05936 | 0,00013 | 0,001245 | 0,007158 | 0,0085 | 0,00077 |
| 12.15 | 32 | 29,8 | 54,7 | 3,9038 | 0,0088 | 27,8 | 71,8 | 59,9 | 3,8758 | 0,0142 | 11,059 | 0,00042 | 0,00032 | 0,00004 | 11,05944 | 0,00025 | 0,001245 | 0,007158 | 0,0087 | 0,00078 |
| 12.30 | 32,5 | 29,5 | 55,7 | 3,9055 | 0,009 | 28,3 | 71,5 | 61,7 | 3,8768 | 0,0148 | 11,059 | 0,00048 | 0,00032 | 0,00003 | 11,05949 | 0,00035 | 0,001245 | 0,007158 | 0,0088 | 0,00079 |
| 12.45 | 32,6 | 29,7 | 56,1 | 3,9058 | 0,0091 | 28,4 | 71,7 | 62,2 | 3,8785 | 0,0148 | 11,059 | 0,00049 | 0,00032 | 0,00002 | 11,05949 | 0,00037 | 0,001245 | 0,007158 | 0,0088 | 0,00079 |
| 13.00 | 32,4 | 30 | 55,9 | 3,9052 | 0,0091 | 28,2 | 72 | 62,2 | 3,8791 | 0,0147 | 11,059 | 0,00047 | 0,00032 | 0,00002 | 11,05947 | 0,00033 | 0,001245 | 0,007158 | 0,0087 | 0,00079 |
| 13.15 | 32,5 | 29,6 | 55,7 | 3,9055 | 0,009 | 28,3 | 71,6 | 62,8 | 3,8788 | 0,015 | 11,059 | 0,00048 | 0,00032 | 0,00003 | 11,05949 | 0,00035 | 0,001245 | 0,007158 | 0,0088 | 0,00079 |
| 13.30 | 32,6 | 28,9 | 55,6 | 3,9058 | 0,0089 | 28,4 | 70,9 | 59,8 | 3,8764 | 0,0141 | 11,059 | 0,00049 | 0,00032 | 0,00003 | 11,05951 | 0,00037 | 0,001245 | 0,007158 | 0,0088 | 0,00079 |
| 13.45 | 32,8 | 29,9 | 56,8 | 3,9065 | 0,0093 | 28,6 | 71,9 | 61,5 | 3,8785 | 0,0145 | 11,059 | 0,00052 | 0,00032 | 0,00001 | 11,05951 | 0,00041 | 0,001245 | 0,007158 | 0,0088 | 0,00080 |
| 14.00 | 33 | 29,5 | 57 | 3,9071 | 0,0093 | 28,8 | 71,5 | 66,5 | 3,8825 | 0,016 | 11,059 | 0,00054 | 0,00032 | 0,00001 | 11,05954 | 0,00046 | 0,001245 | 0,007158 | 0,0089 | 0,00080 |
| 14.15 | 32,3 | 29,4 | 55,3 | 3,9048 | 0,0089 | 28,1 | 71,4 | 65,1 | 3,8805 | 0,0157 | 11,059 | 0,00045 | 0,00032 | 0,00003 | 11,05947 | 0,00031 | 0,001245 | 0,007158 | 0,0087 | 0,00079 |
| 14.30 | 31,7 | 29,6 | 53,9 | 3,9029 | 0,0086 | 27,5 | 71,6 | 61,6 | 3,8781 | 0,0146 | 11,059 | 0,00038 | 0,00032 | 0,00006 | 11,05942 | 0,00020 | 0,001245 | 0,007158 | 0,0086 | 0,00078 |
| 14.45 | 32,1 | 29,8 | 55,1 | 3,9042 | 0,0089 | 27,9 | 71,8 | 63,7 | 3,8798 | 0,0152 | 11,059 | 0,00043 | 0,00032 | 0,00003 | 11,05944 | 0,00027 | 0,001245 | 0,007158 | 0,0087 | 0,00078 |
| 15.00 | 32,2 | 31,2 | 56,5 | 3,9045 | 0,0094 | 28 | 73,2 | 65,2 | 3,8808 | 0,0157 | 11,059 | 0,00044 | 0,00032 | 0,00001 | 11,05943 | 0,00029 | 0,001245 | 0,007158 | 0,0087 | 0,00078 |

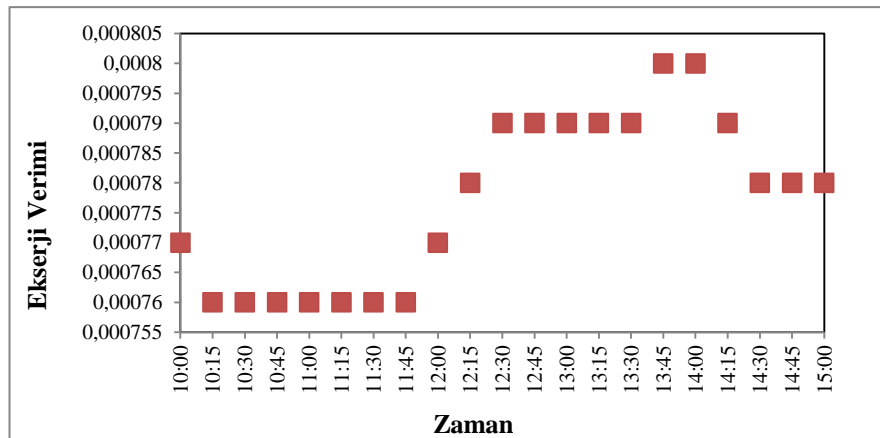
Şekil 6.25'de 90 mm ped kalınlığı ve 1,5 m/s hava giriş hızı için zamana bağlı olarak onüçüncü deney için teorik ve deneysel enerji verimi değişimi verilmiştir.



Şekil 6.25: 90 mm ped kalınlığı ve 1,5 m/s hava giriş hızı için deneysel ve teorik enerji verimi (Deney No 13)

Şekil 6.25'de görüldüğü gibi, teorik enerji verimi 0,326 ile 0,40 arasında değişirken deneysel enerji verimi 0,591 ile 0,594 arasında çok az değişmektedir.

Şekil 6.26'da 90 mm ped kalınlığı ve 1,5 m/s hava giriş hızı için zamana bağlı olarak deneysel olarak hesaplanan ekserji verimi değişimi verilmiştir.



Şekil 6.26. 90 mm ped kalınlığı ve 1,5 m/s hava giriş hızı için deneysel ve teorik enerji verimi (Deney No 13)

Şekil 6.26'den görüldüğü gibi, ekserji verimi ise 0,000764 ile 0,000800 arasında değişmektedir.

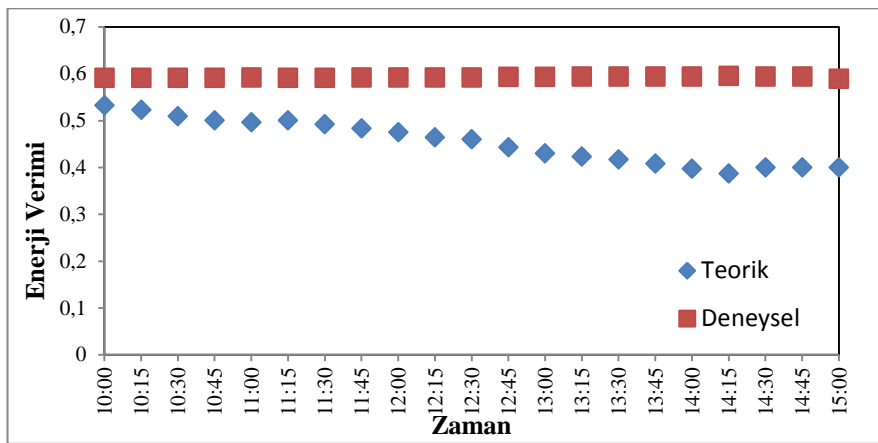
Çizelge 6.27. : Deney No 14, 90 mm, 1,5 m/s Ölçüm Sonuçları ($m_w=0,01344$ kg , $m_a=0,004935$ kg $T_w=20,6$ °C ,1 atm sabit alınmıştır.)

| Zaman | $T_{dh,a}$ (°C) | W_a (%) | h_a (kJ/kg) | S_a (KJ/Kg·K) | $T_{wb,a}$ (°C) | $T_{dh,b}$ (°C) | Wb (%) | H_b (kJ/kg) | S_b (KJ/Kg·K) | P_a (Kg/m³) | K_u (kJ/Kg.K) | μ_a (Kg/m.s) | Re | Pr | h_c (kJ/Kg.K) | Deneysel verim | Teorik verim | Verim farkı |
|-------|-----------------|-----------|---------------|-----------------|-----------------|-----------------|----------|---------------|-----------------|---------------|-----------------|------------------|--------|--------|-----------------|----------------|--------------|-------------|
| 10,00 | 27,2 | 31,5 | 45,5 | 3,8839 | 16,3 | 21,4 | 72,5 | 51 | 3,8718 | 1,17568 | 0,02567 | 0,0000186 | 256,44 | 0,7289 | 47,47 | 0,591 | 0,532 | 0,100 |
| 10,15 | 27,6 | 31,4 | 46,1 | 3,8788 | 16,5 | 21,8 | 72,4 | 51,9 | 3,8667 | 1,17411 | 0,02570 | 0,0000186 | 255,84 | 0,7288 | 47,43 | 0,591 | 0,523 | 0,115 |
| 10,30 | 28 | 30,4 | 46,3 | 3,8781 | 16,6 | 22,2 | 71,4 | 52,8 | 3,866 | 1,17253 | 0,02573 | 0,0000186 | 255,25 | 0,7287 | 47,40 | 0,591 | 0,509 | 0,139 |
| 10,45 | 28,1 | 29,4 | 45,9 | 3,8802 | 16,5 | 22,3 | 70,4 | 52,7 | 3,8681 | 1,17214 | 0,02574 | 0,0000186 | 255,10 | 0,7287 | 47,39 | 0,591 | 0,500 | 0,154 |
| 11,00 | 28,5 | 29,4 | 46,8 | 3,8778 | 16,8 | 22,7 | 70,4 | 53,9 | 3,8657 | 1,17057 | 0,02577 | 0,0000186 | 254,50 | 0,7286 | 47,35 | 0,592 | 0,496 | 0,162 |
| 11,15 | 27,9 | 29,1 | 45,4 | 3,8805 | 16,3 | 22,1 | 70,1 | 52 | 3,8684 | 1,17293 | 0,02572 | 0,0000186 | 255,39 | 0,7287 | 47,40 | 0,591 | 0,500 | 0,154 |
| 11,30 | 28,1 | 28,2 | 45,4 | 3,8822 | 16,3 | 22,3 | 69,2 | 52,2 | 3,8701 | 1,17214 | 0,02574 | 0,0000186 | 255,10 | 0,7287 | 47,39 | 0,591 | 0,492 | 0,168 |
| 11,45 | 28,8 | 28,4 | 46,9 | 3,8867 | 16,8 | 23 | 69,4 | 54,2 | 3,8746 | 1,16939 | 0,02579 | 0,0000187 | 254,05 | 0,7285 | 47,32 | 0,592 | 0,483 | 0,184 |
| 12,00 | 29,3 | 28,3 | 47,9 | 3,8846 | 17,1 | 23,5 | 69,3 | 55,7 | 3,8725 | 1,16742 | 0,02583 | 0,0000187 | 253,31 | 0,7284 | 47,28 | 0,592 | 0,475 | 0,198 |
| 12,15 | 29,4 | 27,1 | 47,2 | 3,8792 | 16,9 | 23,6 | 68,1 | 55,3 | 3,8671 | 1,16703 | 0,02584 | 0,0000187 | 253,16 | 0,7283 | 47,27 | 0,592 | 0,464 | 0,216 |
| 12,30 | 30,4 | 27,9 | 49,8 | 3,8795 | 17,8 | 24,6 | 68,9 | 58,9 | 3,8674 | 1,16309 | 0,02591 | 0,0000187 | 251,68 | 0,7281 | 47,17 | 0,592 | 0,460 | 0,223 |
| 12,45 | 31,5 | 27,2 | 51,6 | 3,8809 | 18,4 | 25,7 | 68,2 | 61,8 | 3,8688 | 1,15877 | 0,02599 | 0,0000188 | 250,06 | 0,7278 | 47,07 | 0,593 | 0,443 | 0,253 |
| 13,00 | 32 | 26,4 | 52,2 | 3,8812 | 18,5 | 26,2 | 67,4 | 63,1 | 3,8691 | 1,15680 | 0,02603 | 0,0000188 | 249,32 | 0,7276 | 47,02 | 0,593 | 0,430 | 0,275 |
| 13,15 | 32,4 | 26 | 52,8 | 3,8809 | 18,7 | 26,6 | 67 | 64,2 | 3,8688 | 1,15523 | 0,02606 | 0,0000188 | 248,74 | 0,7275 | 46,99 | 0,594 | 0,423 | 0,288 |
| 13,30 | 33,4 | 26,1 | 55,1 | 3,8826 | 19,5 | 27,6 | 67,1 | 67,6 | 3,8705 | 1,15129 | 0,02613 | 0,0000189 | 247,28 | 0,7272 | 46,89 | 0,594 | 0,417 | 0,298 |
| 13,45 | 33,6 | 25,2 | 54,8 | 3,8829 | 19,4 | 27,8 | 66,2 | 67,8 | 3,8708 | 1,15051 | 0,02615 | 0,0000189 | 246,98 | 0,7272 | 46,87 | 0,594 | 0,408 | 0,100 |
| 14,00 | 33,7 | 23,9 | 53,9 | 3,8907 | 19,1 | 27,9 | 64,9 | 67,1 | 3,8786 | 1,15011 | 0,02615 | 0,0000189 | 246,84 | 0,7272 | 46,87 | 0,594 | 0,397 | 0,115 |
| 14,15 | 34,5 | 24 | 55,4 | 3,8901 | 19,5 | 28,7 | 65 | 70 | 3,878 | 1,14697 | 0,02621 | 0,0000189 | 245,68 | 0,7269 | 46,79 | 0,595 | 0,387 | 0,139 |
| 14,30 | 33,4 | 24,2 | 53,3 | 3,8867 | 18,9 | 27,6 | 65,2 | 66,3 | 3,8746 | 1,15129 | 0,02613 | 0,0000189 | 247,28 | 0,7272 | 46,89 | 0,594 | 0,400 | 0,154 |
| 14,45 | 33,8 | 24,4 | 54,5 | 3,8873 | 19,3 | 28 | 65,4 | 68 | 3,8752 | 1,14972 | 0,02616 | 0,0000189 | 246,69 | 0,7271 | 46,86 | 0,594 | 0,400 | 0,162 |
| 15,00 | 33,9 | 24,6 | 54,8 | 3,8877 | 19,4 | 28,1 | 65,6 | 68,3 | 3,8756 | 1,16400 | 0,02588 | 0,0000189 | 249,70 | 0,7271 | 46,80 | 0,589 | 0,400 | 0,154 |

Çizelge 6.28. : Deney No 14, 90 mm, 1,5 m/s Ölçüm Sonuçları ($m_w=0,01344$ kg , $m_a=0,004935$ kg $T_w=20,6^{\circ}\text{C}$,1 atm sabit alınmıştır.)

| Zaman | $T_{db,a}$ (°C) | W_a (%) | h_a (kj/kg) | S_a (Kj/Kg.K) | W_b | $T_{db,b}$ (°C) | W_b (%) | H_b (kj/kg) | S_b (Kj/Kg.K) | W_b | $\Psi_{water,a}$ | $\Psi_{termal,a}$ | $\Psi_{mekanik,a}$ | $\Psi_{kimyasal,a}$ | $\Psi_{toplam,a}$ | $\Psi_{termal,b}$ | $\Psi_{mekanik,b}$ | $\Psi_{kimyasal,b}$ | $\Psi_{toplam,b}$ | Eksjeri verim |
|-------|-----------------|-----------|---------------|-----------------|--------|-----------------|-----------|---------------|-----------------|--------|------------------|-------------------|--------------------|---------------------|-------------------|-------------------|--------------------|---------------------|-------------------|---------------|
| 10,00 | 27,2 | 31,5 | 45,5 | 3,8839 | 0,0071 | 21,4 | 72,5 | 51 | 3,8718 | 0,0116 | 11,058 | 0,000041 | 0,00032 | 0,00029 | 11,05915 | 0,00042 | 0,001245 | 0,007158 | 0,0088 | 0,00080 |
| 10,15 | 27,6 | 31,4 | 46,1 | 3,8788 | 0,0072 | 21,8 | 72,4 | 51,9 | 3,8667 | 0,0118 | 11,058 | 0,000058 | 0,00032 | 0,00027 | 11,05914 | 0,00033 | 0,001245 | 0,007158 | 0,0087 | 0,00079 |
| 10,30 | 28 | 30,4 | 46,3 | 3,8781 | 0,0071 | 22,2 | 71,4 | 52,8 | 3,866 | 0,012 | 11,058 | 0,000077 | 0,00032 | 0,00029 | 11,05918 | 0,00025 | 0,001245 | 0,007158 | 0,0087 | 0,00078 |
| 10,45 | 28,1 | 29,4 | 45,9 | 3,8802 | 0,0069 | 22,3 | 70,4 | 52,7 | 3,8681 | 0,0119 | 11,058 | 0,000082 | 0,00032 | 0,00034 | 11,05924 | 0,00023 | 0,001245 | 0,007158 | 0,0086 | 0,00078 |
| 11,00 | 28,5 | 29,4 | 46,8 | 3,8778 | 0,0071 | 22,7 | 70,4 | 53,9 | 3,8657 | 0,0122 | 11,058 | 0,000104 | 0,00032 | 0,00029 | 11,05921 | 0,00017 | 0,001245 | 0,007158 | 0,0086 | 0,00077 |
| 11,15 | 27,9 | 29,1 | 45,4 | 3,8805 | 0,0068 | 22,1 | 70,1 | 52 | 3,8684 | 0,0117 | 11,058 | 0,000072 | 0,00032 | 0,00037 | 11,05925 | 0,00027 | 0,001245 | 0,007158 | 0,0087 | 0,00078 |
| 11,30 | 28,1 | 28,2 | 45,4 | 3,8822 | 0,0067 | 22,3 | 69,2 | 52,2 | 3,8701 | 0,0117 | 11,058 | 0,000082 | 0,00032 | 0,00039 | 11,05929 | 0,00023 | 0,001245 | 0,007158 | 0,0086 | 0,00078 |
| 11,45 | 28,8 | 28,4 | 46,9 | 3,8867 | 0,007 | 23 | 69,4 | 54,2 | 3,8746 | 0,0122 | 11,058 | 0,000123 | 0,00032 | 0,00032 | 11,05925 | 0,00013 | 0,001245 | 0,007158 | 0,0085 | 0,00077 |
| 12,00 | 29,3 | 28,3 | 47,9 | 3,8846 | 0,0072 | 23,5 | 69,3 | 55,7 | 3,8725 | 0,0126 | 11,058 | 0,000157 | 0,00032 | 0,00027 | 11,05924 | 0,00007 | 0,001245 | 0,007158 | 0,0085 | 0,00076 |
| 12,15 | 29,4 | 27,1 | 47,2 | 3,8792 | 0,0069 | 23,6 | 68,1 | 55,3 | 3,8671 | 0,0124 | 11,058 | 0,000164 | 0,00032 | 0,00034 | 11,05932 | 0,00006 | 0,001245 | 0,007158 | 0,0085 | 0,00076 |
| 12,30 | 30,4 | 27,9 | 49,8 | 3,8795 | 0,0075 | 24,6 | 68,9 | 58,9 | 3,8674 | 0,0134 | 11,058 | 0,000247 | 0,00032 | 0,00021 | 11,05927 | 0,00001 | 0,001245 | 0,007158 | 0,0084 | 0,00076 |
| 12,45 | 31,5 | 27,2 | 51,6 | 3,8809 | 0,0078 | 25,7 | 68,2 | 61,8 | 3,8688 | 0,0141 | 11,058 | 0,000358 | 0,00032 | 0,00016 | 11,05933 | 0,00002 | 0,001245 | 0,007158 | 0,0084 | 0,00076 |
| 13,00 | 32 | 26,4 | 52,2 | 3,8812 | 0,0078 | 26,2 | 67,4 | 63,1 | 3,8691 | 0,0144 | 11,058 | 0,000415 | 0,00032 | 0,00016 | 11,05939 | 0,00005 | 0,001245 | 0,007158 | 0,0084 | 0,00076 |
| 13,15 | 32,4 | 26 | 52,8 | 3,8809 | 0,0079 | 26,6 | 67 | 64,2 | 3,8688 | 0,0147 | 11,058 | 0,000463 | 0,00032 | 0,00015 | 11,05942 | 0,00008 | 0,001245 | 0,007158 | 0,0085 | 0,00077 |
| 13,30 | 33,4 | 26,1 | 55,1 | 3,8826 | 0,0084 | 27,6 | 67,1 | 67,6 | 3,8705 | 0,0156 | 11,058 | 0,000597 | 0,00032 | 0,00008 | 11,05949 | 0,00022 | 0,001245 | 0,007158 | 0,0086 | 0,00078 |
| 13,45 | 33,6 | 25,2 | 54,8 | 3,8829 | 0,0082 | 27,8 | 66,2 | 67,8 | 3,8708 | 0,0156 | 11,058 | 0,000624 | 0,00032 | 0,00010 | 11,05954 | 0,00025 | 0,001245 | 0,007158 | 0,0087 | 0,00078 |
| 14,00 | 33,7 | 23,9 | 53,9 | 3,8907 | 0,0078 | 27,9 | 64,9 | 67,1 | 3,8786 | 0,0153 | 11,058 | 0,000638 | 0,00032 | 0,00016 | 11,05961 | 0,00027 | 0,001245 | 0,007158 | 0,0087 | 0,00078 |
| 14,15 | 34,5 | 24 | 55,4 | 3,8901 | 0,0081 | 28,7 | 65 | 70 | 3,878 | 0,0158 | 11,058 | 0,000760 | 0,00032 | 0,00012 | 11,05969 | 0,00043 | 0,001245 | 0,007158 | 0,0088 | 0,00080 |
| 14,30 | 33,4 | 24,2 | 53,3 | 3,8867 | 0,0077 | 27,6 | 65,2 | 66,3 | 3,8746 | 0,0151 | 11,058 | 0,000595 | 0,00032 | 0,00018 | 11,05959 | 0,00021 | 0,001245 | 0,007158 | 0,0086 | 0,00078 |
| 14,45 | 33,8 | 24,4 | 54,5 | 3,8873 | 0,008 | 28 | 65,4 | 68 | 3,8752 | 0,0156 | 11,058 | 0,000653 | 0,00032 | 0,00013 | 11,05960 | 0,00029 | 0,001245 | 0,007158 | 0,0087 | 0,00078 |
| 15,00 | 33,9 | 24,6 | 54,8 | 3,8877 | 0,0081 | 28,1 | 65,6 | 68,3 | 3,8756 | 0,0157 | 11,058 | 0,000668 | 0,00032 | 0,00012 | 11,05960 | 0,00031 | 0,001245 | 0,007158 | 0,0087 | 0,00079 |

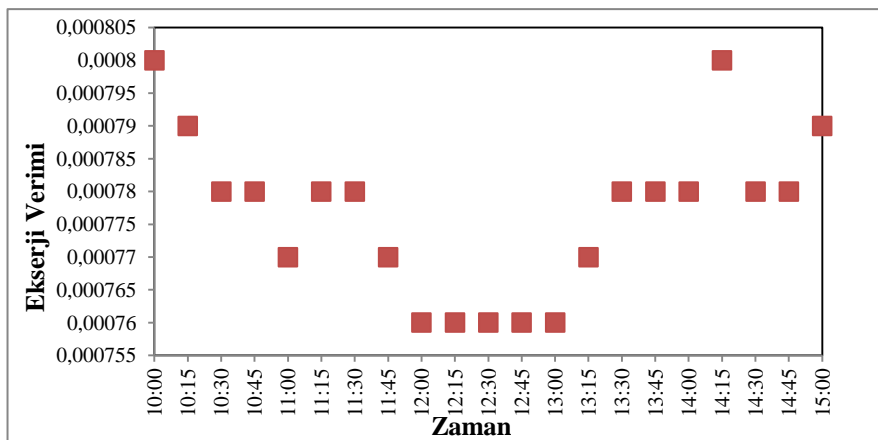
Şekil 6.27'de 90 mm ped kalınlığı ve 1,5 m/s hava giriş hızı için zamana bağlı olarak ondördüncü deney için teorik ve deneysel enerji verimi değişimi verilmiştir.



Şekil 6.27: 90 mm ped kalınlığı ve 1,5 m/s hava giriş hızı için deneysel ve teorik enerji verimi (Deney No 14)

Şekil 6.27'de görüldüğü gibi, teorik enerji verimi 0,387 ile 0,532 arasında değişirken deneysel enerji verimi 0,591 ile 0,594 arasında çok az değişmektedir.

Şekil 6.28'de 90 mm ped kalınlığı ve 1,5 m/s hava giriş hızı için zamana bağlı olarak deneysel olarak hesaplanan ekserji verimi değişimi verilmiştir.



Şekil 6.28. 90 mm ped kalınlığı ve 1,5 m/s hava giriş hızı için deneysel ve teorik enerji verimi (Deney No 14)

Şekil 6.28'den görüldüğü gibi, ekserji verimi ise 0,00076 ile 0,00080 arasında değişmektedir.

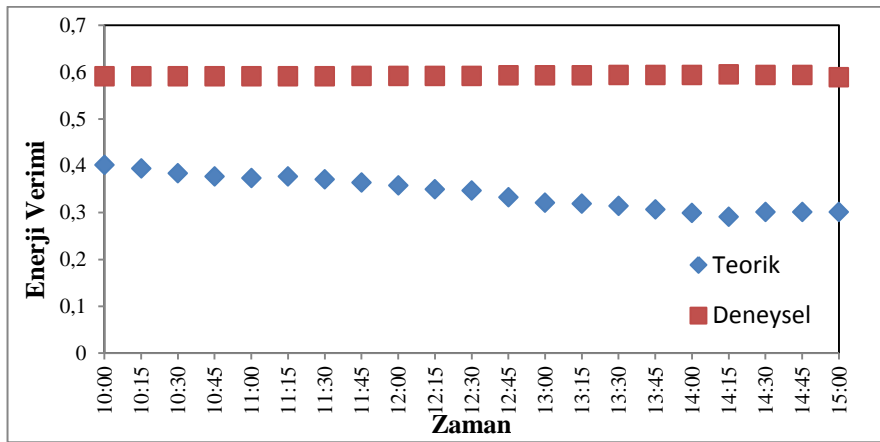
Çizelge 6.29. : Deney No 15, 90 mm, 1,5 m/s Ölçüm Sonuçları ($m_w=0,01344$ kg, $m_a=0,004935$ kg $T_w=20,6$ °C, 1 atm sabit alınmıştır.)

| Zaman | $T_{dh,a}$ (°C) | W_a (%) | h_a (kJ/kg) | S_a (Kj/Kg·K) | $T_{dh,a}$ (°C) | $T_{db,b}$ (°C) | Wb (%) | H_b (kJ/kg) | S_b (Kj/Kg·K) | P_u (Kg/m³) | K_u (kJ/Kg·K) | μ_u (Kg/m.s) | Re | p_r | h_c (Kj/Kg·K) | Deneysel verim | Teorik verim | Verim farkı |
|-------|-----------------|-----------|---------------|-----------------|-----------------|-----------------|----------|---------------|-----------------|---------------|-----------------|------------------|--------|--------|-----------------|----------------|--------------|-------------|
| 10,00 | 27 | 31,3 | 45,5 | 3,8839 | 16,3 | 22,7 | 72,3 | 51 | 3,8718 | 1,17647 | 0,02566 | 0,0000186 | 256,74 | 0,7290 | 47,49 | 0,591 | 0,402 | 0,320 |
| 10,15 | 27,4 | 31,2 | 46,1 | 3,8788 | 16,5 | 23,1 | 72,2 | 51,9 | 3,8667 | 1,17489 | 0,02569 | 0,0000186 | 256,14 | 0,7289 | 47,45 | 0,591 | 0,394 | 0,333 |
| 10,30 | 27,8 | 30,2 | 46,3 | 3,8781 | 16,6 | 23,5 | 71,2 | 52,8 | 3,866 | 1,17332 | 0,02572 | 0,0000186 | 255,54 | 0,7288 | 47,41 | 0,591 | 0,384 | 0,350 |
| 10,45 | 27,9 | 29,2 | 45,9 | 3,8802 | 16,5 | 23,6 | 70,2 | 52,7 | 3,8681 | 1,17293 | 0,02572 | 0,0000186 | 255,39 | 0,7287 | 47,40 | 0,591 | 0,377 | 0,362 |
| 11,00 | 28,3 | 29,2 | 46,8 | 3,8778 | 16,8 | 24 | 70,2 | 53,9 | 3,8657 | 1,17135 | 0,02575 | 0,0000186 | 254,80 | 0,7286 | 47,37 | 0,591 | 0,374 | 0,367 |
| 11,15 | 27,7 | 28,9 | 45,4 | 3,8805 | 16,3 | 23,4 | 69,9 | 52 | 3,8684 | 1,17371 | 0,02571 | 0,0000186 | 255,69 | 0,7288 | 47,42 | 0,591 | 0,377 | 0,362 |
| 11,30 | 27,9 | 28 | 45,4 | 3,8822 | 16,3 | 23,6 | 69 | 52,2 | 3,8701 | 1,17293 | 0,02572 | 0,0000186 | 255,39 | 0,7287 | 47,40 | 0,591 | 0,371 | 0,372 |
| 11,45 | 28,6 | 28,2 | 46,9 | 3,8867 | 16,8 | 24,3 | 69,2 | 54,2 | 3,8746 | 1,17017 | 0,02578 | 0,0000187 | 254,35 | 0,7285 | 47,34 | 0,592 | 0,364 | 0,385 |
| 12,00 | 29,1 | 28,1 | 47,9 | 3,8846 | 17,1 | 24,8 | 69,1 | 55,7 | 3,8725 | 1,16821 | 0,02581 | 0,0000187 | 253,60 | 0,7284 | 47,29 | 0,592 | 0,358 | 0,395 |
| 12,15 | 29,2 | 26,9 | 47,2 | 3,8792 | 16,9 | 24,9 | 67,9 | 55,3 | 3,8671 | 1,16781 | 0,02582 | 0,0000187 | 253,46 | 0,7284 | 47,28 | 0,592 | 0,350 | 0,409 |
| 12,30 | 30,2 | 27,7 | 49,8 | 3,8795 | 17,8 | 25,9 | 68,7 | 58,9 | 3,8674 | 1,16388 | 0,02589 | 0,0000187 | 251,97 | 0,7281 | 47,19 | 0,592 | 0,347 | 0,414 |
| 12,45 | 31,3 | 27 | 51,6 | 3,8809 | 18,4 | 27 | 68 | 61,8 | 3,8688 | 1,15955 | 0,02598 | 0,0000188 | 250,35 | 0,7278 | 47,09 | 0,593 | 0,333 | 0,438 |
| 13,00 | 31,9 | 26,2 | 52,2 | 3,8812 | 18,5 | 27,6 | 67,2 | 63,1 | 3,8691 | 1,15719 | 0,02602 | 0,0000188 | 249,47 | 0,7276 | 47,03 | 0,593 | 0,321 | 0,459 |
| 13,15 | 32,2 | 25,8 | 52,8 | 3,8809 | 18,7 | 27,9 | 66,8 | 64,2 | 3,8688 | 1,15601 | 0,02604 | 0,0000188 | 249,03 | 0,7276 | 47,01 | 0,593 | 0,319 | 0,462 |
| 13,30 | 33,2 | 25,9 | 55,1 | 3,8826 | 19,5 | 28,9 | 66,9 | 67,6 | 3,8705 | 1,15208 | 0,02612 | 0,0000189 | 247,57 | 0,7273 | 46,91 | 0,594 | 0,314 | 0,471 |
| 13,45 | 33,4 | 25 | 54,8 | 3,8829 | 19,4 | 29,1 | 66 | 67,8 | 3,8708 | 1,15129 | 0,02613 | 0,0000189 | 247,28 | 0,7272 | 46,89 | 0,594 | 0,307 | 0,320 |
| 14,00 | 33,5 | 23,7 | 53,9 | 3,8907 | 19,1 | 29,2 | 64,7 | 67,1 | 3,8786 | 1,15090 | 0,02614 | 0,0000189 | 247,13 | 0,7272 | 46,88 | 0,594 | 0,299 | 0,333 |
| 14,15 | 34,3 | 23,8 | 55,4 | 3,8901 | 19,5 | 30 | 64,8 | 70 | 3,878 | 1,14775 | 0,02620 | 0,0000189 | 245,97 | 0,7270 | 46,81 | 0,595 | 0,291 | 0,350 |
| 14,30 | 33,2 | 24 | 53,3 | 3,8867 | 18,9 | 28,9 | 65 | 66,3 | 3,8746 | 1,15208 | 0,02612 | 0,0000189 | 247,57 | 0,7273 | 46,91 | 0,594 | 0,301 | 0,362 |
| 14,45 | 33,6 | 24,2 | 54,5 | 3,8873 | 19,3 | 29,3 | 65,2 | 68 | 3,8752 | 1,15051 | 0,02615 | 0,0000189 | 246,98 | 0,7272 | 46,87 | 0,594 | 0,301 | 0,367 |
| 15,00 | 33,7 | 24,4 | 54,8 | 3,8877 | 19,4 | 29,4 | 65,4 | 68,3 | 3,8756 | 1,16400 | 0,02588 | 0,0000189 | 249,82 | 0,7272 | 46,82 | 0,589 | 0,301 | 0,362 |

Çizelge 6.30. : Deney No 15, 90 mm, 1,5 m/s Ölçüm Sonuçları ($m_w=0,01344$ kg, $m_a=0,004935$ kg $T_w=20,6$ °C ,1 atm sabit alınmıştır.)

| Zaman | $T_{db,a}$ (°C) | W_a (%) | h_a (kj/kg) | S_a (Kj/Kg-K) | W_a | $T_{db,b}$ (°C) | W_b (%) | H_b (kj/kg) | S_b (Kj/Kg-K) | W_b | $\Psi_{water,a}$ | $\Psi_{termal,a}$ | $\Psi_{mekanik,a}$ | $\Psi_{kimyasal,a}$ | $\Psi_{toplama,a}$ | $\Psi_{termal,b}$ | $\Psi_{mekanik,b}$ | $\Psi_{kimyasal,b}$ | $\Psi_{toplama,b}$ | Eksjeri verim |
|-------|-----------------|-----------|---------------|-----------------|--------|-----------------|-----------|---------------|-----------------|--------|------------------|-------------------|--------------------|---------------------|--------------------|-------------------|--------------------|---------------------|--------------------|---------------|
| 10,00 | 27,2 | 31,5 | 45,5 | 3,8839 | 0,0071 | 21,4 | 72,5 | 51 | 3,8718 | 0,0116 | 11,058 | 0,00004 | 0,00032 | 0,00029 | 11,05915 | 0,00042 | 0,001245 | 0,007158 | 0,0088 | 0,00080 |
| 10,15 | 27,6 | 31,4 | 46,1 | 3,8788 | 0,0072 | 21,8 | 72,4 | 51,9 | 3,8667 | 0,0118 | 11,058 | 0,00006 | 0,00032 | 0,00027 | 11,05914 | 0,00033 | 0,001245 | 0,007158 | 0,0087 | 0,00079 |
| 10,30 | 28 | 30,4 | 46,3 | 3,8781 | 0,0071 | 22,2 | 71,4 | 52,8 | 3,866 | 0,012 | 11,058 | 0,00008 | 0,00032 | 0,00029 | 11,05918 | 0,00025 | 0,001245 | 0,007158 | 0,0087 | 0,00078 |
| 10,45 | 28,1 | 29,4 | 45,9 | 3,8802 | 0,0069 | 22,3 | 70,4 | 52,7 | 3,8681 | 0,0119 | 11,058 | 0,00008 | 0,00032 | 0,00034 | 11,05924 | 0,00023 | 0,001245 | 0,007158 | 0,0086 | 0,00078 |
| 11,00 | 28,5 | 29,4 | 46,8 | 3,8778 | 0,0071 | 22,7 | 70,4 | 53,9 | 3,8657 | 0,0122 | 11,058 | 0,00010 | 0,00032 | 0,00029 | 11,05921 | 0,00017 | 0,001245 | 0,007158 | 0,0086 | 0,00077 |
| 11,15 | 27,9 | 29,1 | 45,4 | 3,8805 | 0,0068 | 22,1 | 70,1 | 52 | 3,8684 | 0,0117 | 11,058 | 0,00007 | 0,00032 | 0,00037 | 11,05925 | 0,00027 | 0,001245 | 0,007158 | 0,0087 | 0,00078 |
| 11,30 | 28,1 | 28,2 | 45,4 | 3,8822 | 0,0067 | 22,3 | 69,2 | 52,2 | 3,8701 | 0,0117 | 11,058 | 0,00008 | 0,00032 | 0,00039 | 11,05929 | 0,00023 | 0,001245 | 0,007158 | 0,0086 | 0,00078 |
| 11,45 | 28,8 | 28,4 | 46,9 | 3,8867 | 0,007 | 23 | 69,4 | 54,2 | 3,8746 | 0,0122 | 11,058 | 0,00012 | 0,00032 | 0,00032 | 11,05925 | 0,00013 | 0,001245 | 0,007158 | 0,0085 | 0,00077 |
| 12,00 | 29,3 | 28,3 | 47,9 | 3,8846 | 0,0072 | 23,5 | 69,3 | 55,7 | 3,8725 | 0,0126 | 11,058 | 0,00016 | 0,00032 | 0,00027 | 11,05924 | 0,00007 | 0,001245 | 0,007158 | 0,0085 | 0,00076 |
| 12,15 | 29,4 | 27,1 | 47,2 | 3,8792 | 0,0069 | 23,6 | 68,1 | 55,3 | 3,8671 | 0,0124 | 11,058 | 0,00016 | 0,00032 | 0,00034 | 11,05932 | 0,00006 | 0,001245 | 0,007158 | 0,0085 | 0,00076 |
| 12,30 | 30,4 | 27,9 | 49,8 | 3,8795 | 0,0075 | 24,6 | 68,9 | 58,9 | 3,8674 | 0,0134 | 11,058 | 0,00025 | 0,00032 | 0,00021 | 11,05927 | 0,00001 | 0,001245 | 0,007158 | 0,0084 | 0,00076 |
| 12,45 | 31,5 | 27,2 | 51,6 | 3,8809 | 0,0078 | 25,7 | 68,2 | 61,8 | 3,8688 | 0,0141 | 11,058 | 0,00036 | 0,00032 | 0,00016 | 11,05933 | 0,00002 | 0,001245 | 0,007158 | 0,0084 | 0,00076 |
| 13,00 | 32 | 26,4 | 52,2 | 3,8812 | 0,0078 | 26,2 | 67,4 | 63,1 | 3,8691 | 0,0144 | 11,058 | 0,00041 | 0,00032 | 0,00016 | 11,05939 | 0,00005 | 0,001245 | 0,007158 | 0,0084 | 0,00076 |
| 13,15 | 32,4 | 26 | 52,8 | 3,8809 | 0,0079 | 26,6 | 67 | 64,2 | 3,8688 | 0,0147 | 11,058 | 0,00046 | 0,00032 | 0,00015 | 11,05942 | 0,00008 | 0,001245 | 0,007158 | 0,0085 | 0,00077 |
| 13,30 | 33,4 | 26,1 | 55,1 | 3,8826 | 0,0084 | 27,6 | 67,1 | 67,6 | 3,8705 | 0,0156 | 11,058 | 0,00060 | 0,00032 | 0,00008 | 11,05949 | 0,00022 | 0,001245 | 0,007158 | 0,0086 | 0,00078 |
| 13,45 | 33,6 | 25,2 | 54,8 | 3,8829 | 0,0082 | 27,8 | 66,2 | 67,8 | 3,8708 | 0,0156 | 11,058 | 0,00062 | 0,00032 | 0,00010 | 11,05954 | 0,00025 | 0,001245 | 0,007158 | 0,0087 | 0,00078 |
| 14,00 | 33,7 | 23,9 | 53,9 | 3,8907 | 0,0078 | 27,9 | 64,9 | 67,1 | 3,8786 | 0,0153 | 11,058 | 0,00064 | 0,00032 | 0,00016 | 11,05961 | 0,00027 | 0,001245 | 0,007158 | 0,0087 | 0,00078 |
| 14,15 | 34,5 | 24 | 55,4 | 3,8901 | 0,0081 | 28,7 | 65 | 70 | 3,878 | 0,0158 | 11,058 | 0,00076 | 0,00032 | 0,00012 | 11,05969 | 0,00043 | 0,001245 | 0,007158 | 0,0088 | 0,00080 |
| 14,30 | 33,4 | 24,2 | 53,3 | 3,8867 | 0,0077 | 27,6 | 65,2 | 66,3 | 3,8746 | 0,0151 | 11,058 | 0,00059 | 0,00032 | 0,00018 | 11,05959 | 0,00021 | 0,001245 | 0,007158 | 0,0086 | 0,00078 |
| 14,45 | 33,8 | 24,4 | 54,5 | 3,8873 | 0,008 | 28 | 65,4 | 68 | 3,8752 | 0,0156 | 11,058 | 0,00065 | 0,00032 | 0,00013 | 11,05960 | 0,00029 | 0,001245 | 0,007158 | 0,0087 | 0,00078 |
| 15,00 | 33,9 | 24,6 | 54,8 | 3,8877 | 0,0081 | 28,1 | 65,6 | 68,3 | 3,8756 | 0,0157 | 11,058 | 0,00067 | 0,00032 | 0,00012 | 11,05960 | 0,00031 | 0,001245 | 0,007158 | 0,0087 | 0,00079 |

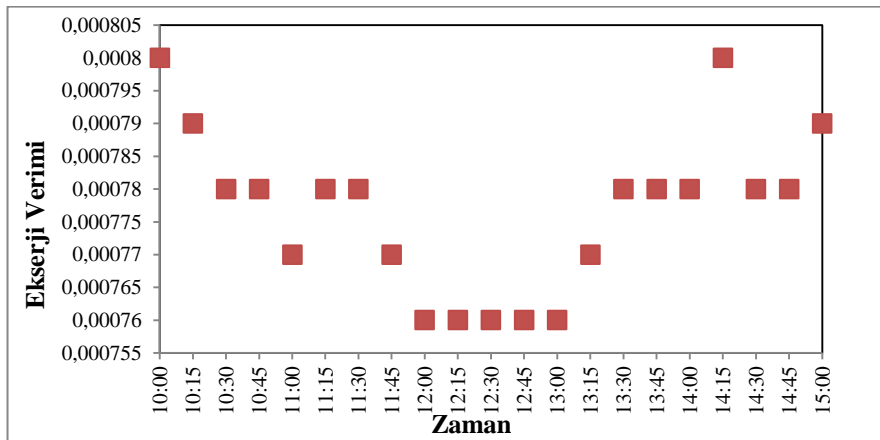
Şekil 6.29'da 90 mm ped kalınlığı ve 1,5 m/s hava giriş hızı için zamana bağlı olarak onbeşinci deney için teorik ve deneysel enerji verimi değişimi verilmiştir.



Şekil 6.29: 90 mm ped kalınlığı ve 1,5 m/s hava giriş hızı için deneysel ve teorik enerji verimi (Deney No 15)

Şekil 6.29'da görüldüğü gibi, teorik enerji verimi 0,387 ile 0,532 arasında değişirken deneysel enerji verimi 0,591 ile 0,594 arasında çok az değişmektedir.

Şekil 6.30'da 90 mm ped kalınlığı ve 1,5 m/s hava giriş hızı için zamana bağlı olarak deneysel olarak hesaplana ekserji verimi değişimi verilmiştir.



Şekil 6.30. 90 mm ped kalınlığı ve 1,5 m/s hava giriş hızı için deneysel ve teorik enerji verimi (Deney No 15)

Şekil 6.30'dan görüldüğü gibi, ekserji verimi ise 0,00076 ile 0,00080 arasında değişmektedir.

90 mm ped kalınlığı ve 1,2 m/s hava giriş hızı için yapılan birinci deneyin (Deney No 16) ölçüm sonuçları, termodinamik özelliklerini ve teorik ve deneysel olarak hesaplanan enerji verim değerleri ve ekserji analiz değerleri sırasıyla Çizelge 6.31 ve Çizelge 6.32'de verilmiştir. Aynı şekilde benzer ped kalınlığı ve hava giriş hızı için tekrarlanan ikinci (Deney No 17) ve üçüncü (Deney No 18) için enerji ve ekserji analizi ve ölçüm sonuçları sırasıyla Çizelge 6.33, 6.34, 6.35 ve 6.36'da verilmiştir.

Her üç deneyde de $\dot{m}_w=0,01344$, $\dot{m}_a=0,001532$, $T_w=22,1$ °C, 1 atm sabit alınmıştır.



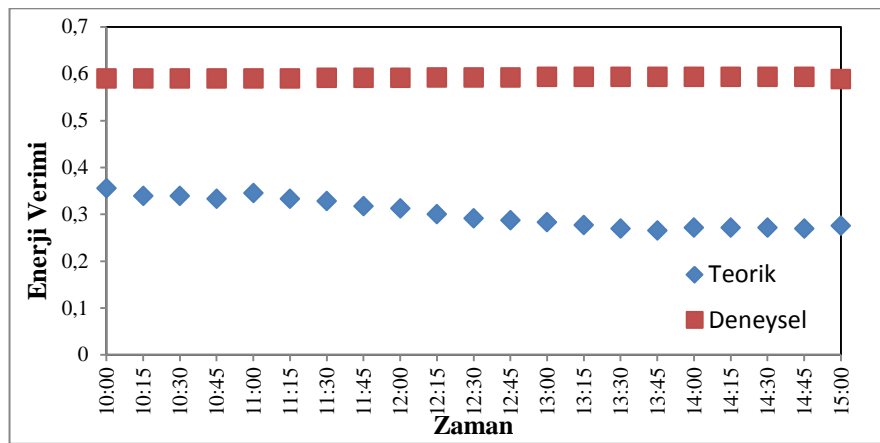
Çizelge 6.31. : Deney No 16, 90 mm, 1,2 m/s Ölçüm Sonuçları ($m_w=0,01344$ kg, $m_a=0,001532$ kg $T_w=22,1$ °C, 1 atm sabit alınmıştır.)

| Zaman | $T_{dh,a}$ (°C) | W_a (%) | h_a (kj/kg) | S_a (Kj/Kg-K) | $T_{wh,a}$ (°C) | $T_{dh,b}$ (°C) | W_b (%) | H_b (kj/kg) | S_b (Kj/Kg-K) | P_u (Kg/m³) | K_u (kJ/Kg.K) | μ_u (Kg/m.s) | Re | Pr | h_c (Kj/Kg.K) | Deneysel verim | Teorik verim | Verim farkı |
|-------|-----------------|-----------|---------------|-----------------|-----------------|-----------------|-----------|---------------|-----------------|---------------|-----------------|------------------|--------|--------|-----------------|----------------|--------------|-------------|
| 10,00 | 27,5 | 29,9 | 45,9 | 3,8839 | 16,5 | 23,6 | 67,9 | 56,2 | 3,8718 | 1,17450 | 0,02570 | 0,0000186 | 204,80 | 0,7289 | 39,68 | 0,590 | 0,355 | 0,398 |
| 10,15 | 27,9 | 29,3 | 45,8 | 3,8788 | 16,4 | 24 | 67,3 | 56,6 | 3,8667 | 1,17293 | 0,02572 | 0,0000186 | 204,32 | 0,7287 | 39,65 | 0,590 | 0,339 | 0,425 |
| 10,30 | 28 | 29,3 | 45,9 | 3,8781 | 16,5 | 24,1 | 67,3 | 56,9 | 3,866 | 1,17253 | 0,02573 | 0,0000186 | 204,20 | 0,7287 | 39,65 | 0,590 | 0,339 | 0,425 |
| 10,45 | 28,4 | 29 | 46,5 | 3,8802 | 16,7 | 24,5 | 67 | 57,8 | 3,8681 | 1,17096 | 0,02576 | 0,0000186 | 203,72 | 0,7286 | 39,62 | 0,590 | 0,333 | 0,436 |
| 11,00 | 27,8 | 27,9 | 44,7 | 3,8778 | 16,5 | 23,9 | 65,9 | 55,4 | 3,8657 | 1,17332 | 0,02572 | 0,0000186 | 204,44 | 0,7288 | 39,66 | 0,590 | 0,345 | 0,415 |
| 11,15 | 28 | 28,3 | 45,4 | 3,8805 | 16,3 | 24,1 | 66,3 | 56,4 | 3,8684 | 1,17253 | 0,02573 | 0,0000186 | 204,20 | 0,7287 | 39,65 | 0,590 | 0,333 | 0,436 |
| 11,30 | 28,7 | 28,2 | 46,9 | 3,8822 | 16,8 | 24,8 | 66,2 | 58,4 | 3,8701 | 1,16978 | 0,02578 | 0,0000187 | 203,36 | 0,7285 | 39,59 | 0,591 | 0,328 | 0,445 |
| 11,45 | 29,2 | 27 | 47,1 | 3,8867 | 16,9 | 25,3 | 65 | 59,2 | 3,8746 | 1,16781 | 0,02582 | 0,0000187 | 202,76 | 0,7284 | 39,55 | 0,591 | 0,317 | 0,464 |
| 12,00 | 30,3 | 27,8 | 49,8 | 3,8846 | 17,8 | 26,4 | 65,8 | 63,1 | 3,8725 | 1,16349 | 0,02590 | 0,0000187 | 201,46 | 0,7281 | 39,47 | 0,591 | 0,312 | 0,472 |
| 12,15 | 31,4 | 27,1 | 51,6 | 3,8792 | 18,4 | 27,5 | 65,1 | 66,3 | 3,8671 | 1,15916 | 0,02598 | 0,0000188 | 200,16 | 0,7278 | 39,38 | 0,592 | 0,300 | 0,493 |
| 12,30 | 31,9 | 26,3 | 52,2 | 3,8795 | 18,5 | 28 | 64,3 | 67,6 | 3,8674 | 1,15719 | 0,02602 | 0,0000188 | 199,57 | 0,7276 | 39,34 | 0,592 | 0,291 | 0,508 |
| 12,45 | 32,3 | 25,9 | 52,8 | 3,8809 | 18,7 | 28,4 | 63,9 | 68,8 | 3,8688 | 1,15562 | 0,02605 | 0,0000188 | 199,11 | 0,7275 | 39,31 | 0,592 | 0,287 | 0,515 |
| 13,00 | 33,3 | 26 | 55,1 | 3,8812 | 19,5 | 29,4 | 64 | 72,4 | 3,8691 | 1,15169 | 0,02612 | 0,0000189 | 197,94 | 0,7273 | 39,23 | 0,593 | 0,283 | 0,523 |
| 13,15 | 33,5 | 25,1 | 54,8 | 3,8809 | 19,4 | 29,6 | 63,1 | 72,3 | 3,8688 | 1,15090 | 0,02614 | 0,0000189 | 197,70 | 0,7272 | 39,22 | 0,593 | 0,277 | 0,533 |
| 13,30 | 33,6 | 23,8 | 53,9 | 3,8826 | 19,1 | 29,7 | 61,8 | 71,9 | 3,8705 | 1,15051 | 0,02615 | 0,0000189 | 197,59 | 0,7272 | 39,21 | 0,593 | 0,269 | 0,546 |
| 13,45 | 34,4 | 23,9 | 55,7 | 3,8829 | 19,7 | 30,5 | 61,9 | 74,8 | 3,8708 | 1,14736 | 0,02621 | 0,0000189 | 196,66 | 0,7270 | 39,15 | 0,593 | 0,265 | 0,398 |
| 14,00 | 33,3 | 24,1 | 53,3 | 3,8907 | 18,9 | 29,4 | 62,1 | 71,1 | 3,8786 | 1,15169 | 0,02612 | 0,0000189 | 197,94 | 0,7273 | 39,23 | 0,593 | 0,271 | 0,425 |
| 14,15 | 33,7 | 24,3 | 54,5 | 3,8901 | 19,3 | 29,8 | 62,3 | 72,5 | 3,878 | 1,15011 | 0,02615 | 0,0000189 | 197,47 | 0,7272 | 39,20 | 0,593 | 0,271 | 0,425 |
| 14,30 | 33,8 | 24,5 | 54,9 | 3,8867 | 19,4 | 29,9 | 62,5 | 73,1 | 3,8746 | 1,14972 | 0,02616 | 0,0000189 | 197,35 | 0,7271 | 39,20 | 0,593 | 0,271 | 0,436 |
| 14,45 | 33,9 | 24,5 | 55 | 3,8873 | 19,4 | 30 | 62,5 | 73,5 | 3,8752 | 1,14933 | 0,02617 | 0,0000189 | 197,24 | 0,7271 | 39,19 | 0,593 | 0,269 | 0,415 |
| 15,00 | 33,7 | 24,7 | 55,1 | 3,8877 | 19,5 | 29,8 | 62,7 | 72,8 | 3,8756 | 1,16400 | 0,02588 | 0,0000189 | 199,86 | 0,7272 | 39,17 | 0,588 | 0,275 | 0,436 |

Çizelge 6.32. : Deney No 16, 90 mm, 1,2 m/s Ölçüm Sonuçları ($m_w=0,01344$ kg, $m_a=0,001532$ kg $T_w=22,1$ °C, 1 atm sabit alınmıştır.)

| Zaman | $T_{db,a}$ (°C) | W_a (%) | h_a (kj/kg) | S_a (Kj/Kg-K) | W_a | $T_{db,b}$ (°C) | W_b (%) | H_b (kj/kg) | S_b (Kj/Kg-K) | W_b | $\Psi_{water,a}$ | $\Psi_{termal,a}$ | $\Psi_{mekanika}$ | $\Psi_{kimyasal,a}$ | $\Psi_{toplama,a}$ | $\Psi_{termal,b}$ | $\Psi_{mekanik,b}$ | $\Psi_{kimyasal,b}$ | $\Psi_{toplama,b}$ | $Eksjeri$ $v erim$ |
|-------|-----------------|-----------|------------------|--------------------|--------|-----------------|-----------|------------------|--------------------|--------|------------------|-------------------|-------------------|---------------------|--------------------|-------------------|--------------------|---------------------|--------------------|-----------------------|
| 10,00 | 27,5 | 29,9 | 45,9 | 3,8839 | 0,0071 | 23,6 | 67,9 | 56,2 | 3,8718 | 0,0133 | 11,057 | 0,00002 | 0,00010 | 0,00009 | 11,05765 | 0,00005 | 0,001009 | 0,002267 | 0,0033 | 0,00030 |
| 10,15 | 27,9 | 29,3 | 45,8 | 3,8788 | 0,0069 | 24 | 67,3 | 56,6 | 3,8667 | 0,0116 | 11,057 | 0,00002 | 0,00010 | 0,00011 | 11,05767 | 0,00003 | 0,001009 | 0,002267 | 0,0033 | 0,00030 |
| 10,30 | 28 | 29,3 | 45,9 | 3,8781 | 0,0069 | 24,1 | 67,3 | 56,9 | 3,866 | 0,0128 | 11,057 | 0,00002 | 0,00010 | 0,00011 | 11,05767 | 0,00002 | 0,001009 | 0,002267 | 0,0033 | 0,00030 |
| 10,45 | 28,4 | 29 | 46,5 | 3,8802 | 0,007 | 24,5 | 67 | 57,8 | 3,8681 | 0,013 | 11,057 | 0,00003 | 0,00010 | 0,00010 | 11,05767 | 0,00001 | 0,001009 | 0,002267 | 0,0033 | 0,00030 |
| 11,00 | 27,8 | 27,9 | 44,7 | 3,8778 | 0,0065 | 23,9 | 65,9 | 55,4 | 3,8657 | 0,0123 | 11,057 | 0,00002 | 0,00010 | 0,00014 | 11,05770 | 0,00003 | 0,001009 | 0,002267 | 0,0033 | 0,00030 |
| 11,15 | 28 | 28,3 | 45,4 | 3,8805 | 0,0067 | 24,1 | 66,3 | 56,4 | 3,8684 | 0,0126 | 11,057 | 0,00002 | 0,00010 | 0,00012 | 11,05769 | 0,00002 | 0,001009 | 0,002267 | 0,0033 | 0,00030 |
| 11,30 | 28,7 | 28,2 | 46,9 | 3,8822 | 0,007 | 24,8 | 66,2 | 58,4 | 3,8701 | 0,0131 | 11,057 | 0,00004 | 0,00010 | 0,00010 | 11,05768 | 0,00000 | 0,001009 | 0,002267 | 0,0033 | 0,00030 |
| 11,45 | 29,2 | 27 | 47,1 | 3,8867 | 0,0069 | 25,3 | 65 | 59,2 | 3,8746 | 0,0132 | 11,057 | 0,00005 | 0,00010 | 0,00011 | 11,05770 | 0,00000 | 0,001009 | 0,002267 | 0,0033 | 0,00030 |
| 12,00 | 30,3 | 27,8 | 49,8 | 3,8846 | 0,0075 | 26,4 | 65,8 | 63,1 | 3,8725 | 0,0143 | 11,057 | 0,00007 | 0,00010 | 0,00007 | 11,05768 | 0,00005 | 0,001009 | 0,002267 | 0,0033 | 0,00030 |
| 12,15 | 31,4 | 27,1 | 51,6 | 3,8792 | 0,0078 | 27,5 | 65,1 | 66,3 | 3,8671 | 0,0151 | 11,057 | 0,00011 | 0,00010 | 0,00005 | 11,05770 | 0,00016 | 0,001009 | 0,002267 | 0,0034 | 0,00031 |
| 12,30 | 31,9 | 26,3 | 52,2 | 3,8795 | 0,0078 | 28 | 64,3 | 67,6 | 3,8674 | 0,0154 | 11,057 | 0,00013 | 0,00010 | 0,00005 | 11,05772 | 0,00023 | 0,001009 | 0,002267 | 0,0035 | 0,00032 |
| 12,45 | 32,3 | 25,9 | 52,8 | 3,8809 | 0,0079 | 28,4 | 63,9 | 68,8 | 3,8688 | 0,0157 | 11,057 | 0,00014 | 0,00010 | 0,00005 | 11,05773 | 0,00030 | 0,001009 | 0,002267 | 0,0036 | 0,00032 |
| 13,00 | 33,3 | 26 | 55,1 | 3,8812 | 0,0084 | 29,4 | 64 | 72,4 | 3,8691 | 0,0167 | 11,057 | 0,00018 | 0,00010 | 0,00002 | 11,05775 | 0,00050 | 0,001009 | 0,002267 | 0,0038 | 0,00034 |
| 13,15 | 33,5 | 25,1 | 54,8 | 3,8809 | 0,0082 | 29,6 | 63,1 | 72,3 | 3,8688 | 0,0166 | 11,057 | 0,00019 | 0,00010 | 0,00003 | 11,05777 | 0,00055 | 0,001009 | 0,002267 | 0,0038 | 0,00034 |
| 13,30 | 33,6 | 23,8 | 53,9 | 3,8826 | 0,0078 | 29,7 | 61,8 | 71,9 | 3,8705 | 0,0164 | 11,057 | 0,00019 | 0,00010 | 0,00005 | 11,05779 | 0,00057 | 0,001009 | 0,002267 | 0,0038 | 0,00035 |
| 13,45 | 34,4 | 23,9 | 55,7 | 3,8829 | 0,0082 | 30,5 | 61,9 | 74,8 | 3,8708 | 0,0172 | 11,057 | 0,00023 | 0,00010 | 0,00003 | 11,05781 | 0,00078 | 0,001009 | 0,002267 | 0,0041 | 0,00037 |
| 14,00 | 33,3 | 24,1 | 53,3 | 3,8907 | 0,0077 | 29,4 | 62,1 | 71,1 | 3,8786 | 0,0162 | 11,057 | 0,00018 | 0,00010 | 0,00006 | 11,05778 | 0,00050 | 0,001009 | 0,002267 | 0,0038 | 0,00034 |
| 14,15 | 33,7 | 24,3 | 54,5 | 3,8901 | 0,008 | 29,8 | 62,3 | 72,5 | 3,878 | 0,0166 | 11,057 | 0,00020 | 0,00010 | 0,00004 | 11,05778 | 0,00059 | 0,001009 | 0,002267 | 0,0039 | 0,00035 |
| 14,30 | 33,8 | 24,5 | 54,9 | 3,8867 | 0,0081 | 29,9 | 62,5 | 73,1 | 3,8746 | 0,0168 | 11,057 | 0,00020 | 0,00010 | 0,00004 | 11,05778 | 0,00062 | 0,001009 | 0,002267 | 0,0039 | 0,00035 |
| 14,45 | 33,9 | 24,5 | 55 | 3,8873 | 0,0081 | 30 | 62,5 | 73,5 | 3,8752 | 0,0169 | 11,057 | 0,00021 | 0,00010 | 0,00004 | 11,05779 | 0,00065 | 0,001009 | 0,002267 | 0,0039 | 0,00035 |
| 15,00 | 33,7 | 24,7 | 55,1 | 3,8877 | 0,0082 | 29,8 | 62,7 | 72,8 | 3,8756 | 0,0167 | 11,057 | 0,00020 | 0,00010 | 0,00003 | 11,05777 | 0,00060 | 0,001009 | 0,002267 | 0,0039 | 0,00035 |

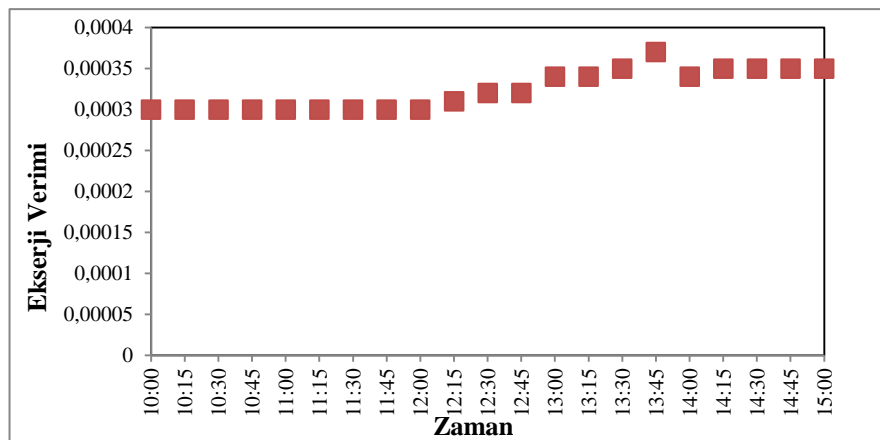
Şekil 6.31'da 90 mm ped kalınlığı ve 1,2 m/s hava giriş hızı için zamana bağlı olarak onaltıncı deney için teorik ve deneysel enerji verimi değişimi verilmiştir.



Şekil 6.31: 90 mm ped kalınlığı ve 1,2 m/s hava giriş hızı için deneysel ve teorik enerji verimi (Deney No 16)

Şekil 6.31'de görüldüğü gibi, teorik enerji verimi 0,265 ile 0,355 arasında değişirken deneysel enerji verimi 0,588 ile 0,593 arasında çok az değişmektedir.

Şekil 6.32'de 90 mm ped kalınlığı ve 1,2 m/s hava giriş hızı için zamana bağlı olarak deneysel olarak hesaplanan ekserji verimi değişimi verilmiştir.



Şekil 6.32. 90 mm ped kalınlığı ve 1,2 m/s hava giriş hızı için deneysel ve teorik enerji verimi (Deney No 16)

Şekil 6.32'den görüldüğü gibi, ekserji verimi ise 0,0003 ile 0,00037 arasında değişmektedir.

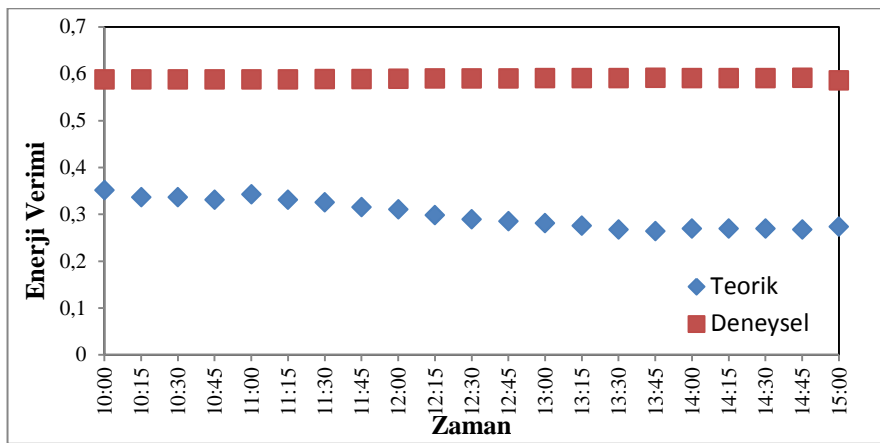
Çizelge 6.33. : Deney No 17, 90 mm, 1,2 m/s Ölçüm Sonuçları ($m_w=0,01344$ kg, $m_a=0,001532$ kg $T_w=22,1$ °C, 1 atm sabit alınmıştır.)

| Zaman | $T_{db,a}$ (°C) | W_a (%) | h_a (kJ/kg) | S_a (KJ/Kg·K) | $T_{wh,a}$ | $T_{db,b}$ (°C) | W_b (%) | H_b (kJ/kg) | S_b (KJ/Kg·K) | P_u (Kg/m³) | K_u (kJ/Kg·K) | μ_u (Kg/m.s) | Re | Pr | h_c (KJ/Kg.K) | Deneysel verim | Teorik verim | Verim farkı |
|-------|-----------------|-----------|---------------|-----------------|------------|-----------------|-----------|---------------|-----------------|---------------|-----------------|------------------|--------|--------|-----------------|----------------|--------------|-------------|
| 10,00 | 27,6 | 31 | 45,9 | 3,8839 | 16,5 | 23,7 | 69 | 56,2 | 3,8718 | 1,17411 | 0,02570 | 0,0000186 | 204,68 | 0,7288 | 39,68 | 0,58740 | 0,351 | 0,402 |
| 10,15 | 28 | 29,4 | 45,8 | 3,8788 | 16,4 | 24,1 | 67,4 | 56,6 | 3,8667 | 1,17253 | 0,02573 | 0,0000186 | 204,20 | 0,7287 | 39,65 | 0,58761 | 0,336 | 0,428 |
| 10,30 | 28,1 | 29,4 | 45,9 | 3,8781 | 16,5 | 24,2 | 67,4 | 56,9 | 3,866 | 1,17214 | 0,02574 | 0,0000186 | 204,08 | 0,7287 | 39,64 | 0,58766 | 0,336 | 0,428 |
| 10,45 | 28,5 | 29,1 | 46,5 | 3,8802 | 16,7 | 24,6 | 67,1 | 57,8 | 3,8681 | 1,17057 | 0,02577 | 0,0000186 | 203,60 | 0,7286 | 39,61 | 0,58787 | 0,331 | 0,437 |
| 11,00 | 27,9 | 28 | 44,7 | 3,8778 | 16,5 | 24 | 66 | 55,4 | 3,8657 | 1,17293 | 0,02572 | 0,0000186 | 204,32 | 0,7287 | 39,65 | 0,58756 | 0,342 | 0,418 |
| 11,15 | 28,1 | 28,4 | 45,4 | 3,8805 | 16,3 | 24,2 | 66,4 | 56,4 | 3,8684 | 1,17214 | 0,02574 | 0,0000186 | 204,08 | 0,7287 | 39,64 | 0,58766 | 0,331 | 0,437 |
| 11,30 | 28,8 | 28,3 | 46,9 | 3,8822 | 16,8 | 24,9 | 66,3 | 58,4 | 3,8701 | 1,16939 | 0,02579 | 0,0000187 | 203,24 | 0,7285 | 39,58 | 0,58803 | 0,325 | 0,447 |
| 11,45 | 29,3 | 27,1 | 47,1 | 3,8867 | 16,9 | 25,4 | 65,1 | 59,2 | 3,8746 | 1,16742 | 0,02583 | 0,0000187 | 202,65 | 0,7284 | 39,55 | 0,58828 | 0,315 | 0,465 |
| 12,00 | 30,4 | 27,9 | 49,8 | 3,8846 | 17,8 | 26,5 | 65,9 | 63,1 | 3,8725 | 1,16309 | 0,02591 | 0,0000187 | 201,34 | 0,7281 | 39,46 | 0,58886 | 0,310 | 0,474 |
| 12,15 | 31,5 | 27,2 | 51,6 | 3,8792 | 18,4 | 27,6 | 65,2 | 66,3 | 3,8671 | 1,15877 | 0,02599 | 0,0000188 | 200,04 | 0,7278 | 39,38 | 0,58943 | 0,298 | 0,494 |
| 12,30 | 32 | 26,4 | 52,2 | 3,8795 | 18,5 | 28,1 | 64,4 | 67,6 | 3,8674 | 1,15680 | 0,02603 | 0,0000188 | 199,46 | 0,7276 | 39,34 | 0,58949 | 0,289 | 0,510 |
| 12,45 | 32,4 | 26 | 52,8 | 3,8809 | 18,7 | 28,5 | 64 | 68,8 | 3,8688 | 1,15523 | 0,02606 | 0,0000188 | 198,99 | 0,7275 | 39,31 | 0,58948 | 0,285 | 0,517 |
| 13,00 | 33,4 | 26,1 | 55,1 | 3,8812 | 19,5 | 29,5 | 64,1 | 72,4 | 3,8691 | 1,15129 | 0,02613 | 0,0000189 | 197,82 | 0,7272 | 39,23 | 0,59041 | 0,281 | 0,524 |
| 13,15 | 33,6 | 25,2 | 54,8 | 3,8809 | 19,4 | 29,7 | 63,2 | 72,3 | 3,8688 | 1,15051 | 0,02615 | 0,0000189 | 197,59 | 0,7272 | 39,21 | 0,59042 | 0,275 | 0,534 |
| 13,30 | 33,7 | 23,9 | 53,9 | 3,8826 | 19,1 | 29,8 | 61,9 | 71,9 | 3,8705 | 1,15011 | 0,02615 | 0,0000189 | 197,47 | 0,7272 | 39,20 | 0,59057 | 0,267 | 0,548 |
| 13,45 | 34,5 | 24 | 55,7 | 3,8829 | 19,7 | 30,6 | 62 | 74,8 | 3,8708 | 1,14697 | 0,02621 | 0,0000189 | 196,54 | 0,7269 | 39,14 | 0,59098 | 0,264 | 0,402 |
| 14,00 | 33,4 | 24,2 | 53,3 | 3,8907 | 18,9 | 29,5 | 62,2 | 71,1 | 3,8786 | 1,15129 | 0,02613 | 0,0000189 | 197,82 | 0,7272 | 39,23 | 0,59041 | 0,269 | 0,428 |
| 14,15 | 33,8 | 24,4 | 54,5 | 3,8901 | 19,3 | 29,9 | 62,4 | 72,5 | 3,878 | 1,14972 | 0,02616 | 0,0000189 | 197,35 | 0,7271 | 39,20 | 0,59062 | 0,269 | 0,428 |
| 14,30 | 33,9 | 24,6 | 54,9 | 3,8867 | 19,4 | 30 | 62,6 | 73,1 | 3,8746 | 1,14933 | 0,02617 | 0,0000189 | 197,24 | 0,7271 | 39,19 | 0,59067 | 0,269 | 0,437 |
| 14,45 | 34 | 24,6 | 55 | 3,8873 | 19,4 | 30,1 | 62,6 | 73,5 | 3,8752 | 1,14893 | 0,02618 | 0,0000189 | 197,12 | 0,7271 | 39,18 | 0,59072 | 0,267 | 0,418 |
| 15,00 | 33,8 | 24,8 | 55,1 | 3,8877 | 19,5 | 29,9 | 62,8 | 72,8 | 3,8756 | 1,16400 | 0,02588 | 0,0000189 | 199,81 | 0,7271 | 39,16 | 0,58575 | 0,273 | 0,437 |

Çizelge 6.34. : Deney No 17, 90 mm, 1,2 m/s Ölçüm Sonuçları ($m_w=0,01344$ kg, $m_a=0,001532$ kg $T_w=22,1$ °C, 1 atm sabit alınmıştır.)

| Zaman | $T_{dh,a}$ (°C) | W_a (%) | h_a (kj/kg) | S_a (Kj/Kg-K) | W_a | $T_{dh,b}$ (°C) | W_b (%) | H_b (kj/kg) | S_b (Kj/Kg-K) | W_b | $\Psi_{water,a}$ | $\Psi_{termal,a}$ | $\Psi_{mekanik,a}$ | $\Psi_{kimyasal,a}$ | $\Psi_{toplama,a}$ | $\Psi_{termal,b}$ | $\Psi_{mekanik,b}$ | $\Psi_{kimyasal,b}$ | $\Psi_{toplama,b}$ | Eksjeri verim |
|-------|-----------------|-----------|---------------|-----------------|--------|-----------------|-----------|---------------|-----------------|--------|------------------|-------------------|--------------------|---------------------|--------------------|-------------------|--------------------|---------------------|--------------------|---------------|
| 10,00 | 27,5 | 31 | 45,9 | 3,8839 | 0,0071 | 23,7 | 69 | 56,2 | 3,8718 | 0,0133 | 11,057 | 0,000017 | 0,00010 | 0,00009 | 11,05765 | 0,00005 | 0,00109 | 0,002267 | 0,0033 | 0,00030 |
| 10,15 | 27,9 | 29,4 | 45,8 | 3,8788 | 0,0069 | 24,1 | 67,4 | 56,6 | 3,8667 | 0,0116 | 11,057 | 0,000022 | 0,00010 | 0,00011 | 11,05767 | 0,00003 | 0,00109 | 0,002267 | 0,0033 | 0,00030 |
| 10,30 | 28,1 | 29,4 | 45,9 | 3,8781 | 0,0069 | 24,2 | 67,4 | 56,9 | 3,866 | 0,0128 | 11,057 | 0,000025 | 0,00010 | 0,00011 | 11,05767 | 0,00002 | 0,00109 | 0,002267 | 0,0033 | 0,00030 |
| 10,45 | 28,5 | 29,1 | 46,5 | 3,8802 | 0,007 | 24,6 | 67,1 | 57,8 | 3,8681 | 0,013 | 11,057 | 0,000032 | 0,00010 | 0,00010 | 11,05767 | 0,00000 | 0,00109 | 0,002267 | 0,0033 | 0,00030 |
| 11,00 | 27,9 | 28 | 44,7 | 3,8778 | 0,0065 | 24 | 66 | 55,4 | 3,8657 | 0,0123 | 11,057 | 0,000022 | 0,00010 | 0,00014 | 11,05770 | 0,00003 | 0,00109 | 0,002267 | 0,0033 | 0,00030 |
| 11,15 | 28,1 | 28,4 | 45,4 | 3,8805 | 0,0067 | 24,2 | 66,4 | 56,4 | 3,8684 | 0,0126 | 11,057 | 0,000025 | 0,00010 | 0,00012 | 11,05769 | 0,00002 | 0,00109 | 0,002267 | 0,0033 | 0,00030 |
| 11,30 | 28,8 | 28,3 | 46,9 | 3,8802 | 0,007 | 24,9 | 66,3 | 58,4 | 3,8701 | 0,0131 | 11,057 | 0,000038 | 0,00010 | 0,00010 | 11,05768 | 0,00000 | 0,00109 | 0,002267 | 0,0033 | 0,00030 |
| 11,45 | 29,3 | 27,1 | 47,1 | 3,8867 | 0,0069 | 25,4 | 65,1 | 59,2 | 3,8746 | 0,0132 | 11,057 | 0,000049 | 0,00010 | 0,00011 | 11,05770 | 0,00001 | 0,00109 | 0,002267 | 0,0033 | 0,00030 |
| 12,00 | 30,4 | 27,9 | 49,8 | 3,8846 | 0,0075 | 26,5 | 65,9 | 63,1 | 3,8725 | 0,0143 | 11,057 | 0,000077 | 0,00010 | 0,00007 | 11,05769 | 0,00006 | 0,00109 | 0,002267 | 0,0033 | 0,00030 |
| 12,15 | 31,5 | 27,2 | 51,6 | 3,8792 | 0,0078 | 27,6 | 65,2 | 66,3 | 3,8671 | 0,0151 | 11,057 | 0,000111 | 0,00010 | 0,00005 | 11,05770 | 0,00018 | 0,00109 | 0,002267 | 0,0035 | 0,00031 |
| 12,30 | 32 | 26,4 | 52,2 | 3,8795 | 0,0078 | 28,1 | 64,4 | 67,6 | 3,8674 | 0,0154 | 11,057 | 0,000129 | 0,00010 | 0,00005 | 11,05772 | 0,00025 | 0,00109 | 0,002267 | 0,0035 | 0,00032 |
| 12,45 | 32,4 | 26 | 52,8 | 3,8809 | 0,0079 | 28,5 | 64 | 68,8 | 3,8688 | 0,0157 | 11,057 | 0,000144 | 0,00010 | 0,00005 | 11,05773 | 0,00032 | 0,00109 | 0,002267 | 0,0036 | 0,00032 |
| 13,00 | 33,4 | 26,1 | 55,1 | 3,8812 | 0,0084 | 29,5 | 64,1 | 72,4 | 3,8691 | 0,0167 | 11,057 | 0,000185 | 0,00010 | 0,00002 | 11,05775 | 0,00052 | 0,00109 | 0,002267 | 0,0038 | 0,00034 |
| 13,15 | 33,6 | 25,2 | 54,8 | 3,8809 | 0,0082 | 29,7 | 63,2 | 72,3 | 3,8688 | 0,0166 | 11,057 | 0,000194 | 0,00010 | 0,00003 | 11,05777 | 0,00057 | 0,00109 | 0,002267 | 0,0038 | 0,00035 |
| 13,30 | 33,6 | 23,9 | 53,9 | 3,8826 | 0,0078 | 29,8 | 61,9 | 71,9 | 3,8705 | 0,0164 | 11,057 | 0,000194 | 0,00010 | 0,00005 | 11,05779 | 0,00057 | 0,00109 | 0,002267 | 0,0038 | 0,00035 |
| 13,45 | 34,5 | 24 | 55,7 | 3,8829 | 0,0082 | 30,6 | 62 | 74,8 | 3,8708 | 0,0172 | 11,057 | 0,000236 | 0,00010 | 0,00003 | 11,05781 | 0,00081 | 0,00109 | 0,002267 | 0,0041 | 0,00037 |
| 14,00 | 33,4 | 24,2 | 53,3 | 3,8907 | 0,0077 | 29,5 | 62,2 | 71,1 | 3,8786 | 0,0162 | 11,057 | 0,000185 | 0,00010 | 0,00006 | 11,05778 | 0,00052 | 0,00109 | 0,002267 | 0,0038 | 0,00034 |
| 14,15 | 33,8 | 24,4 | 54,5 | 3,8901 | 0,008 | 29,9 | 62,4 | 72,5 | 3,878 | 0,0166 | 11,057 | 0,000203 | 0,00010 | 0,00004 | 11,05779 | 0,00062 | 0,00109 | 0,002267 | 0,0039 | 0,00035 |
| 14,30 | 33,9 | 24,6 | 54,9 | 3,8867 | 0,0081 | 30 | 62,6 | 73,1 | 3,8746 | 0,0168 | 11,057 | 0,000207 | 0,00010 | 0,00004 | 11,05779 | 0,00065 | 0,00109 | 0,002267 | 0,0039 | 0,00035 |
| 14,45 | 34 | 24,6 | 55 | 3,8873 | 0,0081 | 30,1 | 62,6 | 73,5 | 3,8752 | 0,0169 | 11,057 | 0,000212 | 0,00010 | 0,00004 | 11,05779 | 0,00067 | 0,00109 | 0,002267 | 0,0039 | 0,00036 |
| 15,00 | 33,7 | 24,8 | 55,1 | 3,8877 | 0,0082 | 29,9 | 62,8 | 72,8 | 3,8756 | 0,0167 | 11,057 | 0,000198 | 0,00010 | 0,00003 | 11,05777 | 0,00060 | 0,00109 | 0,002267 | 0,0039 | 0,00035 |

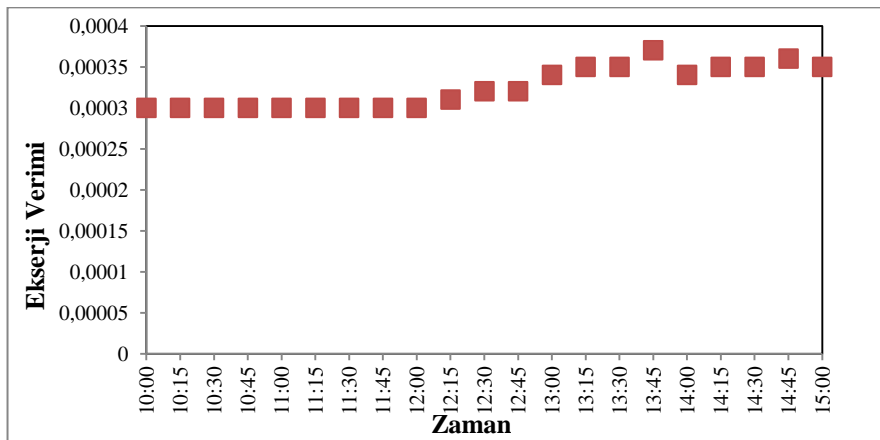
Şekil 6.33'de 90 mm ped kalınlığı ve 1,2 m/s hava giriş hızı için zamana bağlı olarak onyedinci deney için teorik ve deneysel enerji verimi değişimi verilmiştir.



Şekil 6.33: 90 mm ped kalınlığı ve 1,2 m/s hava giriş hızı için deneysel ve teorik enerji verimi (Deney No 17)

Şekil 6.33'de görüldüğü gibi, teorik enerji verimi 0,267 ile 0,351 arasında değişirken deneysel enerji verimi 0,58 ile 0,59 arasında çok az değişmektedir.

Şekil 6.34'de 90 mm ped kalınlığı ve 1,2 m/s hava giriş hızı için zamana bağlı olarak deneysel olarak hesaplanan ekserji verimi değişimi verilmiştir.



Şekil 6.34. 90 mm ped kalınlığı ve 1,2 m/s hava giriş hızı için deneysel ve teorik enerji verimi (Deney No 17)

Şekil 6.34'den görüldüğü gibi, ekserji verimi ise 0,0003 ile 0,00037 arasında değişmektedir.

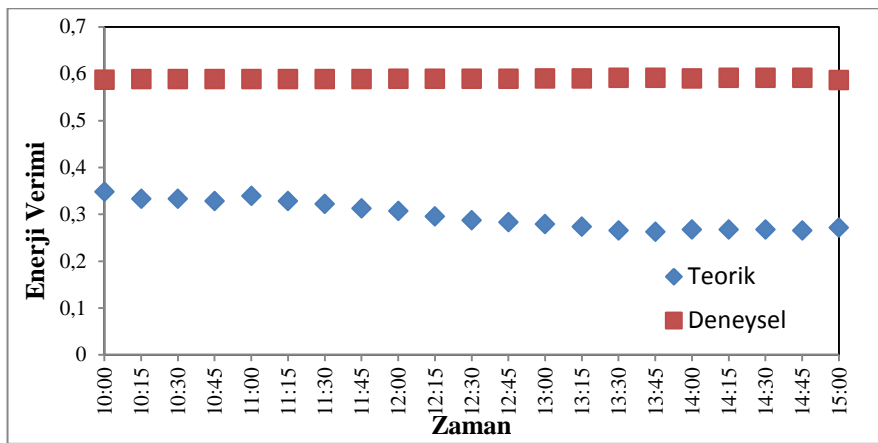
Çizelge 6.35. Deney No 18 :90 mm, 1,2 m/s Ölçüm Sonuçları ($m_w=0,01344$ kg , $m_a=0,001532$ kg $T_w=22,1$ °C ,1 atm sabit alınmıştır.)

| Zaman | $T_{dh,a}$ (°C) | W_a (%) | h_a (kJ/kg) | S_a (KJ/Kg·K) | $T_{wb,a}$ (°C) | $T_{dh,b}$ (°C) | Wb (%) | H_b (kJ/kg) | S_b (KJ/Kg·K) | P_a (Kg/m³) | K_u (kJ/Kg·K) | μ_a (Kg/m.s) | Re | Pr | h_c (kJ/Kg.K) | <i>Deneysel verim</i> | <i>Teorik verim</i> | Verim faktı |
|-------|-----------------|-----------|---------------|-----------------|-----------------|-----------------|----------|---------------|-----------------|---------------|-----------------|------------------|--------|--------|-----------------|-----------------------|---------------------|-------------|
| 10,00 | 27,8 | 31 | 45,9 | 3,8839 | 0,0071 | 23,9 | 69 | 56,2 | 3,8718 | 1,17332 | 0,02572 | 0,0000186 | 204,44 | 0,7288 | 39,66 | 0,587 | 0,348 | 0,407 |
| 10,15 | 28,2 | 29,4 | 45,8 | 3,8788 | 0,0069 | 24,3 | 67,4 | 56,6 | 3,8667 | 1,17175 | 0,02575 | 0,0000186 | 203,96 | 0,7287 | 39,63 | 0,588 | 0,333 | 0,434 |
| 10,30 | 28,3 | 29,4 | 45,9 | 3,8781 | 0,0069 | 24,4 | 67,4 | 56,9 | 3,866 | 1,17135 | 0,02575 | 0,0000186 | 203,84 | 0,7286 | 39,62 | 0,588 | 0,333 | 0,434 |
| 10,45 | 28,7 | 29,1 | 46,5 | 3,8802 | 0,007 | 24,8 | 67,1 | 57,8 | 3,8681 | 1,16978 | 0,02578 | 0,0000187 | 203,36 | 0,7285 | 39,59 | 0,588 | 0,328 | 0,442 |
| 11,00 | 28,1 | 28 | 44,7 | 3,8778 | 0,0065 | 24,2 | 66 | 55,4 | 3,8657 | 1,17214 | 0,02574 | 0,0000186 | 204,08 | 0,7287 | 39,64 | 0,588 | 0,339 | 0,423 |
| 11,15 | 28,3 | 28,4 | 45,4 | 3,8805 | 0,0067 | 24,4 | 66,4 | 56,4 | 3,8684 | 1,17135 | 0,02575 | 0,0000186 | 203,84 | 0,7286 | 39,62 | 0,588 | 0,328 | 0,442 |
| 11,30 | 29 | 28,3 | 46,9 | 3,8822 | 0,007 | 25,1 | 66,3 | 58,4 | 3,8701 | 1,16860 | 0,02581 | 0,0000187 | 203,00 | 0,7284 | 39,57 | 0,588 | 0,322 | 0,452 |
| 11,45 | 29,5 | 27,1 | 47,1 | 3,8867 | 0,0069 | 25,6 | 65,1 | 59,2 | 3,8746 | 1,16663 | 0,02584 | 0,0000187 | 202,41 | 0,7283 | 39,53 | 0,588 | 0,312 | 0,469 |
| 12,00 | 30,6 | 27,9 | 49,8 | 3,8846 | 0,0075 | 26,7 | 65,9 | 63,1 | 3,8725 | 1,16231 | 0,02592 | 0,0000187 | 201,10 | 0,7280 | 39,45 | 0,589 | 0,307 | 0,479 |
| 12,15 | 31,7 | 27,2 | 51,6 | 3,8792 | 0,0078 | 27,8 | 65,2 | 66,3 | 3,8671 | 1,15798 | 0,02601 | 0,0000188 | 199,81 | 0,7277 | 39,36 | 0,589 | 0,295 | 0,499 |
| 12,30 | 32,2 | 26,4 | 52,2 | 3,8795 | 0,0078 | 28,3 | 64,4 | 67,6 | 3,8674 | 1,15601 | 0,02604 | 0,0000188 | 199,22 | 0,7276 | 39,32 | 0,589 | 0,287 | 0,513 |
| 12,45 | 32,6 | 26 | 52,8 | 3,8809 | 0,0079 | 28,7 | 64 | 68,8 | 3,8688 | 1,15444 | 0,02607 | 0,0000188 | 198,75 | 0,7275 | 39,29 | 0,589 | 0,283 | 0,520 |
| 13,00 | 33,6 | 26,1 | 55,1 | 3,8812 | 0,0084 | 29,7 | 64,1 | 72,4 | 3,8691 | 1,15051 | 0,02615 | 0,0000189 | 197,59 | 0,7272 | 39,21 | 0,590 | 0,279 | 0,527 |
| 13,15 | 33,8 | 25,2 | 54,8 | 3,8809 | 0,0082 | 29,9 | 63,2 | 72,3 | 3,8688 | 1,14972 | 0,02616 | 0,0000189 | 197,35 | 0,7271 | 39,20 | 0,590 | 0,273 | 0,537 |
| 13,30 | 33,9 | 23,9 | 53,9 | 3,8826 | 0,0078 | 30 | 61,9 | 71,9 | 3,8705 | 1,14933 | 0,02617 | 0,0000189 | 197,24 | 0,7271 | 39,19 | 0,591 | 0,265 | 0,552 |
| 13,45 | 34,7 | 24 | 55,7 | 3,8829 | 0,0082 | 30,8 | 62 | 74,8 | 3,8708 | 1,14618 | 0,02623 | 0,0000189 | 196,31 | 0,7269 | 39,12 | 0,591 | 0,262 | 0,407 |
| 14,00 | 33,6 | 24,2 | 53,3 | 3,8907 | 0,0077 | 29,7 | 62,2 | 71,1 | 3,8786 | 1,15051 | 0,02615 | 0,0000189 | 197,59 | 0,7272 | 39,21 | 0,590 | 0,267 | 0,434 |
| 14,15 | 34 | 24,4 | 54,5 | 3,8901 | 0,008 | 30,1 | 62,4 | 72,5 | 3,878 | 1,14893 | 0,02618 | 0,0000189 | 197,12 | 0,7271 | 39,18 | 0,591 | 0,267 | 0,434 |
| 14,30 | 34,1 | 24,6 | 54,9 | 3,8867 | 0,0081 | 30,2 | 62,6 | 73,1 | 3,8746 | 1,14854 | 0,02618 | 0,0000189 | 197,01 | 0,7270 | 39,17 | 0,591 | 0,267 | 0,442 |
| 14,45 | 34,2 | 24,6 | 55 | 3,8873 | 0,0081 | 30,3 | 62,6 | 73,5 | 3,8752 | 1,14815 | 0,02619 | 0,0000189 | 196,89 | 0,7270 | 39,16 | 0,591 | 0,265 | 0,423 |
| 15,00 | 34 | 24,8 | 55,1 | 3,8877 | 0,0082 | 30,1 | 62,8 | 72,8 | 3,8756 | 1,16400 | 0,02588 | 0,0000189 | 199,71 | 0,7271 | 39,14 | 0,586 | 0,271 | 0,442 |

Çizelge 6.36. : Deney No 18, 90 mm, 1,2 m/s Ölçüm Sonuçları ($m_w=0,01344$ kg, $m_a=0,001532$ kg $T_w=22,1$ °C, 1 atm sabit alınmıştır.)

| Zaman | $T_{dh,a}$ (°C) | W_a (%) | h_a (kj/kg) | S_a ($Kj/Kg \cdot K$) | W_a | $T_{dh,b}$ (°C) | W_b (%) | H_b (kj/kg) | S_b ($Kj/Kg \cdot K$) | W_b | $\Psi_{wate,r,a}$ | $\Psi_{termal,a}$ | $\Psi_{mekanik,a}$ | $\Psi_{kimyasal,a}$ | $\Psi_{toplama,a}$ | $\Psi_{termal,b}$ | $\Psi_{mekanik,b}$ | $\Psi_{kimyasal,b}$ | $\Psi_{toplama,b}$ | Ekseni̇j verim |
|-------|-----------------|-----------|---------------|---------------------------|--------|-----------------|-----------|---------------|---------------------------|--------|-------------------|-------------------|--------------------|---------------------|--------------------|-------------------|--------------------|---------------------|--------------------|----------------|
| 10,00 | 27,5 | 31 | 45,9 | 3,8839 | 0,0071 | 23,9 | 69 | 56,2 | 3,8718 | 0,0133 | 11,057 | 0,00002 | 0,00010 | 0,00009 | 11,05766 | 0,00003 | 0,00109 | 0,002267 | 0,0033 | 0,00030 |
| 10,15 | 27,9 | 29,4 | 45,8 | 3,8788 | 0,0069 | 24,3 | 67,4 | 56,6 | 3,8667 | 0,0116 | 11,057 | 0,00003 | 0,00010 | 0,00011 | 11,05768 | 0,00001 | 0,00109 | 0,002267 | 0,0033 | 0,00030 |
| 10,30 | 28,1 | 29,4 | 45,9 | 3,8781 | 0,0069 | 24,4 | 67,4 | 56,9 | 3,866 | 0,0128 | 11,057 | 0,00003 | 0,00010 | 0,00011 | 11,05768 | 0,00001 | 0,00109 | 0,002267 | 0,0033 | 0,00030 |
| 10,45 | 28,5 | 29,1 | 46,5 | 3,8802 | 0,007 | 24,8 | 67,1 | 57,8 | 3,8681 | 0,013 | 11,057 | 0,00004 | 0,00010 | 0,00010 | 11,05768 | 0,00000 | 0,00109 | 0,002267 | 0,0033 | 0,00030 |
| 11,00 | 27,9 | 28 | 44,7 | 3,8778 | 0,0065 | 24,2 | 66 | 55,4 | 3,8657 | 0,0123 | 11,057 | 0,00003 | 0,00010 | 0,00014 | 11,05771 | 0,00002 | 0,00109 | 0,002267 | 0,0033 | 0,00030 |
| 11,15 | 28,1 | 28,4 | 45,4 | 3,8805 | 0,0067 | 24,4 | 66,4 | 56,4 | 3,8684 | 0,0126 | 11,057 | 0,00003 | 0,00010 | 0,00012 | 11,05769 | 0,00001 | 0,00109 | 0,002267 | 0,0033 | 0,00030 |
| 11,30 | 28,8 | 28,3 | 46,9 | 3,8802 | 0,007 | 25,1 | 66,3 | 58,4 | 3,8701 | 0,0131 | 11,057 | 0,00004 | 0,00010 | 0,00010 | 11,05768 | 0,00000 | 0,00109 | 0,002267 | 0,0033 | 0,00030 |
| 11,45 | 29,3 | 27,1 | 47,1 | 3,8867 | 0,0069 | 25,6 | 65,1 | 59,2 | 3,8746 | 0,0132 | 11,057 | 0,00005 | 0,00010 | 0,00011 | 11,05770 | 0,00001 | 0,00109 | 0,002267 | 0,0033 | 0,00030 |
| 12,00 | 30,4 | 27,9 | 49,8 | 3,8846 | 0,0075 | 26,7 | 65,9 | 63,1 | 3,8725 | 0,0143 | 11,057 | 0,00008 | 0,00010 | 0,00007 | 11,05769 | 0,00007 | 0,00109 | 0,002267 | 0,0034 | 0,00030 |
| 12,15 | 31,5 | 27,2 | 51,6 | 3,8792 | 0,0078 | 27,8 | 65,2 | 66,3 | 3,8671 | 0,0151 | 11,057 | 0,00012 | 0,00010 | 0,00005 | 11,05771 | 0,00020 | 0,00109 | 0,002267 | 0,0035 | 0,00031 |
| 12,30 | 32 | 26,4 | 52,2 | 3,8795 | 0,0078 | 28,3 | 64,4 | 67,6 | 3,8674 | 0,0154 | 11,057 | 0,00014 | 0,00010 | 0,00005 | 11,05773 | 0,00028 | 0,00109 | 0,002267 | 0,0036 | 0,00032 |
| 12,45 | 32,4 | 26 | 52,8 | 3,8809 | 0,0079 | 28,7 | 64 | 68,8 | 3,8688 | 0,0157 | 11,057 | 0,00015 | 0,00010 | 0,00005 | 11,05774 | 0,00035 | 0,00109 | 0,002267 | 0,0036 | 0,00033 |
| 13,00 | 33,4 | 26,1 | 55,1 | 3,8812 | 0,0084 | 29,7 | 64,1 | 72,4 | 3,8691 | 0,0167 | 11,057 | 0,00019 | 0,00010 | 0,00002 | 11,05776 | 0,00057 | 0,00109 | 0,002267 | 0,0038 | 0,00035 |
| 13,15 | 33,6 | 25,2 | 54,8 | 3,8809 | 0,0082 | 29,9 | 63,2 | 72,3 | 3,8688 | 0,0166 | 11,057 | 0,00020 | 0,00010 | 0,00003 | 11,05778 | 0,00062 | 0,00109 | 0,002267 | 0,0039 | 0,00035 |
| 13,30 | 33,6 | 23,9 | 53,9 | 3,8826 | 0,0078 | 30 | 61,9 | 71,9 | 3,8705 | 0,0164 | 11,057 | 0,00021 | 0,00010 | 0,00005 | 11,05780 | 0,00064 | 0,00109 | 0,002267 | 0,0039 | 0,00035 |
| 13,45 | 34,5 | 24 | 55,7 | 3,8829 | 0,0082 | 30,8 | 62 | 74,8 | 3,8708 | 0,0172 | 11,057 | 0,00025 | 0,00010 | 0,00003 | 11,05782 | 0,00087 | 0,00109 | 0,002267 | 0,0041 | 0,00037 |
| 14,00 | 33,4 | 24,2 | 53,3 | 3,8907 | 0,0077 | 29,7 | 62,2 | 71,1 | 3,8786 | 0,0162 | 11,057 | 0,00019 | 0,00010 | 0,00006 | 11,05779 | 0,00057 | 0,00109 | 0,002267 | 0,0038 | 0,00035 |
| 14,15 | 33,8 | 24,4 | 54,5 | 3,8901 | 0,008 | 30,1 | 62,4 | 72,5 | 3,878 | 0,0166 | 11,057 | 0,00021 | 0,00010 | 0,00004 | 11,05780 | 0,00067 | 0,00109 | 0,002267 | 0,0039 | 0,00036 |
| 14,30 | 33,9 | 24,6 | 54,9 | 3,8867 | 0,0081 | 30,2 | 62,6 | 73,1 | 3,8746 | 0,0168 | 11,057 | 0,00022 | 0,00010 | 0,00004 | 11,05780 | 0,00070 | 0,00109 | 0,002267 | 0,0040 | 0,00036 |
| 14,45 | 34 | 24,6 | 55 | 3,8873 | 0,0081 | 30,3 | 62,6 | 73,5 | 3,8752 | 0,0169 | 11,057 | 0,00022 | 0,00010 | 0,00004 | 11,05780 | 0,00072 | 0,00109 | 0,002267 | 0,0040 | 0,00036 |
| 15,00 | 33,7 | 24,8 | 55,1 | 3,8877 | 0,0082 | 30,1 | 62,8 | 72,8 | 3,8756 | 0,0167 | 11,057 | 0,00021 | 0,00010 | 0,00003 | 11,05779 | 0,00067 | 0,00109 | 0,002267 | 0,0039 | 0,00036 |

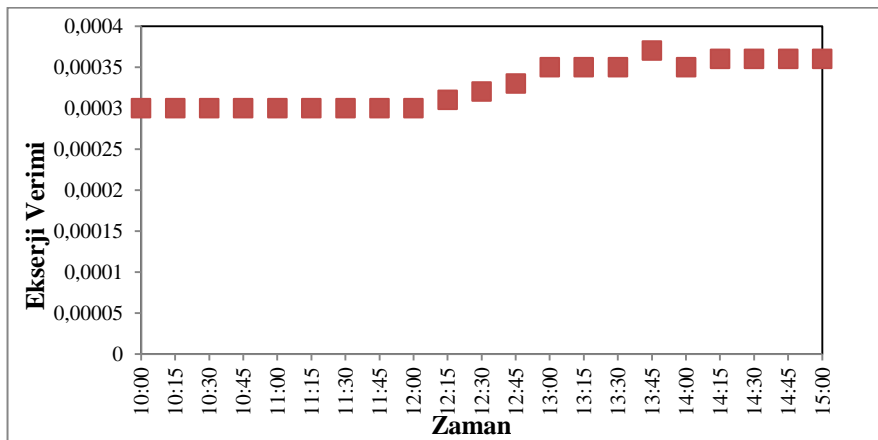
Şekil 6.35'de 90 mm ped kalınlığı ve 1,2 m/s hava giriş hızı için zamana bağlı olarak onsekizinci deney için teorik ve deneysel enerji verimi değişimi verilmiştir.



Şekil 6.35: 90 mm ped kalınlığı ve 1,2 m/s hava giriş hızı için deneysel ve teorik enerji verimi (Deney No 18)

Şekil 6.35'de görüldüğü gibi, teorik enerji verimi 0,267 ile 0,348 arasında değişirken deneysel enerji verimi 0,587 ile 0,591 arasında çok az değişmektedir.

Şekil 6.36'da 90 mm ped kalınlığı ve 1,2 m/s hava giriş hızı için zamana bağlı olarak deneysel olarak hesaplanan ekserji verimi değişimi verilmiştir.



Şekil 6.36. 90 mm ped kalınlığı ve 1,2 m/s hava giriş hızı için deneysel ve teorik enerji verimi (Deney No 18)

Şekil 6.36'dan görüldüğü gibi, ekserji verimi ise 0,0003 ile 0,00037 arasında değişmektedir.

80 mm ped kalınlığı ve 1,7 m/s hava giriş hızı için yapılan birinci deneyin (Deney No 19) ölçüm sonuçları, termodinamik özelliklerini ve teorik ve deneysel olarak hesaplanan enerji verim değerleri ve ekserji analiz değerleri sırasıyla Çizelge 6.37 ve Çizelge 6.38'de verilmiştir. Aynı şekilde benzer ped kalınlığı ve hava giriş hızı için tekrarlanan ikinci (Deney No 20) ve üçüncü (Deney No 21) için enerji ve ekserji analizi ve ölçüm sonuçları sırasıyla Çizelge 6.39, 6.40, 6.41 ve 6.42'de verilmiştir.

Her üç deneyde de $\dot{m}_w=0,01344$, $\dot{m}_a=0,007997$, $T_w=21,4$ °C, 1 atm sabit alınmıştır.

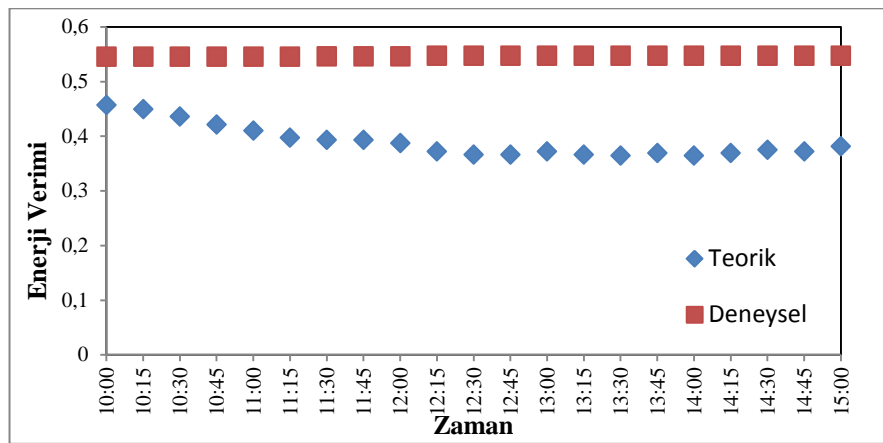
Çizelge 6.37. : Deney No 19, 80 mm, 1,7 m/s Ölçüm Sonuçları ($m_w=0,01344$ kg, $m_a=0,007997$ kg $T_w=21,4^{\circ}\text{C}$, 1 atm sabit alınmıştır.)

| Zaman | $T_{dh,a}$ (°C) | W_a (%) | h_a (kJ/kg) | S_a (Kj/Kg·K) | $T_{wh,a}$ (°C) | $T_{db,b}$ (°C) | Wb (%) | H_b (kJ/kg) | S_b (Kj/Kg·K) | P_u (Kg/m ³) | K_u (kJ/Kg·K) | μ_u (Kg/m.s) | Re | p_r | h_c (Kj/Kg·K) | Deneysel verim | Teorik verim | Verim farkı |
|-------|-----------------|-----------|---------------|-----------------|-----------------|-----------------|----------|---------------|-----------------|----------------------------|-----------------|------------------|--------|--------|-----------------|----------------|--------------|-------------|
| 10,00 | 27,8 | 28 | 48,4 | 3,8892 | 17,3 | 23 | 68 | 56,2 | 3,8747 | 1,17332 | 0,02572 | 0,0000186 | 289,62 | 0,7288 | 53,15 | 0,545 | 0,457 | 0,161 |
| 10,15 | 28,3 | 28,5 | 49,2 | 2,8909 | 17,6 | 23,5 | 68,5 | 57,5 | 3,8707 | 1,17135 | 0,02575 | 0,0000186 | 288,77 | 0,7286 | 53,10 | 0,545 | 0,449 | 0,176 |
| 10,30 | 28,7 | 28,9 | 49,6 | 3,8922 | 17,7 | 23,9 | 68,9 | 58,4 | 3,8717 | 1,16978 | 0,02578 | 0,0000187 | 288,09 | 0,7285 | 53,06 | 0,545 | 0,436 | 0,200 |
| 10,45 | 29,2 | 29,4 | 49,9 | 3,8939 | 17,8 | 24,4 | 69,4 | 59,5 | 3,873 | 1,16781 | 0,02582 | 0,0000187 | 287,25 | 0,7284 | 53,01 | 0,545 | 0,421 | 0,228 |
| 11,00 | 29,5 | 29,7 | 49,9 | 3,8949 | 17,8 | 24,7 | 69,7 | 59,8 | 3,8689 | 1,16663 | 0,02584 | 0,0000187 | 286,74 | 0,7283 | 52,98 | 0,545 | 0,410 | 0,248 |
| 11,15 | 29,6 | 29,8 | 49 | 3,8952 | 17,5 | 24,8 | 69,8 | 59,6 | 3,8717 | 1,16624 | 0,02585 | 0,0000187 | 286,58 | 0,7283 | 52,97 | 0,545 | 0,397 | 0,272 |
| 11,30 | 29,9 | 30,1 | 49,6 | 3,8963 | 17,7 | 25,1 | 70,1 | 60,2 | 3,873 | 1,16506 | 0,02587 | 0,0000187 | 286,07 | 0,7282 | 52,94 | 0,546 | 0,393 | 0,280 |
| 11,45 | 30,8 | 31 | 52,3 | 3,8992 | 18,6 | 26 | 71 | 63,4 | 3,8724 | 1,16152 | 0,02594 | 0,0000188 | 284,56 | 0,7279 | 52,84 | 0,546 | 0,393 | 0,280 |
| 12,00 | 31,4 | 31,6 | 53,6 | 3,9012 | 19 | 26,6 | 71,6 | 65,6 | 3,8707 | 1,15916 | 0,02598 | 0,0000188 | 283,56 | 0,7278 | 52,78 | 0,546 | 0,387 | 0,291 |
| 12,15 | 32,2 | 32,4 | 54,7 | 3,9038 | 19,3 | 27,4 | 72,4 | 67,9 | 3,8713 | 1,15601 | 0,02604 | 0,0000188 | 282,23 | 0,7276 | 52,70 | 0,547 | 0,372 | 0,320 |
| 12,30 | 32,7 | 32,9 | 55,7 | 3,9055 | 19,6 | 27,9 | 72,9 | 69,5 | 3,8724 | 1,15405 | 0,02608 | 0,0000188 | 281,40 | 0,7274 | 52,64 | 0,547 | 0,366 | 0,331 |
| 12,45 | 32,8 | 33 | 56,1 | 3,9058 | 19,7 | 28 | 73 | 69,8 | 3,8754 | 1,15365 | 0,02609 | 0,0000188 | 281,24 | 0,7274 | 52,63 | 0,547 | 0,366 | 0,331 |
| 13,00 | 32,6 | 32,8 | 55,9 | 3,9052 | 19,7 | 27,8 | 72,8 | 69,4 | 3,8751 | 1,15444 | 0,02607 | 0,0000188 | 281,57 | 0,7275 | 52,65 | 0,547 | 0,372 | 0,320 |
| 13,15 | 32,7 | 32,9 | 55,7 | 3,9055 | 19,6 | 27,9 | 72,9 | 69,5 | 3,8774 | 1,15405 | 0,02608 | 0,0000188 | 281,40 | 0,7274 | 52,64 | 0,547 | 0,366 | 0,331 |
| 13,30 | 32,8 | 33 | 55,6 | 3,9058 | 19,6 | 28 | 73 | 69,3 | 3,8781 | 1,15365 | 0,02609 | 0,0000188 | 281,24 | 0,7274 | 52,63 | 0,547 | 0,364 | 0,335 |
| 13,45 | 33 | 33,2 | 56,8 | 3,9065 | 20 | 28,2 | 73,2 | 70,8 | 3,8761 | 1,15287 | 0,02610 | 0,0000189 | 280,91 | 0,7273 | 52,61 | 0,547 | 0,369 | 0,161 |
| 14,00 | 33,2 | 33,4 | 57 | 3,9071 | 20 | 28,4 | 73,4 | 71,3 | 3,8764 | 1,15208 | 0,02612 | 0,0000189 | 280,58 | 0,7273 | 52,59 | 0,547 | 0,364 | 0,176 |
| 14,15 | 32,5 | 32,7 | 55,3 | 3,9048 | 19,5 | 27,7 | 72,7 | 68,7 | 3,8771 | 1,15483 | 0,02607 | 0,0000188 | 281,73 | 0,7275 | 52,66 | 0,547 | 0,369 | 0,200 |
| 14,30 | 31,9 | 32,1 | 53,9 | 3,9029 | 19,1 | 27,1 | 72,1 | 66,6 | 3,8781 | 1,15719 | 0,02602 | 0,0000188 | 282,73 | 0,7276 | 52,73 | 0,547 | 0,375 | 0,228 |
| 14,45 | 32,3 | 32,5 | 55,1 | 3,9042 | 19,4 | 27,5 | 72,5 | 68,3 | 3,8795 | 1,15562 | 0,02605 | 0,0000188 | 282,07 | 0,7275 | 52,69 | 0,547 | 0,372 | 0,248 |
| 15,00 | 32,4 | 32,6 | 56,5 | 3,9045 | 19,8 | 27,6 | 72,6 | 69,4 | 3,8812 | 1,15523 | 0,02606 | 0,0000188 | 281,90 | 0,7275 | 52,67 | 0,547 | 0,381 | 0,272 |

Çizelge 6.38. : Deney No 19, 80 mm, 1,7 m/s Ölçüm Sonuçları ($m_w=0,01344$ kg, $m_a=0,007997$ kg $T_w=21,4$ °C, 1 atm sabit alınmıştır.)

| Zantan | $T_{db,a}$ (°C) | W_a (%) | h_a (kJ/kg) | S_a ($KJ/Kg\cdot K$) | W_a | $T_{db,b}$ (°C) | W_b (%) | H_b (kJ/kg) | S_b ($KJ/Kg\cdot K$) | W_b | $\Psi_{water,a}$ | $\Psi_{termal,a}$ | $\Psi_{mekanik,a}$ | $\Psi_{kimyasal,a}$ | $\Psi_{toplama,a}$ | $\Psi_{termal,b}$ | $\Psi_{mekanik,b}$ | $\Psi_{kimyasal,b}$ | $\Psi_{toplama,b}$ | Eksjerji verim |
|--------|-----------------|-----------|-------------------|--------------------------|--------|-----------------|-----------|-------------------|--------------------------|--------|------------------|-------------------|--------------------|---------------------|--------------------|-------------------|--------------------|---------------------|--------------------|----------------|
| 10.00 | 27,8 | 28 | 48,4 | 3,8892 | 0,0081 | 23 | 68 | 56,2 | 3,8747 | 0,0131 | 11,058 | 0,00011 | 0,00051 | 0,00019 | 11,05871 | 0,00015 | 0,001459 | 0,014507 | 0,0161 | 0,00145 |
| 10.15 | 28,3 | 28,5 | 49,2 | 2,8909 | 0,0082 | 23,5 | 68,5 | 57,5 | 3,8707 | 0,0134 | 11,058 | 0,00015 | 0,00051 | 0,00017 | 11,05874 | 0,00008 | 0,001459 | 0,014507 | 0,0161 | 0,00145 |
| 10.30 | 28,7 | 28,9 | 49,6 | 3,8922 | 0,0082 | 23,9 | 68,9 | 58,4 | 3,8717 | 0,0136 | 11,058 | 0,00019 | 0,00051 | 0,00017 | 11,05877 | 0,00005 | 0,001459 | 0,014507 | 0,0160 | 0,00144 |
| 10.45 | 29,2 | 29,4 | 49,9 | 3,8939 | 0,0081 | 24,4 | 69,4 | 59,5 | 3,873 | 0,0138 | 11,058 | 0,00024 | 0,00051 | 0,00019 | 11,05885 | 0,00001 | 0,001459 | 0,014507 | 0,0160 | 0,00144 |
| 11.00 | 29,5 | 29,7 | 49,9 | 3,8949 | 0,008 | 24,7 | 69,7 | 59,8 | 3,8689 | 0,0138 | 11,058 | 0,00028 | 0,00051 | 0,00021 | 11,05891 | 0,00000 | 0,001459 | 0,014507 | 0,0160 | 0,00144 |
| 11.15 | 29,6 | 29,8 | 49 | 3,8952 | 0,0076 | 24,8 | 69,8 | 59,6 | 3,8717 | 0,0137 | 11,058 | 0,00029 | 0,00051 | 0,00032 | 11,05902 | 0,00000 | 0,001459 | 0,014507 | 0,0160 | 0,00144 |
| 11.30 | 29,9 | 30,1 | 49,6 | 3,8963 | 0,0077 | 25,1 | 70,1 | 60,2 | 3,873 | 0,0138 | 11,058 | 0,00033 | 0,00051 | 0,00029 | 11,05903 | 0,00000 | 0,001459 | 0,014507 | 0,0160 | 0,00144 |
| 11.45 | 30,8 | 31 | 52,3 | 3,8992 | 0,0084 | 26 | 71 | 63,4 | 3,8724 | 0,0147 | 11,058 | 0,00046 | 0,00051 | 0,00013 | 11,05901 | 0,00004 | 0,001459 | 0,014507 | 0,0160 | 0,00144 |
| 12.00 | 31,4 | 31,6 | 53,6 | 3,9012 | 0,0087 | 26,6 | 71,6 | 65,6 | 3,8707 | 0,0153 | 11,058 | 0,00056 | 0,00051 | 0,00008 | 11,05906 | 0,00010 | 0,001459 | 0,014507 | 0,0161 | 0,00145 |
| 12.15 | 32,2 | 32,4 | 54,7 | 3,9038 | 0,0088 | 27,4 | 72,4 | 67,9 | 3,8713 | 0,0159 | 11,058 | 0,00071 | 0,00051 | 0,00007 | 11,05920 | 0,00021 | 0,001459 | 0,014507 | 0,0162 | 0,00146 |
| 12.30 | 32,7 | 32,9 | 55,7 | 3,9055 | 0,009 | 27,9 | 72,9 | 69,5 | 3,8724 | 0,0163 | 11,058 | 0,00082 | 0,00051 | 0,00005 | 11,05928 | 0,00031 | 0,001459 | 0,014507 | 0,0163 | 0,00147 |
| 12.45 | 32,8 | 33 | 56,1 | 3,9058 | 0,0091 | 28 | 73 | 69,8 | 3,8754 | 0,0164 | 11,058 | 0,00084 | 0,00051 | 0,00004 | 11,05929 | 0,00034 | 0,001459 | 0,014507 | 0,0163 | 0,00147 |
| 13.00 | 32,6 | 32,8 | 55,9 | 3,9052 | 0,0091 | 27,8 | 72,8 | 69,4 | 3,8751 | 0,0163 | 11,058 | 0,00079 | 0,00051 | 0,00004 | 11,05925 | 0,00029 | 0,001459 | 0,014507 | 0,0163 | 0,00147 |
| 13.15 | 32,7 | 32,9 | 55,7 | 3,9055 | 0,009 | 27,9 | 72,9 | 69,5 | 3,8774 | 0,0163 | 11,058 | 0,00082 | 0,00051 | 0,00005 | 11,05928 | 0,00031 | 0,001459 | 0,014507 | 0,0163 | 0,00147 |
| 13.30 | 32,8 | 33 | 55,6 | 3,9058 | 0,0089 | 28 | 73 | 69,3 | 3,8781 | 0,0162 | 11,058 | 0,00084 | 0,00051 | 0,00006 | 11,05931 | 0,00034 | 0,001459 | 0,014507 | 0,0163 | 0,00147 |
| 13.45 | 33 | 33,2 | 56,8 | 3,9065 | 0,0093 | 28,2 | 73,2 | 70,8 | 3,8761 | 0,0167 | 11,058 | 0,00088 | 0,00051 | 0,00002 | 11,05932 | 0,00038 | 0,001459 | 0,014507 | 0,0163 | 0,00147 |
| 14.00 | 33,2 | 33,4 | 57 | 3,9071 | 0,0093 | 28,4 | 73,4 | 71,3 | 3,8764 | 0,0168 | 11,058 | 0,00092 | 0,00051 | 0,00002 | 11,05936 | 0,00043 | 0,001459 | 0,014507 | 0,0164 | 0,00148 |
| 14.15 | 32,5 | 32,7 | 55,3 | 3,9048 | 0,0089 | 27,7 | 72,7 | 68,7 | 3,8771 | 0,0161 | 11,058 | 0,00077 | 0,00051 | 0,00006 | 11,05925 | 0,00027 | 0,001459 | 0,014507 | 0,0162 | 0,00146 |
| 14.30 | 31,9 | 32,1 | 53,9 | 3,9029 | 0,0086 | 27,1 | 72,1 | 66,6 | 3,8781 | 0,0155 | 11,058 | 0,00065 | 0,00051 | 0,00010 | 11,05917 | 0,00016 | 0,001459 | 0,014507 | 0,0161 | 0,00145 |
| 14.45 | 32,3 | 32,5 | 55,1 | 3,9042 | 0,0089 | 27,5 | 72,5 | 68,3 | 3,8795 | 0,016 | 11,058 | 0,00073 | 0,00051 | 0,00006 | 11,05921 | 0,00023 | 0,001459 | 0,014507 | 0,0162 | 0,00146 |
| 15.00 | 32,4 | 32,6 | 56,5 | 3,9045 | 0,0094 | 27,6 | 72,6 | 69,4 | 3,8812 | 0,0164 | 11,058 | 0,00075 | 0,00051 | 0,00001 | 11,05919 | 0,00025 | 0,001459 | 0,014507 | 0,0162 | 0,00146 |

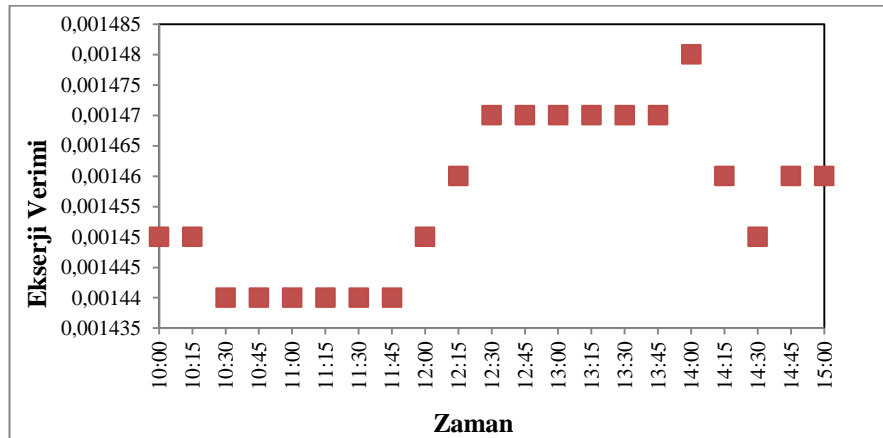
Şekil 6.37'de 80 mm ped kalınlığı ve 1,7 m/s hava giriş hızı için zamana bağlı olarak ondokuzuncu deney için teorik ve deneysel enerji verimi değişimi verilmiştir.



Şekil 6.37: 80 mm ped kalınlığı ve 1,7 m/s hava giriş hızı için deneysel ve teorik enerji verimi (Deney No 19)

Şekil 6.37'de görüldüğü gibi, teorik enerji verimi 0,364 ile 0,467 arasında değişirken deneysel enerji verimi 0,545 ile 0,547 arasında çok az değişmektedir.

Şekil 6.38'de 80 mm ped kalınlığı ve 1,7 m/s hava giriş hızı için zamana bağlı olarak deneysel olarak hesaplanan ekserji verimi değişimi verilmiştir.



Şekil 6.38. 80 mm ped kalınlığı ve 1,7 m/s hava giriş hızı için deneysel ve teorik enerji verimi (Deney No 19)

Şekil 6.38'den görüldüğü gibi, ekserji verimi ise 0,000144 ile 0,000147 arasında değişmektedir.

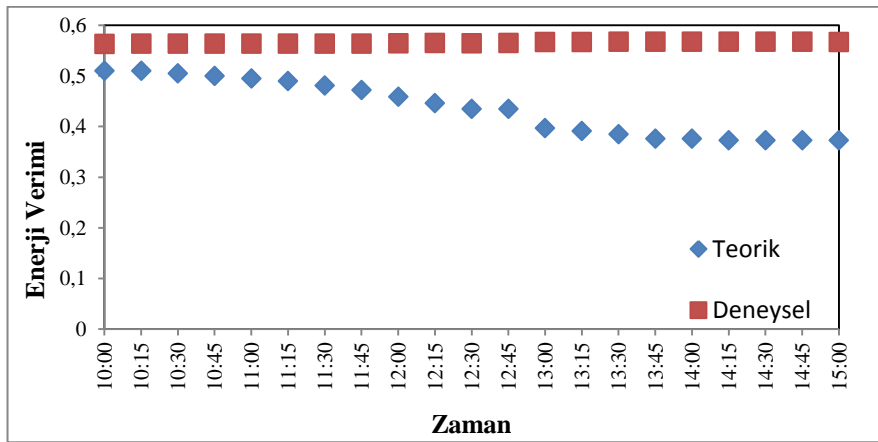
Çizelge 6.39. : Deney No 20, 80 mm, 1,7 m/s Ölçüm Sonuçları ($m_w=0,01344$ kg, $m_a=0,007998$ kg $T_w=20,4$ °C, 1 atm sabit alınmıştır.)

| Zaman | $T_{dh,a}$ (°C) | W_a (%) | h_a (kJ/kg) | S_a (Kj/Kg·K) | $T_{dh,a}$ (°C) | $T_{db,b}$ (°C) | Wb (%) | H_b (kJ/kg) | S_b (Kj/Kg·K) | P_u (Kg/m ³) | K_u (kJ/Kg·K) | μ_u (Kg/m.s) | Re | p_r | h_c (Kj/Kg·K) | Deneysel verim | Teorik verim | Verim farkı |
|-------|-----------------|-----------|------------------|--------------------|-----------------|--------------------|----------|------------------|--------------------|----------------------------|-----------------|------------------|--------|--------|-----------------|----------------|--------------|-------------|
| 10,00 | 25,5 | 35 | 43,7 | 3,8845 | 15,7 | 20,5 | 72 | 48 | 3,8724 | 1,18237 | 0,02555 | 0,0000185 | 293,54 | 0,7294 | 53,39 | 0,56336 | 0,510 | 0,095 |
| 10,15 | 25,8 | 35,4 | 44,6 | 3,8839 | 16 | 20,8 | 72,4 | 49,1 | 3,8718 | 1,18119 | 0,02557 | 0,0000185 | 293,03 | 0,7293 | 53,36 | 0,56341 | 0,510 | 0,095 |
| 10,30 | 25,9 | 35,2 | 44,7 | 3,8852 | 16 | 20,9 | 72,2 | 49,5 | 3,8731 | 1,18079 | 0,02558 | 0,0000185 | 292,86 | 0,7293 | 53,35 | 0,56341 | 0,505 | 0,104 |
| 10,45 | 26 | 34,7 | 44,5 | 3,8865 | 16 | 21 | 71,7 | 49,3 | 3,8744 | 1,18040 | 0,02558 | 0,0000185 | 292,69 | 0,7293 | 53,34 | 0,56361 | 0,500 | 0,113 |
| 11,00 | 26,1 | 34,5 | 44,6 | 3,8906 | 16 | 21,1 | 71,5 | 49,7 | 3,8785 | 1,18001 | 0,02559 | 0,0000185 | 292,51 | 0,7292 | 53,33 | 0,56344 | 0,495 | 0,121 |
| 11,15 | 26,3 | 33,8 | 44,8 | 3,8876 | 16,1 | 21,3 | 70,8 | 49,9 | 3,8755 | 1,17922 | 0,02561 | 0,0000185 | 292,17 | 0,7292 | 53,31 | 0,56371 | 0,490 | 0,131 |
| 11,30 | 26,5 | 33,2 | 44,8 | 3,8865 | 16,1 | 21,5 | 70,2 | 50,3 | 3,8744 | 1,17843 | 0,02562 | 0,0000186 | 291,83 | 0,7291 | 53,29 | 0,56384 | 0,481 | 0,147 |
| 11,45 | 26,6 | 32,2 | 44,6 | 3,8882 | 16 | 21,6 | 69,2 | 50,2 | 3,8761 | 1,17804 | 0,02563 | 0,0000186 | 291,66 | 0,7291 | 53,28 | 0,56392 | 0,472 | 0,163 |
| 12,00 | 27 | 31 | 44,8 | 3,8919 | 16,1 | 22 | 68 | 50,6 | 3,8798 | 1,17647 | 0,02566 | 0,0000186 | 290,98 | 0,7290 | 53,23 | 0,56412 | 0,459 | 0,186 |
| 12,15 | 28,1 | 31,3 | 47,2 | 3,8909 | 16,9 | 23,1 | 68,3 | 54 | 3,8788 | 1,17214 | 0,02574 | 0,0000186 | 289,11 | 0,7287 | 53,12 | 0,56468 | 0,446 | 0,210 |
| 12,30 | 28,8 | 30,8 | 48,4 | 3,8919 | 17,3 | 23,8 | 67,8 | 55,8 | 3,8798 | 1,16939 | 0,02579 | 0,0000187 | 287,92 | 0,7285 | 53,05 | 0,56403 | 0,435 | 0,229 |
| 12,45 | 29 | 30,9 | 48,8 | 3,8926 | 17,5 | 24 | 67,9 | 56,5 | 3,8805 | 1,16860 | 0,02581 | 0,0000187 | 287,59 | 0,7284 | 53,03 | 0,56513 | 0,435 | 0,230 |
| 13,00 | 31,9 | 29,8 | 54,6 | 3,8932 | 19,3 | 26,9 | 66,8 | 65,1 | 3,8811 | 1,15719 | 0,02602 | 0,0000188 | 282,73 | 0,7276 | 52,73 | 0,56660 | 0,397 | 0,299 |
| 13,15 | 32,5 | 29,7 | 56 | 3,8982 | 19,7 | 27,5 | 66,7 | 66,7 | 3,8861 | 1,15483 | 0,02607 | 0,0000188 | 281,73 | 0,7275 | 52,66 | 0,56691 | 0,391 | 0,310 |
| 13,30 | 33,2 | 29,5 | 57,5 | 3,9019 | 20,2 | 28,2 | 66,5 | 69,2 | 3,8898 | 1,15208 | 0,02612 | 0,0000189 | 280,58 | 0,7273 | 52,59 | 0,56726 | 0,385 | 0,321 |
| 13,45 | 33,7 | 29,2 | 58,3 | 3,9022 | 20,4 | 28,7 | 66,2 | 70,8 | 3,8901 | 1,15011 | 0,02615 | 0,0000189 | 279,75 | 0,7272 | 52,54 | 0,56724 | 0,376 | 0,095 |
| 14,00 | 33,6 | 28,9 | 57,9 | 3,9025 | 20,3 | 28,6 | 65,9 | 70,4 | 3,8904 | 1,15051 | 0,02615 | 0,0000189 | 279,92 | 0,7272 | 52,55 | 0,56747 | 0,376 | 0,095 |
| 14,15 | 33,5 | 28,6 | 57,3 | 3,9032 | 20,1 | 28,5 | 65,6 | 69,8 | 3,8911 | 1,15090 | 0,02614 | 0,0000189 | 280,08 | 0,7272 | 52,56 | 0,56742 | 0,373 | 0,104 |
| 14,30 | 33,4 | 28,4 | 56,9 | 3,9042 | 20 | 28,4 | 65,4 | 69,2 | 3,8921 | 1,15129 | 0,02613 | 0,0000189 | 280,25 | 0,7272 | 52,57 | 0,56736 | 0,373 | 0,113 |
| 14,45 | 33,3 | 28,2 | 56,6 | 3,9055 | 19,9 | 28,3 | 65,2 | 68,8 | 3,8934 | 1,15169 | 0,02612 | 0,0000189 | 280,41 | 0,7273 | 52,58 | 0,56731 | 0,373 | 0,121 |
| 15,00 | 33 | 28 | 55,7 | 3,9075 | 19,6 | 28 | 65 | 67,7 | 3,8954 | 1,15287 | 0,02610 | 0,0000189 | 280,91 | 0,7273 | 52,61 | 0,56716 | 0,373 | 0,131 |

Çizelge 6.40. : Deney No 20, 80 mm, 1,7 m/s Ölçüm Sonuçları ($m_w=0,01344$ kg, $m_a=0,007998$ kg $T_w=20,4$ °C, 1 atm sabit alınmıştır.)

| Zaman | $T_{dh,a}$ (°C) | W_a (%) | h_a (kj/kg) | S_a (Kj/Kg-K) | W_a | $T_{dh,b}$ (°C) | W_b (%) | H_b (kj/kg) | S_b (Kj/Kg-K) | W_b | $\Psi_{water,a}$ | $\Psi_{termal,a}$ | $\Psi_{mekanik,a}$ | $\Psi_{kimyasal,a}$ | $\Psi_{toplama,a}$ | $\Psi_{termal,b}$ | $\Psi_{mekanik,b}$ | $\Psi_{kimyasal,b}$ | $\Psi_{toplama,b}$ | $Eksiyi\ verim$ |
|-------|-----------------|-----------|---------------|-----------------|--------|-----------------|-----------|---------------|-----------------|--------|------------------|-------------------|--------------------|---------------------|--------------------|-------------------|--------------------|---------------------|--------------------|-----------------|
| 10.00 | 25,5 | 35 | 43,7 | 3,8845 | 0,0071 | 20,5 | 72 | 48 | 3,8724 | 0,0108 | 11,059 | 0,000003 | 0,00051 | 0,00048 | 11,05966 | 0,00076 | 0,00146 | 0,01451 | 0,01673 | 0,00151 |
| 10.15 | 25,8 | 35,4 | 44,6 | 3,8839 | 0,0073 | 20,8 | 72,4 | 49,1 | 3,8718 | 0,0111 | 11,059 | 0,000009 | 0,00051 | 0,00041 | 11,05959 | 0,00066 | 0,00146 | 0,01451 | 0,01663 | 0,00150 |
| 10.30 | 25,9 | 35,2 | 44,7 | 3,8852 | 0,0073 | 20,9 | 72,2 | 49,5 | 3,8731 | 0,0112 | 11,059 | 0,000011 | 0,00051 | 0,00041 | 11,05959 | 0,00063 | 0,00146 | 0,01451 | 0,01660 | 0,00150 |
| 10.45 | 26 | 34,7 | 44,5 | 3,8865 | 0,0072 | 21 | 71,7 | 49,3 | 3,8744 | 0,0111 | 11,059 | 0,000014 | 0,00051 | 0,00044 | 11,05963 | 0,00060 | 0,00146 | 0,01451 | 0,01657 | 0,00149 |
| 11.00 | 26,1 | 34,5 | 44,6 | 3,8906 | 0,0072 | 21,1 | 71,5 | 49,7 | 3,8785 | 0,0112 | 11,059 | 0,000017 | 0,00051 | 0,00044 | 11,05963 | 0,00057 | 0,00146 | 0,01451 | 0,01654 | 0,00149 |
| 11.15 | 26,3 | 33,8 | 44,8 | 3,8876 | 0,0072 | 21,3 | 70,8 | 49,9 | 3,8755 | 0,0112 | 11,059 | 0,000023 | 0,00051 | 0,00044 | 11,05964 | 0,00051 | 0,00146 | 0,01451 | 0,01648 | 0,00149 |
| 11.30 | 26,5 | 33,2 | 44,8 | 3,8865 | 0,0071 | 21,5 | 70,2 | 50,3 | 3,8744 | 0,0113 | 11,059 | 0,000031 | 0,00051 | 0,00048 | 11,05968 | 0,00046 | 0,00146 | 0,01451 | 0,01643 | 0,00148 |
| 11.45 | 26,6 | 32,2 | 44,6 | 3,8882 | 0,007 | 21,6 | 69,2 | 50,2 | 3,8761 | 0,0112 | 11,059 | 0,000035 | 0,00051 | 0,00051 | 11,05972 | 0,00043 | 0,00146 | 0,01451 | 0,01640 | 0,00148 |
| 12.00 | 27 | 31 | 44,8 | 3,8919 | 0,0069 | 22 | 68 | 50,6 | 3,8798 | 0,0112 | 11,059 | 0,000055 | 0,00051 | 0,00055 | 11,05978 | 0,00034 | 0,00146 | 0,01451 | 0,01630 | 0,00147 |
| 12.15 | 28,1 | 31,3 | 47,2 | 3,8909 | 0,0074 | 23,1 | 68,3 | 54 | 3,8788 | 0,0121 | 11,059 | 0,000133 | 0,00051 | 0,00038 | 11,05968 | 0,00014 | 0,00146 | 0,01451 | 0,01610 | 0,00145 |
| 12.30 | 28,8 | 30,8 | 48,4 | 3,8919 | 0,0076 | 23,8 | 67,8 | 55,8 | 3,8798 | 0,0125 | 11,059 | 0,000199 | 0,00051 | 0,00032 | 11,05969 | 0,00005 | 0,00146 | 0,01451 | 0,01602 | 0,00144 |
| 12.45 | 29 | 30,9 | 48,8 | 3,8926 | 0,0077 | 24 | 67,9 | 56,5 | 3,8805 | 0,0127 | 11,059 | 0,000221 | 0,00051 | 0,00029 | 11,05968 | 0,00004 | 0,00146 | 0,01451 | 0,01600 | 0,00144 |
| 13.00 | 31,9 | 29,8 | 54,6 | 3,8932 | 0,0088 | 26,9 | 66,8 | 65,1 | 3,8811 | 0,0149 | 11,059 | 0,000655 | 0,00051 | 0,00007 | 11,05990 | 0,00013 | 0,00146 | 0,01451 | 0,01610 | 0,00145 |
| 13.15 | 32,5 | 29,7 | 56 | 3,8982 | 0,0091 | 27,5 | 66,7 | 66,7 | 3,8861 | 0,0154 | 11,059 | 0,000774 | 0,00051 | 0,00004 | 11,05999 | 0,00023 | 0,00146 | 0,01451 | 0,01620 | 0,00146 |
| 13.30 | 33,2 | 29,5 | 57,5 | 3,9019 | 0,0094 | 28,2 | 66,5 | 69,2 | 3,8898 | 0,016 | 11,059 | 0,000925 | 0,00051 | 0,00001 | 11,06012 | 0,00038 | 0,00146 | 0,01451 | 0,01635 | 0,00147 |
| 13.45 | 33,7 | 29,2 | 58,3 | 3,9022 | 0,0095 | 28,7 | 66,2 | 70,8 | 3,8901 | 0,0164 | 11,059 | 0,001041 | 0,00051 | 0,00001 | 11,06023 | 0,00051 | 0,00146 | 0,01451 | 0,01648 | 0,00149 |
| 14.00 | 33,6 | 28,9 | 57,9 | 3,9025 | 0,0094 | 28,6 | 65,9 | 70,4 | 3,8904 | 0,0163 | 11,059 | 0,001017 | 0,00051 | 0,00001 | 11,06021 | 0,00048 | 0,00146 | 0,01451 | 0,01645 | 0,00148 |
| 14.15 | 33,5 | 28,6 | 57,3 | 3,9032 | 0,0092 | 28,5 | 65,6 | 69,8 | 3,8911 | 0,0161 | 11,059 | 0,000993 | 0,00051 | 0,00003 | 11,06020 | 0,00046 | 0,00146 | 0,01451 | 0,01642 | 0,00148 |
| 14.30 | 33,4 | 28,4 | 56,9 | 3,9042 | 0,0091 | 28,4 | 65,4 | 69,2 | 3,8921 | 0,0159 | 11,059 | 0,000969 | 0,00051 | 0,00004 | 11,06018 | 0,00043 | 0,00146 | 0,01451 | 0,01640 | 0,00148 |
| 14.45 | 33,3 | 28,2 | 56,6 | 3,9055 | 0,009 | 28,3 | 65,2 | 68,8 | 3,8934 | 0,0158 | 11,059 | 0,000946 | 0,00051 | 0,00005 | 11,06017 | 0,00041 | 0,00146 | 0,01451 | 0,01637 | 0,00148 |
| 15.00 | 33 | 28 | 55,7 | 3,9075 | 0,0088 | 28 | 65 | 67,7 | 3,8954 | 0,0155 | 11,059 | 0,000879 | 0,00051 | 0,00007 | 11,06012 | 0,00034 | 0,00146 | 0,01451 | 0,01630 | 0,00147 |

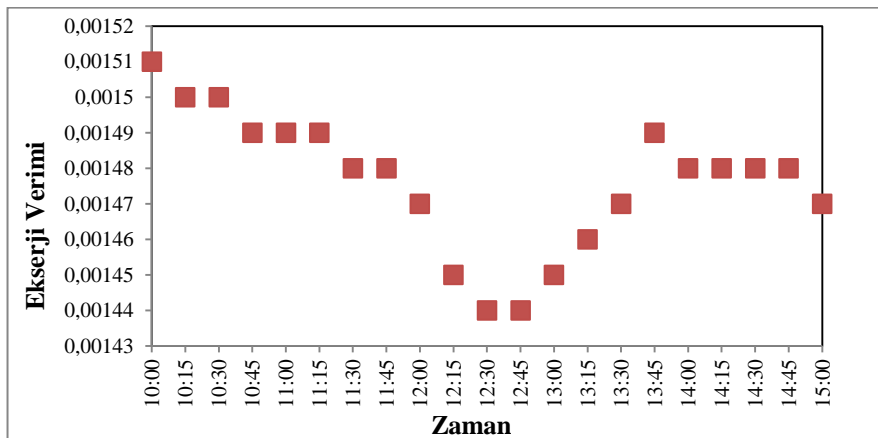
Şekil 6.39'da 80 mm ped kalınlığı ve 1,7 m/s hava giriş hızı için zamana bağlı olarak yirminci deney için teorik ve deneysel enerji verimi değişimi verilmiştir.



Şekil 6.39: 80 mm ped kalınlığı ve 1,7 m/s hava giriş hızı için deneysel ve teorik enerji verimi (Deney No 20)

Şekil 6.39'da görüldüğü gibi, teorik enerji verimi 0,373 ile 0,510 arasında değişirken deneysel enerji verimi 0,563 ile 0,567 arasında çok az değişmektedir.

Şekil 6.40'da 80 mm ped kalınlığı ve 1,7 m/s hava giriş hızı için zamana bağlı olarak deneysel olarak hesaplana ekserji verimi değişimi verilmiştir.



Şekil 6.40. 80 mm ped kalınlığı ve 1,7 m/s hava giriş hızı için deneysel ve teorik enerji verimi (Deney No 20)

Şekil 6.40'den görüldüğü gibi, ekserji verimi ise 0,000144 ile 0,000151 arasında değişmektedir.

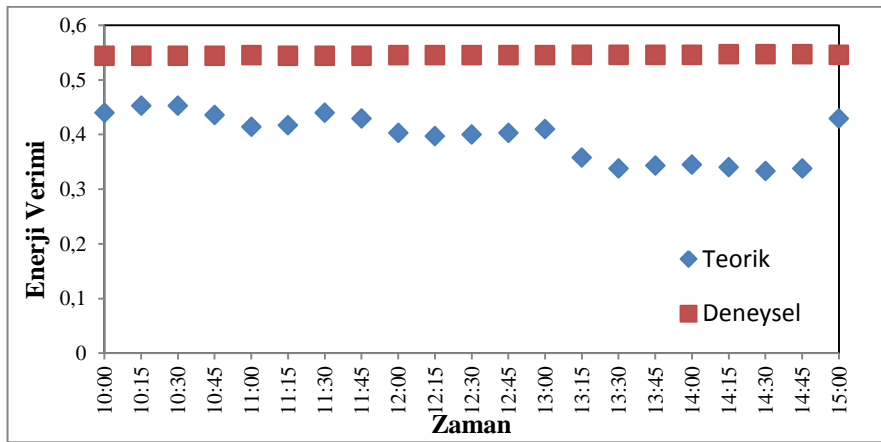
Çizelge 6.41. : Deney No 21, 80 mm, 1,7 m/s Ölçüm Sonuçları ($m_w=0,01344$ kg, $m_a=0,007998$ kg $T_w=21,4$ °C, 1 atm sabit alınmıştır.)

| Zaman | $T_{db,a}$ (°C) | W_a (%) | h_a (kJ/kg) | S_a (KJ/Kg·K) | $T_{ub,a}$ (°C) | $T_{db,b}$ (°C) | Wb (%) | H_b (kJ/kg) | S_b (KJ/Kg·K) | P_u (Kg/m³) | K_u (kJ/Kg·K) | μ_u (Kg/m.s) | Re | Pr | h_c (KJ/Kg·K) | Deneysel verim | Teorik verim | Verim farkı |
|-------|-----------------|-----------|------------------|--------------------|-----------------|--------------------|----------|------------------|--------------------|---------------|-----------------|------------------|--------|--------|-----------------|-------------------|--------------|-------------|
| 10,00 | 26,2 | 30,3 | 42,7 | 3,8845 | 15,3 | 21,4 | 70,3 | 50 | 3,8747 | 1,17961 | 0,02560 | 0,0000185 | 292,34 | 0,7292 | 53,32 | 0,544 | 0,440 | 0,191 |
| 10,15 | 26 | 31,4 | 43 | 3,8839 | 15,4 | 21,2 | 71,4 | 49,8 | 3,8707 | 1,18040 | 0,02558 | 0,0000185 | 292,69 | 0,7293 | 53,34 | 0,544 | 0,453 | 0,167 |
| 10,30 | 26,4 | 31,6 | 43,9 | 3,8852 | 15,8 | 21,6 | 71,6 | 51,2 | 3,8717 | 1,17883 | 0,02561 | 0,0000185 | 292,00 | 0,7292 | 53,30 | 0,544 | 0,453 | 0,167 |
| 10,45 | 26,8 | 30,8 | 44 | 3,8865 | 15,8 | 22 | 70,8 | 51,9 | 3,873 | 1,17725 | 0,02564 | 0,0000186 | 291,32 | 0,7290 | 53,26 | 0,544 | 0,436 | 0,199 |
| 11,00 | 28 | 29,3 | 45,8 | 3,8906 | 16,4 | 23,2 | 69,3 | 54,6 | 3,8689 | 1,17253 | 0,02573 | 0,0000186 | 289,28 | 0,7287 | 53,13 | 0,545 | 0,414 | 0,240 |
| 11,15 | 27,1 | 28,4 | 43,3 | 3,8876 | 15,6 | 22,3 | 68,4 | 51,7 | 3,8717 | 1,17607 | 0,02567 | 0,0000186 | 290,81 | 0,7290 | 53,22 | 0,544 | 0,417 | 0,233 |
| 11,30 | 26,8 | 31,2 | 44,3 | 3,8865 | 15,9 | 22 | 71,2 | 52,1 | 3,873 | 1,17725 | 0,02564 | 0,0000186 | 291,32 | 0,7290 | 53,26 | 0,544 | 0,440 | 0,191 |
| 11,45 | 27,3 | 30,4 | 44,8 | 3,8882 | 16,1 | 22,5 | 70,4 | 53,1 | 3,8724 | 1,17529 | 0,02568 | 0,0000186 | 290,47 | 0,7289 | 53,20 | 0,544 | 0,429 | 0,211 |
| 12,00 | 28,4 | 28,3 | 45,9 | 3,8919 | 16,5 | 23,6 | 68,3 | 55,5 | 3,8707 | 1,17096 | 0,02576 | 0,0000186 | 288,60 | 0,7286 | 53,09 | 0,545 | 0,403 | 0,261 |
| 12,15 | 28,1 | 27,2 | 44,6 | 3,8909 | 16 | 23,3 | 67,2 | 54 | 3,8713 | 1,17214 | 0,02574 | 0,0000186 | 289,11 | 0,7287 | 53,12 | 0,545 | 0,397 | 0,272 |
| 12,30 | 28,4 | 27,8 | 45,7 | 3,8919 | 16,4 | 23,6 | 67,8 | 55,3 | 3,8724 | 1,17096 | 0,02576 | 0,0000186 | 288,60 | 0,7286 | 53,09 | 0,545 | 0,400 | 0,266 |
| 12,45 | 28,6 | 28,6 | 46,6 | 3,8926 | 16,7 | 23,8 | 68,6 | 56,3 | 3,8754 | 1,17017 | 0,02578 | 0,0000187 | 288,26 | 0,7285 | 53,07 | 0,545 | 0,403 | 0,261 |
| 13,00 | 28,8 | 29,7 | 47,6 | 3,8932 | 17,1 | 24 | 69,7 | 57,2 | 3,8751 | 1,16939 | 0,02579 | 0,0000187 | 287,92 | 0,7285 | 53,05 | 0,545 | 0,410 | 0,248 |
| 13,15 | 30,3 | 24,2 | 47,1 | 3,8982 | 16,9 | 25,5 | 64,2 | 59 | 3,8774 | 1,16349 | 0,02590 | 0,0000187 | 285,40 | 0,7281 | 52,89 | 0,546 | 0,358 | 0,344 |
| 13,30 | 31,4 | 22,3 | 48 | 3,9019 | 17,2 | 26,6 | 62,3 | 61,4 | 3,8781 | 1,15916 | 0,02598 | 0,0000188 | 283,56 | 0,7278 | 52,78 | 0,546 | 0,338 | 0,381 |
| 13,45 | 31,5 | 23,4 | 48,8 | 3,9022 | 17,5 | 26,7 | 63,4 | 63,3 | 3,8761 | 1,15877 | 0,02599 | 0,0000188 | 283,40 | 0,7278 | 52,77 | 0,546 | 0,343 | 0,191 |
| 14,00 | 31,6 | 23,8 | 49,4 | 3,9025 | 17,7 | 26,8 | 63,8 | 63,7 | 3,8764 | 1,15837 | 0,02600 | 0,0000188 | 283,23 | 0,7277 | 52,76 | 0,546 | 0,345 | 0,167 |
| 14,15 | 31,8 | 23,6 | 49,7 | 3,9032 | 17,7 | 27 | 63,6 | 63,6 | 3,8771 | 1,15759 | 0,02601 | 0,0000188 | 282,90 | 0,7277 | 52,74 | 0,547 | 0,340 | 0,167 |
| 14,30 | 32,1 | 22,6 | 49,4 | 3,9042 | 17,7 | 27,3 | 62,6 | 62,7 | 3,8781 | 1,15641 | 0,02604 | 0,0000188 | 282,40 | 0,7276 | 52,71 | 0,547 | 0,333 | 0,199 |
| 14,45 | 32,5 | 24,1 | 51,4 | 3,9055 | 18,3 | 27,7 | 64,1 | 64,1 | 3,8795 | 1,15483 | 0,02607 | 0,0000188 | 281,73 | 0,7275 | 52,66 | 0,547 | 0,338 | 0,240 |
| 15,00 | 30 | 25,4 | 53 | 3,9075 | 18,8 | 25,2 | 65,4 | 64,5 | 3,8812 | 1,16467 | 0,02588 | 0,0000187 | 285,90 | 0,7282 | 52,93 | 0,546 | 0,429 | 0,233 |

Çizelge 6.42. : Deney No 21, 80 mm, 1,7 m/s Ölçüm Sonuçları ($m_w=0,01344$ kg, $m_a=0,007998$ kg $T_w=21,4$ °C, 1 atm sabit alınmıştır.)

| Zaman | $T_{dh,a}$ (°C) | W_a (%) | h_a (kj/kg) | S_a (Kj/Kg-K) | W_a | $T_{dh,b}$ (°C) | W_b (%) | H_b (kj/kg) | S_b (Kj/Kg-K) | W_b | $\Psi_{water,a}$ | $\Psi_{termal,a}$ | $\Psi_{mekanik,a}$ | $\Psi_{kimyasal,a}$ | $\Psi_{veplam,a}$ | $\Psi_{termal,b}$ | $\Psi_{mekanik,b}$ | $\Psi_{kimyasal,b}$ | $\Psi_{veplam,b}$ | Eksjeri verim |
|-------|-----------------|-----------|---------------|-----------------|--------|-----------------|-----------|---------------|-----------------|--------|------------------|-------------------|--------------------|---------------------|-------------------|-------------------|--------------------|---------------------|-------------------|---------------|
| 10,00 | 26,2 | 30,3 | 42,7 | 3,8845 | 0,0064 | 21,4 | 70,3 | 50 | 3,8747 | 0,0112 | 11,058 | 0,00002 | 0,00051 | 0,00077 | 11,05920 | 0,00048 | 0,001459 | 0,014507 | 0,0165 | 0,00148 |
| 10,15 | 26 | 31,4 | 43 | 3,8839 | 0,0066 | 21,2 | 71,4 | 49,8 | 3,8707 | 0,0112 | 11,058 | 0,00001 | 0,00051 | 0,00068 | 11,05911 | 0,00054 | 0,001459 | 0,014507 | 0,0165 | 0,00149 |
| 10,30 | 26,4 | 31,6 | 43,9 | 3,8852 | 0,0068 | 21,6 | 71,6 | 51,2 | 3,8717 | 0,0116 | 11,058 | 0,00003 | 0,00051 | 0,00059 | 11,05903 | 0,00043 | 0,001459 | 0,014507 | 0,0164 | 0,00148 |
| 10,45 | 26,8 | 30,8 | 44 | 3,8865 | 0,0067 | 22 | 70,8 | 51,9 | 3,873 | 0,0117 | 11,058 | 0,00004 | 0,00051 | 0,00063 | 11,05909 | 0,00034 | 0,001459 | 0,014507 | 0,0163 | 0,00147 |
| 11,00 | 28 | 29,3 | 45,8 | 3,8906 | 0,0069 | 23,2 | 69,3 | 54,6 | 3,8689 | 0,0123 | 11,058 | 0,00012 | 0,00051 | 0,00055 | 11,05909 | 0,00012 | 0,001459 | 0,014507 | 0,0161 | 0,00145 |
| 11,15 | 27,1 | 28,4 | 43,3 | 3,8876 | 0,0063 | 22,3 | 68,4 | 51,7 | 3,8717 | 0,0115 | 11,058 | 0,00006 | 0,00051 | 0,00082 | 11,05929 | 0,00027 | 0,001459 | 0,014507 | 0,0162 | 0,00146 |
| 11,30 | 26,8 | 31,2 | 44,3 | 3,8865 | 0,0068 | 22 | 71,2 | 52,1 | 3,873 | 0,0118 | 11,058 | 0,00004 | 0,00051 | 0,00059 | 11,05905 | 0,00034 | 0,001459 | 0,014507 | 0,0163 | 0,00147 |
| 11,45 | 27,3 | 30,4 | 44,8 | 3,8882 | 0,0068 | 22,5 | 70,4 | 53,1 | 3,8724 | 0,012 | 11,058 | 0,00007 | 0,00051 | 0,00059 | 11,05908 | 0,00023 | 0,001459 | 0,014507 | 0,0162 | 0,00146 |
| 12,00 | 28,4 | 28,3 | 45,9 | 3,8919 | 0,0068 | 23,6 | 68,3 | 55,5 | 3,8707 | 0,0125 | 11,058 | 0,00016 | 0,00051 | 0,00059 | 11,05917 | 0,00007 | 0,001459 | 0,014507 | 0,0160 | 0,00145 |
| 12,15 | 28,1 | 27,2 | 44,6 | 3,8909 | 0,0064 | 23,3 | 67,2 | 54 | 3,8713 | 0,012 | 11,058 | 0,00013 | 0,00051 | 0,00077 | 11,05932 | 0,00011 | 0,001459 | 0,014507 | 0,0161 | 0,00145 |
| 12,30 | 28,4 | 27,8 | 45,7 | 3,8919 | 0,0067 | 23,6 | 67,8 | 55,3 | 3,8724 | 0,0124 | 11,058 | 0,00016 | 0,00051 | 0,00063 | 11,05921 | 0,00007 | 0,001459 | 0,014507 | 0,0160 | 0,00145 |
| 12,45 | 28,6 | 28,6 | 46,6 | 3,8926 | 0,007 | 23,8 | 68,6 | 56,3 | 3,8754 | 0,0127 | 11,058 | 0,00018 | 0,00051 | 0,00051 | 11,05911 | 0,00005 | 0,001459 | 0,014507 | 0,0160 | 0,00144 |
| 13,00 | 28,8 | 29,7 | 47,6 | 3,8932 | 0,0073 | 24 | 69,7 | 57,2 | 3,8751 | 0,013 | 11,058 | 0,00020 | 0,00051 | 0,00041 | 11,05902 | 0,00004 | 0,001459 | 0,014507 | 0,0160 | 0,00144 |
| 13,15 | 30,3 | 24,2 | 47,1 | 3,8982 | 0,0065 | 25,5 | 64,2 | 59 | 3,8774 | 0,0131 | 11,058 | 0,00038 | 0,00051 | 0,00072 | 11,05952 | 0,00001 | 0,001459 | 0,014507 | 0,0160 | 0,00144 |
| 13,30 | 31,4 | 22,3 | 48 | 3,9019 | 0,0064 | 26,6 | 62,3 | 61,4 | 3,8781 | 0,0136 | 11,058 | 0,00056 | 0,00051 | 0,00077 | 11,05974 | 0,00009 | 0,001459 | 0,014507 | 0,0161 | 0,00145 |
| 13,45 | 31,5 | 23,4 | 48,8 | 3,9022 | 0,0067 | 26,7 | 63,4 | 63,3 | 3,8761 | 0,0143 | 11,058 | 0,00058 | 0,00051 | 0,00063 | 11,05963 | 0,00011 | 0,001459 | 0,014507 | 0,0161 | 0,00145 |
| 14,00 | 31,6 | 23,8 | 49,4 | 3,9025 | 0,0069 | 26,8 | 63,8 | 63,7 | 3,8764 | 0,0144 | 11,058 | 0,00060 | 0,00051 | 0,00055 | 11,05956 | 0,00012 | 0,001459 | 0,014507 | 0,0161 | 0,00145 |
| 14,15 | 31,8 | 23,6 | 49,7 | 3,9032 | 0,0069 | 27 | 63,6 | 63,6 | 3,8771 | 0,0143 | 11,058 | 0,00063 | 0,00051 | 0,00055 | 11,05960 | 0,00015 | 0,001459 | 0,014507 | 0,0161 | 0,00145 |
| 14,30 | 32,1 | 22,6 | 49,4 | 3,9042 | 0,0067 | 27,3 | 62,6 | 62,7 | 3,8781 | 0,0138 | 11,058 | 0,00069 | 0,00051 | 0,00063 | 11,05974 | 0,00020 | 0,001459 | 0,014507 | 0,0162 | 0,00146 |
| 14,45 | 32,5 | 24,1 | 51,4 | 3,9055 | 0,0073 | 27,7 | 64,1 | 64,1 | 3,8795 | 0,0142 | 11,058 | 0,00077 | 0,00051 | 0,00041 | 11,05959 | 0,00027 | 0,001459 | 0,014507 | 0,0162 | 0,00146 |
| 15,00 | 33,1 | 24,5 | 53 | 3,9075 | 0,0077 | 28,3 | 64,5 | 64,5 | 3,8812 | 0,0141 | 11,058 | 0,00090 | 0,00051 | 0,00029 | 11,05960 | 0,00040 | 0,001459 | 0,014507 | 0,0164 | 0,00148 |

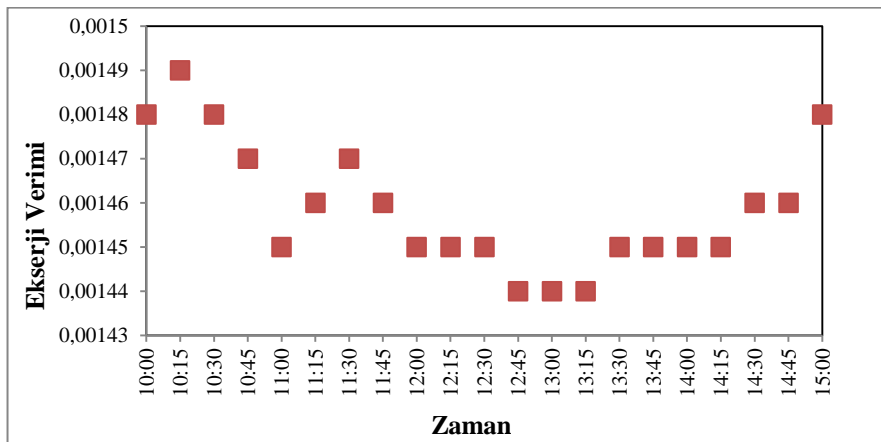
Şekil 6.41'de 80 mm ped kalınlığı ve 1,7 m/s hava giriş hızı için zamana bağlı olarak yirmibirinci deney için teorik ve deneysel enerji verimi değişimi verilmiştir.



Şekil 6.41: 80 mm ped kalınlığı ve 1,7 m/s hava giriş hızı için deneysel ve teorik enerji verimi (Deney No 21)

Şekil 6.41'de görüldüğü gibi, teorik enerji verimi 0,333 ile 0,440 arasında değişirken deneysel enerji verimi 0,544 ile 0,547 arasında çok az değişmektedir.

Şekil 6.42'de 80 mm ped kalınlığı ve 1,7 m/s hava giriş hızı için zamana bağlı olarak deneysel olarak hesaplana ekserji verimi değişimi verilmiştir.



Şekil 6.42. 80 mm ped kalınlığı ve 1,7 m/s hava giriş hızı için deneysel ve teorik enerji verimi (Deney No 21)

Şekil 6.42'den görüldüğü gibi, ekserji verimi ise 0,000144 ile 0,000149 arasında değişmektedir.

80 mm ped kalınlığı ve 1,5 m/s hava giriş hızı için yapılan birinci deneyin (Deney No 22) ölçüm sonuçları, termodinamik özelliklerini ve teorik ve deneysel olarak hesaplanan enerji verim değerleri ve ekserji analiz değerleri sırasıyla Çizelge 6.43 ve Çizelge 6.44'de verilmiştir. Aynı şekilde benzer ped kalınlığı ve hava giriş hızı için tekrarlanan ikinci (Deney No 23) ve üçüncü (Deney No 24) için enerji ve ekserji analizi ve ölçüm sonuçları sırasıyla Çizelge 6.45, 6.46, 6.47 ve 6.48'de verilmiştir.

Her üç deneyde de $\dot{m}_w=0,01344$, $\dot{m}_a=0,004935$, $T_w=22,3$ °C, 1 atm sabit alınmıştır.

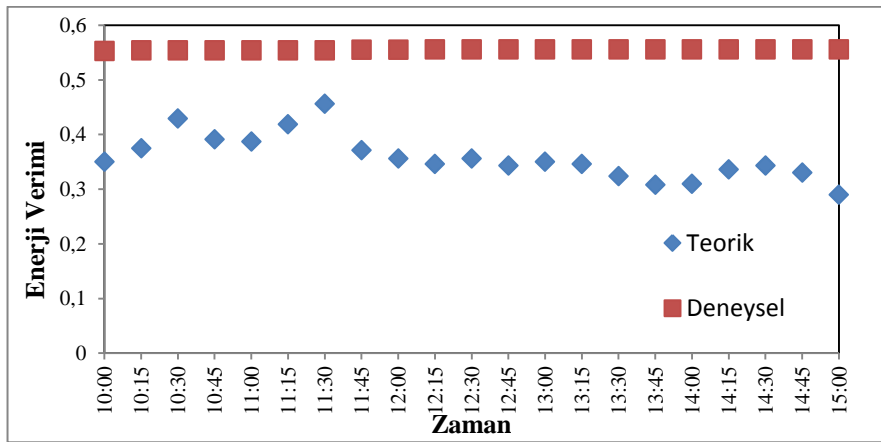
Çizelge 6.43. : Deney No 22, 80 mm, 1,5 m/s Ölçüm Sonuçları ($m_w=0,01344$ kg, $m_a=0,004935$ kg $T_w=22,3$ °C, 1 atm sabit alınmıştır.)

| Zaman | $T_{dh,a}$ (°C) | W_a (%) | h_a (kJ/kg) | S_a (Kj/Kg.K) | $T_{wb,a}$ (°C) | $T_{db,b}$ (°C) | Wb (%) | H_b (kJ/kg) | S_b (Kj/Kg.K) | P_u (Kg/m ³) | K_u (kJ/Kg.K) | μ_u (Kg/m.s) | Re | Pr | h_c (Kj/Kg.K) | Deneysel verim | Teorik verim | Verim farkı |
|-------|-----------------|-----------|------------------|--------------------|-----------------|--------------------|----------|------------------|--------------------|----------------------------|-----------------|------------------|--------|--------|-----------------|-------------------|--------------|-------------|
| 10,00 | 27,6 | 35,4 | 48,4 | 3,8892 | 17,3 | 24 | 70,4 | 57,7 | 3,8782 | 1,17411 | 0,02570 | 0,0000186 | 255,84 | 0,7288 | 48,11 | 0,553 | 0,350 | 0,367 |
| 10,15 | 28,1 | 34,8 | 49,2 | 2,8909 | 17,6 | 24,5 | 69,8 | 65,4 | 2,8799 | 1,17214 | 0,02574 | 0,0000186 | 255,10 | 0,7287 | 48,06 | 0,554 | 0,375 | 0,323 |
| 10,30 | 28,5 | 33,7 | 49,6 | 3,8922 | 17,7 | 24,9 | 68,7 | 64 | 3,8812 | 1,17057 | 0,02577 | 0,0000186 | 254,50 | 0,7286 | 48,02 | 0,554 | 0,429 | 0,226 |
| 10,45 | 29 | 32,6 | 49,9 | 3,8939 | 17,8 | 25,4 | 67,6 | 62,4 | 3,8829 | 1,16860 | 0,02581 | 0,0000187 | 253,75 | 0,7284 | 47,98 | 0,554 | 0,391 | 0,294 |
| 11,00 | 29,3 | 31,7 | 49,9 | 3,8949 | 17,8 | 25,7 | 66,7 | 65,2 | 3,8839 | 1,16742 | 0,02583 | 0,0000187 | 253,31 | 0,7284 | 47,95 | 0,554 | 0,387 | 0,301 |
| 11,15 | 29,4 | 30,5 | 49 | 3,8952 | 17,7 | 25,8 | 65,5 | 61,6 | 3,8842 | 1,16703 | 0,02584 | 0,0000187 | 253,16 | 0,7283 | 47,94 | 0,554 | 0,419 | 0,244 |
| 11,30 | 29,7 | 29,8 | 49,6 | 3,8963 | 17,7 | 26,1 | 64,8 | 64,1 | 3,8853 | 1,16585 | 0,02586 | 0,0000187 | 252,71 | 0,7282 | 47,91 | 0,554 | 0,456 | 0,177 |
| 11,45 | 30,6 | 30,6 | 52,3 | 3,8992 | 18,6 | 27 | 65,6 | 64,4 | 3,8882 | 1,16231 | 0,02592 | 0,0000187 | 251,38 | 0,7280 | 47,83 | 0,555 | 0,371 | 0,332 |
| 12,00 | 31,2 | 30,6 | 53,6 | 3,9012 | 19 | 27,6 | 65,6 | 66 | 3,8902 | 1,15995 | 0,02597 | 0,0000188 | 250,50 | 0,7278 | 47,77 | 0,555 | 0,356 | 0,359 |
| 12,15 | 32 | 29,8 | 54,7 | 3,9038 | 19,3 | 28,4 | 64,8 | 66,5 | 3,8928 | 1,15680 | 0,02603 | 0,0000188 | 249,32 | 0,7276 | 47,69 | 0,556 | 0,346 | 0,378 |
| 12,30 | 32,5 | 29,5 | 55,7 | 3,9055 | 19,6 | 28,9 | 64,5 | 66,4 | 3,8945 | 1,15483 | 0,02607 | 0,0000188 | 248,59 | 0,7275 | 47,65 | 0,556 | 0,356 | 0,360 |
| 12,45 | 32,6 | 29,7 | 56,1 | 3,9058 | 19,7 | 29 | 64,7 | 68,4 | 3,8948 | 1,15444 | 0,02607 | 0,0000188 | 248,44 | 0,7275 | 47,64 | 0,556 | 0,343 | 0,383 |
| 13,00 | 32,4 | 30 | 55,9 | 3,9052 | 19,7 | 28,8 | 65 | 71 | 3,8942 | 1,15523 | 0,02606 | 0,0000188 | 248,74 | 0,7275 | 47,66 | 0,556 | 0,350 | 0,371 |
| 13,15 | 32,5 | 29,6 | 55,7 | 3,9055 | 19,6 | 28,9 | 64,6 | 69,4 | 3,8945 | 1,15483 | 0,02607 | 0,0000188 | 248,59 | 0,7275 | 47,65 | 0,556 | 0,346 | 0,378 |
| 13,30 | 32,6 | 28,9 | 55,6 | 3,9058 | 19,6 | 29 | 63,9 | 65,7 | 3,8948 | 1,15444 | 0,02607 | 0,0000188 | 248,44 | 0,7275 | 47,64 | 0,556 | 0,324 | 0,417 |
| 13,45 | 32,8 | 29,9 | 56,8 | 3,9065 | 20 | 29,2 | 64,9 | 64,3 | 3,8955 | 1,15365 | 0,02609 | 0,0000188 | 248,15 | 0,7274 | 47,62 | 0,556 | 0,308 | 0,367 |
| 14,00 | 33 | 29,5 | 57 | 3,9071 | 20 | 29,4 | 64,5 | 68,5 | 3,8961 | 1,15287 | 0,02610 | 0,0000189 | 247,86 | 0,7273 | 47,60 | 0,556 | 0,310 | 0,323 |
| 14,15 | 32,3 | 29,4 | 55,3 | 3,9048 | 19,5 | 28,7 | 64,4 | 67,2 | 3,8938 | 1,15562 | 0,02605 | 0,0000188 | 248,88 | 0,7275 | 47,67 | 0,556 | 0,336 | 0,226 |
| 14,30 | 31,7 | 29,6 | 53,9 | 3,9029 | 19,1 | 28,1 | 64,6 | 67,2 | 3,8919 | 1,15798 | 0,02601 | 0,0000188 | 249,76 | 0,7277 | 47,72 | 0,556 | 0,343 | 0,294 |
| 14,45 | 32,1 | 29,8 | 55,1 | 3,9042 | 19,4 | 28,5 | 64,8 | 69,4 | 3,8932 | 1,15641 | 0,02604 | 0,0000188 | 249,17 | 0,7276 | 47,68 | 0,556 | 0,330 | 0,301 |
| 15,00 | 32,2 | 31,2 | 56,5 | 3,9045 | 19,8 | 28,6 | 66,2 | 65,2 | 3,8935 | 1,15601 | 0,02604 | 0,0000188 | 249,03 | 0,7276 | 47,67 | 0,556 | 0,290 | 0,244 |

Çizelge 6.44. : Deney No 22, 80 mm, 1,5 m/s Ölçüm Sonuçları ($m_w=0,01344$ kg, $m_a=0,004935$ kg $T_w=22,3$ °C, 1 atm sabit alınmıştır.)

| Zaman | $T_{db,a}$ (°C) | W_a (%) | h_a (kj/kg) | S_a ($Kj/Kg \cdot K$) | W_a | $T_{db,b}$ (°C) | W_b (%) | H_b (kj/kg) | S_b ($Kj/Kg \cdot K$) | W_b | $\Psi_{vater,a}$ | $\Psi_{termal,a}$ | $\Psi_{mekanik,a}$ | $\Psi_{kimyasal,a}$ | $\Psi_{toplama}$ | $\Psi_{termal,b}$ | $\Psi_{mekanik,b}$ | $\Psi_{kimyasal,b}$ | $\Psi_{toplama,b}$ | Eksiyii verim |
|-------|-----------------|-----------|---------------|---------------------------|--------|-----------------|-----------|---------------|---------------------------|--------|------------------|-------------------|--------------------|---------------------|------------------|-------------------|--------------------|---------------------|--------------------|---------------|
| 10,00 | 27,6 | 35,4 | 48,4 | 3,8892 | 0,0081 | 24 | 70,4 | 57,7 | 3,8782 | 0,0132 | 11,057 | 0,000058 | 0,00032 | 0,00012 | 11,05785 | 0,00003 | 0,001209 | 0,024347 | 0,0256 | 0,00231 |
| 10,15 | 28,1 | 34,8 | 49,2 | 2,8909 | 0,0082 | 24,5 | 69,8 | 65,4 | 2,8799 | 0,0157 | 11,057 | 0,000082 | 0,00032 | 0,00010 | 11,05786 | 0,00001 | 0,001209 | 0,024347 | 0,0256 | 0,00231 |
| 10,30 | 28,5 | 33,7 | 49,6 | 3,8922 | 0,0082 | 24,9 | 68,7 | 64 | 3,8812 | 0,0153 | 11,057 | 0,000105 | 0,00032 | 0,00010 | 11,05788 | 0,00000 | 0,001209 | 0,024347 | 0,0256 | 0,00231 |
| 10,45 | 29 | 32,6 | 49,9 | 3,8939 | 0,0081 | 25,4 | 67,6 | 62,4 | 3,8829 | 0,0151 | 11,057 | 0,000136 | 0,00032 | 0,00012 | 11,05793 | 0,00001 | 0,001209 | 0,024347 | 0,0256 | 0,00231 |
| 11,00 | 29,3 | 31,7 | 49,9 | 3,8949 | 0,008 | 25,7 | 66,7 | 65,2 | 3,8839 | 0,0153 | 11,057 | 0,000157 | 0,00032 | 0,00013 | 11,05796 | 0,00002 | 0,001209 | 0,024347 | 0,0256 | 0,00231 |
| 11,15 | 29,4 | 30,5 | 49 | 3,8952 | 0,0076 | 25,8 | 65,5 | 61,6 | 3,8842 | 0,0147 | 11,057 | 0,000165 | 0,00032 | 0,00019 | 11,05804 | 0,00002 | 0,001209 | 0,024347 | 0,0256 | 0,00231 |
| 11,30 | 29,7 | 29,8 | 49,6 | 3,8963 | 0,0077 | 26,1 | 64,8 | 64,1 | 3,8853 | 0,0152 | 11,057 | 0,000188 | 0,00032 | 0,00018 | 11,05804 | 0,00004 | 0,001209 | 0,024347 | 0,0256 | 0,00231 |
| 11,45 | 30,6 | 30,6 | 52,3 | 3,8992 | 0,0084 | 27 | 65,6 | 64,4 | 3,8882 | 0,0156 | 11,057 | 0,000267 | 0,00032 | 0,00008 | 11,05802 | 0,00013 | 0,001209 | 0,024347 | 0,0257 | 0,00232 |
| 12,00 | 31,2 | 30,6 | 53,6 | 3,9012 | 0,0087 | 27,6 | 65,6 | 66 | 3,8902 | 0,0159 | 11,057 | 0,000327 | 0,00032 | 0,00005 | 11,05805 | 0,00022 | 0,001209 | 0,024347 | 0,0258 | 0,00232 |
| 12,15 | 32 | 29,8 | 54,7 | 3,9038 | 0,0088 | 28,4 | 64,8 | 66,5 | 3,8928 | 0,016 | 11,057 | 0,000416 | 0,00032 | 0,00004 | 11,05814 | 0,00037 | 0,001209 | 0,024347 | 0,0259 | 0,00234 |
| 12,30 | 32,5 | 29,5 | 55,7 | 3,9055 | 0,009 | 28,9 | 64,5 | 66,4 | 3,8945 | 0,0162 | 11,057 | 0,000478 | 0,00032 | 0,00003 | 11,05818 | 0,00048 | 0,001209 | 0,024347 | 0,0260 | 0,00235 |
| 12,45 | 32,6 | 29,7 | 56,1 | 3,9058 | 0,0091 | 29 | 64,7 | 68,4 | 3,8948 | 0,0167 | 11,057 | 0,000491 | 0,00032 | 0,00002 | 11,05819 | 0,00051 | 0,001209 | 0,024347 | 0,0261 | 0,00235 |
| 13,00 | 32,4 | 30 | 55,9 | 3,9052 | 0,0091 | 28,8 | 65 | 71 | 3,8942 | 0,0176 | 11,057 | 0,000465 | 0,00032 | 0,00002 | 11,05816 | 0,00046 | 0,001209 | 0,024347 | 0,0260 | 0,00235 |
| 13,15 | 32,5 | 29,6 | 55,7 | 3,9055 | 0,009 | 28,9 | 64,6 | 69,4 | 3,8945 | 0,0169 | 11,057 | 0,000478 | 0,00032 | 0,00003 | 11,05818 | 0,00048 | 0,001209 | 0,024347 | 0,0260 | 0,00235 |
| 13,30 | 32,6 | 28,9 | 55,6 | 3,9058 | 0,0089 | 29 | 63,9 | 65,7 | 3,8948 | 0,0157 | 11,057 | 0,000490 | 0,00032 | 0,00003 | 11,05820 | 0,00051 | 0,001209 | 0,024347 | 0,0261 | 0,00235 |
| 13,45 | 32,8 | 29,9 | 56,8 | 3,9065 | 0,0093 | 29,2 | 64,9 | 64,3 | 3,8955 | 0,0153 | 11,057 | 0,000517 | 0,00032 | 0,00001 | 11,05821 | 0,00056 | 0,001209 | 0,024347 | 0,0261 | 0,00236 |
| 14,00 | 33 | 29,5 | 57 | 3,9071 | 0,0093 | 29,4 | 64,5 | 68,5 | 3,8961 | 0,0165 | 11,057 | 0,000543 | 0,00032 | 0,00001 | 11,05823 | 0,00062 | 0,001209 | 0,024347 | 0,0262 | 0,00236 |
| 14,15 | 32,3 | 29,4 | 55,3 | 3,9048 | 0,0089 | 28,7 | 64,4 | 67,2 | 3,8938 | 0,0161 | 11,057 | 0,000452 | 0,00032 | 0,00003 | 11,05816 | 0,00044 | 0,001209 | 0,024347 | 0,0260 | 0,00234 |
| 14,30 | 31,7 | 29,6 | 53,9 | 3,9029 | 0,0086 | 28,1 | 64,6 | 67,2 | 3,8919 | 0,0162 | 11,057 | 0,000381 | 0,00032 | 0,00006 | 11,05812 | 0,00031 | 0,001209 | 0,024347 | 0,0259 | 0,00233 |
| 14,45 | 32,1 | 29,8 | 55,1 | 3,9042 | 0,0089 | 28,5 | 64,8 | 69,4 | 3,8932 | 0,0168 | 11,057 | 0,000428 | 0,00032 | 0,00003 | 11,05814 | 0,00039 | 0,001209 | 0,024347 | 0,0259 | 0,00234 |
| 15,00 | 32,2 | 31,2 | 56,5 | 3,9045 | 0,0094 | 28,6 | 66,2 | 65,2 | 3,8935 | 0,0157 | 11,057 | 0,000441 | 0,00032 | 0,00001 | 11,05813 | 0,00041 | 0,001245 | 0,007158 | 0,0088 | 0,00234 |

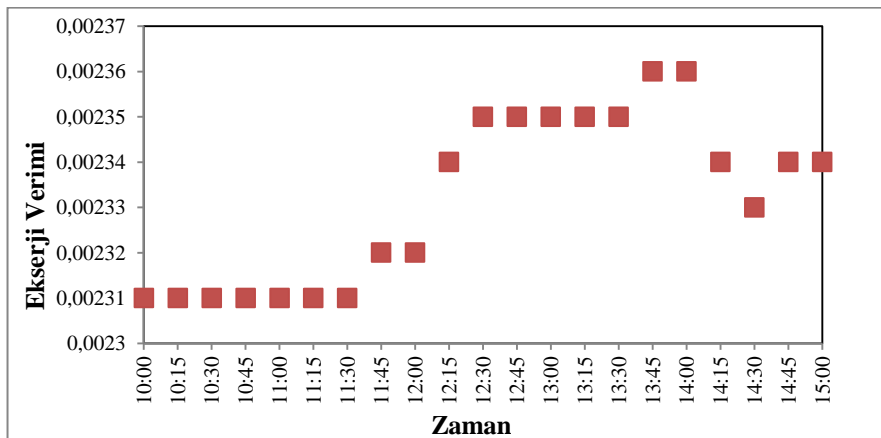
Şekil 6.43'de 80 mm ped kalınlığı ve 1,5 m/s hava giriş hızı için zamana bağlı olarak yirmi ikinci deney için teorik ve deneysel enerji verimi değişimi verilmiştir.



Şekil 6.43: 80 mm ped kalınlığı ve 1,5 m/s hava giriş hızı için deneysel ve teorik enerji verimi (Deney No 22)

Şekil 6.43'de görüldüğü gibi, teorik enerji verimi 0,290 ile 0,456 arasında değişirken deneysel enerji verimi 0,553 ile 0,556 arasında çok az değişmektedir.

Şekil 6.44'de 80 mm ped kalınlığı ve 1,5 m/s hava giriş hızı için zamana bağlı olarak deneysel olarak hesaplana ekserji verimi değişimi verilmiştir.



Şekil 6.44. 80 mm ped kalınlığı ve 1,5 m/s hava giriş hızı için deneysel ve teorik enerji verimi (Deney No 22)

Şekil 6.44'den görüldüğü gibi, ekserji verimi ise 0,000231 ile 0,000236 arasında değişmektedir.

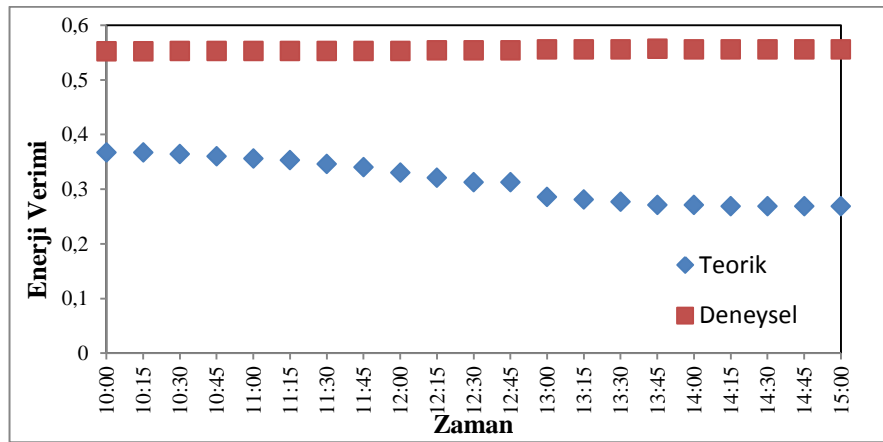
Çizelge 6.45. : Deney No 23, 80 mm, 1,5 m/s Ölçüm Sonuçları ($m_w=0,01344$ kg, $m_a=0,004935$ kg $T_w=22,3$ °C, 1 atm sabit alınmıştır.)

| Zaman | $T_{dh,a}$ (°C) | W_a (%) | h_a (kJ/kg) | S_a (KJ/Kg-K) | $T_{wb,a}$ (°C) | $T_{dh,b}$ (°C) | Wb (%) | H_b (kJ/kg) | S_b (KJ/Kg-K) | P_u (Kg/m ³) | K_u (kJ/Kg.K) | μ_u (Kg/m.s) | Re | Pr | h_c (kJ/Kg.K) | Deneysel verim | Teorik verim | Verim farkı |
|-------|-----------------|-----------|------------------|--------------------|-----------------|--------------------|----------|------------------|--------------------|----------------------------|-----------------|------------------|--------|--------|-----------------|----------------|--------------|-------------|
| 10,00 | 25,5 | 35 | 43,7 | 3,8845 | 15,7 | 21,9 | 70 | 51,3 | 3,8735 | 1,18237 | 0,02555 | 0,0000185 | 259,01 | 0,7294 | 48,30 | 0,552 | 0,367 | 0,335 |
| 10,15 | 25,8 | 35,4 | 44,6 | 3,8839 | 16 | 22,2 | 70,4 | 52,3 | 3,8729 | 1,18119 | 0,02557 | 0,0000185 | 258,55 | 0,7293 | 48,27 | 0,552 | 0,367 | 0,335 |
| 10,30 | 25,9 | 35,2 | 44,7 | 3,8852 | 16 | 22,3 | 70,2 | 52,4 | 3,8742 | 1,18079 | 0,02558 | 0,0000185 | 258,40 | 0,7293 | 48,26 | 0,553 | 0,364 | 0,342 |
| 10,45 | 26 | 34,7 | 44,5 | 3,8865 | 16 | 22,4 | 69,7 | 52,5 | 3,8755 | 1,18040 | 0,02558 | 0,0000185 | 258,25 | 0,7293 | 48,26 | 0,553 | 0,360 | 0,349 |
| 11,00 | 26,1 | 34,5 | 44,6 | 3,8906 | 16 | 22,5 | 69,5 | 52,9 | 3,8796 | 1,18001 | 0,02559 | 0,0000185 | 258,10 | 0,7292 | 48,25 | 0,553 | 0,356 | 0,356 |
| 11,15 | 26,3 | 33,8 | 44,8 | 3,8876 | 16,1 | 22,7 | 68,8 | 53,1 | 3,8766 | 1,17922 | 0,02561 | 0,0000185 | 257,80 | 0,7292 | 48,23 | 0,553 | 0,353 | 0,362 |
| 11,30 | 26,5 | 33,2 | 44,8 | 3,8865 | 16,1 | 22,9 | 68,2 | 53,3 | 3,8755 | 1,17843 | 0,02562 | 0,0000186 | 257,50 | 0,7291 | 48,21 | 0,553 | 0,346 | 0,374 |
| 11,45 | 26,6 | 32,2 | 44,6 | 3,8882 | 16 | 23 | 67,2 | 53,1 | 3,8772 | 1,17804 | 0,02563 | 0,0000186 | 257,35 | 0,7291 | 48,20 | 0,553 | 0,340 | 0,385 |
| 12,00 | 27 | 31 | 44,8 | 3,8919 | 16,1 | 23,4 | 66 | 53,8 | 3,8809 | 1,17647 | 0,02566 | 0,0000186 | 256,74 | 0,7290 | 48,16 | 0,553 | 0,330 | 0,403 |
| 12,15 | 28,1 | 31,3 | 47,2 | 3,8909 | 16,9 | 24,5 | 66,3 | 56,5 | 3,8799 | 1,17214 | 0,02574 | 0,0000186 | 255,10 | 0,7287 | 48,06 | 0,554 | 0,321 | 0,421 |
| 12,30 | 28,8 | 30,8 | 48,4 | 3,8919 | 17,3 | 25,2 | 65,8 | 59 | 3,8809 | 1,16939 | 0,02579 | 0,0000187 | 254,05 | 0,7285 | 48,00 | 0,554 | 0,313 | 0,435 |
| 12,45 | 29 | 30,9 | 48,8 | 3,8926 | 17,5 | 25,4 | 65,9 | 59,7 | 3,8816 | 1,16860 | 0,02581 | 0,0000187 | 253,75 | 0,7284 | 47,98 | 0,554 | 0,313 | 0,435 |
| 13,00 | 31,9 | 29,8 | 54,6 | 3,8932 | 19,3 | 28,3 | 64,8 | 68,6 | 3,8822 | 1,15719 | 0,02602 | 0,0000188 | 249,47 | 0,7276 | 47,70 | 0,556 | 0,286 | 0,486 |
| 13,15 | 32,5 | 29,7 | 56 | 3,8982 | 19,7 | 28,9 | 64,7 | 70,5 | 3,8872 | 1,15483 | 0,02607 | 0,0000188 | 248,59 | 0,7275 | 47,65 | 0,556 | 0,281 | 0,495 |
| 13,30 | 33,2 | 29,5 | 57,5 | 3,9019 | 20,2 | 29,6 | 64,5 | 73 | 3,8909 | 1,15208 | 0,02612 | 0,0000189 | 247,57 | 0,7273 | 47,58 | 0,556 | 0,277 | 0,335 |
| 13,45 | 33,7 | 29,2 | 58,3 | 3,9022 | 20,4 | 30,1 | 64,2 | 74,5 | 3,8912 | 1,15011 | 0,02615 | 0,0000189 | 246,84 | 0,7272 | 47,53 | 0,557 | 0,271 | 0,335 |
| 14,00 | 33,6 | 28,9 | 57,9 | 3,9025 | 20,3 | 30 | 63,9 | 73,9 | 3,8915 | 1,15051 | 0,02615 | 0,0000189 | 246,98 | 0,7272 | 47,54 | 0,556 | 0,271 | 0,342 |
| 14,15 | 33,5 | 28,6 | 57,3 | 3,9032 | 20,1 | 29,9 | 63,6 | 73,3 | 3,8922 | 1,15090 | 0,02614 | 0,0000189 | 247,13 | 0,7272 | 47,55 | 0,556 | 0,269 | 0,349 |
| 14,30 | 33,4 | 28,4 | 56,9 | 3,9042 | 20 | 29,8 | 63,4 | 72,9 | 3,8932 | 1,15129 | 0,02613 | 0,0000189 | 247,28 | 0,7272 | 47,56 | 0,556 | 0,269 | 0,356 |
| 14,45 | 33,3 | 28,2 | 56,6 | 3,9055 | 19,9 | 29,7 | 63,2 | 72,3 | 3,8945 | 1,15169 | 0,02612 | 0,0000189 | 247,42 | 0,7273 | 47,57 | 0,556 | 0,269 | 0,362 |
| 15,00 | 33 | 28 | 55,7 | 3,9075 | 19,6 | 29,4 | 63 | 71,2 | 3,8965 | 1,15287 | 0,02610 | 0,0000189 | 247,86 | 0,7273 | 47,60 | 0,556 | 0,269 | 0,374 |

Çizelge 6.46. : Deney No 23, 80 mm, 1,5 m/s Ölçüm Sonuçları ($m_w=0,01344$ kg, $m_a=0,004935$ kg $T_w=22,3$ °C, 1 atm sabit alınmıştır.)

| Zaman | $T_{db,a}$ (°C) | W_a (%) | h_a (kj/kg) | S_a (Kj/Kg-K) | W_a | $T_{db,b}$ (°C) | W_b (%) | H_b (kj/kg) | S_b (Kj/Kg-K) | W_b | $\Psi_{water,a}$ | $\Psi_{termal,a}$ | $\Psi_{mekanik,a}$ | $\Psi_{kimyasal,a}$ | $\Psi_{toplama}$ | $\Psi_{termal,b}$ | $\Psi_{mekanik,b}$ | $\Psi_{kimyasal,b}$ | $\Psi_{toplama,b}$ | Eksjerji verim |
|-------|-----------------|-----------|---------------|-----------------|--------|-----------------|-----------|---------------|-----------------|--------|------------------|-------------------|--------------------|---------------------|------------------|-------------------|--------------------|---------------------|--------------------|----------------|
| 10,00 | 25,5 | 35 | 43,7 | 3,8845 | 0,0071 | 21,9 | 70 | 51,3 | 3,8735 | 0,0115 | 11,057 | 0,00000 | 0,00032 | 0,00029 | 11,05797 | 0,00031 | 0,001209 | 0,024347 | 0,0259 | 0,00233 |
| 10,15 | 25,8 | 35,4 | 44,6 | 3,8839 | 0,0073 | 22,2 | 70,4 | 52,3 | 3,8729 | 0,0118 | 11,057 | 0,00001 | 0,00032 | 0,00025 | 11,05793 | 0,00025 | 0,001209 | 0,024347 | 0,0258 | 0,00233 |
| 10,30 | 25,9 | 35,2 | 44,7 | 3,8852 | 0,0073 | 22,3 | 70,2 | 52,4 | 3,8742 | 0,0118 | 11,057 | 0,00001 | 0,00032 | 0,00025 | 11,05793 | 0,00023 | 0,001209 | 0,024347 | 0,0258 | 0,00233 |
| 10,45 | 26 | 34,7 | 44,5 | 3,8865 | 0,0072 | 22,4 | 69,7 | 52,5 | 3,8755 | 0,0118 | 11,057 | 0,00001 | 0,00032 | 0,00027 | 11,05796 | 0,00022 | 0,001209 | 0,024347 | 0,0258 | 0,00232 |
| 11,00 | 26,1 | 34,5 | 44,6 | 3,8906 | 0,0072 | 22,5 | 69,5 | 52,9 | 3,8796 | 0,0119 | 11,057 | 0,00001 | 0,00032 | 0,00027 | 11,05796 | 0,00020 | 0,001209 | 0,024347 | 0,0258 | 0,00232 |
| 11,15 | 26,3 | 33,8 | 44,8 | 3,8876 | 0,0072 | 22,7 | 68,8 | 53,1 | 3,8766 | 0,0119 | 11,057 | 0,00001 | 0,00032 | 0,00027 | 11,05796 | 0,00017 | 0,001209 | 0,024347 | 0,0257 | 0,00232 |
| 11,30 | 26,5 | 33,2 | 44,8 | 3,8865 | 0,0071 | 22,9 | 68,2 | 53,3 | 3,8755 | 0,0119 | 11,057 | 0,00002 | 0,00032 | 0,00029 | 11,05799 | 0,00014 | 0,001209 | 0,024347 | 0,0257 | 0,00232 |
| 11,45 | 26,6 | 32,2 | 44,6 | 3,8882 | 0,007 | 23 | 67,2 | 53,1 | 3,8772 | 0,0118 | 11,057 | 0,00002 | 0,00032 | 0,00032 | 11,05801 | 0,00013 | 0,001209 | 0,024347 | 0,0257 | 0,00232 |
| 12,00 | 27 | 31 | 44,8 | 3,8919 | 0,0069 | 23,4 | 66 | 53,8 | 3,8809 | 0,0119 | 11,057 | 0,00003 | 0,00032 | 0,00034 | 11,05805 | 0,00008 | 0,001209 | 0,024347 | 0,0256 | 0,00231 |
| 12,15 | 28,1 | 31,3 | 47,2 | 3,8909 | 0,0074 | 24,5 | 66,3 | 56,5 | 3,8799 | 0,0126 | 11,057 | 0,00008 | 0,00032 | 0,00023 | 11,05799 | 0,00001 | 0,001209 | 0,024347 | 0,0256 | 0,00231 |
| 12,30 | 28,8 | 30,8 | 48,4 | 3,8919 | 0,0076 | 25,2 | 65,8 | 59 | 3,8809 | 0,0132 | 11,057 | 0,00012 | 0,00032 | 0,00019 | 11,05799 | 0,00000 | 0,001209 | 0,024347 | 0,0256 | 0,00231 |
| 12,45 | 29 | 30,9 | 48,8 | 3,8926 | 0,0077 | 25,4 | 65,9 | 59,7 | 3,8816 | 0,0134 | 11,057 | 0,00014 | 0,00032 | 0,00018 | 11,05799 | 0,00001 | 0,001209 | 0,024347 | 0,0256 | 0,00231 |
| 13,00 | 31,9 | 29,8 | 54,6 | 3,8932 | 0,0088 | 28,3 | 64,8 | 68,6 | 3,8822 | 0,0157 | 11,057 | 0,00040 | 0,00032 | 0,00004 | 11,05812 | 0,00035 | 0,001209 | 0,024347 | 0,0259 | 0,00234 |
| 13,15 | 32,5 | 29,7 | 56 | 3,8982 | 0,0091 | 28,9 | 64,7 | 70,5 | 3,8872 | 0,0162 | 11,057 | 0,00048 | 0,00032 | 0,00002 | 11,05818 | 0,00048 | 0,001209 | 0,024347 | 0,0260 | 0,00235 |
| 13,30 | 33,2 | 29,5 | 57,5 | 3,9019 | 0,0094 | 29,6 | 64,5 | 73 | 3,8909 | 0,0169 | 11,057 | 0,00057 | 0,00032 | 0,00001 | 11,05826 | 0,00067 | 0,001209 | 0,024347 | 0,0262 | 0,00237 |
| 13,45 | 33,7 | 29,2 | 58,3 | 3,9022 | 0,0095 | 30,1 | 64,2 | 74,5 | 3,8912 | 0,0173 | 11,057 | 0,00064 | 0,00032 | 0,00001 | 11,05832 | 0,00083 | 0,001209 | 0,024347 | 0,0264 | 0,00238 |
| 14,00 | 33,6 | 28,9 | 57,9 | 3,9025 | 0,0094 | 30 | 63,9 | 73,9 | 3,8915 | 0,0171 | 11,057 | 0,00063 | 0,00032 | 0,00001 | 11,05831 | 0,00080 | 0,001209 | 0,024347 | 0,0264 | 0,00238 |
| 14,15 | 33,5 | 28,6 | 57,3 | 3,9032 | 0,0092 | 29,9 | 63,6 | 73,3 | 3,8922 | 0,0169 | 11,057 | 0,00061 | 0,00032 | 0,00002 | 11,05831 | 0,00076 | 0,001209 | 0,024347 | 0,0263 | 0,00237 |
| 14,30 | 33,4 | 28,4 | 56,9 | 3,9042 | 0,0091 | 29,8 | 63,4 | 72,9 | 3,8932 | 0,0168 | 11,057 | 0,00060 | 0,00032 | 0,00002 | 11,05830 | 0,00073 | 0,001209 | 0,024347 | 0,0263 | 0,00237 |
| 14,45 | 33,3 | 28,2 | 56,6 | 3,9055 | 0,009 | 29,7 | 63,2 | 72,3 | 3,8945 | 0,0166 | 11,057 | 0,00058 | 0,00032 | 0,00003 | 11,05829 | 0,00070 | 0,001209 | 0,024347 | 0,0263 | 0,00237 |
| 15,00 | 33 | 28 | 55,7 | 3,9075 | 0,0088 | 29,4 | 63 | 71,2 | 3,8965 | 0,0163 | 11,057 | 0,00054 | 0,00032 | 0,00004 | 11,05826 | 0,00062 | 0,001245 | 0,007158 | 0,0090 | 0,00237 |

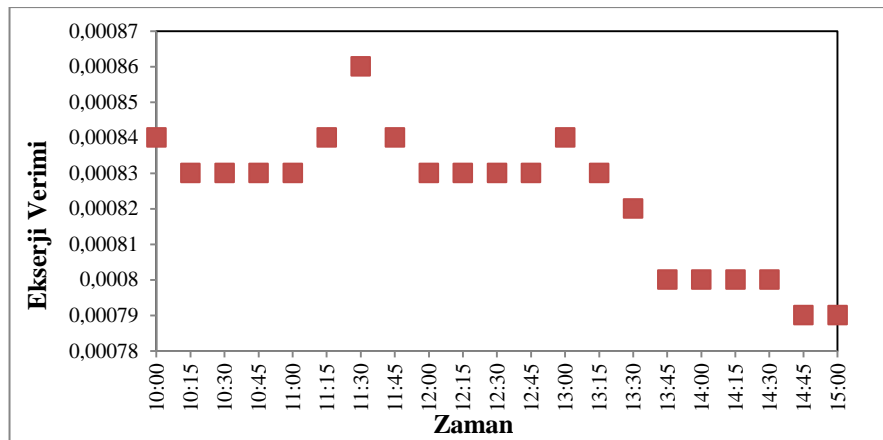
Şekil 6.45'de 80 mm ped kalınlığı ve 1,5 m/s hava giriş hızı için zamana bağlı olarak yirmi üçüncü deney için teorik ve deneysel enerji verimi değişimi verilmiştir.



Şekil 6.45: 80 mm ped kalınlığı ve 1,5 m/s hava giriş hızı için deneysel ve teorik enerji verimi (Deney No 23)

Şekil 6.45'de görüldüğü gibi, teorik enerji verimi 0,269 ile 0,367 arasında değişirken deneysel enerji verimi 0,552 ile 0,557 arasında çok az değişmektedir.

Şekil 6.46'da 80 mm ped kalınlığı ve 1,5 m/s hava giriş hızı için zamana bağlı olarak deneysel olarak hesaplana ekserji verimi değişimi verilmiştir.



Şekil 6.46. 80 mm ped kalınlığı ve 1,5 m/s hava giriş hızı için deneysel ve teorik enerji verimi (Deney No 23)

Şekil 6.46'dan görüldüğü gibi, ekserji verimi ise 0,000231 ile 0,000237 arasında değişmektedir.

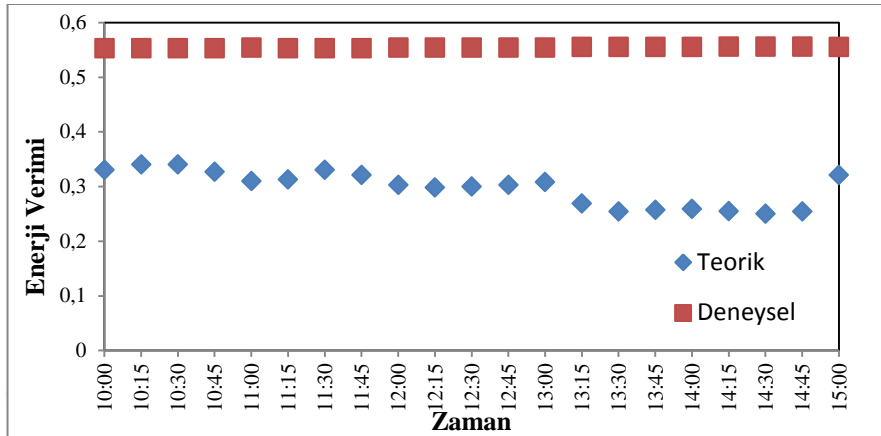
Çizelge 6.47. : Deney No 24, 80 mm, 1,5 m/s Ölçüm Sonuçları ($m_w=0,01344$ kg, $m_a=0,004935$ kg $T_w=20,4$ °C, 1 atm sabit alınmıştır.)

| Zaman | $T_{db,a}$ (°C) | W_a (%) | h_a (kJ/kg) | S_a (KJ/Kg·K) | $T_{wb,a}$ (°C) | $T_{db,b}$ (°C) | W_b (%) | H_b (kJ/kg) | S_b (KJ/Kg·K) | P_u (Kg/m³) | K_u (kJ/Kg.K) | μ_u (Kg/m.s) | Re | Pr | h_c (kJ/Kg.K) | $Deneyel$ $verim$ | $Teorik verim$ | Verim farkı |
|-------|-----------------|-----------|---------------|-----------------|-----------------|-----------------|-----------|---------------|-----------------|---------------|-----------------|------------------|--------|--------|-----------------|----------------------|----------------|-------------|
| 10,00 | 26,2 | 30,3 | 42,7 | 3,8845 | 15,3 | 22,6 | 65,3 | 51,2 | 3,8735 | 1,17961 | 0,02560 | 0,0000185 | 257,95 | 0,7292 | 48,24 | 0,553 | 0,330 | 0,403 |
| 10,15 | 26 | 31,4 | 43 | 3,8839 | 15,4 | 22,4 | 66,4 | 51 | 3,8729 | 1,18040 | 0,02558 | 0,0000185 | 258,25 | 0,7293 | 48,26 | 0,553 | 0,340 | 0,385 |
| 10,30 | 26,4 | 31,6 | 43,9 | 3,8852 | 15,8 | 22,8 | 66,6 | 52,4 | 3,8742 | 1,17883 | 0,02561 | 0,0000185 | 257,65 | 0,7292 | 48,22 | 0,553 | 0,340 | 0,385 |
| 10,45 | 26,8 | 30,8 | 44 | 3,8865 | 15,8 | 23,2 | 65,8 | 53,1 | 3,8755 | 1,17725 | 0,02564 | 0,0000186 | 257,05 | 0,7290 | 48,18 | 0,553 | 0,327 | 0,409 |
| 11,00 | 28 | 29,3 | 45,8 | 3,8906 | 16,4 | 24,4 | 64,3 | 59,7 | 3,8796 | 1,17253 | 0,02573 | 0,0000186 | 255,25 | 0,7287 | 48,07 | 0,554 | 0,310 | 0,440 |
| 11,15 | 27,1 | 28,4 | 43,3 | 3,8876 | 15,6 | 23,5 | 63,4 | 56,2 | 3,8766 | 1,17607 | 0,02567 | 0,0000186 | 256,59 | 0,7290 | 48,15 | 0,553 | 0,313 | 0,434 |
| 11,30 | 26,8 | 31,2 | 44,3 | 3,8865 | 15,9 | 23,2 | 66,2 | 56,9 | 3,8755 | 1,17725 | 0,02564 | 0,0000186 | 257,05 | 0,7290 | 48,18 | 0,553 | 0,330 | 0,403 |
| 11,45 | 27,3 | 30,4 | 44,8 | 3,8882 | 16,1 | 23,7 | 65,4 | 57,9 | 3,8772 | 1,17529 | 0,02568 | 0,0000186 | 256,29 | 0,7289 | 48,13 | 0,553 | 0,321 | 0,420 |
| 12,00 | 28,4 | 28,3 | 45,9 | 3,8919 | 16,5 | 24,8 | 63,3 | 60,3 | 3,8809 | 1,17096 | 0,02576 | 0,0000186 | 254,65 | 0,7286 | 48,03 | 0,554 | 0,303 | 0,453 |
| 12,15 | 28,1 | 27,2 | 44,6 | 3,8909 | 16 | 24,5 | 62,2 | 58,8 | 3,8799 | 1,17214 | 0,02574 | 0,0000186 | 255,10 | 0,7287 | 48,06 | 0,554 | 0,298 | 0,462 |
| 12,30 | 28,4 | 27,8 | 45,7 | 3,8919 | 16,4 | 24,8 | 62,8 | 60,1 | 3,8809 | 1,17096 | 0,02576 | 0,0000186 | 254,65 | 0,7286 | 48,03 | 0,554 | 0,300 | 0,458 |
| 12,45 | 28,6 | 28,6 | 46,6 | 3,8926 | 16,7 | 25 | 63,6 | 61,1 | 3,8816 | 1,17017 | 0,02578 | 0,0000187 | 254,35 | 0,7285 | 48,01 | 0,554 | 0,303 | 0,453 |
| 13,00 | 28,8 | 29,7 | 47,6 | 3,8932 | 17,1 | 25,2 | 64,7 | 62,3 | 3,8822 | 1,16939 | 0,02579 | 0,0000187 | 254,05 | 0,7285 | 48,00 | 0,554 | 0,308 | 0,444 |
| 13,15 | 30,3 | 24,2 | 47,1 | 3,8982 | 16,9 | 26,7 | 59,2 | 63,8 | 3,8872 | 1,16349 | 0,02590 | 0,0000187 | 251,82 | 0,7281 | 47,85 | 0,555 | 0,269 | 0,515 |
| 13,30 | 31,4 | 22,3 | 48 | 3,9019 | 17,2 | 27,8 | 57,3 | 66,2 | 3,8909 | 1,15916 | 0,02598 | 0,0000188 | 250,20 | 0,7278 | 47,75 | 0,555 | 0,254 | 0,542 |
| 13,45 | 31,5 | 23,4 | 48,8 | 3,9022 | 17,5 | 27,9 | 58,4 | 67,4 | 3,8912 | 1,15877 | 0,02599 | 0,0000188 | 250,06 | 0,7278 | 47,74 | 0,555 | 0,257 | 0,403 |
| 14,00 | 31,6 | 23,8 | 49,4 | 3,9025 | 17,7 | 28 | 58,8 | 68 | 3,8915 | 1,15837 | 0,02600 | 0,0000188 | 249,91 | 0,7277 | 47,73 | 0,555 | 0,259 | 0,385 |
| 14,15 | 31,8 | 23,6 | 49,7 | 3,9032 | 17,7 | 28,2 | 58,6 | 68,4 | 3,8922 | 1,15759 | 0,02601 | 0,0000188 | 249,61 | 0,7277 | 47,71 | 0,556 | 0,255 | 0,385 |
| 14,30 | 32,1 | 22,6 | 49,4 | 3,9042 | 17,7 | 28,5 | 57,6 | 68,8 | 3,8932 | 1,15641 | 0,02604 | 0,0000188 | 249,17 | 0,7276 | 47,68 | 0,556 | 0,250 | 0,409 |
| 14,45 | 32,5 | 24,1 | 51,4 | 3,9055 | 18,3 | 28,9 | 59,1 | 66,9 | 3,8945 | 1,15483 | 0,02607 | 0,0000188 | 248,59 | 0,7275 | 47,65 | 0,556 | 0,254 | 0,440 |
| 15,00 | 30 | 25,4 | 53 | 3,9075 | 18,8 | 26,4 | 60,4 | 69 | 3,8965 | 1,16467 | 0,02588 | 0,0000187 | 252,27 | 0,7282 | 47,88 | 0,555 | 0,321 | 0,434 |

Çizelge 6.48. : Deney No 24, 80 mm, 1,5 m/s Ölçüm Sonuçları ($m_w=0,01344$ kg, $m_a=0,004935$ kg $T_w=20,4$ °C, 1 atm sabit alınmıştır.)

| Zaman | $T_{db,a}$ (°C) | W_a (%) | h_a (kJ/kg) | S_a (KJ/Kg-K) | W_a | $T_{db,b}$ (°C) | W_b (%) | H_b (kJ/kg) | S_b (KJ/Kg-K) | W_b | $\Psi_{water,a}$ | $\Psi_{termal,a}$ | $\Psi_{mekanik,a}$ | $\Psi_{kinyasal,a}$ | $\Psi_{toplama,a}$ | $\Psi_{termal,b}$ | $\Psi_{mekanik,b}$ | $\Psi_{kinyasal,b}$ | $\Psi_{toplama,b}$ | Ekserī verim |
|-------|-----------------|-----------|---------------|-----------------|--------|-----------------|-----------|---------------|-----------------|--------|------------------|-------------------|--------------------|---------------------|--------------------|-------------------|--------------------|---------------------|--------------------|---------------|
| 10,00 | 26,2 | 30,3 | 42,7 | 3,8845 | 0,0064 | 22,6 | 65,3 | 51,2 | 3,8735 | 0,0112 | 11,059 | 0,00001 | 0,00032 | 0,00047 | 11,05947 | 0,00018 | 0,001209 | 0,024347 | 0,0257 | 0,00232 |
| 10,15 | 26 | 31,4 | 43 | 3,8839 | 0,0066 | 22,4 | 66,4 | 51 | 3,8729 | 0,0112 | 11,059 | 0,00001 | 0,00032 | 0,00042 | 11,05941 | 0,00022 | 0,001209 | 0,024347 | 0,0258 | 0,00232 |
| 10,30 | 26,4 | 31,6 | 43,9 | 3,8852 | 0,0068 | 22,8 | 66,6 | 52,4 | 3,8742 | 0,0116 | 11,059 | 0,00002 | 0,00032 | 0,00037 | 11,05936 | 0,00015 | 0,001209 | 0,024347 | 0,0257 | 0,00232 |
| 10,45 | 26,8 | 30,8 | 44 | 3,8865 | 0,0067 | 23,2 | 65,8 | 53,1 | 3,8755 | 0,0117 | 11,059 | 0,00003 | 0,00032 | 0,00039 | 11,05940 | 0,00010 | 0,001209 | 0,024347 | 0,0257 | 0,00231 |
| 11,00 | 28 | 29,3 | 45,8 | 3,8906 | 0,0069 | 24,4 | 64,3 | 59,7 | 3,8796 | 0,0138 | 11,059 | 0,00008 | 0,00032 | 0,00034 | 11,05940 | 0,00001 | 0,001209 | 0,024347 | 0,0256 | 0,00231 |
| 11,15 | 27,1 | 28,4 | 43,3 | 3,8876 | 0,0063 | 23,5 | 63,4 | 56,2 | 3,8766 | 0,0128 | 11,059 | 0,00004 | 0,00032 | 0,00050 | 11,05952 | 0,00007 | 0,001209 | 0,024347 | 0,0256 | 0,00231 |
| 11,30 | 26,8 | 31,2 | 44,3 | 3,8865 | 0,0068 | 23,2 | 66,2 | 56,9 | 3,8755 | 0,0132 | 11,059 | 0,00003 | 0,00032 | 0,00037 | 11,05937 | 0,00010 | 0,001209 | 0,024347 | 0,0257 | 0,00231 |
| 11,45 | 27,3 | 30,4 | 44,8 | 3,8882 | 0,0068 | 23,7 | 65,4 | 57,9 | 3,8772 | 0,0134 | 11,059 | 0,00005 | 0,00032 | 0,00037 | 11,05939 | 0,00005 | 0,001209 | 0,024347 | 0,0256 | 0,00231 |
| 12,00 | 28,4 | 28,3 | 45,9 | 3,8919 | 0,0068 | 24,8 | 63,3 | 60,3 | 3,8809 | 0,0139 | 11,059 | 0,00010 | 0,00032 | 0,00037 | 11,05944 | 0,00000 | 0,001209 | 0,024347 | 0,0256 | 0,00230 |
| 12,15 | 28,1 | 27,2 | 44,6 | 3,8909 | 0,0064 | 24,5 | 62,2 | 58,8 | 3,8799 | 0,012 | 11,059 | 0,00008 | 0,00032 | 0,00047 | 11,05953 | 0,00001 | 0,001209 | 0,024347 | 0,0256 | 0,00231 |
| 12,30 | 28,4 | 27,8 | 45,7 | 3,8919 | 0,0067 | 24,8 | 60,1 | 60,1 | 3,8809 | 0,0138 | 11,059 | 0,00010 | 0,00032 | 0,00039 | 11,05947 | 0,00000 | 0,001209 | 0,024347 | 0,0256 | 0,00230 |
| 12,45 | 28,6 | 28,6 | 46,6 | 3,8926 | 0,007 | 25 | 63,6 | 61,1 | 3,8816 | 0,0141 | 11,059 | 0,00011 | 0,00032 | 0,00032 | 11,05941 | 0,00000 | 0,001209 | 0,024347 | 0,0256 | 0,00230 |
| 13,00 | 28,8 | 29,7 | 47,6 | 3,8932 | 0,0073 | 25,2 | 64,7 | 62,3 | 3,8822 | 0,0145 | 11,059 | 0,00012 | 0,00032 | 0,00025 | 11,05935 | 0,00000 | 0,001209 | 0,024347 | 0,0256 | 0,00230 |
| 13,15 | 30,3 | 24,2 | 47,1 | 3,8982 | 0,0065 | 26,7 | 59,2 | 63,8 | 3,8872 | 0,0145 | 11,059 | 0,00024 | 0,00032 | 0,00045 | 11,05966 | 0,00009 | 0,001209 | 0,024347 | 0,0256 | 0,00231 |
| 13,30 | 31,4 | 22,3 | 48 | 3,9019 | 0,0064 | 27,8 | 57,3 | 66,2 | 3,8909 | 0,015 | 11,059 | 0,00034 | 0,00032 | 0,00047 | 11,05980 | 0,00025 | 0,001209 | 0,024347 | 0,0258 | 0,00233 |
| 13,45 | 31,5 | 23,4 | 48,8 | 3,9022 | 0,0067 | 27,9 | 58,4 | 67,4 | 3,8912 | 0,0154 | 11,059 | 0,00036 | 0,00032 | 0,00039 | 11,05973 | 0,00027 | 0,001209 | 0,024347 | 0,0258 | 0,00233 |
| 14,00 | 31,6 | 23,8 | 49,4 | 3,9025 | 0,0069 | 28 | 58,8 | 68 | 3,8915 | 0,0156 | 11,059 | 0,00037 | 0,00032 | 0,00034 | 11,05969 | 0,00028 | 0,001209 | 0,024347 | 0,0258 | 0,00233 |
| 14,15 | 31,8 | 23,6 | 49,7 | 3,9032 | 0,0069 | 28,2 | 58,6 | 68,4 | 3,8922 | 0,0157 | 11,059 | 0,00039 | 0,00032 | 0,00034 | 11,05971 | 0,00032 | 0,001209 | 0,024347 | 0,0259 | 0,00233 |
| 14,30 | 32,1 | 22,6 | 49,4 | 3,9042 | 0,0067 | 28,5 | 57,6 | 68,8 | 3,8932 | 0,0157 | 11,059 | 0,00042 | 0,00032 | 0,00039 | 11,05979 | 0,00039 | 0,001209 | 0,024347 | 0,0259 | 0,00234 |
| 14,45 | 32,5 | 24,1 | 51,4 | 3,9055 | 0,0073 | 28,9 | 59,1 | 66,9 | 3,8945 | 0,0148 | 11,059 | 0,00047 | 0,00032 | 0,00025 | 11,05971 | 0,00048 | 0,001209 | 0,024347 | 0,0260 | 0,00235 |
| 15,00 | 33,1 | 24,5 | 53 | 3,9075 | 0,0077 | 29,5 | 59,5 | 69 | 3,8965 | 0,0154 | 11,059 | 0,00055 | 0,00032 | 0,00018 | 11,05971 | 0,00064 | 0,001245 | 0,007158 | 0,0090 | 0,00082 |

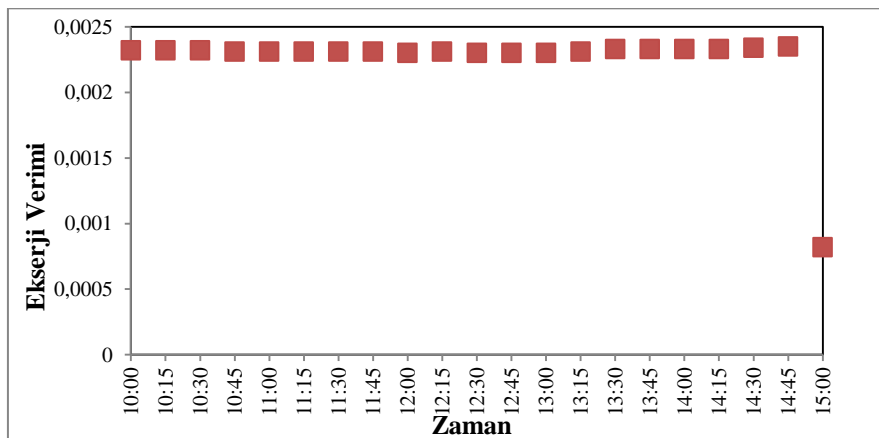
Şekil 6.47'de 80 mm ped kalınlığı ve 1,5 m/s hava giriş hızı için zamana bağlı olarak yirmi dördüncü deney için teorik ve deneySEL enerji verimi değişimi verilmiştir.



Şekil 6.47: 80 mm ped kalınlığı ve 1,5 m/s hava giriş hızı için deneySEL ve teorik enerji verimi (Deney No 24)

Şekil 6.47'de görüldüğü gibi, teorik enerji verimi 0,250 ile 0,340 arasında değişirken deneySEL enerji verimi 0,553 ile 0,556 arasında çok az değişmektedir.

Şekil 6.48'de 80 mm ped kalınlığı ve 1,5 m/s hava giriş hızı için zamana bağlı olarak deneySEL olarak hesaplanan ekserji verimi değişimi verilmiştir.



Şekil 6.48. 80 mm ped kalınlığı ve 1,5 m/s hava giriş hızı için deneySEL ve teorik enerji verimi (Deney No 24)

Şekil 6.48'den görüldüğü gibi, ekserji verimi ise 0,000230 ile 0,000235 arasında değişmektedir.

80 mm ped kalınlığı ve 1,2 m/s hava giriş hızı için yapılan birinci deneyin (Deney No 25) ölçüm sonuçları, termodinamik özelliklerini ve teorik ve deneysel olarak hesaplanan enerji verim değerleri ve ekserji analiz değerleri sırasıyla Çizelge 6.49 ve Çizelge 6.50'de verilmiştir. Aynı şekilde benzer ped kalınlığı ve hava giriş hızı için tekrarlanan ikinci (Deney No 26) ve üçüncü (Deney No 27) için enerji ve ekserji analizi ve ölçüm sonuçları sırasıyla Çizelge 6.51, 6.52, 6.53 ve 6.54'de verilmiştir.

Her üç deneyde de $\dot{m}_w=0,01344$, $\dot{m}_a=0,001532$, $T_w=23,2$ °C, 1 atm sabit alınmıştır.

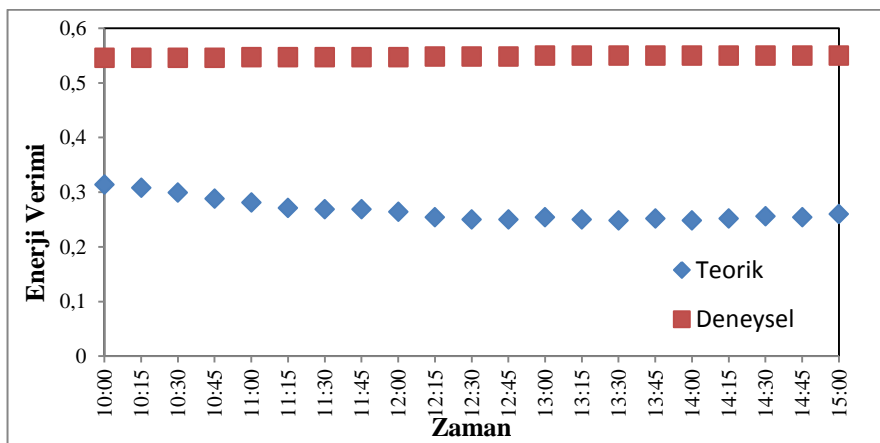
Çizelge 6.49. : Deney No 25, 80 mm, 1,2 m/s Ölçüm Sonuçları ($m_w=0,01344$ kg, $m_a=0,001532$ kg $T_w=23,2$ °C, 1 atm sabit alınmıştır.)

| Zaman | $T_{dh,a}$ (°C) | W_a (%) | h_a (kJ/kg) | S_a (Kj/Kg·K) | $T_{wh,a}$ (°C) | $T_{db,b}$ (°C) | Wb (%) | H_b (kJ/kg) | S_b (Kj/Kg·K) | P_v (Kg/m³) | K_u (kJ/Kg·K) | μ_u (Kg/m.s) | Re | p_r | h_c (Kj/Kg·K) | Deneysel verim | Teorik verim | Verim farkı |
|-------|-----------------|-----------|---------------|-----------------|-----------------|-----------------|----------|---------------|-----------------|---------------|-----------------|------------------|--------|--------|-----------------|----------------|--------------|-------------|
| 10,00 | 27,5 | 35,3 | 48,4 | 3,8892 | 17,3 | 24,3 | 67,3 | 57,4 | 3,8792 | 1,17450 | 0,02570 | 0,0000186 | 204,80 | 0,7289 | 40,25 | 0,546 | 0,314 | 0,425 |
| 10,15 | 28 | 34,7 | 49,2 | 2,8909 | 17,6 | 24,8 | 66,7 | 58,7 | 2,8809 | 1,17253 | 0,02573 | 0,0000186 | 204,20 | 0,7287 | 40,21 | 0,546 | 0,308 | 0,436 |
| 10,30 | 28,4 | 33,6 | 49,6 | 3,8922 | 17,7 | 25,2 | 65,6 | 59,3 | 3,8822 | 1,17096 | 0,02576 | 0,0000186 | 203,72 | 0,7286 | 40,18 | 0,546 | 0,299 | 0,452 |
| 10,45 | 28,9 | 32,5 | 49,9 | 3,8939 | 17,8 | 25,7 | 64,5 | 60,4 | 3,8839 | 1,16899 | 0,02580 | 0,0000187 | 203,12 | 0,7285 | 40,14 | 0,546 | 0,288 | 0,473 |
| 11,00 | 29,2 | 31,6 | 49,9 | 3,8949 | 17,8 | 26 | 63,6 | 60,7 | 3,8849 | 1,16781 | 0,02582 | 0,0000187 | 202,76 | 0,7284 | 40,12 | 0,547 | 0,281 | 0,486 |
| 11,15 | 29,3 | 30,4 | 49 | 3,8952 | 17,5 | 26,1 | 62,4 | 60,3 | 3,8852 | 1,16742 | 0,02583 | 0,0000187 | 202,65 | 0,7284 | 40,11 | 0,547 | 0,271 | 0,505 |
| 11,30 | 29,6 | 29,7 | 49,6 | 3,8963 | 17,7 | 26,4 | 61,7 | 60,8 | 3,8863 | 1,16624 | 0,02585 | 0,0000187 | 202,29 | 0,7283 | 40,09 | 0,547 | 0,269 | 0,508 |
| 11,45 | 30,5 | 30,5 | 52,3 | 3,8992 | 18,6 | 27,3 | 62,5 | 64,3 | 3,8892 | 1,16270 | 0,02592 | 0,0000187 | 201,22 | 0,7280 | 40,02 | 0,547 | 0,269 | 0,508 |
| 12,00 | 31,1 | 30,5 | 53,6 | 3,9012 | 19 | 27,9 | 62,5 | 66,2 | 3,8912 | 1,16034 | 0,02596 | 0,0000188 | 200,51 | 0,7279 | 39,97 | 0,547 | 0,264 | 0,517 |
| 12,15 | 31,9 | 29,7 | 54,7 | 3,9038 | 19,3 | 28,7 | 61,7 | 68,3 | 3,8938 | 1,15719 | 0,02602 | 0,0000188 | 199,57 | 0,7276 | 39,90 | 0,548 | 0,254 | 0,536 |
| 12,30 | 32,4 | 29,4 | 55,7 | 3,9055 | 19,6 | 29,2 | 61,4 | 69,8 | 3,8955 | 1,15523 | 0,02606 | 0,0000188 | 198,99 | 0,7275 | 39,86 | 0,548 | 0,250 | 0,544 |
| 12,45 | 32,5 | 29,6 | 56,1 | 3,9058 | 19,7 | 29,3 | 61,6 | 70,2 | 3,8958 | 1,15483 | 0,02607 | 0,0000188 | 198,87 | 0,7275 | 39,86 | 0,548 | 0,250 | 0,544 |
| 13,00 | 32,3 | 29,9 | 55,9 | 3,9052 | 19,7 | 29,1 | 61,9 | 69,7 | 3,8952 | 1,15562 | 0,02605 | 0,0000188 | 199,11 | 0,7275 | 39,87 | 0,550 | 0,254 | 0,538 |
| 13,15 | 32,4 | 29,5 | 55,7 | 3,9055 | 19,6 | 29,2 | 61,5 | 69,8 | 3,8955 | 1,15523 | 0,02606 | 0,0000188 | 198,99 | 0,7275 | 39,86 | 0,550 | 0,250 | 0,545 |
| 13,30 | 32,5 | 28,8 | 55,6 | 3,9058 | 19,6 | 29,3 | 60,8 | 69,7 | 3,8958 | 1,15483 | 0,02607 | 0,0000188 | 198,87 | 0,7275 | 39,86 | 0,550 | 0,248 | 0,549 |
| 13,45 | 32,7 | 29,8 | 56,8 | 3,9065 | 20 | 29,5 | 61,8 | 71,2 | 3,8965 | 1,15405 | 0,02608 | 0,0000188 | 198,64 | 0,7274 | 39,84 | 0,550 | 0,252 | 0,425 |
| 14,00 | 32,9 | 29,4 | 57 | 3,9071 | 20 | 29,7 | 61,4 | 71,6 | 3,8971 | 1,15326 | 0,02609 | 0,0000189 | 198,40 | 0,7274 | 39,83 | 0,550 | 0,248 | 0,436 |
| 14,15 | 32,2 | 29,3 | 55,3 | 3,9048 | 19,5 | 29 | 61,3 | 69,1 | 3,8948 | 1,15601 | 0,02604 | 0,0000188 | 199,22 | 0,7276 | 39,88 | 0,550 | 0,252 | 0,452 |
| 14,30 | 31,6 | 29,5 | 53,9 | 3,9029 | 19,1 | 28,4 | 61,5 | 67,2 | 3,8929 | 1,15837 | 0,02600 | 0,0000188 | 199,93 | 0,7277 | 39,93 | 0,550 | 0,256 | 0,473 |
| 14,45 | 32 | 29,7 | 55,1 | 3,9042 | 19,4 | 28,8 | 61,7 | 68,7 | 3,8942 | 1,15680 | 0,02603 | 0,0000188 | 199,46 | 0,7276 | 39,90 | 0,550 | 0,254 | 0,486 |
| 15,00 | 32,1 | 31,1 | 56,5 | 3,9045 | 19,8 | 28,9 | 63,1 | 69,8 | 3,8945 | 1,15641 | 0,02604 | 0,0000188 | 199,34 | 0,7276 | 39,89 | 0,550 | 0,260 | 0,505 |

Çizelge 6.50. : Deney No 25, 80 mm, 1,2 m/s Ölçüm Sonuçları ($m_w=0,01344$ kg, $m_a=0,001532$ kg $T_w=23,2$ °C, 1 atm sabit alınmıştır.)

| Zaman | $T_{db,a}$ (°C) | W_a (%) | h_a (kj/kg) | S_a (Kj/Kg-K) | W_a | $T_{db,b}$ (°C) | W_b (%) | H_b (kj/kg) | S_b (Kj/Kg-K) | W_b | $\Psi_{water,a}$ | $\Psi_{termal,a}$ | $\Psi_{mekanik,a}$ | $\Psi_{kinayasal,a}$ | $\Psi_{toplama,a}$ | $\Psi_{termal,b}$ | $\Psi_{mekanik,b}$ | $\Psi_{kinayasal,b}$ | $\Psi_{toplama,b}$ | $\Psi_{ekserji}$ verim |
|-------|-----------------|-----------|---------------|-----------------|--------|-----------------|-----------|---------------|-----------------|--------|------------------|-------------------|--------------------|----------------------|--------------------|-------------------|--------------------|----------------------|--------------------|------------------------|
| 10,00 | 27,5 | 35,3 | 48,4 | 3,8892 | 0,0081 | 24,3 | 67,3 | 57,4 | 3,8792 | 0,129 | 11,057 | 0,000016 | 0,00010 | 0,00004 | 11,05711 | 0,00001 | 0,00101 | 0,002267 | 0,0033 | 0,00030 |
| 10,15 | 28 | 34,7 | 49,2 | 2,8909 | 0,0082 | 24,8 | 66,7 | 58,7 | 2,8809 | 0,0132 | 11,057 | 0,000023 | 0,00010 | 0,00003 | 11,05712 | 0,00000 | 0,00101 | 0,002267 | 0,0033 | 0,00030 |
| 10,30 | 28,4 | 33,6 | 49,6 | 3,8922 | 0,0082 | 25,2 | 65,6 | 59,3 | 3,8822 | 0,0133 | 11,057 | 0,000030 | 0,00010 | 0,00003 | 11,05712 | 0,00000 | 0,00101 | 0,002267 | 0,0033 | 0,00030 |
| 10,45 | 28,9 | 32,5 | 49,9 | 3,8939 | 0,0081 | 25,7 | 64,5 | 60,4 | 3,8839 | 0,0135 | 11,057 | 0,000040 | 0,00010 | 0,00004 | 11,05714 | 0,00001 | 0,00101 | 0,002267 | 0,0033 | 0,00030 |
| 11,00 | 29,2 | 31,6 | 49,9 | 3,8949 | 0,008 | 26 | 63,6 | 60,7 | 3,8849 | 0,0135 | 11,057 | 0,000046 | 0,00010 | 0,00004 | 11,05715 | 0,00003 | 0,00101 | 0,002267 | 0,0033 | 0,00030 |
| 11,15 | 29,3 | 30,4 | 49 | 3,8952 | 0,0076 | 26,1 | 62,4 | 60,3 | 3,8852 | 0,0133 | 11,057 | 0,000048 | 0,00010 | 0,00006 | 11,05717 | 0,00003 | 0,00101 | 0,002267 | 0,0033 | 0,00030 |
| 11,30 | 29,6 | 29,7 | 49,6 | 3,8963 | 0,0077 | 26,4 | 61,7 | 60,8 | 3,8863 | 0,0134 | 11,057 | 0,000055 | 0,00010 | 0,00006 | 11,05717 | 0,00005 | 0,00101 | 0,002267 | 0,0033 | 0,00030 |
| 11,45 | 30,5 | 30,5 | 52,3 | 3,8992 | 0,0084 | 27,3 | 62,5 | 64,3 | 3,8892 | 0,0144 | 11,057 | 0,000079 | 0,00010 | 0,00002 | 11,05717 | 0,00014 | 0,00101 | 0,002267 | 0,0034 | 0,00031 |
| 12,00 | 31,1 | 30,5 | 53,6 | 3,9012 | 0,0087 | 27,9 | 62,5 | 66,2 | 3,8912 | 0,0149 | 11,057 | 0,000098 | 0,00010 | 0,00002 | 11,05718 | 0,00022 | 0,00101 | 0,002267 | 0,0035 | 0,00032 |
| 12,15 | 31,9 | 29,7 | 54,7 | 3,9038 | 0,0088 | 28,7 | 61,7 | 68,3 | 3,8938 | 0,0154 | 11,057 | 0,000125 | 0,00010 | 0,00001 | 11,05720 | 0,00036 | 0,00101 | 0,002267 | 0,0036 | 0,00033 |
| 12,30 | 32,4 | 29,4 | 55,7 | 3,9055 | 0,009 | 29,2 | 61,4 | 69,8 | 3,8955 | 0,0158 | 11,057 | 0,000144 | 0,00010 | 0,00001 | 11,05721 | 0,00046 | 0,00101 | 0,002267 | 0,0037 | 0,00034 |
| 12,45 | 32,5 | 29,6 | 56,1 | 3,9058 | 0,0091 | 29,3 | 61,6 | 70,2 | 3,8958 | 0,0159 | 11,057 | 0,000148 | 0,00010 | 0,00001 | 11,05722 | 0,00048 | 0,00101 | 0,002267 | 0,0038 | 0,00034 |
| 13,00 | 32,3 | 29,9 | 55,9 | 3,9052 | 0,0091 | 29,1 | 61,9 | 69,7 | 3,8952 | 0,0158 | 11,057 | 0,000140 | 0,00010 | 0,00001 | 11,05721 | 0,00044 | 0,00101 | 0,002267 | 0,0037 | 0,00033 |
| 13,15 | 32,4 | 29,5 | 55,7 | 3,9055 | 0,009 | 29,2 | 61,5 | 69,8 | 3,8955 | 0,0158 | 11,057 | 0,000144 | 0,00010 | 0,00001 | 11,05721 | 0,00046 | 0,00101 | 0,002267 | 0,0037 | 0,00034 |
| 13,30 | 32,5 | 28,8 | 55,6 | 3,9058 | 0,0089 | 29,3 | 60,8 | 69,7 | 3,8958 | 0,0157 | 11,057 | 0,000148 | 0,00010 | 0,00001 | 11,05722 | 0,00048 | 0,00101 | 0,002267 | 0,0038 | 0,00034 |
| 13,45 | 32,7 | 29,8 | 56,8 | 3,9065 | 0,0093 | 29,5 | 61,8 | 71,2 | 3,8965 | 0,0162 | 11,057 | 0,000156 | 0,00010 | 0,00000 | 11,05722 | 0,00053 | 0,00101 | 0,002267 | 0,0038 | 0,00034 |
| 14,00 | 32,9 | 29,4 | 57 | 3,9071 | 0,0093 | 29,7 | 61,4 | 71,6 | 3,8971 | 0,0163 | 11,057 | 0,000164 | 0,00010 | 0,00000 | 11,05723 | 0,00057 | 0,00101 | 0,002267 | 0,0038 | 0,00035 |
| 14,15 | 32,2 | 29,3 | 55,3 | 3,9048 | 0,0089 | 29 | 61,3 | 69,1 | 3,8948 | 0,0156 | 11,057 | 0,000136 | 0,00010 | 0,00001 | 11,05721 | 0,00042 | 0,00101 | 0,002267 | 0,0037 | 0,00033 |
| 14,30 | 31,6 | 29,5 | 53,9 | 3,9029 | 0,0086 | 28,4 | 61,5 | 67,2 | 3,8929 | 0,0151 | 11,057 | 0,000114 | 0,00010 | 0,00002 | 11,05719 | 0,00030 | 0,00101 | 0,002267 | 0,0036 | 0,00032 |
| 14,45 | 32 | 29,7 | 55,1 | 3,9042 | 0,0089 | 28,8 | 61,7 | 68,7 | 3,8942 | 0,0155 | 11,057 | 0,000129 | 0,00010 | 0,00001 | 11,05720 | 0,00037 | 0,00101 | 0,002267 | 0,0037 | 0,00033 |
| 15,00 | 32,1 | 31,1 | 56,5 | 3,9045 | 0,0094 | 28,9 | 63,1 | 69,8 | 3,8945 | 0,0159 | 11,057 | 0,000133 | 0,00010 | 0,00000 | 11,05720 | 0,00040 | 0,00101 | 0,002267 | 0,0037 | 0,00033 |

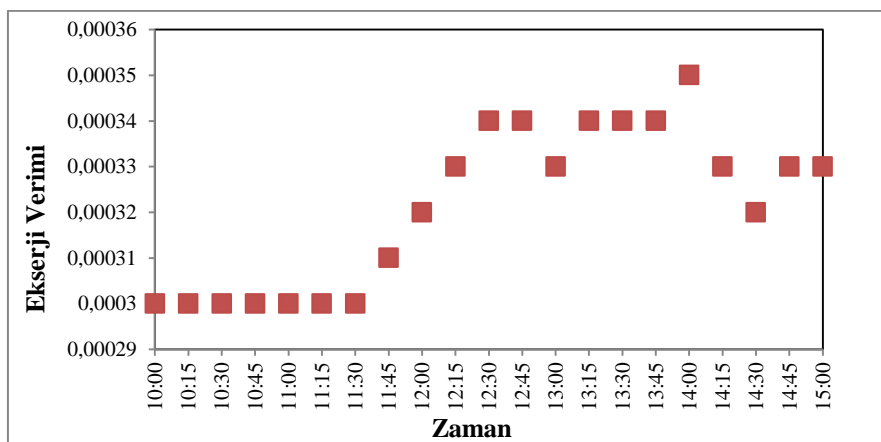
Şekil 6.49'da 80 mm ped kalınlığı ve 1,2 m/s hava giriş hızı için zamana bağlı olarak yirmi beşinci deney için teorik ve deneysel enerji verimi değişimi verilmiştir.



Şekil 6.49: 80 mm ped kalınlığı ve 1,2 m/s hava giriş hızı için deneysel ve teorik enerji verimi (Deney No 25)

Şekil 6.49'da görüldüğü gibi, teorik enerji verimi 0,248 ile 0,314 arasında değişirken deneysel enerji verimi 0,546 ile 0,550 arasında çok az değişmektedir.

Şekil 6.50'de 80 mm ped kalınlığı ve 1,2 m/s hava giriş hızı için zamana bağlı olarak deneysel olarak hesaplana ekserji verimi değişimi verilmiştir.



Şekil 6.50. 80 mm ped kalınlığı ve 1,2 m/s hava giriş hızı için deneysel ve teorik enerji verimi (Deney No 25)

Şekil 6.50'den görüldüğü gibi, ekserji verimi ise 0,00030 ile 0,00035 arasında değişmektedir.

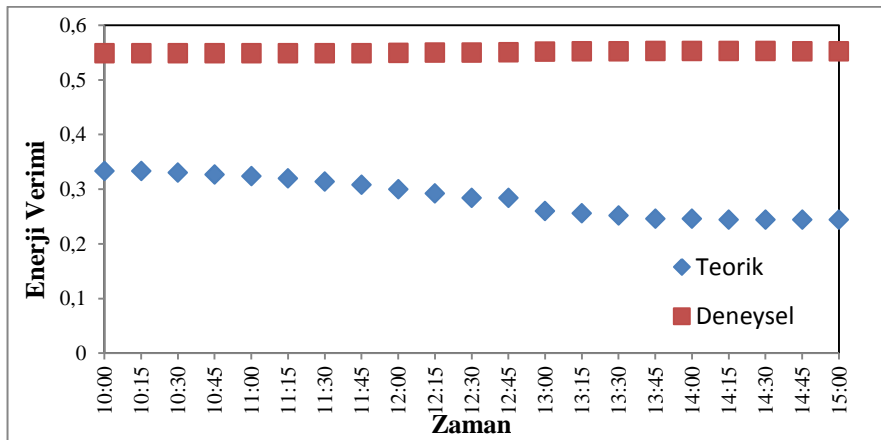
Çizelge 6.51. : Deney No 26, 80 mm, 1,2 m/s Ölçüm Sonuçları ($m_w=0,01344$ kg, $m_a=0,001532$ kg $T_w=22,8$ °C, 1 atm sabit alınmıştır.)

| Zaman | $T_{dh,a}$ (°C) | W_a (%) | h_a (kj/kg) | S_a (Kj/Kg-K) | $T_{wh,a}$ (°C) | $T_{dh,b}$ (°C) | Wb (%) | H_b (kj/kg) | S_b (Kj/Kg-K) | P_a (Kg/m³) | K_u (kJ/Kg.K) | μ_u (Kg/m.s) | Re | Pr | h_c (Kj/Kg.K) | Deneysel verim | Teorik verim | Verim farkı |
|-------|-----------------|-----------|------------------|--------------------|-----------------|--------------------|----------|------------------|--------------------|---------------|-----------------|------------------|--------|--------|-----------------|----------------|--------------|-------------|
| 10,00 | 25,6 | 35 | 43,7 | 3,8845 | 15,7 | 22,3 | 67 | 51,2 | 3,8745 | 1,18197 | 0,02555 | 0,0000185 | 207,09 | 0,7294 | 40,40 | 0,54852 | 0,333 | 0,393 |
| 10,15 | 25,9 | 35,4 | 44,6 | 3,8839 | 16 | 22,6 | 67,4 | 52,2 | 3,8739 | 1,18079 | 0,02558 | 0,0000185 | 206,72 | 0,7293 | 40,37 | 0,54867 | 0,333 | 0,393 |
| 10,30 | 26 | 35,2 | 44,7 | 3,8852 | 16 | 22,7 | 67,2 | 52,3 | 3,8752 | 1,18040 | 0,02558 | 0,0000185 | 206,60 | 0,7293 | 40,37 | 0,54862 | 0,330 | 0,398 |
| 10,45 | 26,1 | 34,7 | 44,5 | 3,8865 | 16 | 22,8 | 66,7 | 52,4 | 3,8765 | 1,18001 | 0,02559 | 0,0000185 | 206,48 | 0,7292 | 40,36 | 0,54877 | 0,327 | 0,404 |
| 11,00 | 26,2 | 34,5 | 44,6 | 3,8906 | 16 | 22,9 | 66,5 | 52,5 | 3,8806 | 1,17961 | 0,02560 | 0,0000185 | 206,36 | 0,7292 | 40,35 | 0,54882 | 0,324 | 0,410 |
| 11,15 | 26,4 | 33,8 | 44,8 | 3,8876 | 16,1 | 23,1 | 65,8 | 52,7 | 3,8776 | 1,17883 | 0,02561 | 0,0000185 | 206,12 | 0,7292 | 40,34 | 0,54893 | 0,320 | 0,417 |
| 11,30 | 26,6 | 33,2 | 44,8 | 3,8865 | 16,1 | 23,3 | 65,2 | 53,2 | 3,8765 | 1,17804 | 0,02563 | 0,0000186 | 205,88 | 0,7291 | 40,32 | 0,54898 | 0,314 | 0,428 |
| 11,45 | 26,7 | 32,2 | 44,6 | 3,8882 | 16 | 23,4 | 64,2 | 53,1 | 3,8782 | 1,17765 | 0,02564 | 0,0000186 | 205,76 | 0,7291 | 40,31 | 0,54903 | 0,308 | 0,439 |
| 12,00 | 27,1 | 31 | 44,8 | 3,8919 | 16,1 | 23,8 | 63 | 53,5 | 3,8819 | 1,17607 | 0,02567 | 0,0000186 | 205,28 | 0,7290 | 40,28 | 0,54929 | 0,300 | 0,454 |
| 12,15 | 28,2 | 31,3 | 47,2 | 3,8909 | 16,9 | 24,9 | 63,3 | 56,9 | 3,8809 | 1,17175 | 0,02575 | 0,0000186 | 203,96 | 0,7287 | 40,20 | 0,54985 | 0,292 | 0,469 |
| 12,30 | 28,9 | 30,8 | 48,4 | 3,8919 | 17,3 | 25,6 | 62,8 | 58,6 | 3,8819 | 1,16899 | 0,02580 | 0,0000187 | 203,12 | 0,7285 | 40,14 | 0,55020 | 0,284 | 0,484 |
| 12,45 | 29,1 | 30,9 | 48,8 | 3,8926 | 17,5 | 25,8 | 62,9 | 59,3 | 3,8826 | 1,16821 | 0,02581 | 0,0000187 | 202,88 | 0,7284 | 40,12 | 0,55032 | 0,284 | 0,484 |
| 13,00 | 32 | 29,8 | 54,6 | 3,8932 | 19,3 | 28,7 | 61,8 | 67,9 | 3,8832 | 1,15680 | 0,02603 | 0,0000188 | 199,46 | 0,7276 | 39,90 | 0,55180 | 0,260 | 0,529 |
| 13,15 | 32,6 | 29,7 | 56 | 3,8982 | 19,7 | 29,3 | 61,7 | 69,8 | 3,8882 | 1,15444 | 0,02607 | 0,0000188 | 198,75 | 0,7275 | 39,85 | 0,55211 | 0,256 | 0,536 |
| 13,30 | 33,3 | 29,5 | 57,5 | 3,9019 | 20,2 | 30 | 61,5 | 72,4 | 3,8919 | 1,15169 | 0,02612 | 0,0000189 | 197,94 | 0,7273 | 39,79 | 0,55247 | 0,252 | 0,544 |
| 13,45 | 33,8 | 29,2 | 58,3 | 3,9022 | 20,4 | 30,5 | 61,2 | 73,9 | 3,8922 | 1,14972 | 0,02616 | 0,0000189 | 197,35 | 0,7271 | 39,75 | 0,55273 | 0,246 | 0,393 |
| 14,00 | 33,7 | 28,9 | 57,9 | 3,9025 | 20,3 | 30,4 | 60,9 | 73,3 | 3,8925 | 1,15011 | 0,02615 | 0,0000189 | 197,47 | 0,7272 | 39,76 | 0,55268 | 0,246 | 0,393 |
| 14,15 | 33,6 | 28,6 | 57,3 | 3,9032 | 20,1 | 30,3 | 60,6 | 72,7 | 3,8932 | 1,15051 | 0,02615 | 0,0000189 | 197,59 | 0,7272 | 39,77 | 0,55263 | 0,244 | 0,398 |
| 14,30 | 33,5 | 28,4 | 56,9 | 3,9042 | 20 | 30,2 | 60,4 | 72,1 | 3,8942 | 1,15090 | 0,02614 | 0,0000189 | 197,70 | 0,7272 | 39,78 | 0,55267 | 0,244 | 0,404 |
| 14,45 | 33,4 | 28,2 | 56,6 | 3,9055 | 19,9 | 30,1 | 60,2 | 71,7 | 3,8955 | 1,15129 | 0,02613 | 0,0000189 | 197,82 | 0,7272 | 39,79 | 0,55252 | 0,244 | 0,410 |
| 15,00 | 33,1 | 28 | 55,7 | 3,9075 | 19,6 | 29,8 | 60 | 70,6 | 3,8975 | 1,15247 | 0,02611 | 0,0000189 | 198,17 | 0,7273 | 39,81 | 0,55237 | 0,244 | 0,417 |

Çizelge 6.52. : Deney No 26, 80 mm, 1,2 m/s Ölçüm Sonuçları ($m_w=0,01344$ kg, $m_a=0,001532$ kg $T_w=22,8$ °C, 1 atm sabit alınmıştır.)

| Zaman | $T_{db,a}$ (°C) | W_a (%) | h_a (kJ/kg) | S_a (KJ/Kg-K) | W_a | $T_{db,b}$ (°C) | W_b (%) | H_b (kJ/kg) | S_b (KJ/Kg-K) | W_b | $\Psi_{water,a}$ | $\Psi_{termal,a}$ | $\Psi_{mekanik,a}$ | $\Psi_{kimyasal,a}$ | $\Psi_{toplam,a}$ | $\Psi_{termal,b}$ | $\Psi_{mekanik,b}$ | $\Psi_{kimyasal,b}$ | $\Psi_{toplam,b}$ | Ekseri verim |
|-------|-----------------|-----------|------------------|--------------------|--------|-----------------|-----------|------------------|--------------------|--------|------------------|-------------------|--------------------|---------------------|-------------------|-------------------|--------------------|---------------------|-------------------|-----------------|
| 10.00 | 25,6 | 35 | 43,7 | 3,8845 | 0,0071 | 22,3 | 67 | 51,2 | 3,8745 | 0,0113 | 11,057 | 0,000001 | 0,00010 | 0,00009 | 11,05730 | 0,00019 | 0,00101 | 0,00227 | 0,00347 | 0,00031 |
| 10.15 | 25,9 | 35,4 | 44,6 | 3,8839 | 0,0073 | 22,6 | 67,4 | 52,2 | 3,8739 | 0,0116 | 11,057 | 0,000002 | 0,00010 | 0,00008 | 11,05729 | 0,00015 | 0,00101 | 0,00227 | 0,00343 | 0,00031 |
| 10.30 | 26 | 35,2 | 44,7 | 3,8852 | 0,0073 | 22,7 | 67,2 | 52,3 | 3,8752 | 0,0116 | 11,057 | 0,000002 | 0,00010 | 0,00008 | 11,05729 | 0,00014 | 0,00101 | 0,00227 | 0,00341 | 0,00031 |
| 10.45 | 26,1 | 34,7 | 44,5 | 3,8865 | 0,0072 | 22,8 | 66,7 | 52,4 | 3,8765 | 0,0116 | 11,057 | 0,000003 | 0,00010 | 0,00008 | 11,05729 | 0,00013 | 0,00101 | 0,00227 | 0,00340 | 0,00031 |
| 11.00 | 26,2 | 34,5 | 44,6 | 3,8906 | 0,0072 | 22,9 | 66,5 | 52,5 | 3,8806 | 0,0116 | 11,057 | 0,000003 | 0,00010 | 0,00008 | 11,05729 | 0,00012 | 0,00101 | 0,00227 | 0,00339 | 0,00031 |
| 11.15 | 26,4 | 33,8 | 44,8 | 3,8876 | 0,0072 | 23,1 | 65,8 | 52,7 | 3,8776 | 0,0116 | 11,057 | 0,000005 | 0,00010 | 0,00008 | 11,05729 | 0,00009 | 0,00101 | 0,00227 | 0,00337 | 0,00030 |
| 11.30 | 26,6 | 33,2 | 44,8 | 3,8865 | 0,0071 | 23,3 | 65,2 | 53,2 | 3,8765 | 0,0117 | 11,057 | 0,000006 | 0,00010 | 0,00009 | 11,05730 | 0,00008 | 0,00101 | 0,00227 | 0,00335 | 0,00030 |
| 11.45 | 26,7 | 32,2 | 44,6 | 3,8882 | 0,007 | 23,4 | 64,2 | 53,1 | 3,8782 | 0,0116 | 11,057 | 0,000007 | 0,00010 | 0,00010 | 11,05731 | 0,00007 | 0,00101 | 0,00227 | 0,00334 | 0,00030 |
| 12.00 | 27,1 | 31 | 44,8 | 3,8919 | 0,0069 | 23,8 | 63 | 53,5 | 3,8819 | 0,0116 | 11,057 | 0,000011 | 0,00010 | 0,00011 | 11,05732 | 0,00004 | 0,00101 | 0,00227 | 0,00331 | 0,00030 |
| 12.15 | 28,2 | 31,3 | 47,2 | 3,8909 | 0,0074 | 24,9 | 63,3 | 56,9 | 3,8809 | 0,0125 | 11,057 | 0,000027 | 0,00010 | 0,00007 | 11,05730 | 0,00000 | 0,00101 | 0,00227 | 0,00328 | 0,00030 |
| 12.30 | 28,9 | 30,8 | 48,4 | 3,8919 | 0,0076 | 25,6 | 62,8 | 58,6 | 3,8819 | 0,0129 | 11,057 | 0,000040 | 0,00010 | 0,00006 | 11,05731 | 0,00001 | 0,00101 | 0,00227 | 0,00329 | 0,00030 |
| 12.45 | 29,1 | 30,9 | 48,8 | 3,8926 | 0,0077 | 25,8 | 62,9 | 59,3 | 3,8826 | 0,0131 | 11,057 | 0,000044 | 0,00010 | 0,00006 | 11,05730 | 0,00002 | 0,00101 | 0,00227 | 0,00329 | 0,00030 |
| 13.00 | 32 | 29,8 | 54,6 | 3,8932 | 0,0088 | 28,7 | 61,8 | 67,9 | 3,8832 | 0,0153 | 11,057 | 0,000129 | 0,00010 | 0,00001 | 11,05735 | 0,00036 | 0,00101 | 0,00227 | 0,00363 | 0,00033 |
| 13.15 | 32,6 | 29,7 | 56 | 3,8982 | 0,0091 | 29,3 | 61,7 | 69,8 | 3,8882 | 0,0158 | 11,057 | 0,000152 | 0,00010 | 0,00001 | 11,05736 | 0,00048 | 0,00101 | 0,00227 | 0,00376 | 0,00034 |
| 13.30 | 33,3 | 29,5 | 57,5 | 3,9019 | 0,0094 | 30 | 61,5 | 72,4 | 3,8919 | 0,0165 | 11,057 | 0,000181 | 0,00010 | 0,00000 | 11,05739 | 0,00065 | 0,00101 | 0,00227 | 0,00392 | 0,00035 |
| 13.45 | 33,8 | 29,2 | 58,3 | 3,9022 | 0,0095 | 30,5 | 61,2 | 73,9 | 3,8922 | 0,0169 | 11,057 | 0,000204 | 0,00010 | 0,00000 | 11,05741 | 0,00078 | 0,00101 | 0,00227 | 0,00406 | 0,00037 |
| 14.00 | 33,7 | 28,9 | 57,9 | 3,9025 | 0,0094 | 30,4 | 60,9 | 73,3 | 3,8925 | 0,0167 | 11,057 | 0,000199 | 0,00010 | 0,00000 | 11,05741 | 0,00076 | 0,00101 | 0,00227 | 0,00403 | 0,00036 |
| 14.15 | 33,6 | 28,6 | 57,3 | 3,9032 | 0,0092 | 30,3 | 60,6 | 72,7 | 3,8932 | 0,0165 | 11,057 | 0,000194 | 0,00010 | 0,00001 | 11,05741 | 0,00073 | 0,00101 | 0,00227 | 0,00400 | 0,00036 |
| 14.30 | 33,5 | 28,4 | 56,9 | 3,9042 | 0,0091 | 30,2 | 60,4 | 72,1 | 3,8942 | 0,0163 | 11,057 | 0,000190 | 0,00010 | 0,00001 | 11,05740 | 0,00070 | 0,00101 | 0,00227 | 0,00398 | 0,00036 |
| 14.45 | 33,4 | 28,2 | 56,6 | 3,9055 | 0,009 | 30,1 | 60,2 | 71,7 | 3,8955 | 0,0162 | 11,057 | 0,000185 | 0,00010 | 0,00001 | 11,05740 | 0,00067 | 0,00101 | 0,00227 | 0,00395 | 0,00036 |
| 15.00 | 33,1 | 28 | 55,7 | 3,9075 | 0,0088 | 29,8 | 60 | 70,6 | 3,8975 | 0,0159 | 11,057 | 0,000172 | 0,00010 | 0,00001 | 11,05739 | 0,00060 | 0,00101 | 0,00227 | 0,00387 | 0,00035 |

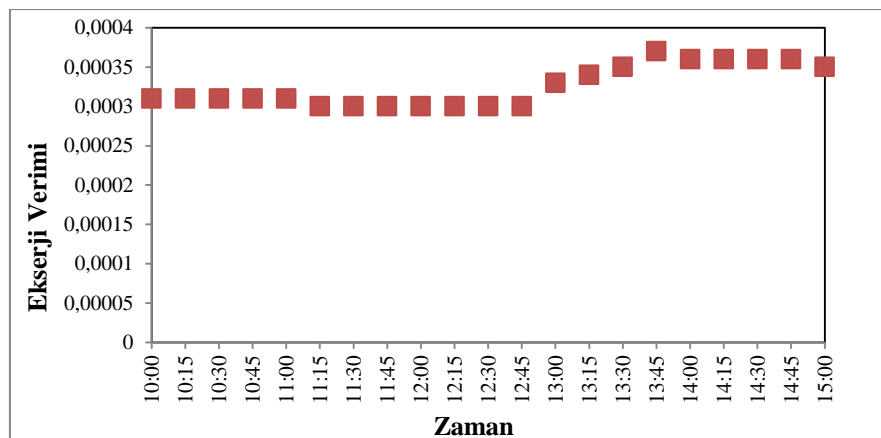
Şekil 6.51'da 80 mm ped kalınlığı ve 1,2 m/s hava giriş hızı için zamana bağlı olarak yirmi altıncı deney için teorik ve deneysel enerji verimi değişimi verilmiştir.



Şekil 6.51: 80 mm ped kalınlığı ve 1,2 m/s hava giriş hızı için deneysel ve teorik enerji verimi (Deney No 26)

Şekil 6.51'de görüldüğü gibi, teorik enerji verimi 0,244 ile 0,333 arasında değişirken deneysel enerji verimi 0,552 ile 0,554 arasında çok az değişmektedir.

Şekil 6.52'de 80 mm ped kalınlığı ve 1,2 m/s hava giriş hızı için zamana bağlı olarak deneysel olarak hesaplana ekserji verimi değişimi verilmiştir.



Şekil 6.52. 80 mm ped kalınlığı ve 1,2 m/s hava giriş hızı için deneysel ve teorik enerji verimi (Deney No 26)

Şekil 6.52'den görüldüğü gibi, ekserji verimi ise 0,00030 ile 0,00037 arasında değişmektedir.

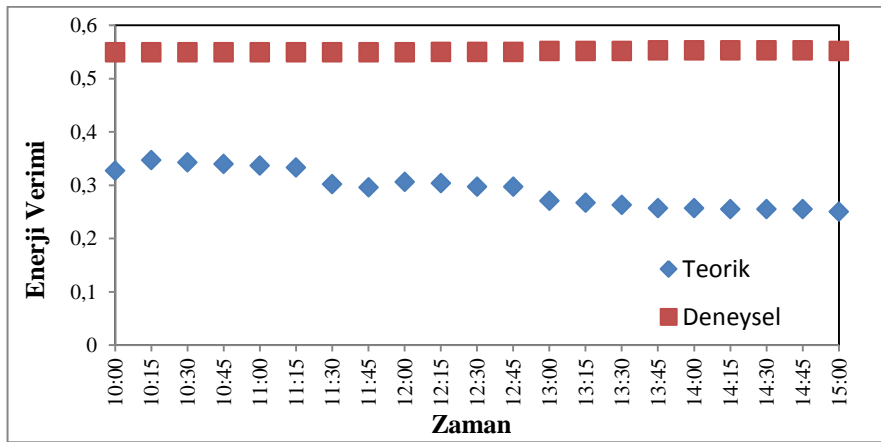
Çizelge 6.53. : Deney No 27, 80 mm, 1,2 m/s Ölçüm Sonuçları ($m_w=0,01344$ kg, $m_a=0,001532$ kg $T_w=22,8$ °C, 1 atm sabit alınmıştır.)

| Zaman | $T_{db,a}$ (°C) $T_{dh,a}$ (°C) | W_a (%) | h_a (kj/kg) | S_a (Kj/Kg·K) | $T_{wh,a}$ (°C) | $T_{db,b}$ (°C) | Wb (%) | H_b (kj/kg) | S_b (Kj/Kg·K) | P_u (Kg/m³) | K_u (kJ/Kg·K) | μ_u (Kg/m.s) | Re | Pr | h_c (Kj/Kg·K) | Deneysel verim | Teorik verim | Verim farkı |
|-------|------------------------------------|-----------|------------------|--------------------|-----------------|--------------------|----------|------------------|--------------------|---------------|-----------------|------------------|--------|--------|-----------------|----------------|--------------|-------------|
| 10,00 | 25,6 | 35 | 43,7 | 3,8845 | 15,7 | 22,5 | 69,5 | 51,2 | 3,8745 | 1,18119 | 0,02557 | 0,0000185 | 206,84 | 0,7293 | 40,38 | 0,549 | 0,327 | 0,404 |
| 10,15 | 25,9 | 35,4 | 44,6 | 3,8839 | 16 | 22,6 | 69,9 | 52,2 | 3,8739 | 1,18001 | 0,02559 | 0,0000185 | 206,48 | 0,7292 | 40,36 | 0,549 | 0,347 | 0,368 |
| 10,30 | 26 | 35,2 | 44,7 | 3,8852 | 16 | 22,7 | 69,7 | 52,3 | 3,8752 | 1,17961 | 0,02560 | 0,0000185 | 206,36 | 0,7292 | 40,35 | 0,549 | 0,343 | 0,375 |
| 10,45 | 26,1 | 34,7 | 44,5 | 3,8865 | 16 | 22,8 | 69,2 | 52,4 | 3,8765 | 1,17922 | 0,02561 | 0,0000185 | 206,24 | 0,7292 | 40,34 | 0,549 | 0,340 | 0,381 |
| 11,00 | 26,2 | 34,5 | 44,6 | 3,8906 | 16 | 22,9 | 69 | 52,5 | 3,8806 | 1,17883 | 0,02561 | 0,0000185 | 206,12 | 0,7292 | 40,34 | 0,549 | 0,337 | 0,386 |
| 11,15 | 26,4 | 33,8 | 44,8 | 3,8876 | 16,1 | 23,1 | 68,3 | 52,7 | 3,8776 | 1,17804 | 0,02563 | 0,0000186 | 205,88 | 0,7291 | 40,32 | 0,549 | 0,333 | 0,393 |
| 11,30 | 26,6 | 33,2 | 44,8 | 3,8865 | 16,1 | 23,5 | 67,7 | 53,2 | 3,8765 | 1,17765 | 0,02564 | 0,0000186 | 205,76 | 0,7291 | 40,31 | 0,549 | 0,302 | 0,450 |
| 11,45 | 26,7 | 32,2 | 44,6 | 3,8882 | 16 | 23,6 | 66,7 | 53,1 | 3,8782 | 1,17725 | 0,02564 | 0,0000186 | 205,64 | 0,7290 | 40,30 | 0,549 | 0,296 | 0,461 |
| 12,00 | 27,1 | 31 | 44,8 | 3,8919 | 16,1 | 23,8 | 65,5 | 53,5 | 3,8819 | 1,17568 | 0,02567 | 0,0000186 | 205,16 | 0,7289 | 40,27 | 0,549 | 0,306 | 0,443 |
| 12,15 | 28,2 | 31,3 | 47,2 | 3,8909 | 16,9 | 24,9 | 65,8 | 56,9 | 3,8809 | 1,17096 | 0,02576 | 0,0000186 | 203,72 | 0,7286 | 40,18 | 0,550 | 0,304 | 0,447 |
| 12,30 | 28,9 | 30,8 | 48,4 | 3,8919 | 17,3 | 25,6 | 65,3 | 58,6 | 3,8819 | 1,16821 | 0,02581 | 0,0000187 | 202,88 | 0,7284 | 40,12 | 0,550 | 0,297 | 0,460 |
| 12,45 | 29,1 | 30,9 | 48,8 | 3,8926 | 17,5 | 25,8 | 65,4 | 59,3 | 3,8826 | 1,16742 | 0,02583 | 0,0000187 | 202,65 | 0,7284 | 40,11 | 0,550 | 0,297 | 0,460 |
| 13,00 | 32 | 29,8 | 54,6 | 3,8932 | 19,3 | 28,7 | 64,3 | 67,9 | 3,8832 | 1,15601 | 0,02604 | 0,0000188 | 199,22 | 0,7276 | 39,88 | 0,552 | 0,271 | 0,509 |
| 13,15 | 32,6 | 29,7 | 56 | 3,8982 | 19,7 | 29,3 | 64,2 | 69,8 | 3,8882 | 1,15365 | 0,02609 | 0,0000188 | 198,52 | 0,7274 | 39,83 | 0,552 | 0,267 | 0,516 |
| 13,30 | 33,3 | 29,5 | 57,5 | 3,9019 | 20,2 | 30 | 64 | 72,4 | 3,8919 | 1,15090 | 0,02614 | 0,0000189 | 197,70 | 0,7272 | 39,78 | 0,552 | 0,263 | 0,524 |
| 13,45 | 33,8 | 29,2 | 58,3 | 3,9022 | 20,4 | 30,5 | 63,7 | 73,9 | 3,8922 | 1,14893 | 0,02618 | 0,0000189 | 197,12 | 0,7271 | 39,74 | 0,553 | 0,257 | 0,535 |
| 14,00 | 33,7 | 28,9 | 57,9 | 3,9025 | 20,3 | 30,4 | 63,4 | 73,3 | 3,8925 | 1,14933 | 0,02617 | 0,0000189 | 197,24 | 0,7271 | 39,75 | 0,553 | 0,257 | 0,535 |
| 14,15 | 33,6 | 28,6 | 57,3 | 3,9032 | 20,1 | 30,3 | 63,1 | 72,7 | 3,8932 | 1,14972 | 0,02616 | 0,0000189 | 197,35 | 0,7271 | 39,75 | 0,553 | 0,255 | 0,539 |
| 14,30 | 33,5 | 28,4 | 56,9 | 3,9042 | 20 | 30,2 | 62,9 | 72,1 | 3,8942 | 1,15011 | 0,02615 | 0,0000189 | 197,47 | 0,7272 | 39,76 | 0,553 | 0,255 | 0,539 |
| 14,45 | 33,4 | 28,2 | 56,6 | 3,9055 | 19,9 | 30,1 | 62,7 | 71,7 | 3,8955 | 1,15051 | 0,02615 | 0,0000189 | 197,59 | 0,7272 | 39,77 | 0,553 | 0,255 | 0,539 |
| 15,00 | 33,1 | 28 | 55,7 | 3,9075 | 19,6 | 29,8 | 62,5 | 70,6 | 3,8975 | 1,15208 | 0,02612 | 0,0000189 | 198,05 | 0,7273 | 39,80 | 0,552 | 0,250 | 0,547 |

Çizelge 6.54. : Deney No 27, 80 mm, 1,2 m/s Ölçüm Sonuçları ($m_w=0,01344$ kg, $m_a=0,001532$ kg $T_w=22,8$ °C, 1 atm sabit alınmıştır.)

| Zaman | $T_{db,a}$ (°C) | W_a (%) | h_a (kj/kg) | S_a ($Kj/Kg \cdot K$) | W_a | $T_{db,b}$ (°C) | W_b (%) | H_b (kj/kg) | S_b ($Kj/Kg \cdot K$) | W_b | $\Psi_{water,a}$ | $\Psi_{termal,a}$ | $\Psi_{mekanik,a}$ | $\Psi_{kimyasal,a}$ | $\Psi_{toplama,a}$ | $\Psi_{termal,b}$ | $\Psi_{mekanik,b}$ | $\Psi_{kimyasal,b}$ | $\Psi_{toplama,b}$ | $\Psi_{toplama,verim}$ |
|-------|-----------------|-----------|---------------|---------------------------|--------|-----------------|-----------|---------------|---------------------------|--------|------------------|-------------------|--------------------|---------------------|--------------------|-------------------|--------------------|---------------------|--------------------|------------------------|
| 10,00 | 25,6 | 35,5 | 43,7 | 3,8845 | 0,0071 | 22,5 | 69,5 | 51,2 | 3,8745 | 0,0113 | 11,057 | 0,000002 | 0,00010 | 0,00009 | 11,05730 | 0,00016 | 0,001009 | 0,002267 | 0,0034 | 0,00031 |
| 10,15 | 25,9 | 35,9 | 44,6 | 3,8839 | 0,0073 | 22,6 | 69,9 | 52,2 | 3,8739 | 0,0116 | 11,057 | 0,000003 | 0,00010 | 0,00008 | 11,05729 | 0,00015 | 0,001009 | 0,002267 | 0,0034 | 0,00031 |
| 10,30 | 26 | 35,7 | 44,7 | 3,8852 | 0,0073 | 22,7 | 69,7 | 52,3 | 3,8752 | 0,0116 | 11,057 | 0,000004 | 0,00010 | 0,00008 | 11,05729 | 0,00014 | 0,001009 | 0,002267 | 0,0034 | 0,00031 |
| 10,45 | 26,1 | 35,2 | 44,5 | 3,8865 | 0,0072 | 22,8 | 69,2 | 52,4 | 3,8765 | 0,0116 | 11,057 | 0,000004 | 0,00010 | 0,00008 | 11,05729 | 0,00013 | 0,001009 | 0,002267 | 0,0034 | 0,00031 |
| 11,00 | 26,2 | 35 | 44,6 | 3,8906 | 0,0072 | 22,9 | 69 | 52,5 | 3,8806 | 0,0116 | 11,057 | 0,000005 | 0,00010 | 0,00008 | 11,05729 | 0,00012 | 0,001009 | 0,002267 | 0,0034 | 0,00031 |
| 11,15 | 26,4 | 34,3 | 44,8 | 3,8876 | 0,0072 | 23,1 | 68,3 | 52,7 | 3,8776 | 0,0116 | 11,057 | 0,000007 | 0,00010 | 0,00008 | 11,05730 | 0,00009 | 0,001009 | 0,002267 | 0,0034 | 0,00030 |
| 11,30 | 26,6 | 33,7 | 44,8 | 3,8865 | 0,0071 | 23,5 | 67,7 | 53,2 | 3,8765 | 0,0117 | 11,057 | 0,000008 | 0,00010 | 0,00009 | 11,05730 | 0,00006 | 0,001009 | 0,002267 | 0,0033 | 0,00030 |
| 11,45 | 26,7 | 32,7 | 44,6 | 3,8882 | 0,007 | 23,6 | 66,7 | 53,1 | 3,8782 | 0,0116 | 11,057 | 0,000009 | 0,00010 | 0,00010 | 11,05731 | 0,00005 | 0,001009 | 0,002267 | 0,0033 | 0,00030 |
| 12,00 | 27,1 | 31,5 | 44,8 | 3,8919 | 0,0069 | 23,8 | 65,5 | 53,5 | 3,8819 | 0,0116 | 11,057 | 0,000013 | 0,00010 | 0,00011 | 11,05732 | 0,00004 | 0,001009 | 0,002267 | 0,0033 | 0,00030 |
| 12,15 | 28,2 | 31,8 | 47,2 | 3,8909 | 0,0074 | 24,9 | 65,8 | 56,9 | 3,8809 | 0,0125 | 11,057 | 0,000031 | 0,00010 | 0,00007 | 11,05731 | 0,00000 | 0,001009 | 0,002267 | 0,0033 | 0,00030 |
| 12,30 | 28,9 | 31,3 | 48,4 | 3,8919 | 0,0076 | 25,6 | 65,3 | 58,6 | 3,8819 | 0,0129 | 11,057 | 0,000044 | 0,00010 | 0,00006 | 11,05731 | 0,00001 | 0,001009 | 0,002267 | 0,0033 | 0,00030 |
| 12,45 | 29,1 | 31,4 | 48,8 | 3,8926 | 0,0077 | 25,8 | 65,4 | 59,3 | 3,8826 | 0,0131 | 11,057 | 0,000049 | 0,00010 | 0,00006 | 11,05731 | 0,00002 | 0,001009 | 0,002267 | 0,0033 | 0,00030 |
| 13,00 | 32 | 30,3 | 54,6 | 3,8932 | 0,0088 | 28,7 | 64,3 | 67,9 | 3,8832 | 0,0153 | 11,057 | 0,000137 | 0,00010 | 0,00001 | 11,05735 | 0,00036 | 0,001009 | 0,002267 | 0,0036 | 0,00033 |
| 13,15 | 32,6 | 30,2 | 56 | 3,8982 | 0,0091 | 29,3 | 64,2 | 69,8 | 3,8882 | 0,0158 | 11,057 | 0,000160 | 0,00010 | 0,00001 | 11,05737 | 0,00048 | 0,001009 | 0,002267 | 0,0038 | 0,00034 |
| 13,30 | 33,3 | 30 | 57,5 | 3,9019 | 0,0094 | 30 | 64 | 72,4 | 3,8919 | 0,0165 | 11,057 | 0,000190 | 0,00010 | 0,00000 | 11,05740 | 0,00065 | 0,001009 | 0,002267 | 0,0039 | 0,00035 |
| 13,45 | 33,8 | 29,7 | 58,3 | 3,9022 | 0,0095 | 30,5 | 63,7 | 73,9 | 3,8922 | 0,0169 | 11,057 | 0,000213 | 0,00010 | 0,00000 | 11,05742 | 0,00078 | 0,001009 | 0,002267 | 0,0041 | 0,00037 |
| 14,00 | 33,7 | 29,4 | 57,9 | 3,9025 | 0,0094 | 30,4 | 63,4 | 73,3 | 3,8925 | 0,0167 | 11,057 | 0,000209 | 0,00010 | 0,00000 | 11,05742 | 0,00076 | 0,001009 | 0,002267 | 0,0040 | 0,00036 |
| 14,15 | 33,6 | 29,1 | 57,3 | 3,9032 | 0,0092 | 30,3 | 63,1 | 72,7 | 3,8932 | 0,0165 | 11,057 | 0,000204 | 0,00010 | 0,00001 | 11,05741 | 0,00073 | 0,001009 | 0,002267 | 0,0040 | 0,00036 |
| 14,30 | 33,5 | 28,9 | 56,9 | 3,9042 | 0,0091 | 30,2 | 62,9 | 72,1 | 3,8942 | 0,0163 | 11,057 | 0,000199 | 0,00010 | 0,00001 | 11,05741 | 0,00070 | 0,001009 | 0,002267 | 0,0040 | 0,00036 |
| 14,45 | 33,4 | 28,7 | 56,6 | 3,9055 | 0,009 | 30,1 | 62,7 | 71,7 | 3,8955 | 0,0162 | 11,057 | 0,000195 | 0,00010 | 0,00001 | 11,05741 | 0,00067 | 0,001009 | 0,002267 | 0,0039 | 0,00036 |
| 15,00 | 33,1 | 28,5 | 55,7 | 3,9075 | 0,0088 | 29,8 | 62,5 | 70,6 | 3,8975 | 0,0159 | 11,057 | 0,000177 | 0,00010 | 0,00001 | 11,05740 | 0,00060 | 0,001009 | 0,002267 | 0,0039 | 0,00035 |

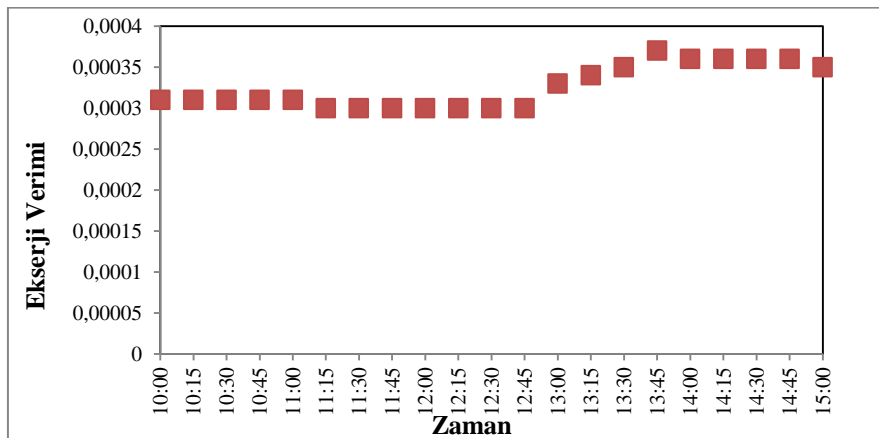
Şekil 6.53'da 80 mm ped kalınlığı ve 1,2 m/s hava giriş hızı için zamana bağlı olarak yirmi yedinci deney için teorik ve deneysel enerji verimi değişimi verilmiştir.



Şekil 6.53: 80 mm ped kalınlığı ve 1,2 m/s hava giriş hızı için deneysel ve teorik enerji verimi (Deney No 27)

Şekil 6.53'de görüldüğü gibi, teorik enerji verimi 0,250 ile 0,347 arasında değişirken deneysel enerji verimi 0,549 ile 0,553 arasında çok az değişmektedir.

Şekil 6.54'de 80 mm ped kalınlığı ve 1,2 m/s hava giriş hızı için zamana bağlı olarak deneysel olarak hesaplana ekserji verimi değişimi verilmiştir.



Şekil 6.54. 80 mm ped kalınlığı ve 1,2 m/s hava giriş hızı için deneysel ve teorik enerji verimi (Deney No 27)

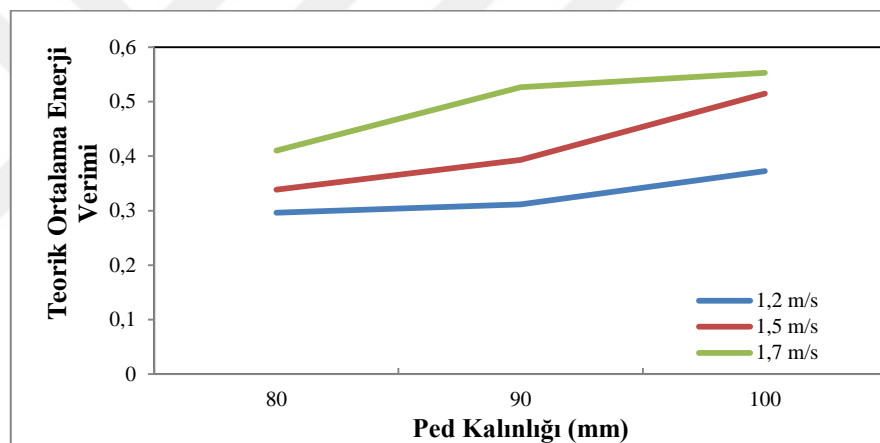
Şekil 6.54'den görüldüğü gibi, ekserji verimi ise 0,00030 ile 0,00037 arasında değişmektedir.

Çizelge 6.55'de ped kalınlığı ve hava giriş hızına bağlı olarak bulunan ortalama teorik ve deneysel enerji verimi ve ekserji verimi değerleri verilmiştir.

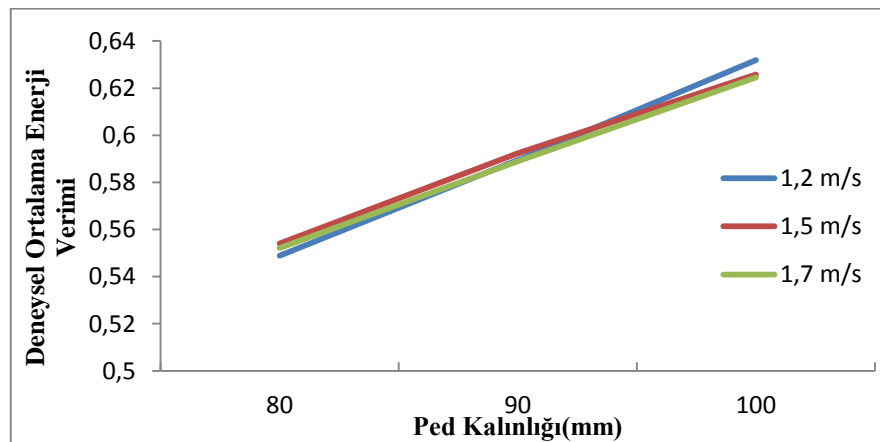
Çizelge 6.55. Ortalama teorik ve deneysel enerji verim değerleri

| Ped kalınlığı (mm) | $V_{air}=1,2 \text{ m/s}$ | | | $V_{air}=1,5 \text{ m/s}$ | | | $V_{air}=1,7 \text{ m/s}$ | | |
|--------------------------|---------------------------|----------------------------|---------------------------|---------------------------|----------------------------|---------------------------|---------------------------|----------------------------|---------------------------|
| | Den. enerji verimi | Teorik enerji verimi | Den. ekserji verimi | Den. enerji verimi | Teorik enerji verimi | Den. ekserji verimi | Den. enerji verimi | Teorik enerji verimi | Den. ekserji verimi |
| 80 | 0,548 | 0,296 | 0,000311 | 0,554 | 0,338 | 0,002321 | 0,552 | 0,410 | 0,001463 |
| 90 | 0,589 | 0,311 | 0,000313 | 0,592 | 0,393 | 0,000774 | 0,588 | 0,526 | 0,001479 |
| 100 | 0,631 | 0,372 | 0,000309 | 0,625 | 0,514 | 0,000816 | 0,624 | 0,552 | 0,001519 |

Şekil 6.55 ve 6.56'de sırasıyla ped kalınlığına bağlı olarak bulunan ortalama teorik ve deneysel enerji verim değerleri verilmiştir.



Şekil 6.55. Ortalama teorik enerji verim değerleri



Şekil 6.56. Ortalama deneysel enerji verim değerleri

Şekil 6.55 ve 6.56' da görüldüğü gibi, ped kalınlığı arttıkça ortalama teorik ve deneysel enerji verimi artmaktadır.

1,2 m/s hava giriş hızında 80,90 ve 100 mm ped kalınlığı için ortalama teorik enerji verimleri sırasıyla 0,296, 0,311 ve 0,372' dir. 1,2 m/s hava giriş hızında 80,90 ve 100 mm ped kalınlığı için ortalama deneysel enerji verimleri sırasıyla 0,548, 0,589 ve 0,631 olarak bulunmuştur.

1,5 m/s hava giriş hızında 80,90 ve 100 mm ped kalınlığı için ortalama teorik enerji verimleri sırasıyla 0,338, 0,393 ve 0,514' dir. 1,5 m/s hava giriş hızında 80,90 ve 100 mm ped kalınlığı için ortalama deneysel enerji verimleri sırasıyla 0,554, 0,592 ve 0,635 olarak bulunmuştur.

1,7 m/s hava giriş hızında 80,90 ve 100 mm ped kalınlığı için ortalama teorik enerji verimleri sırasıyla 0,410, 0,526 ve 0,552 dir. 1,7 m/s hava giriş hızında 80,90 ve 100 mm ped kalınlığı için ortalama deneysel enerji verimleri sırasıyla 0,552, 0,588 ve 0,624 olarak bulunmuştur.

7. SONUÇ VE ÖNERİLER

Bu çalışmada, direk evaporatif bir soğutucunun deneysel enerji ve ekserji analizleri gerçekleştirilmiştir. Enerji verimi literatürde sıkça kullanılan teorik verime göre ve kütle ve enerji korunumu prensipleri uygulanan deneysel verime göre hesaplanmıştır. Çalışmadan elde edilen sonuçlar aşağıda sıralanmıştır.

Deneysel verime göre hesaplanan enerji verimi, teorik verime göre hesaplanan enerji verim değerine göre daha yüksek çıkmaktadır.

- 100 mm ped kalınlığı ve 1,7 m/s hava giriş hızında ortalama teorik ve deneysel enerji verimi sırasıyla, 0,552 ve 0,624 olarak hesaplanırken ortalama ekserji verimi 0,0015 olarak bulunmuştur.
- 100 mm ped kalınlığı ve 1,5 m/s hava giriş ortalama enerji verimi, deneysel verime göre 0,64, teorik verime göre 0,61 ve ortalama ekserji verimi 0,0008 olarak bulunmuştur.
- 100 mm ped kalınlığı ve 1,2 m/s ‘de ortalama enerji verimi, deneysel verime göre 0,61, teorik verime göre 0,34 ve ortalama ekserji verimi 0,0003 olarak bulunmuştur.
- 90 mm ped kalınlığı ve 1,7 m/s ‘de ortalama enerji verimi, deneysel verime göre 0,6, teorik verime göre 0,47 ve ortalama ekserji verimi 0,0014 olarak bulunmuştur.
- 90 mm ped kalınlığı ve 1,5 m/s ‘de ortalama enerji verimi, deneysel verime göre 0,59, teorik verime göre 0,44 ve ortalama ekserji verimi 0,00077 olarak bulunmuştur.
- 90 mm ped kalınlığı ve 1,2 m/s ‘de ortalama enerji verimi, deneysel verime göre 0,58, teorik verime göre 0,29 ve ortalama ekserji verimi 0,00031 olarak bulunmuştur.
- 80 mm ped kalınlığı ve 1,7 m/s ‘de ortalama enerji verimi, deneysel verime göre 0,56, teorik verime göre 0,44 ve ortalama ekserji verimi 0,0014 olarak bulunmuştur.
- 80 mm ped kalınlığı ve 1,5 m/s ‘de ortalama enerji verimi, deneysel verime göre 0,55, teorik verime göre 0,43 ve ortalama ekserji verimi 0,0013 olarak bulunmuştur.
- 80 mm ped kalınlığı ve 1,2 m/s ‘de ortalama enerji verimi, deneysel verime göre 0,54, teorik verime göre 0,28 ve ortalama ekserji verimi 0,0003 olarak bulunmuştur.
- Aynı hava giriş hızı için ped kalınlığı arttıkça ortalama teorik ve deneysel enerji verimi artmaktadır.

- 1,2 m/s hava giriş hızında ped kalınlığı arttıkça çok fazla değişim göstermemesine rağmen en yüksek ekserji verimi 90 mm ped kalınlığında elde edilirken, 1,5 m/s hava giriş hızında ped kalınlığı ile ekserji verimi önemli oranda değişmektedir ve en yüksek ekserji verimi 80 mm ped kalınlığında elde edilmiştir. Fakat, 1,7 m/s hava giriş hızı için ped kalınlığı arttıkça ekserji verimi artmaktadır ki dolayısıyla en yüksek ekserji verimi 100 mm ped kalınlığında elde edilmiştir.
- Aynı ped kalınlığı için teorik enerji verimi hava giriş hızı arttıkça artarken, deneysel enerji verimi ve ekserji veriminde optimum koşullar meydana gelmektedir. Yani, 80 mm ped kalınlığı için optimum deneysel enerji ve ekserji verimi 1,5 m/s hava giriş hızında elde edilmiştir. 90 mm ped kalınlığı için optimum deneysel enerji verimi 1,5 m/s hava giriş hızında hesaplanırken deneysel ekserji verimi ise 1,7 m / s hava giriş hızında meydana gelmiştir. 100 mm ped kalınlığı için optimum deneysel enerji verimi 1,2 m/s hava giriş hızında hesaplanırken deneysel ekserji verimi ise 1,7 m / s hava giriş hızında meydana gelmiştir.

Sonuç olarak, bu çalışmada taşınabilir bir evaporatif soğutucu sisteminin 3 farklı ped kalınlığı ve hava giriş hızı için teorik ve deneysel enerji verimi ve ekserji verimi araştırılmıştır. Çalışma sonucunda optimum koşullar araştırılmış olup en yüksek deneysel enerji verimi 100 mm ped kalınlığı ve 1,2 m/s hava giriş hızında 0,631 olarak bulunurken en yüksek teorik enerji verimi 100 mm ped kalınlığı ve 1,7 m/s hava giriş hızında 0,552 olarak bulunmuştur. Benzer şekilde en yüksek deneysel ekserji verimi 80 mm ped kalınlığı ve 1,5 m/s hava giriş hızında 0,002321 olarak bulunmuştur.

İlerleyen çalışmalarında farklı ped malzemeleri, farklı hava giriş hızları ve ped kalınlıklarının enerji ve ekserji performansı üzerine etkileri termoekonomik açıdan araştırılabilir.

KAYNAKLAR

- [1] Benham, D.S., Wiersma, F., 1974. "Design Criteria for Evaporative Cooling." *ASAE Paper No.*, 74-4527, ASAE, St. Joseph, MI 49085
- [2] Buffington D. E. , Skinner T.C. , Collette B. , Borer , 1978."Evaporative Cooling for Hot, Humid Climates." *Paper Presented at the Southeast-Southwest Regional Meeting of ASAE at Houston, TX*. February 5-8
- [3] Timmos M.B. , Baughman G.R. , 1984. " A Pleum Concept Applied to Evaporative Cooling to Reduce Poultry Heat Stress." *ASAE Paper No.*, 81-4558, ASAE, St. Joseph ,MI 49085
- [4] Koca , R. W., Hughes, W.C. and Christianson , L.L. 1991.“ Evaporative Cooling Pads : Test Procedure and Evaluation.” *Transaction of the ASAE* , 74, 485-490
- [5] Yılmaz T. , Büyükalaca O. ,1999. “Desisif Evaporatif Soğutma Sistemleri” , IV. Ulusal Tesisat Mühendisliği Kongresi ve Sergisi , İzmir. 165-181.
- [6] Uğurlu N. , KARA M. , 2000 . “Islak ped sistemiyle serinletmenin performans verileri ve kafes sistem kümes iç sıcaklığının düşürülmesine etkisi. ” ,*Türk J Agric For* ,24, 79-86 TÜBİTAK.
- [7] Liao C-M, Chiu K-H, 2002, “Wind tunnel modeling the system performance of alternative evaporative cooling pads in Taiwan region”, *Building and Environment* 37, 177–187
- [8] Öz, H. 2007. “Isparta Yöresindeki Seralarda Fan-Ped Sisteminin Etkinliğinin Belirlenmesi” , *Yüksek Lisans Tezi , Süleyman Demirel Üniversitesi Ziraat Fakültesi Tarımsal Yapılar ve Sulama Bölümü* , Isparta, 64.
- [9] Kocatürk Ü. , 2007 , “ Çukurova Koşullarında Pedli Evaporatif Serinletme Sistemlerinin Farklı Hava Hızlarında Serinletme Etkinliği ve Buharlaştırılan Su Miktarı Değerlerinin

Değişimi.” , *Yüksek Lisans Tezi* , Çukurova Üniversitesi Fen Bilimleri Enstitüsü , Adana,
88

- [10] Jain D. , July 2007, “Development and Testing of Two-Stage Evaporative Cooler” ,
Central Insitu of Post-Harvest Engineering and Technology, Building and Environment
,42:2549-2554
- [11] El-Refaie M.F. , Kaseb S. , 2009 , “Speculation in the Feasibilitiy of Evaporative Cooling
“ , *Building and Environment* , 44:826-838
- [12] Dağtekin M. , Karaca C. , Yıldız Y. , 2009 , “Performance Characteristics of A Pad
Evaporative Cooler System in A Boiler House in A Mediterranean Climate” , *Faculty of
Agriculture* ,Çukurova University , 103:100-104
- [13] Fauda A. , Melikyan Z. , 2011 , “ A Simplified Model for Analysis of Heat and Mass
Transfer in A Direct Evaporative cooler” , *Applied Thermal Engineering* 31 :932-936.
- [14] Ahmed E. M. , Abaas O. , Ahmed M. ,Ismail M.R. , 2011 , “Performance Evaluation of
Three Different Types of Local Evaporative Cooling Pads in Greenhouses in Sudan “ ,
Department of Agricultural Engineering , Gezira University Sudan , 18:45-51
- [15] Berzegar M, Layeghi M, Ebrahimi G, Hamzeh Y, Khorasani M, Mahsa , 2012,
“Experimental evaluation of the performances of cellulosic pads made out of Kraft and
NSSC corrugated papers as evaporative media” , *Energy Conversion and Management* 54,
24–29
- [16] Irmak F. , 2013 , “ Selüloz Esaslı Bir Evaporatif Serinletme Pedinde Havanın Pedden
Geçiş Hızı ile Havanın Doyma Düzeyi ve Buharlaştırılan Su Miktarı Arasındaki İlişkinin
Değerlendirilmesi “ *Yüksek Lisans Tezi* , Çukurova Üniversitesi Fen Bilimleri Enstitüsü ,
Adana.

- [17] Alklaibi A.M. , 2015 ,”Experimental and Theoretical Investigation of Internal Two-Stage Evaporative Cooler “ , *Department of Mechanical Engineering* , Majmaah University , 95: 140-148
- [18]Esen D.Ö. , 2007 , “Adsorbsiyonlu Soğutma Sistemlerinin Motorlu Taşıtlarda Kullanılabilirliği “ , *Mühendis ve Makine Dergisi* , 49:22-25
- [19]Liberati P, Antonellis S.D. , Leone C. , Joppolo C. M. ,Bawa Y. , 2017 , “Indirect Evaporative Cooling Systems : Modelling and Performance Analysis “ , *AiCARR 50 th International Congress ; Beyond NZEB Buildings* , Energy Procedia 140(2017) 467-474 Matera ,ITALY
- [20] Bishoyi D, Sudhakar K, 2017,” Experimental performance of a direct evaporative cooler in composite climate of India”, *Energy and Buildings* 153, 190–200
- [21] Baakeem S.S. , Orfi J. , Bessadok-Jemai A. , 2018 , “Thermodynamic and Economic Analysis of the Performance of a Direct Evaporative Cooler Working Under Extreme Summer Weater Conditions “ *Mechanical Engineering Department*, King Saud University
- [22] Martínez P, Ruiz J, Martínez P. J, Kaiser A. S, Lucas M, 2018, “Experimental study of the energy and exergy performance of a plastic mesh evaporative pad used in air conditioning applications”, *Applied Thermal Engineering* 138, 675–685
- [23] Dhamneya A.K, Rajput S. P. S, Singh A, 2018,” Thermodynamic performance analysis of direct evaporative cooling system for increased heat and mass transfer area”, *Ain Shams Engineering Journal* 9, 2951–2960
- [24] Chen X, Su Y, Aydin D, Ding Y, Riffat S, 2018, “ A novel evaporative cooling system with a polymer hollow fibre spindle”, *Applied Thermal Engineering* 132 , 665–675

- [25] Nada S. A, Fouda A, Mahmoud M. A, Elattar H. F, 2019, “Experimental investigation of energy and exergy performance of a direct evaporative cooler using a new pad type”, *Energy & Buildings* 203, 109-449
- [26] Harby K, Al-Amri F, 2019, “An investigation on energy savings of a split air-conditioning using different commercial cooling pad thicknesses and climatic conditions”, *Energy* 182, 321-336
- [27] Doğramacı P.A, Riffat S, Gan G, Aydin D, 2019, “Experimental study of the potential of eucalyptus fibres for evaporative cooling”, *Renewable Energy* 131, 250-260
- [28] Osma E. , 2011, “Evaporatif Soğutma Sistemlerinin Mekanik Buhar Sıkıştırmalı Soğutma Sistemleri ile Termodinamik ve Ekonomik Bakımdan Karşılaştırılması” , *Namık Kemal Üniversitesi Fen Bilimleri Enstitüsü*, Tekirdağ
- [29] İdiz A. , Koçak Y.C. , Özdemir F. , Akdemir Ö. , Güngör A. , 2017 ”İklimlendirme sistemlerinde evaporatif soğutma uygulamaları “ , *13. Ulusal Tesisat Mühendisliği Kongresi* , İzmir , 1764.
- [30] Evaporative Cooler İn Hot And Dry Climates. “International Journal of Scientic & Tecnology Research Volume 3, Issue 4, ISSN2277-8616, KUUL PADS, Available In www.kullpads.com”, 2003

ÖZGEÇMİŞ

Kişisel Bilgiler

Soyadı, adı : KALIPCİ , Yüksel
Uyruğu : T.C.
Doğum tarihi ve yeri : 15.05.1992 Uşak
Medeni hali : Bekar
Telefon : 0 (533) 777 78 63
Faks : -----
e-mail : yukselkalipci@gmail.com

Eğitim

| Derece | Eğitim Birimi | Mezuniyet tarihi |
|---------------|--|------------------|
| Yüksek lisans | Uşak Üniversitesi /Makine Mühendisliği Bölümü | Halen |
| Lisans | Fırat Üniversitesi/ Makine Mühendisliği Bölümü | 2015 |
| Lise | Uşak İzzettin Çalışlar Lisesi | 2010 |

İş Deneyimi

| Yıl | Yer | Görev |
|------|--------------------------------------|--------------------------------|
| 2014 | Uşak Saracoğlu Yapı Denetim Ltd.Şti. | Proje ve Uygulama Mühendisliği |
| 2016 | Uşak /Uşak Proje Mühendislik | Firma Sahibi |

Yabancı Dil

İngilizce

Yayınlar

-

Hobiler

Futbol, Yürüyüş yapmak